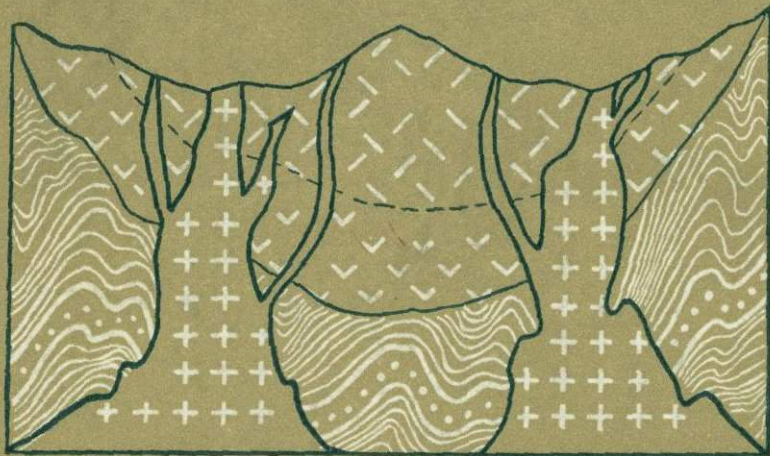


С.Ф.УСЕНКО, М.В.ЧЕБОТАРЕВ

ГЕОЛОГИЯ
И ОЛОВОНОСНОСТЬ
ПРИАМУРЬЯ



МИНИСТЕРСТВО ГЕОЛОГИИ СССР
ДАЛЬНЕВОСТОЧНЫЙ ИНСТИТУТ МИНЕРАЛЬНОГО СЫРЬЯ

55.553.45/57

С. Ф. УСЕНКО, М. В. ЧЕБОТАРЕВ

ГЕОЛОГИЯ
И ОЛОВОНОСНОСТЬ
ПРИАМУРЬЯ

Научный редактор С. Ф. Лугов



ИЗДАТЕЛЬСТВО «Н Е Д Р А»
Москва · 1973



Усенко С. Ф., Чеботарев М. В. Геология и оловоносность Приамурья. М., «Недра», 1973, 236 с.

На основе анализа обширного геологического материала по стратиграфии, магматизму и тектонике показано, что в формировании основных структурных элементов Приамурья отчетливо выделяются два периода: в геосинклинальный период сформировались седименто-генно-складчатые сооружения и находящиеся в структурной зависимости с ними магматические образования, преимущественно базальтоидного ряда, в геоантиклинальный (орогенный) период сформировались сводово-глыбовые сооружения и находящиеся в структурном единстве с ними магматические образования, преимущественно гранитоидного ряда. В геосинклинальный период развития структур региона образовались месторождения железа, марганца, меди, никеля и других элементов, концентрация которых связана с доскладчательными вулканогенно-осадочными и магматическими образованиями. Месторождения этой группы совмещены со складчатыми структурно-формационными зонами, размещение их контролируется стратиграфическими поверхностями и согласными с ними магматическими телами. В геоантиклинальный (орогенный) период развития структур подвижных областей, в связи с гранитоидным магматизмом, образовались многочисленные, преимущественно гидротермальные месторождения и рудообразования золота, олова, редких металлов, молибдена, вольфрама и многих других металлов, определяющие металлогеническую специфику региона. Оруденение этого периода контролируется секущими разломами и следует сводово-глыбовым магматогенным поясам — Хингано-Охотскому и Сихотэалинскому, не совпадающим с направлением простирания складчатых структурно-формационных зон. Важнейшие профилирующие металлы Приамурья — золото и олово. Золотоносные районы располагаются преимущественно в северной части региона (в Приохотской и Нижнеамурской областях), а оловоносные — в южной (Хингано-Баджальская и Северо-Сихотэалинская области). Различия в металлогении связаны с составом фундамента. В северных районах он сложен эвгеосинклинальными формациями с развитием гранитоидов натрового типа, в южных — преимущественно мио-геосинклинальными с развитием гранитоидов калиевого типа. Особенности геологического развития региона позволили в основу металлогенического районирования положить конкретные сводово-глыбовые структурные подразделения и формационные особенности развитых в их пределах магматических пород. Выделенные рудные районы и зоны в структурном отношении, как правило, представляют собой тектонические блоки, характеризующиеся своими особенностями магматизма и оруденения. Даётся характеристика оловоносных районов и наиболее типичных месторождений олова. На этой основе выделены оловорудные формации и рассмотрены геологические условия их проявления. Установлена последовательная смена формационных особенностей и зональности оруденения. Рассмотрены основные закономерности размещения оловорудных месторождений и формаций в Приамурье и дана оценка перспектив важнейших оловоносных районов.

Книга, посвященная весьма перспективной оловорудной провинции, восполняет существенный пробел в геологической литературе по оловоносности Тихоокеанского подвижного пояса и представляет интерес для геологов-рудников.

Таблиц 10, иллюстраций 26, список литературы 158 названий.

ПРЕДИСЛОВИЕ

Геологические исследования по научному обоснованию поисков месторождений олова, разработке поисковых критериев и прогнозированию в настоящее время приобретают исключительно важное значение для повышения эффективности геологоразведочных работ, особенно в регионах, где развита оловянная промышленность. Именно этим актуальным вопросам современной геологии олова посвящена работа С. Ф. Усенко и М. В. Чеботарева «Геология и оловоносность Приамурья».

В работе на большом фактическом материале рассмотрены общие вопросы стратиграфии, магматизма и металлогенеза «оловоносной» части Приамурья. Особое внимание в ней удалено петрохимическим и геохимическим особенностям магматических комплексов, закономерностям их формирования и размещения, структурно-тектоническому развитию региона, закономерностям размещения оловянного оруденения; произведено металлогеническое районирование территории и определена структурная позиция оловоносных площадей, характеризующихся проявлением преимущественно оловянного оруденения различных формационных типов.

Большое научное и практическое значение приобретают выводы авторов о геологических факторах, контролирующих размещение оловянного оруденения, особенностях его проявления в истории развития геологических структур региона и на отдельных оловоносных площадях, а также приведенная характеристика отличительных черт оловоносных площадей и рудных районов в пределах Хингано-Баджальской и Северо-Сихотэалинской областях.

Интересны научные положения авторов об определенной зависимости типа оруденения от состава фундамента и петрохимических особенностей магматизма, смены и усложнения оловорудных формаций от эволюции подвижных зон в процессе геологического развития.

Эти выводы, как и особенности проявления и размещения оловянного оруденения, имеют немаловажное значение для крупномасштабного прогнозирования и разработки основных направлений поисковых работ на олово.

Работа «Геология и оловоносность Приамурья» представляет значительный интерес для широкого круга геологов производственных и научно-исследовательских институтов, ведущих работы по поискам оловянных руд, прогнозированию и оценке потенциальных перспектив оловоносности и металлогении олова и других ассоциирующих с ним металлов на обширной территории нашей страны.

Доктор геолого-минералогических наук,
профессор С. Ф. Лугов

ВВЕДЕНИЕ

В Директивах ХХIV съезда КПСС среди важнейших цветных металлов, производство которых должно резко возрасти, указано олово. Приамурье обладает большими потенциальными возможностями для обнаружения новых месторождений олова. Выявление особенностей его геологического строения и пространственного размещения оловорудных месторождений имеет важное значение для определения направлений дальнейших поисковых работ и повышения их эффективности.

Авторы преследовали цель выяснить особенности геологического строения и развития основных структурных элементов Приамурья, место и время формирования рудоносных гранитоидных формаций и связанного с ними эндогенного оруденения в общей истории развития подвижной области, и на этой основе попытались выяснить основные закономерности размещения эндогенной минерализации и выделить наиболее перспективные рудоносные территории.

В книге основное внимание уделено олову — важнейшему элементу металлогении Приамурья, имеющему важное значение в экономике Приамурья. Все возрастающие трудности открытия новых месторождений требуют поисков более рациональных путей и методов прогнозирования месторождений, возможного лишь на основе установления объективных закономерностей их пространственного размещения.

Анализ и обобщение большого геологического материала, проведенные при участии авторов в 60-х годах в Дальневосточном геологическом управлении, позволили установить для указанной территории ряд важных эмпирических закономерностей пространственного размещения эндогенного оруденения и в том числе оловоносности. К этим закономерностям относятся прежде всего четкое пространственное обособление золотоносных и оловоносных областей, последовательная смена формационных особенностей оловянного оруденения в направлении от Буреинского массива к востоку и ряд других.

Несколько позже (1967 г.) И. А. Плотниковым, С. Ф. Усенко, Н. Е. Сластеновой, А. А. Аралиной, П. П. Кудриной были составлены тектоно-литологическая и тектоно-магматическая карты Приамурья. Наличие этих карт позволило авторам вернуться к пересмотру

материалов по рудоносности Приамурья и на новой тектонической основе уточнить главнейшие закономерности его размещения.

В работе, помимо материалов авторов, использован обширный фондовый материал, материалы региональных стратиграфических совещаний, металлогенических и др. конференций, а также многочисленные опубликованные работы. В частности, при составлении книги были использованы материалы геологической съемки Е. Б. Бельтенева, С. М. Брагинского, Е. И. Бондаренко, В. В. Бобылева, П. П. Бойко, С. С. Дарбиняна, С. И. Горохова, В. А. Дыренко, А. А. Головневой, В. И. Гольденберга, М. Г. Золотова, Е. Ф. Зубкова, И. Я. Зытнера, С. А. Иванова, К. П. Караванова, П. Н. Кошмана, Ю. М. Логинова, Г. М. Левитана, Ю. А. Мамонтова, А. Ф. Майбороды, Б. А. Михайлова, Н. К. Осиповой, Н. Г. Осипова, Д. А. Кирикова, В. В. Русс, Г. Ф. Олькина, А. В. Палагина, Ю. П. Скатынского, Ю. П. Рассказова, Ю. Б. Сазанова, С. А. Салуна, Н. И. Савченко, В. Ф. Сигова, Н. Ф. Смирнова, В. И. Сухова, М. Т. Турбина, В. С. Федоровского, Э. П. Хохлова, В. В. Шиханова, Э. Л. Школьника, Н. С. Шпак, И. Щербины, Л. В. Эйриша, В. А. Ярмолюка и др.; материалы по поискам и разведке рудных месторождений Ю. И. Бакулина, А. Ф. Баранова, Б. И. Бурдэ, Е. К. Дацко, А. В. Демина, А. П. Егорова, А. В. Кочубея, Э. Л. Кохановского, М. П. Короля, О. Н. Кабакова, А. П. Кисца, Н. Ф. Левыкина, М. В. Мартынюка, В. В. Кушева, В. А. Кузьмичева, В. А. Махинина, Н. В. и И. Н. Медведевых, Н. В. Огнянова, В. В. Онихимовского, В. А. Перваго, И. А. Плотникова, В. Е. Прокурникова, П. В. Рабчевского, В. Я. Рябкова, В. К. Рябова, В. Г. Сенкевича, П. Н. Селезнева, О. Н. Степанова, В. Э. Синицкого, Н. А. Терентенко, Д. Н. Таюрского, Г. Е. Усанова, С. Ф. Усенко, А. Ф. Христич, Р. П. Феклович, М. В. Чеботарева, О. Ф. Шишкановой, С. Л. Штейнberга, Е. Я. Шапошникова, Г. П. Шавро, П. А. Эпова и др., а также обобщающие работы по геологии и металлогении Приамурья Н. А. Беляевского, Г. М. Власова, Г. П. Воларовича, М. Г. Золотова, Э. П. Изоха, М. И. Ициксона, Г. В. Ициксон, Л. И. Красного, П. Н. Кропоткина, А. Н. Криштофовича, Е. А. Кулиш, Э. Н. Лишиневского, М. П. Материкова, С. А. Музылева, М. С. Нагибиной, В. В. Онихимовского, Е. А. Радкевич, И. Б. Райхлина, М. Г. Руб, С. А. Салуна, А. М. Смирнова, М. А. Фаворской, Ю. А. Ходака, В. А. Ярмолюка.

Авторы выражают глубокую признательность доктору геологоминералогических наук, профессору С. Ф. Лугову за существенную помощь и содействие в подготовке рукописи к изданию и сотруднику ДВИМС О. С. Усенко за большую работу по оформлению графики и литературной обработке рукописи.

Г л а в а I

ОБЩИЕ СВЕДЕНИЯ О ГЕОЛОГИЧЕСКИХ СТРУКТУРАХ ПРИАМУРЬЯ

Рассматриваемая часть Приамурья охватывает территорию около 400 тыс. км², ограниченную на западе р. Буреей, на севере и востоке побережьем Охотского моря и Татарского пролива, с юга реками Амуром, Уссури и Бикин.

Это преимущественно горная страна, равнины составляют не более 30% общей ее площади. Равнинные пространства разделяют характеризуемую область на две крупные горные морфоструктуры: западную — Хингано-Охотскую и восточную — Сихотэалинскую.

Хингано-Охотская горная морфоструктура представляет собой сложную систему хребтов (северо-восточного и близмеридионального простирания с абс. высотами 1000—2100 м) Малого Хингана, Буреинского, Баджальского, Дуссе-Алиня, Ям-Алиня и других, смыкающихся на севере с горной системой хребтов Тукурингра-Джагды. Восточные предгорья системы характеризуются низкогорьем, к западу оно сменяется среднегорьем, а в осевой зоне хребтов — гольцовыми возвышенностями массивных гор, сложенных гранитами и резко расчлененным альпинотипным рельефом в районах развития кислых эфузивных покровов.

Сихотэалинская горная морфоструктура субмеридионального простирания характеризуется в основной своей части среднегорьем с мягким очертанием гор в районах, сложенных осадочными толщами, и резко расчлененным рельефом в районах развития кислых эфузивов. Отметки вершин обычно не превышают 2000 м. К северу от Амура отметки поникаются и Сихотэалинская горная система как бы распадается на ряд невысоких хребтов — Чаятынского, Омельдинского, Омальского, Мевочанского, Магу, Дымкан и др.

Озерно-аллювиальные и аллювиальные равнины, разделяющие охарактеризованные горные морфоструктуры, представляют собой систему кайнозойских депрессий (Среднеамурсскую, Удиль-Кизинскую и Усть-Амгунскую), ориентированных в северо-восточном направлении вдоль р. Амур, и Эворон-Чукчагирскую и ряд более мелких впадин, образующих близмеридиональную зону депрес-

сионных погружений. Последняя прилепляется к северо-восточной зоне впадин на широте приусьевой части р. Горюн и вытягивается в направлении к Тугурскому заливу.

Рассматриваемый регион характеризуется сочетанием складчатых и глыбовых структур различной ориентировки и возраста (рис. 1).

В западной части располагается глыба Буреинского срединного массива; к северо-востоку до побережья Охотского моря — субширотные и северо-восточные складчатые структуры Монголо-Охотской складчатой области; к востоку от массива — северо-восточные складчатые структуры Сихотэалинской складчатой области, составляющие основную часть рассматриваемого региона. Вдоль побережья Татарского пролива располагается Прибрежный вулканогенный пояс, представляющий собой пограничную краевую магматогенную структуру, отделяющую мезозойские складчатые структуры Сихотэалинской области от кайнозойской Хоккайдо-Сахалинской складчатой системы.

В пределах рассматриваемой восточной половины Буреинского массива выделяются поля гранитоидов (Туранское, Буреинское и др.), останцы кровли и крупные ксенолиты (Амурский, Чегдомынский, Ниманский, Кимканский, Мельгинский и др.). На восточном фланге Монголо-Охотской складчатой области выделяются Тайканское и Тугурское горст-антиклинальные поднятия, Торомский грабен-синклиниорий, Буреинский и Селиткано-Торомский синклиниории. В пределах Сихотэалинской складчатой области выделяются: Сулукский, Софийский и Кербинский выступы фундамента; Баджальское, Ниланское и Центрально-Сихотэалинское антиклинальные поднятия; Амгунский, Горинский, Западно- и Восточно-Сихотэалинские синклиниории; Средне-Амурская, Чукчагир-Эворонская, Удильская и др. впадины, а также ряд менее значительных структур. Большинство перечисленных структур разграничиваются разломами.

В послегеосинклинальный период развития региона геосинклинально-складчатые структуры были значительно переработаны тектоно-магматическими процессами и на их месте сформированы магматогенные сводово-глыбовые пояса — Хингано-Охотский и Сихотэалинский.

Характеризуемая область располагается в зоне перехода от древних структур Сибирской платформы и Станового раннепротерозойского складчатого пояса к молодым Тихоокеанским геосинклинальным структурам.

История геологического развития Приамурья во многом еще неясна. Начало геосинклинального развития Сихотэалинской подвижной области (основной части Приамурья) относится к девону, завершение геосинклинального развития падает на поздний мел.

На основании материалов исследования Сихотэалинской подвижной области М. И. Ицикsona (1955 г.), С. А. Музилева (1965 г.), Л. И. Красного (1966 г.), Г. В. Ициксона (1961 г.) представляется, что в раннем и среднем протерозое к ахейским сооружениям Алданского щита Сибирской платформы с юга и юго-востока прилепились

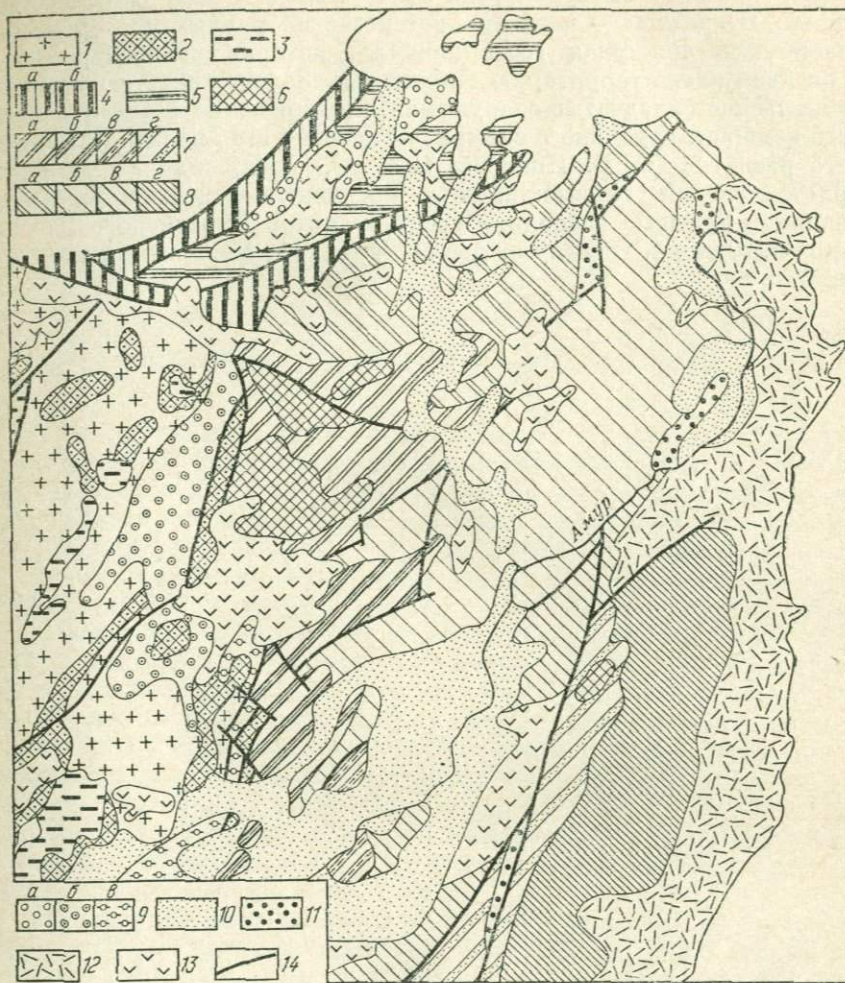


Рис. 1. Схема главнейших структур Приамурья. По Е. Б. Бельтевенку, М. Г. Золотову, И. А. Плотникову, И. И. Шапочки, 1970 г.

Буреинский массив: 1 — гранитное основание массива; 2 — ксенолиты фундамента; 3 — остатки кровли гранитов. **Монголо-Охотская складчатая область:** 4 — горст-антиклиниорий: а — Тайканский, б — Тугурский; 5 — Торомский грабен-синклиниорий. **Сихотэалинская складчатая область:** 6 — выступы фундамента; 7 — антиклиниории: Ниланский (а), Баржальский (б), Хабаровский (в), Центрально-Сихотэалинский (г); 8 — синклиниории: Амургский (а), Горинский (б), Западно-Сихотэалинский (в), Восточно-Сихотэалинский (г); 9 — наложенные прогибы (синклиниории): Селиткано-Торомский (а), Буреинский (б), Урмийский (в); 10 — кайнозойские впадины; 11 — приразломные поднятия; 12 — Прибрежный вулканический пояс; 13 — вулканические зоны; 14 — главнейшие зоны разломов

складчатые структуры ранних протерозоид, которые в настоящее время образуют ее окаймление (пояс хребтов Станового и Джугджура), а также выступы среди более молодых складчатых сооружений. В среднем — позднем протерозое на ранних протерозоидах заложилась обширная геосинклиналь, которая распространялась и на нынешнюю территорию Приамурья. Завершившие ее развитие байкальские складчатые сооружения, претерпевшие в течение позднего кембрия, ордовика и силура длительный этап квазиплатформенного развития (Г. В. Ициксон, 1959 г.), послужили фундаментом Сихотэалинской геосинклинали. Фрагментами этих сооружений являются крупные ксенолиты среди гранитов Буреинского массива и ряд выступов к востоку от него (Софийский, Кербинский и Сулукский).

Г л а в а II

ИСТОРИЯ ИЗУЧЕНИЯ ОЛОВОНОСНОСТИ

Открытие и изучение оловоносности на территории Приамурья тесно связано с развитием систематических геологических исследований, начало которым положено первым пятилетним планом экономического развития страны. За 40 лет планомерных геологосъемочных, поисково-разведочных и тематических исследований достигнута высокая степень изученности региона. В настоящее время вся территория Приамурья покрыта съемками среднемасштабного геологического картирования; начато крупномасштабное картирование рудных районов; завершены сводные работы по стратиграфии, тектонике, магматизму и рудоносности; составлены структурно-тектонические, тектоно-магматические и прогнозно-металлогенические карты как для территории Приамурья в целом, так и для отдельных рудных районов, и прежде всего оловоносных. Достигнутая степень изученности территории, ее структурного и металлогенического районирования позволяет целенаправленно планировать поисковые работы не только на олово, но и на многие другие виды минерального сырья.

История систематического изучения оловоносности на территории Приамурья насчитывает немногим более трех десятков лет. За этот отрезок времени в различных районах открыто и разведано значительное число различных по типу, масштабам и промышленной ценности месторождений.

Первые открытия оловоносности сделаны в районах наиболее четко проявленной, но мало перспективной преимущественно высокотемпературной минерализации — в Верхне-Буреинском, Эзопском и др. районах. Вместе с тем опыт изучения оловорудных месторождений на Северо-Востоке и особенно в Приморье, где в это время были открыты крупные оловорудные месторождения касситерит-сульфидной формации — Лифудзинское (Г. П. Воларович и А. З. Лазарев, 1939—1940 гг.) и Хрустальненское (В. А. Ярмоляк и С. Ф. Усенко, 1940—1941 гг.), указывал на возможность открытия благонадежных

типов оловорудных месторождений и в Приамурье. Практика последующих лет показала обоснованность этих предположений.

Историю изучения оловоносности Приамурья условно можно разделить на два основных периода: начальный, или довоенный, и современный. Начальный период (от конца 30-х до начала 40-х годов) связан в основном с изучением оловоносности Верхне-Буреинского и сопредельных с ним районов (бассейны Буреи, Нимана, Амгуни, Харгу, Олги, Салари, Самыр и др.), осуществляя преимущественно трестом «Союзникелеволоворазведка» (В. В. Купер-Конин, М. Н. Ивантишин, И. Пугачев, Г. М. Константинов, Д. И. Ивлиев и др.). Эти районы характеризуются ярко проявленной оловянной минерализацией кассiterит-кварцевой и отчасти пегматитовой формаций. Господствовавшие в то время «классические» представления о рудогенезе и типах оловорудных месторождений, возникшие на опыте изучения месторождений Рудных Гор и Корнуэлла, ориентировали в основном именно на этот тип месторождений и в известной мере сдерживали поиски других типов. К этому времени относятся открытия (бассейн р. Буреи) Верхне- и Среднеипатинского месторождений (Г. М. Константинов, 1938 г.), Серегектинского и Усманского (Д. И. Ивлиев, 1939 г.), Мерекского и Верхнемерекского (Д. И. Ивлиев, 1940 г.), горы Перевальной и ключей Рудного и Арсенопиритового (Д. И. Ивлиев, 1941 г.).

Наряду с этим были выявлены и другие типы рудопроявлений. Так, в начале 40-х годов в верховьях р. Нимана среди докембрийских гнейсов, интрудированных меловыми гранитоидами, установлены сульфидизированные оловоносные зоны дробления (рудопроявление «18 августа», М. П. Материков, 1941 г.). В бассейне рек Салари и Самыр обнаружена повышенная оловоносность аллювия кл. Анкачи и р. Салари (Ф. М. Богданов, 1942 г.), а в верховьях р. Правая Бурея — высокотемпературные рудопроявления вольфрама и олова (Г. М. Константинов, 1943 г.).

Аналогичные кварцевые жилы с кассiterитом, вольфрамитом, молибденитом, арсенопиритом и висмутом обнаружены в бассейне р. Амгунь (р. Сулук-Макит). Олово-вольфрамовое рудопроявление среди грейзенизованных гранитов, аналогичное Среднеипатинскому месторождению, а также россыпи кассiterита выявлены и в бассейне рек Ланы и Имсонах (Г. И. Пушников, 1942 г.).

В конце характеризуемого периода значительное количество россыпных и рудных проявлений олова установлено также в области хр. Эзоп. Так, россыпи кассiterита, золото-шеелитовые и кварц-топазовые оловоносные жилы и прожилковые зоны вскрыты в системе р. Харги (Ю. И. Марцун, 1944 г.; М. Ю. Жилин, 1945 г.). На южных склонах хр. Эзоп, в бассейне р. Олгакана, в близкой геологической обстановке выявлены кварцевожильные и кварцевогрейзеновые оловянные месторождения Первое и Второе Олгаканское (Г. М. Константинов, 1944 г.). В бассейне нижнего течения р. Ниман установлена оловоносность аллювия р. Б. Аимки и оловоносные пегматиты р. Агдони (В. В. Онихимовский, 1944 г.).

Примерно в это же время на Малом Хингане была установлена оловоносность аллювия р. Левый Хинган (М. И. Ициксон, 1943 г.), последующее изучение которой привело к установлению кассiterита в аллювии бассейна рек Олоно, Кимканы, Правого Хингана, а потом и к открытию среди меловых эфузивов Хинганского оловорудного месторождения (М. И. Ициксон и А. П. Прокофьев, 1944 г.).

Со второй половины 40-х годов начинается второй период в изучении оловоносности Приамурья, характеризующийся большей целеустремленностью исследований и началом металлогенических обобщений. Открытие Хинганского месторождения, вслед за открытием месторождений Южного Приморья, в значительной мере пополнило представления о металлогении Приамурья, а в итоге сказалось и на геологической эффективности последующих исследований.

Успеху поисковых исследований рассматриваемого периода в Приамурье несомненно способствовало открытие С. С. Смирновым (1937 г.) нового перспективного типа месторождений сульфидно-касситеритовой формации, представители которой обнаружены были вначале в Приморье, затем в Приамурье, а также обоснование гигантской кольцеобразной структуры Тихоокеанского рудного пояса (С. С. Смирнов, 1946 г.). Метод регионального металлогенического анализа, разработанный на основе идей С. С. Смирнова коллективом ученых ВСЕГЕИ под руководством Ю. А. Билибина, сыграл также определенную роль в изучении минеральных богатств Приамурья.

С открытием Хинганского месторождения центр тяжести поисковых работ ДВТГУ переместился из Приморья в Приамурье и в первую очередь на Малый Хинган и сопредельные с ним районы. В результате на Малом Хингане выявлен ряд новых оловоносных участков, а также погребенные под базальтами россыпи древней террасы р. Удурчука, а северо-восточнее от него — оловянно-вольфрамовая минерализация в бассейне верхнего течения р. Урми (М. И. Ициксон, А. П. Глушков, А. И. Кончакова, 1947 г.). Кроме того, обнаружен ряд оловянных и оловянно-вольфрамовых рудопроявлений касситерит-кварцевого (ключей Аленушкинского, Агын-Бира, Олгон, Олгон-Макит, Забытый) и касситерит-сульфидного типов (ключей Водопадного, Сульфидного и р. Омот).

Среди меловых эфузивов Малого Хингана было оконтурено рудное поле Обманийского месторождения, характеризующегося несколькими типами оловянной минерализации: хлорит-магнетитовым, касситерит-хлорит-кварцевым и вторичными кварцитами (В. А. Кузьмичев и др., 1946 г.).

Весь этот материал позволил М. И. Ициксону (1947 г.) рассматривать Верхне-Урмийский район (наряду с Малохинганским) как составную часть наметившегося Хингано-Охотского оловоносного пояса, охарактеризовать сам пояс и обосновать рекомендации по дальнейшим поискам и изучению оловоносности в области хр. Баджал и Тырмо-Урмийского междуречья.

В Сутарском районе, на водоразделе рек Урила и Биушки, в погребенной под базальтами золотоносной россыпи установлено присутствие деревянистого кассiterита (Агеев, 1948 г.). Эта находка, как и предыдущие (М. Н. Доброходов, 1938 г.), привела к открытию П. Н. Кошманом в 1952 г. Джалиндинского месторождения олова риолитового типа.

Работами треста «Востсиболово» в бассейнах рек Хингана и Кимкана выявлены и разведаны россыпи конуса выноса кл. Малинового и р. Левый Хинган (Ф. К. Курьянов, 1947, 1948 гг.), а в Нижнем Приамурье установлена кассiterит-сульфидная минерализация на Верхнеудоминском участке бассейна р. Тумнин (М. Ю. Жилин, 1949 г.).

Значительные по объемам поисковые работы продолжались в 50-е годы (ДВТГУ и ВСЕГЕИ) в Малохинганском, Верхнебуреинском, Харгинском и Приохотском районах (Хингано-Охотский пояс), а также в Центральном и Северном Сихотэ-Алине и Нижнем Приамурье (Сихотэалинский пояс). На Малом Хингане, наряду с Джалиндинским месторождением деревянистого олова, было открыто Карадубское оловорудное месторождение (В. А. Кузьмичев, Н. Н. Никулин, П. Н. Кошман, 1954 г.), а на Сихотэ-Алине выявлены первые рудопроявления: Пионерское, Сакай-Бапу, Таусинское (А. А. Головнева, 1953 г.; С. Я. Nikolaev, 1954 г.). Одновременно геологами ВСЕГЕИ (Н. Н. Воронцов, 1955 г.; А. В. Демин, В. К. Финашин, 1955 г.; Н. И. Позняков и А. А. Плисов, 1955 г.; В. Е. Проскурников и Р. М. Павелкин, 1955 г.) вскрыты рудопроявления и дана оценка ряду перспективных оловоносных узлов — Верхне-Бикинского, Монаусского и Джаяурского.

Во второй половине 50-х годов крупномасштабные поисковые, поисково-съемочные и тематические работы продолжались и на хр. Эзоп. На северных склонах хребта, в бассейне верхнего течения р. Харгу, выявлен ряд рудопроявлений олова, вольфрама, молибдена, свинца и цинка (П. А. Эпов и П. Н. Селезnev, 1956 г.). Изучались также и ранее открытые Олгаканскоe и Широтное оловорудные месторождения, их окрестности и аллювий бассейна верхнего течения р. Олгакан (Е. Я. Шапошников и И. П. Бойко, 1956 г.).

В 1957 г. завершены работы по крупномасштабному геологическому картированию восточной части оловоносной площади хр. Эзоп, начатые в 1954 г. (С. Ф. Усенко, В. Р. Анисимов, И. В. Анисимова, 1955, 1956, 1957 гг.). В результате установлены структурные условия проявления оловянного оруденения, дана схема металлогении района и перспективная оценка его рудоносности. Параллельно проводилось изучение петрологии эзопских рудоносных гранитоидов (Г. Т. Татаринов, 1956, 1957 гг.), а также изучение вещественного состава оловорудных месторождений и рудопроявлений хр. Эзоп (В. К. Рябов, 1960 г.).

В Нижнем Приамурье Дальневосточным геологическим управлением закончена разведка Учаминского олово-полиметаллического

(с золотом) месторождения (А. В. Кочубей, 1955 г.); выявлен ряд скарновых и кварцево-жильных олово-полиметаллических рудопроявлений в бассейне р. Керби (А. Д. Машовец, Д. Н. Таюрский, 1955 г.; В. И. Поликанов, 1955 г.).

Сотрудниками ВСЕГЕИ осуществлены значительные работы научно-методического и прогнозного характера. Проведены углубленные исследования отдельных месторождений Малого Хингана, изучены типы руд, морфология тел, особенности структур рудного поля, а также условия локализации оруденения (Г. В. Ициксон, 1953, 1954 гг.) и генезиса месторождений (М. И. Ициксон, 1952 г.). Проведен анализ методики поисков в отдельных рудных районах и выработаны рекомендации по рациональному комплексированию методов (К. Б. Ильин, 1954 г.).

С открытием Верхнебиджанского месторождения, залегающего в карбонатных породах протерозоя, поисковые работы развернулись и в центральной части Малого Хингана, в окрестностях самого месторождения и на Кабалинском и Костенгинском участках (Н. В. Отнянов и Н. И. Позняков, 1958 г.). В это же время закончены геологоразведочные работы на Карадубском оловорудном месторождении (О. Ф. Шишканова, 1958 г.).

Исследованиями Г. В. Ициксон и др. (1959 г.) и Г. В. Комаровой (1960 г.) установлен близповерхностный характер Джалиндинского месторождения. Доказано, что присутствующий в рудах месторождения индий образует не изоморфную примесь в кассiterите, как полагали ранее, а дисперсные индий-мышьяковистые и окисные минералы, среди которых А. Д. Генкин и И. В. Муравьева (1963 г.) установили два новых минерала: гипогенный индит и продукт его гипергенных преобразований — джалиндит.

Позднее на Малом Хингане были проведены крупномасштабные металлогенические исследования (В. А. Махинин, Б. И. Бурдэ, 1966 г.) и опубликован ряд работ, посвященных геологии и вещественному составу оловорудных месторождений и их связи с магматизмом (Г. В. Ициксон и др., 1959; Ф. Г. Федчин, 1963, 1964).

Геологоразведочными работами комбината «Хинганолово» и ДВТГУ на Хинганском месторождении установлено оруденение на глубоких горизонтах, тем самым подтверждено высказанное ранее Г. В. Ициксон (1952 г.) мнение о наличии на месторождении глубинных горизонтов оруденения. Южнее Хинганского месторождения в аналогичной геологической обстановке было открыто Березовское месторождение, представляющее собой систему зон гидротермально измененных пород и кварцевых метасоматитов, несущих кассiterит-сульфидную минерализацию (Б. И. Бурдэ и др., 1962 г.). В ходе последующих работ месторождению дана положительная оценка и выявлен ряд других перспективных участков (Центральный, Красавчик и др.).

Начиная с 1956 г. самые крупные по масштабам поисковые и разведочные работы проводились в Комсомольском рудном районе.

Начало открытию этого района положено работами Н. П. Саврасова (1937 г.), И. Я. Зытнера (1954 г.) и Н. К. Осиповой (1955 г.), а открытие первого Солнечного месторождения принадлежит О. Н. Кабакову (1955 г.). Кроме того, был открыт ряд новых рудных объектов: в 1956 г. открыто Гайчанское (В. Е. Проскурников и А. В. Демин) и Перевальное (П. А. Эпов и Ю. И. Бакулин, П. Н. Селезнев) месторождения; в 1957 г. — Фестивальное (П. А. Эпов, Г. Ф. Ковалев, В. А. Беспалов), Чалбинское (А. П. Растворцев, В. Ф. Курочкин) и Ветвистое (В. А. Беспалов, И. П. Бойко, Н. А. Терентенко), в 1959 г. — Придорожное (Ю. И. Бакулин), в 1960 г. — Лунное (В. И. Клемин, Б. Н. Кузьмин), а в 1962 г. — Снежное (В. Б. Кушев) оловорудные месторождения.

Положительные результаты получены в бассейне рек Кукша и Джанур на Сихотэ-Алине, где выявлены прожилково-вкрашенные оловоносные зоны сульфидного и турмалин-сульфидного типов оруденения (С. С. Мещеряков и В. Е. Проскурников, 1956 г.). В бассейнах рек Хуту и Гобили в ходе поисковых работ открыто Мопауское кассiterит-сульфидное месторождение и участок Железистый с проявлением олово-полиметаллической минерализации (Н. И. Позняков и В. К. Финашин, 1958 г.). Оловоносные зоны интенсивной сульфидизации выявлены геологами ВСЕГЕИ в бассейнах рек Бачелазы, Има-Сикчи и Катэна (Г. В. Золотухин, А. С. Терехин и А. А. Арутянян, 1956 г.). Изучением генетических особенностей оловорудных проявлений Северного Сихотэ-Алиня установлено значительное их разнообразие; для многих из них подмечено существенное сходство с южноокеанскими оловорудными месторождениями (Воронин и Ильин, 1956 г.).

В последовавшие затем годы поисковые работы на Сихотэ-Алине практически прекратились и возобновились только с 1963 г. С тех пор на Северном Сихотэ-Алине продолжается крупномасштабное геологическое картирование, геофизические, поисковые и разведочные работы в пределах наиболее перспективной Мопауской рудной зоны (Бута-Копшинский рудный район). Материалы предварительной разведки Сакай-Бапу, Таусинского и Рудного, Пионерского и Мопауского месторождений (В. Н. Болдовский, Е. А. Балуев, Р. Д. Печинский и др., 1963—1966 гг.) характеризовали их положительно. Однако более детальное изучение показало в общем ограниченные размеры месторождений (Г. А. Тарасов и В. А. Перепелица, 1966 г.; Е. А. Балуев, 1969 г.; Ю. В. Рипинский, 1970 г.).

В Баджалском оловоносном районе В. Е. Проскурниковым (1958 г.) в бассейне рек Могды и Орокот выявлены два перспективных рудопроявления турмалин-сульфидного типа. Дальнейшее изучение на этом было приостановлено и возобновилось лишь в самые последние годы. Работами ДВТГУ и ДВИМС здесь выявлено несколько перспективных оловорудных проявлений скарнового типа (кл. Болторо) и турмалин-сульфидного типа; изучение их продолжается.

В течение последнего десятилетия в оловорудных районах Приморья все шире проводятся тематические исследования различными

организациями: ВСЕГЕИ (Э. П. Изох, И. В. Кунаев, В. В. Русс и др.), Дальневосточным геологическим управлением (П. Н. Кошман, В. Н. Главацкая, Н. Н. Никулин, М. В. Чеботарев, С. Ф. Усенко, И. А. Плотников, А. В. Палагин, М. В. Мартынюк и др.); Дальневосточным институтом СО АН СССР (Е. А. Радкевич, В. К. Рябов и др.); ИГЕМ (М. Г. Руб, Б. В. Макеев, и др.); ЦНИИолово (А. В. Шушканов); ГЕОХИ (В. Л. Барсуков, Т. М. Сущевская и др.); ДВИМС (С. Ф. Усенко, А. Ф. Болотников, Н. С. Кравченко, Н. К. Крутов, Н. Н. Никулин и др.) и рядом других учреждений. В настоящее время поисковые, разведочные и научно-исследовательские работы на олово в Приамурье продолжаются в значительных объемах.

586



Г л а в а III

СТРАТИГРАФИЯ

1. ПРОТЕРОЗОЙ И РАННИЙ ПАЛЕОЗОЙ

В строении фундамента Сихотэалинской складчатой области принимают участие протерозойские и раннепалеозойские (кембрийские) геосинклинальные образования.

Раннепротерозойские образования слагают крупные ксенолиты фундамента в Малохинганском и Туранском блоках Буреинского массива и Софийский выступ фундамента в Ниланском антиклиниории. Это первично терригенные и вулканогенно-терригенные осадки, метаморфизованные в амфиболитовой фации.

В Амурском и Ниманском ксенолитах они представлены комплексом пород, именуемым амурской серией. Нижняя часть серии (туловчихинская свита, мощн. 3500—4500 м) сложена почти нацело гранитизированными породами, среди которых значительную роль играют биотитовые гнейсы; в средней части преобладают амфиболиты и амфиболитовые сланцы, с прослойями тех же биотитовых гнейсов (дичунская свита, мощн. 300—400 м), а в верхней (урильская свита, мощн. 1500—2000 м) — разнообразные слюдяные сланцы и парагнейсы.

В Чегдомынском ксенолите фундамента, в его северной части, раннепротерозойские образования выделены под названием тастахской серии. Нижняя и средняя части серии (амбардахская и саганарская свиты, суммарная мощн. до 7000 м) сложены разнообразными гнейсами и кварцитами, а верхняя (лекананская свита, мощн. до 1000 м) — гнейсами и кристаллическими сланцами. Породы южной части ксенолита (гуджальская серия, мощн. до 3500 м) по составу близки породам саганарской и леканской свит тастахской серии. Низы гуджальской серии сложены биотитовыми гнейсами с прослойями двуслюдяных гнейсов, амфиболитов, мраморов и кварцитов; в средней части разреза преобладают кварциты с прослойями слюдисто-графитистых сланцев, амфиболитов и мраморов, а верхняя часть сложена слюдяными сланцами с маломощными линзами мраморов, амфиболитов и кварцитовидных песчаников. Раннепротерозойские

образования Софийского выступа фундамента представлены в основном кристаллическими сланцами: в основании кварц-слюдяно-альбитовыми (саларинская свита, мощн. 1600 м) и альбит-кварц-слюдяными, а в верхней части разреза — эпидот-хлоритовыми сланцами и слюдистыми кварцитами (ипатинская свита, мощн. 500 м).

С перерывом и несогласием на раннепротерозойских залегают среднепротерозойские образования. На Буреинском массиве к ним относится союзенская свита (мощн. 1500—1700 м), слагающая основание Кимканского ксенолита и представленная графитовыми, графит-серицит-кварцевыми и кварц-слюдяными сланцами и мраморами. В зоне Ниланского антиклиниория породы этого возраста принимают участие в строении Софийского и Кербинского выступов фундамента; в первом они залегают на раннепротерозойских, а во втором — образуют его основание. Южнее эти породы целиком слагают Сулукский выступ фундамента. На всех этих участках среднепротерозойские породы представлены кристаллическими сланцами суммарной мощностью свыше 5 тыс. м. В основании разреза залегают разнообразные сланцы: графит-серицит-кварцевые, хлоритовые, хлорит-актинолит-кварцевые и альбит-серицит-кварцевые (самырская свита, мощн. 1500—1800 м). В средней части разреза преобладают серицит- и серицит-мусковит-кварцевые и альбит-сериицит-кварцевые сланцы (аныкская свита, мощн. до 2000 м). Разрез завершают эпидот-хлоритовые и эпидот-актинолитовые сланцы (ортукская свита, мощн. 1500 м).

Образования раннего и среднего протерозоя глубоко метаморфизованы и сложно дислоцированы в северо-восточном и близмеридиональном направлении. С этими породами на Малом Хингане ассоциируют соскладчатые амфиболиты, метагаббро, метадиориты, габброАмфиболиты и метапироксениты (древнехинганский геосинклинальный апогаббро-диабазовый комплекс), а также сложный древне-буреинский мигматит-гранит-плагиогранитовый комплекс. С союзенской свитой связаны месторождения графита (Союзенское) и проявления высокоглиноземистого сырья.

Образования позднего протерозоя встречаются на тех же площадях, что и среднепротерозойские, залегают они со значительным перерывом. Эти породы сложно дислоцированы и метаморфизованы в зеленосланцевой фации. В Малохинганском блоке Буреинского массива они слагают Кимканский ксенолит и представлены углисто-карбонатно-терригенными породами хинганской серии. В низах серии залегают мраморы, кварциты, филлиты, углисто-графитовые и кварц-сериицитовые сланцы (дитурская свита, мощн. 1100—1200 м), в средней части преобладают сланцы: глинисто-сериицитовые, кварц-хлоритовые, углисто-глинистые, филлиты и рассланцованные песчаники (игинчинская свита, мощн. 1000—1100 м), а в верхней — карбонатные породы: доломиты, известняки и магнезиты в сочетании с кремнистыми, кремнисто-сериицитовыми, углисто-глинистыми и глинистыми сланцами (мурандавская свита, мощн. 750—1100 м).

С углистыми породами дитурской свиты связана повышенная ванадиеносность и молибденоносность, а с мурандавской — известные на Малом Хингане месторождения магнезитов (Самарское, Биджанское, Луковское) и бруссита (Кульдурское месторождение). С игинчинской и мурандавской свитами параллелизуются породы Мельгинского ксенолита, представленные терригенными (суларинская свита) и терригенно-карбонатными (мельгинская свита) образованиями суммарной мощностью выше 2000 м. В Ниланском горст-антиклинарии позднепротерозойские породы участвуют в строении Софийского и Кербинского выступов фундамента, где они представлены различными сланцами: кварц-слюдяными, эпидот-актинолит-хлоритовыми, кварц-серicit-графитовыми и глинисто-серicitовыми, а также рассланцованными песчаниками суммарной мощностью 3500 м (златоустовская и сагурская свиты). Слюдяные сланцы, кварциты, инъекционные гнейсы, хлорит-актинолит-эпидотовые сланцы и рассланцованные песчаники слагают также Ануйский блок в Центральной зоне Сихотэ-Алиня.

Раннекембрейские (раннекембрейские) образования служат заключительным звеном в строении фундамента Сихотэалинской складчатой области. На Буреинском массиве раннекембрейские породы слагают Кимканский и Мельгинский ксенолиты. В первом они представлены рудоносной и лондоковской свитами. Рудоносная свита с размывом залегает на мурандавской (поздний протерозой) и сложена разнообразными сланцами (кварц-серicitовыми, кварц-хлоритовыми, туфогенными, углистыми и др.) с прослоями известковых и доломитовых пород и пластами железных и марганцевых руд в основании. Последние образуют рудоносный горизонт мощностью от 20 до 60 м, сложенный тонкослоистыми полосчатыми магнетитовыми и гематитовыми кварцитами, а также браунитовыми, гаусманитовыми, родохрозитовыми и олигонитовыми кварцитами, залегающими под железистыми кварцитами. Лондоковская свита согласно перекрывает рудоносную и представлена карбонатными породами (в низах) и кремнистыми и глинистыми сланцами в верхах разреза; ее мощность достигает 1000 м.

В Мельгинском ксенолите кембрейские отложения представлены чергиленской свитой (возрастным аналогом рудоносной), сложенной карбонатно-терригенными, карбонатными и груботерригенными породами. Мощность свиты до 800 м. Раннекембрейские терригенно-кремнисто-вулканогенные и кремнисто-вулканогенно-терригенные формации слагают также Тайканский горст-антиклинарий (хр. Тайканский) и Тугурский горст-антиклинарий. В Тайканском горст-антиклинарии эти породы имеют мощность более 8000 м (улигданская и онетокская свиты). Улигданская свита сложена разнообразными яшмами, диабазами, туфами, известняками, песчаниками и алевролитами с линзовидными залежами железных и марганцевых руд и фосфоритов. Состав вышележащей онетокской свиты близок улигданской, но с преобладанием терригенных образований. Почти аналогичен состав раннекембрейской муникацкой свиты в зоне Тугур-

ского антиклиниория, только она не сопровождается железо-марганцево-фосфатным оруднением и имеет мощность около 2000 м.

В послераннекембрийское время, в результате байкальской складчатости, отложения позднего протерозоя и раннего кембрия были дислоцированы в крутие складки меридионального, северо-восточного и близширотного простирания. Складчатость завершается интенсивным магматизмом, широко проявленным на Буреинском массиве (древнехинганский габбро-плагиогранитовый и биробиджанский гранитовый комплексы). Интрузивные комплексы (495—380 млн. лет) прорывают ранний кембрый и перекрываются силурийскими отложениями, развитыми за пределами рассматриваемой территории.

2. ПАЛЕОЗОЙ И МЕЗО-КАЙНОЗОЙ

На байкалидах в рассматриваемой части Приамурья залегают девонские геосинклинальные отложения. Наибольшее развитие они получили в Приохотье-Торомском грабен-синклиниории. Они представлены здесь всеми отделами. Суммарная мощность девона свыше 15 тыс. м. Нижняя часть разреза синклиниория, до эйфельского яруса включительно, сложена преимущественно отложениями терригенно-кремнисто-вулканогенной группы формаций мощностью свыше 8000 м (свиты: Мыса Радужного, Мыса Топазного, озерная свита, свита Мыса Горбатого). От верхов эйфельского и до фаменского яруса включительно в составе формаций резко возрастает роль терригенных пород. В этой части разреза мощностью около 8000 м преобладают песчаники, алевролиты, гравелиты, конгломераты и брекчии; карбонатные, вулканогенные и кремнистые породы образуют лишь отдельные пачки, прослои и линзы (боковиковская, омокайская, большеомокайская и др. свиты). Предположительно девонские геосинклинальные отложения терригенно-кремнистого и карбонатно-терригенного состава встречаются в Сомнинском приразломном поднятии Амгунского синклиниория.

Девонские отложения юго-западной части Сихотэалинской складчатой области резко отличны от охарактеризованных. Они представлены только нижним и средним отделами и имеют меньшую мощность (2800 м). Отличаются преимущественно карбонатно-терригенным составом и выполняют наложенные прогибы или фрагменты этих прогибов на восточной окраине Буреинского массива. Так, осадки, выполняющие Урмийский наложенный прогиб, залегают на размытой поверхности протерозойских и раннепалеозойских образований и представлены терригенными и груботерригенными породами в основании (пачанская свита, мощн. 1400 м) и перекрывающими их известково-терригенными отложениями мощностью до 1400 м (ниранская свита). Близкие по составу породы в сочетании с туфогенными и эффузивными образованиями мощностью от 1000 до 2000 м сохранились и западнее, на площадях Мельгинского и Кимканского ксенолитов кровли гранитов Буреинского массива.

Аналогичные по типу и возрасту осадки характеризуют девон Ниланского антиклиниория (сивакская свита, мощн. 1400 м), разделяющего рассматриваемую часть Сихотэалинской складчатой области на две части: Северную (или Приохотскую) и Южную.

Каменноугольные отложения известны в тех же районах, что и девонские, на которых они залегают без видимого несогласия. Однако они больше развиты в южной части характеризуемой области, а места их накопления несколько смешены к востоку по отношению к девонским. На севере области, в Тугурском грабен-синглиниории, каменноугольные отложения представлены в основном нижним отделом и только отчасти низами намюрского яруса. Они образуют непрерывный разрез преимущественно терригенных отложений мощностью до 5900 м. В основании разреза залегают окремелые песчаники, алевролиты, кремнистые породы и туфы мощностью до 1500 м (чичакинская свита), а иногда терригенно-кремнисто-вулканогенными и вулканогенно-терригенными (ламская и феклистовская свиты); их перекрывают аналогичные породы теватынской свиты мощностью до 2000 м. Для обеих свит характерно присутствие прослоев и линз кремнистых пород, вулканитов и известняков. Разрез завершают кремнисто- и углисто-терригенные и карбонатные породы мощностью до 2400 м (утанская свита). В Ниланском горст-антклиниории раннекаменноугольные отложения залегают на размытой поверхности девонских. Они слагают разрез мощностью выше 2000 м, сложенный терригенно-вулканогенными (берендинская свита) и вулканогенно-терригенными (крестовая свита) отложениями, содержащими линзы известняков.

В южной части области каменноугольные отложения развиты в Баджальском, Хабаровском и Центрально-Сихотэалинском антиклиниориях. В Баджальском антиклиниории представлены все отделы карбона. Залегающие в основании грубо терригенные и известково-терригенные образования мощностью 1200 м перекрываются аналогичными породами иолинской свиты (мощн. до 1400 м). Разрез венчают спилит-кремнисто-терригенные породы улунской свиты мощностью до 1700 м, сопровождающиеся линзами известняков.

В строении Хабаровского и Центрального-Сихотэалинского антиклиниориев принимают участие лишь средне- и позднекаменноугольные отложения. В первом они представлены воронежской свитой позднекаменноугольных пород кремнисто-вулканогенно-терригенного состава, включающих пачки и линзы известняков (мощн. свиты до 2500 м), а во втором — средним и верхним отделами. Основание каменноугольного разреза Центрально-Сихотэалинского антиклиниория слагают спилит-диабаз-кремнистые породы мощностью до 2000 м, а его верхняя часть представлена джокемийской свитой терригенно-вулканогенных отложений, достигающих той же мощности. Аналогичный по составу разрез каменноугольных отложений характерен и для бикинской части этого антиклиниория, однако со значительно большей мощностью (более 8000 м).

Пермские образования развиты большей частью в южных

районах Сихотэалинской складчатой области — в Баджальском, Хабаровском и Центрально-Сихотэалинском антиклиниориях и в Урмийском наложенном (передовом) прогибе.

В Баджальском, Хабаровском и, вероятно, в Центрально-Сихотэалинском антиклиниориях пермские образования наращивают разрез каменноугольных отложений и представлены обоими отделами. Верхний отдел перми в Баджальском и Центрально-Сихотэалинском антиклиниориях, в отличие от Хабаровского, залегает на нижнем, возможно, с размывом. В связи с позднегерцинскими движениями его осадки выполняют инверсионные впадины и представлены регressiveвыми фациями.

В Баджальском антиклиниории нижний отдел перми в основании представлен песчаниками, алевролитами и глинистыми сланцами мощностью до 1600 м, с линзами известняков, диабазов и спилитов (ярапская свита); средняя часть разреза состоит из типично геосинклинальных терригенно-кремнисто-вулканогенных образований с известняками мощностью до 1300 м (утанакская свита), а в верхней преобладают окременные алевролиты и песчаники с линзами диабазов, спилитов и известняков мощностью до 1800 м (джиакунская свита).

Верхний отдел перми в этом антиклиниории развит слабо, и, по В. И. Сухову (1963 г.) и Н. Г. Осипову (1968 г.), спорадические, нередко приразломные участки сложены терригенными и груботерригенными осадками мощностью до 500—700 м. Подчеркнуто терригенный и груботерригенный характер позднепермских осадков Баджальского антиклиниория свидетельствует о регressiveных условиях их накопления. Это связано с тем, что в позднепермское и раннекредитриасовое время (а может быть и в позднем триасе), в связи со складчатостью и формированием антиклинальных поднятий (в том числе Баджальского), формировались внутренние и передовые молассовые впадины. Такой передовой впадиной является Урмийская, наследовавшая зону Куканского разлома на восточной окраине Буреинского массива. Позднепермские молассовые осадки впадины представлены конгломератами, песчаниками, алевролитами, туффитами, известняками. Они залегают на протерозойских, раннепалеозойских и девонских отложениях и объединяются в три свиты: унгунскую, бабтовскую и середухинскую суммарной мощностью 1650 м.

В Хабаровском антиклиниории пермские отложения представлены также обоими отделами, слагающими непрерывный разрез мощностью до 6500 м. Они залегают без видимого несогласия на позднекаменноугольных породах воронежской свиты. В основании залегает толща вулканогенно-кремнисто-терригенных пород мощностью свыше 1000 м; выше следуют породы хабаровской свиты терригенно-вулканогенно-кремнистого состава с линзами известняков (мощн. до 2500 м), еще выше — мощная (более 3000 м) ванданская свита пород, сложенная в нижней части кремнисто-спилит-диабазовыми (1800 м), а в верхней — известково-терригено-кремнистыми породами (1500 м).

Аналогичный разрез имеют пермские отложения и в Центрально-Сихотэалинском антиклиниории. Характер их основания пока неясен. Возможно, они подстилаются каменноугольными отложениями, которые в приморской части антиклиниория представлены удековской и самаркинской свитами, сложенными терригенными и вулканогенно-терригенными породами. В основании разреза перми Центрально-Сихотэалинского антиклиниория залегают вулканогенно-кремнисто-терригенные образования мощностью 1500 м (ходийская свита), с разрывом перекрытые позднепермскими известково-терригенными молассоидами кафенской свиты мощностью до 2500 м, выполняющими инверсионные впадины. Допозднепермские образования Центрально-Сихотэалинского антиклиниория сопровождаются межпластовыми залежами габбро-диабазов и гипербазитов.

Позднепалеозойские осадочные формации в значительной мере дислоцированы. Раннепермские, как и подстилающие их каменноугольные, отложения сложены в узкие линейные складки северо-восточного простирания, усложненные складчатостью более высоких порядков. С позднепалеозойской складчатостью связаны значительные проявления гранитоидного магматизма, завершившегося в предпозднетриасовую эпоху. Характерно, что в позднепалеозойских складчатых зонах — Баджальском, Центрально-Сихотэалинском и др. антиклиниориях — проявления этого магматизма развиты слабо или вовсе отсутствуют. Они локализуются в лучшем случае в зонах сочленения их с ранее консолидированными структурами. Основная масса интрузивов, подобно ранне- и среднепалеозойским, локализована опять-таки в пределах Буреинского массива. Сюда относится куканский диорит-гранодиоритовый комплекс, локализованный вдоль восточного края Буреинской глыбы, а также комплексы: тырмо-буреинский гранодиорит-гранитовый, алтахтинский комплекс щелочных гранитов и сиенитов и харинский лейкократово-гранитовый. Все они прорывают девонские, каменноугольные и пермские отложения и перекрываются верхнетриасовыми и юрскими. Судя по данным абсолютного возраста (283—185 млн. лет), их формирование происходило на протяжении значительной части перми и триаса.

Образования мезозойской группы представлены мощным комплексом терригенных, кремнисто-терригенных, отчасти вулканогенно-кремнисто-терригенных формаций триаса, юры и мела. В строении Сихотэалинской геосинклинально-складчатой области они играют решающую роль. Триасовые отложения широко развиты в северной части области — на Тайканском горст-антиклиниории, в Торомском грабен-синклиниории и Селиткано-Торомском наложенным прогибе и особенно в южных районах — в Ниланском и Баджальском антиклиниориях, в Амгунском синклиниории, отчасти на Буреинском массиве и на других участках.

Установлено подавляющее развитие образований верхнего отдела триаса. Ранне- и среднетриасовые морские отложения известны только в Урмийском наложенном прогибе, где они с небольшим размывом залегают на позднепермских и представлены в основном грубо-

терригенными породами мощностью свыше 2000 м; на Буреинском массиве, Баджальском и Центрально-Сихотэалинском антиклино-риях им синхронны субаэральные вулканогенные образования (пор-фириты, кварцевые порфиры, туфы, туффиты, туфопесчаники) не-большой мощности (от 200 до 800 м).

Следует отметить, что начавшееся в поздней перми инверсионное развитие Баджальского позднепалеозойского прогиба продолжалось и в течение раннего и позднего триаса. Поэтому позднепермские, ранне- и позднетриасовые отложения, будучи близкими по условиям формирования, оказываются нередко трудно различимыми и по со-ставу, как, например, на хр. Б. Чурки — южной части Урмийского наложенного прогиба (В. В. Бобылев, 1962 г.). В этой связи интересны флишоидные терригенные образования северного крыла Ниланского антиклинория — токурская, экимчанская и амнусская свиты, относимые к позднему протерозою. Они выполняют прогиб, по форме и составу пород близкий Дукинскому (южному) крылу того же антиклинория, отделенного от северного осевой зоной анти-клинория, сложенной палеозойскими породами. Преимущественно терригенный состав и слабая дислоцированность этих пород, нали-чие обугленных растительных остатков флоры и залегание на сагур-ской свите позволяют относить эти образования к позднепермско-триасовым.

Типично геосинклинальные формации позднего триаса имеются только в южной части Сихотэалинской складчатой области. На осталь-ных ее участках эти осадки имеют небольшую мощность и преимущес-твенно терригенный состав. Так, в Торомском грабен-синклиниории, Селиткано-Торомском и Буреинском наложенных прогибах отложе-ния позднего триаса имеют мощность соответственно 1900, 1000 и 700 м и представлены терригенными и известково-терригенными породами. Терригенные и груботерригенные породы этого возраста имеются и в Тайканском горст-антиклино-рии.

Наиболее мощные отложения позднего триаса, представленные геосинклинальным типом формаций мощностью 6000 м и более, уста-новлены на крыльях Ниланского антиклинория и в Амгунском син-клиниории. Нижняя часть их разреза сложена преимущественно груботерригенными породами (конгломератами, гравелитами, пес-чаниками) мощностью до 2400 м (мерекская свита), в средней части преобладают вулканогенно-терригенные и терригенно-вулканоген-ные образования мощностью до 1800 м (маганская свита), а в верхах преобладают терригенные породы — песчано-алевролитовые с эле-ментами флишоидного переслаивания мощностью до 2000 м (уссо-махская свита). Сравнительно мощные (до 7000 м) терригенные и гру-ботерригенные осадки позднего триаса с туфами, кремнистыми поро-дами, диабазами и спилитами выполняют приразломные впадины в Баджальском антиклинории.

В Западно- и Восточно-Сихотэалинских синклиниорных зонах позднетриасовые геосинклинальные отложения тесно связаны с раннеюрскими и представлены терригенно-вулканогенными и

вулканогенно-терригенно-кремнистыми с известняками формациями мощностью до 2000 м (краснореченская и джаурская свиты). Аналогичные геосинклинальные образования мощностью до 5000 м обнаруживаются в приразломных поднятиях Амгунского и Горинского синклиниориев (киселевская свита и др.).

Отложения юрской системы на территории Сихотэалинской складчатой области, в двух главнейших ее синклиниорных зонах — Амгунской и Горинской, — образуют толщи геосинклинальных осадков мощностью свыше 10 тыс. м. Самое мощное морское осадконакопление в этих зонах приходится на ранне- и среднеюрское время. Из них 2000 м терригенных образований, залегающих на поздне-палеозойских и позднетриасовых породах, относятся к ранней юре (будюрская свита); средний отдел представлен терригенными и вулканогенно-кремнисто-терригенными осадками хурбинской и ульбинской свит мощностью в Горинском синклиниории свыше 3000 м, а в Амгунском — около 6000 м. В верхнем отделе преобладают песчанико-алевролито-сланцевые флишоидные породы с известняками и кремнистыми образованиями, а также груботерригенные осадки — гравелиты, конгломераты и седиментационные брекчии общей мощностью, возрастающей в сторону Горинского синклиниория, от 2700 до 3800 м (силинская и падалинская свиты).

Менее представительны разрезы юры в Западно- и Восточно-Сихотэалинских синклиниориях. В первом установлена преимущественно средняя юра (хунгариjsкая свита), сложенная глинистыми сланцами, песчаниками, алевролитами, гравелитами и конгломератами мощностью около 1000 м, а в Восточно-Сихотэалинском — все три отдела, однако мощностью не более 5000 м. В основании залегает джаурская (триасово-юрская) свита терригенно-вулканогенно-кремнистых пород мощностью до 2000 м, а выше — также хунгариjsкая свита, однако почти в два раза мощнее, чем в Западно-Сихотэалинской зоне, и, кроме того, с наличием флишоидно переслаивающихся песчаников и алевролитов. Разрез завершают позднеюрские терригенные и кремнисто-терригенные породы с флишоидными переслаиваниями песчаников и алевролитов, наличием известняков, туфов и диабазов; мощность этих образований достигает 2000 м.

К западу и северо-западу от главнейших синклиниорных зон Сихотэалинской области, на восточной окраине Буреинского массива и в Приохотье юрские отложения выполняют наложенные прогибы — Буреинский и Селиткано-Торомский. В строении этих прогибов принимают участие все отделы юры. Мощность осадков, выполняющих Буреинский прогиб, свыше 6000 м; состав довольно однобразен, преимущественно терригенный и груботерригенный — преобладают песчаники, конгломераты, алевролиты и аргиллиты (умальтинская, эпиканская, чаганыйская свиты). В верхах разреза появляются туфы, туффиты и каменные угли (талынжанская свита). В целом аналогичного же типа осадки выполняют и Селиткано-Торомский прогиб, однако мощность их значительно меньше — не превышает 3900 м; в разрезе отсутствуют туфогенные образования и угли.

В формационном характере осадков Амгунского и Горинского синклиниориев можно отметить существенную закономерность; осадки этих прогибов закономерно изменяются от терригенных, слагающих низы разреза (будюрская свита), до кремнисто-терригенных и вулканогенно-терригенных в средней части (хурбинская и ульбинская свиты); выше, начиная с силинской свиты, отложения заметно грубоют и нередко приобретают флишоидный характер. Таким образом, уже в поздней юре намечается дифференциация мезозойских прогибов. Это явление синхронизируется с юрско-меловой складчностью.

Нечто подобное намечается и в Восточно-Сихотэалинском синклиниории. Здесь отложения среднего и особенно позднего отделов юры преимущественно терригенные с ритмичным чередованием алевролитов и песчаников. И только в верхах поздней юры среди песчаников и алевролитов иногда присутствуют прослои кремнистых пород, диабазов, туфов и известняков, свидетельствующие, по-видимому, о первых симптомах предорогенного вулканизма. Смена тектонического режима в предверхнеюрское время намечается и в приморской части Сихотэалинской области, например в Нижнебикинской (З. В. Сидоренко, 1951, г., К. М. Худолей, 1955 г.) и в Верхнебикинской (Э. П. Изох, А. И. Савченко, 1956 г.) зонах, где позднеюрские отложения с угловым несогласием залегают на среднеюрских.

Частичная инверсия юрских прогибов, наметившаяся уже в предкелловейский век, обусловила заметное смещение областей мелового осадконакопления к западу и востоку от юрских прогибов — Горинского и Амгунского. При этом в восточных прогибах сохранился геосинклинальный режим, тогда как западные прогибы эту стадию прошли в поздней юре, а в раннем мелу переживали мелководный пресноводно-континентальный режим осадконакопления. И в тех и в других м е л о в ы е отложения представлены обоими отделами. Характерная особенность меловых отложений Сихотэалинской складчатой области — отсутствие или очень слабое развитие карбонатных и кремнистых пород и преобладание терригенных и вулканогенных образований.

В восточных районах меловые геосинклинальные отложения локализовались в трех прогибах-синклиниориях: Горинском, Западно-Восточно-Сихотэалинском. Геосинклинальные условия осадконакопления сохранились в этих прогибах до валанжина включительно. Эти отложения представлены преимущественно терригенными песчано-алевролитовыми флишоидно переслаивающимися образованиями с конгломератами, гравелитами, седиментационными брекчиями и спорадическими линзами диабазов, кремней и известняков общей мощностью до 4500 м (горюнская, пионерская, пиванская свиты). В целом состав этих пород близок позднеюрским, разрез которых они наращивают без видимого несогласия. На валанжинских флишоидах этих прогибов с угловым несогласием залегают баррем-альбские и сеноманские морские образования (уктурская и ларгасинская свиты) терригенного и груботерригенного состава с ритмичным

чедованием песчаников и алевролитов и большей ролью вулканогенных образований — порфиритов, диабазов, туфов и туффитов, туфопесчаников и туфоалевролитов, а иногда кремнистых и карбонатных пород. Их мощность варьирует от 4000 м в Горинском до 5000 м в Восточно-Сихотэалинском синклиниории.

Близки сеноманским и туронские груботерригенные образования, но они отличаются угленосностью и еще более повышенной ролью вулканогенного материала, в том числе субаэрального происхождения (удоминская свита). В верхах удоминской свиты горизонты вулканитов среднего состава достигают иногда несколько сотен метров мощности (андезитовые порфириты, андезито-базальты, порфириты, в меньшей мере дацитовые порфириты и их туфы). Мощность всей свиты изменяется от 800 м в Восточно-Сихотэалинском синклиниории до 1600 и 2000 м в Западно-Сихотэалинском и Горинском.

В Горинском, Западно- и Восточно-Сихотэалинском синклиниориях разрез меловых отложений венчается рапнесенонскими вулканитами больбинской свиты мощностью 1000—1700 м. Последняя сложена грубообломочными туфогенно-осадочными породами, туфами и порфиритами. На больбинской (в Западно-Сихотэалинском синклиниории) залегает татаркинская свита кислых эфузивов мощностью до 700 м, местами перекрываемая конгломератами, туфоконгломератами и песчаниками свиты кандахэ. Аналогичное строение меловых образований отмечается и в краевых зонах Центрально-Сихотэалинского антиклиниория. Таким образом, последовательное возрастание роли вулканогенных образований от турона (уктурская свита) до сенона, причем от незначительной примеси туфогенного материала в осадочных формациях до осадочно-вулканогенных образований и субаэральных вулканогенных покровов, является характерной чертой развития меловых прогибов Сихотэалинской складчатой области.

Наземные вулканогенные образования не ограничиваются рамками охарактеризованных синклиниориев. Они широко распространены на сопредельных геоантиклинальных структурах, особенно к западу, и образуют многочисленные наложенные вулканогенные зоны и небольшие покровы (см. рис. 1). Наряду с этим, в западной части Сихотэалинской области в мелу продолжали развитие седиментогенные наложенные прогибы — Селиткано-Торомский и Буреинский. Селиткано-Торомский прогиб завершил свое развитие доальбской груботерригенной толщей осадков мощностью до 2000 м, а Буреинский сложен угленосной толщей терригенных и груботерригенных образований с примесью туфогенного материала сеномана мощностью около 3000 м (ургальская, чегдомынская, чемчукинская и др. свиты). Разрез Буреинского прогиба завершается слабо литофицированными отложениями цагаянской свиты — песчаниками, алевролитами, аргиллитами, конгломератами, песками, глинами и гачниками мощностью около 200—250 м.

Многочисленные и разновеликие вулканогенные зоны Сихотэалинской складчатой области также в той или иной мере являются

наложенными. В западной части области их формирование происходило на протерозойском и палеозойском, отчасти мезозойском (домеловом), складчатом основании, в интервале времени от готерива до первой половины сенона включительно. Зоны же меловых вулканитов восточной части области, начиная с Западно-Сихотэалинской, сформированы на меловом (ранне- и позднемеловом) складчатом основании в течение верхнего сенона и дания (с продолжением формирования и в кайнозое).

Таким образом, если первые более четко проявляют наложенную природу, то вторые в возрастном и, как отмечено выше, вещественном отношениях тесно связаны со своим основанием и представляются закономерными продуктами эволюции меловых геосинклинальных прогибов на конечных этапах их развития. За редким исключением низы разрезов вулканогенных образований представлены породами среднего состава, а в верхних частях они сменяются образованиями. Наиболее крупные и типичные представители наложенных вулканогенных структур — Хингано-Олонойская и Баджальская зоны.

Нижняя часть разреза вулканитов Хингано-Олонойской зоны, залегающих на кембрийских и докембрийских, отчасти средне- и позднепалеозойских породах, представлена лавами и туфами среднего состава (станолирская свита) и вулканогенно-осадочными угленосными отложениями (каменушинская свита) мощностью до 1000 м. Выше следует комплекс кислых вулканитов солонечной и обманийской свит суммарной мощностью около 1600 м, в нижней части сопровождаемых туфогенно-осадочными угленосными отложениями бирской свиты. На них залегают небольшой мощности туфогенные конгломераты, песчаники и гравелиты кундуруской свиты (сеноман — турон), которые подстилают сенонский липаритовый комплекс богучанской свиты мощностью до 300 м.

Аналогичный разрез имеют и меловые эфузивы Баджальской зоны. Внизу они представлены андезитовыми и андезито-базальтовыми лавами и туфами мощностью до 800 м (станолирская свита), на которых залегают кислые лавы солонечной свиты сопровождаемые обильными туфогенными и туфогенно-осадочными слабо угленосными образованиями мощностью до 500 м. Последние накапливались в течение альбского века и сопровождали излияние андезитовых лав в сеномане и большей части турона. С конца турона и до первой половины сенона включительно в Баджальской зоне образовалась мощная толща кислых и средних эфузивов — порфиритов и андезитов, деленитов, дакитов, липарито-дакитов и липаритов мощностью свыше 2500 м. Общая мощность вулканогенных образований Баджальской зоны составляет около 4000 м.

Сопоставляя объемы эфузивных и туфогенно-осадочных образований в разрезах обеих зон, можно заметить, что в Хингано-Олонойской зоне подавляющий объем эфузивных образований располагается в нижней (баррем-аптской) части разреза, а в Баджальской, наоборот, в основании залегает незначительная по мощности толща средних и кислых эфузивов, а верхнюю часть разреза, от верхов

турона до нижней половины сенона включительно, слагает мощный эффузивный покров. Таким образом, в Хингано-Олонойской зоне максимум эффузивной деятельности падает на баррем — апт, восточнее, в Баджальской зоне, этот максимум приходится на турон — сенон, что подтверждает характерную для Приамурья тенденцию, заключающуюся в последовательном временном смещении к востоку активных геологических процессов.

В Прибрежной вулканогенной зоне вулканические процессы проявляют еще большее смещение как в пространстве, так и во времени. Начало вулканической деятельности в Прибрежной зоне, как и в Западно-Сихотэалинской, относится ко второй половине сенона и продолжается в дании и в палеоцене. В основании эффузивного разреза располагаются средние эффузивы и их туфы, относимые к амутской свите, мощностью от 500 м в Западно-Сихотэалинской зоне до 1700 м в Прибрежной зоне. На них залегают кислые эффузивы и туфы татаркинской свиты мощностью от 700 до 1000 м, перекрываемые туфогенно-осадочными грубообломочными образованиями мощностью от 600 м в Западно-Сихотэалинской зоне (свита кандахэ) до 700 м в Прибрежной (маломихайловская свита).

Среди более мелких вулканогенных зон заслуживают упоминания Эвурская и Комсомольская, расположенные примерно на половине расстояния между охарактеризованными зонами западной и восточной частей Сихотэалинской складчатой области. Их своеобразие заключается в обратном по сравнению с большинством зон расположении средних и кислых эффузивов в разрезе: внизу располагаются кислые лавы и сопровождающие их туфогенные и туфогенно-осадочные образования (холдоминская свита), а выше — средние (амутская свита). При этом характерно, что кислая часть разреза в возрастном отношении (готерив — баррем) соответствует кислым же эффузивам низов разреза Хингано-Олонойской зоны (станолирская и солонечная свиты), а верхняя — средним эффузивам больбинской свиты, соответствующей низам разреза вулканитов, слагающих Западно- и Восточно-Сихотэалинскую вулканогенные зоны.

Наметившаяся в предкелловое дифференциация юрских прогибов завершилась в барреме существенной сменой тектонических условий в Сихотэалинской области и дислокациями добарремских отложений. Последнее предопределило и некоторую перестройку структурного плана баррем-альбских и сеноман-сенонских отложений. Мощный комплекс осадков от позднего триаса до валанжина подвергся складчатости; породы дислоцированы в линейные, часто изоклинальные складки северо-восточного простираия с падением крыльев 60—75°. С этой складчатостью связан гранитоидный магматизм, проявления которого наиболее интенсивны в районах западной окраины Сихотэалинской складчатой области в активизированной зоне Буреинского массива (хингано-олонойский, бутакано-чуркинский и др. комплексы), а также в Центральной зоне Сихотэ-Алиня (хунгарийский и алчанский комплексы).

Баррем-альбские и сеноман-раннесенонские осадки дислоциро-

ваны раннесенонской фазой складчатости. С этой фазой связано замыкание позднемеловых прогибов и прекращение морского осадконакопления в Сихотэалинской области. Породы сложены в линейные складки северо-восточного направления, но с более пологими крыльями ($25-40^\circ$) по сравнению с юрско-раннемеловыми отложениями. Позднемеловой фазе складчатости синхронен нижнеамурский золотоносный гранитоидный комплекс, выделенный и описанный В. В. Руссом, Э. П. Изохом и др. С замыканием раннесенонских прогибов в Сихотэалинской области наступила позднеорогенная стадия развития, характеризующаяся усилением тектонических движений, интенсивным разломообразованием, блоково-глыбовыми перемещениями, формированием межгорных впадин, молассовым осадконакоплением и еще более активными проявлениями позднемелового, продолжавшегося и в палеоцене, гранитоидного магматизма (мяочанский, эзопский, бачелазский, верхнеудоминский и др. комплексы).

Важная особенность этого магматизма — вулкано-плутонический характер и высокая рудоносность. Формы проявления интрузивных комплексов преимущественно трещинные. Это гарнолитоподобные и лакколитообразные тела, нередко многоэтажные, с пологой кровлей и небольшой глубиной формирования. Наряду с преобладанием кислых пород в составе комплексов присутствуют средние и основные. Их формирование начинается основными и завершается кислыми и ультракислыми породами. В эффузивных фациях преобладают андезиты и риолиты, а в интрузивных — граниты и гранодиориты.

Позднемеловая магматическая деятельность проявилаась на большей части территории и распространялась далеко за пределы синхронных ей седиментогенно-складчатых зон, охватив обширные области структур более ранней консолидации, в том числе и восточную окраину Буреинского массива. Вместе с тем, заметно отчетливое тяготение магматических проявлений к крупным зонам разломов, разделяющих складчатые структуры различного возраста, обусловило формирование крупных магматических (и рудоносных) поясов.

Интенсивное разломообразование и дифференцированные блоковые перемещения, усилившиеся в кайнозое, обусловили формирование депрессионных погружений и впадин, выполняемых континентальными осадочными и туфогенно-осадочными, нередко угленосными, осадками, а также относительных поднятий, на которых формировались в основном субаэральные вулкано-плутонические комплексы.

Палеогеновые отложения залегают на позднемеловых местами согласно, местами с угловым несогласием (в некоторых случаях соотношение их с мелом установить не удается). Это свидетельствует о резкой дифференциации тектонических движений даже на сравнительно небольших участках территории (блоках), где имели место движения различного знака. Палеоценовые образования широко развиты в Эвурской, Западно-Сихотэалинской и Прибрежной вулканических зонах. Они представлены андезитами,

дацитами и пирокластами самаргинской свиты мощностью до 1500 м и вышележащими липаритами богопольской свиты мощностью до 800 м. Им соответствует их интрузивный аналог — верхнеудоминский комплекс, представленный слабо эродированными гипабиссальными и близповерхностными телами гранитоидов. В этих же зонах на палеоценовом комплексе вулканогенных и интрузивных образований с перерывом залегают эоценовые андезито-базальты и базальты кузнецковской свиты и их пирокласти мощностью от 400 до 650 м.

В Среднеамурской депрессии палеоценовым и эоценовым образованиям соответствуют рыхлые озерно-аллювиальные угленосные отложения чернореченской свиты, представленные глинами, бурыми углями, песками, галечниками и мергелями мощностью до 1000 м. В олигоцене резко дифференцированные блоковые движения, по-видимому, еще более усилились. На участках воздыманий основные лавы кузнецковской свиты сменяются липарито- и трахиадацитовыми и андезито-дацитовыми лавами и пирокластами колчанской и кхуцинской свит, параллельно с которыми в межгорных впадинах формируются вулканогенно-терригенная и терригенная угленосные молассы (налевская свита) мощностью не более 300 м. В Среднеамурской депрессии в это время отлагаются глины, туфоалевролиты и туфодиатомиты мощностью около 200 м (бирафельская свита), а их аналоги, с трепелами и диатомитами, слагают основание разреза Чля-Орельской впадины.

Интрузивным аналогом позднепалеогеновых эфузивов являются субщелочные гранитоиды, выходы которых в Прибрежной зоне трассируют крупную близмеридиональную зону позднепалеогенового разлома.

Вместе они образуют прибрежный субщелочный вулкано-плутонический комплекс, несущий разнообразную эпiterмальную минерализацию.

Неогеновые вулканические и особенно осадочные образования по сравнению с палеогеновыми имеют большее площадное распространение, вплоть до области Буреинского массива. Миоценовые базальты и андезито-базальты кизинской свиты, в сочетании с глинами, туфами, галечниками и лигнитами, образуют многослойные покровные образования, венчающие строение Прибрежной, Западно-Сихотэалинской и Эвурской вулканических зон; в Ульбанской и Комсомольской зонах они перекрывают меловые образования. Мощность эфузивов в направлении к востоку заметно возрастает и в Прибрежной зоне достигает максимум 800 м. Им изохронны пресноводно-континентальные слабо сцементированные и рыхлые осадочные и туфогенно-осадочные угленосные образования депрессионных погружений и впадин (Среднеамурской, Чля-Орельской, Удиль-Кизинской, Верхнеамгунской, Тугуро-Нимеленской и др.) мощностью до 500 м (ушумунская свита, Среднеамурская депрессия) и 1000 м (биранжинская свита, Тугуро-Нимеленская впадина). В составе осадков: конгломераты, песчаники, аргиллиты, пески,

глины, туфы, туффиты, лигниты, бурые угли, прослои и линзы базальтов кизинской свиты.

Плиоцен-раннеантропогеновый комплекс образований распространен почти повсеместно. В нижней части представлен рыхлыми терригенными осадками высоких террас мощностью до 100 м (андохинская свита), а в верхней — трахибазальтами кизинской и оливиновыми базальтами и долеритами совгаванской свиты, мощность которых в Среднеамурской депрессии, Западно-Сихотэалинской, Комсомольской и Баджальской вулканических зонах достигает 300 м, а в Прибрежной 500 м. По сравнению с миоценовыми эти базальты имеют значительно большее площадное распространение. Они образуют обширные лавовые плато, занимающие повышенные участки выровненных поверхностей и бронирующие погребенный рельеф.

Средний отдел антропогеновой системы характеризуется аллювиальными песчано-галечниковыми и глинистыми отложениями Среднеамурской депрессии и 10—15-метровых террас. В бассейне р. Тором и на Шантарских островах четвертичные отложения представлены нерасчлененными отложениями нижнего, среднего и верхнего отделов, озерно-аллювиальными и аллювиальными песчано-галечниковыми, глинистыми и суглинистыми осадками, слагающими 35—40- и 10—30-метровые террасы. Верхний отдел системы широко представлен аллювиальными отложениями крупных рек (10—15-метровые террасы), аллювиально-делювиальными отложениями мощностью до 15—28 м и ледниковыми моренами в трогах и цирках хребтов Эзоп, Дуссе-Алинь и Баджал.

В Удыль-Кизинской, Верхнеамгунской и других впадинах и в долинах крупных рек нерасчлененные отложения верхнего и современного отделов сложены аллювием низких террас, современными делювиально-гравитационными отложениями склонов и аллювиально-озерными образованиями первой террасы мощностью до 15 м. Современный отдел представлен галечниками, гравием, песками, глинами, суглинками и торфами мощностью до 10—15, реже 20—30 м, слагающими поймы и надпойменные террасы высотой 3,5—5 м, а также отложения вдоль русел рек и в областях развития болот.

Г л а в а IV

МАГМАТИЗМ

1. ЭТАПЫ ТЕКТОНО-МАГМАТИЧЕСКОГО РАЗВИТИЯ И МАГМАТИЧЕСКИЕ КОМПЛЕКСЫ

Материалы многолетних геологических съемок и формационный анализ геологических разрезов разновозрастных складчатых образований (И. А. Плотников и С. Ф. Усенко и др., 1967 г.), позволяют выделить в геологическом развитии Сихотэалинской подвижной области два тектоно-магматических цикла: палеозойский (девон — средний триас) и мезо-кайнозойский (поздний триас — кайнозой). В границах циклов, с некоторой долей условности, представляется возможным наметить стадии геологического развития области. В частности, намечаются: ранняя стадия, характеризующаяся прогрессирующим погружением; инверсионная, или промежуточная, соответствующая времени перехода от преобладающего погружения к воздыманию; орогенная стадия, т. е. стадия горообразования, и посторогенная, или постконсолидационная — стадия денудации горно-складчатых сооружений и формирования покровов. Эти стадии в принципе вписываются в схему развития тектонического цикла по В. Е. Хаину (1964 г.).

Каждой стадии соответствует определенный набор осадочных и в той или иной мере магматических формаций. В этом отношении более показателен мезо-кайнозойский, наиболее полно документированный цикл развития Сихотэалинской подвижной области. Труднее поддаются расшифровке стадии развития палеозойского цикла, особенно на орогенном этапе его развития. Имеющийся материал позволяет условно выделить в палеозойском цикле три стадии (табл. 1). Ранняя его стадия завершилась в нижнепермское время. Ей соответствуют типичные геосинклинальные формации с кремнями, яшмами, диабазами и спилитами, развитые в Ниланском, Баджальском, Хабаровском и Центрально-Сихотэалинском антиклиниориях, а также в Торомском грабен-синклиниории. В Центрально-Сихотэалинском антиклиниории, в бассейне рек Хор и Бикин, в эту стадию формировались доверхнепермские гипербазиты и габбро-диабазы.

Таблица 1

**Стадии развития палеозойского тектономагматического цикла
Сихотэалинской складчатой области**

Стадии развития	Формации		
	осадочные и осадочно-вулканогенные	вулканогенные	интрузивные
I. Ранняя (стадия начального погружения) (Д—Р ₁)	Терригенная и кремнисто-терригенная с линзами известняков, диабазов, спилитов, кремней (свиты мыса Радужного, феоклистовская, яранская, улунская и др.)	Яшмово-кремнисто-диабазо-спилитовая (джекемийская, утанакская свиты)	Габбро-диабазовая и дунит-гарпбургитовая (сихотэалинский комплекс)
II. Инверсионная (предорогенная) (Р ₂)	Песчано-алевролитовая и глинисто-сланцевая с линзами диабазов и известняков (джиакунская и кафенская свиты), терригенная (унгурская, бабствская, середукинская свиты)	Андезито-дацитовая (эффузивы басс. рек Катэн, Умальты и Сынчуги)	Диорит-граподиоритовая и плагиогранитовая (катэнский и куканский комплексы)
III. Орогенная (Т ₁ —Т ₂)	Терригенная и груботерригенная	Порфириты, кварцевые и диабазовые порфиры	Гранодиорит-гранитовая, граносиенитовая и лейкократово-гранитовая (тырмо-бураинский, алтахтинский и харинский комплексы)

В предверхнепермское время возрастает роль терригенных и карбонатно-терригенных формаций (джиакунская свита), а в верхней перми терригенные и груботерригенные осадки занимают господствующее положение в разрезах почти всех позднепалеозойских прогибов. Это позволяет говорить об инверсии палеозойских геосинклинальных прогибов и молассоидном осадконакоплении в передовых прогибах типа Урмийского, которые, скатываясь в область структур обрамления, расширяют площади молассоидного осадконакопления в поздней перми и последующих за ней периодах.

Магматическая (эффузивная и интрузивная) деятельность, синхронная инверсии палеозойских прогибов, представлена диорит-гранодиорит-плагиогранитовыми интрузиями (куканский комплекс), локализованными вдоль западной окраины Сихотэалинской области на границе ее с Буреинским массивом в форме небольших тел и

штоков. Гранитоиды прорывают и метаморфизуют девонские и каменноугольные отложения, галька этих пород присутствует в поздне-пермских отложениях. Интрузивы этого комплекса сопровождаются золотой, молибденовой и вольфрамовой непромышленной минерализацией.

Аналогичные гранитоиды установлены в Центрально-Сихотэалинском антиклиниории (катэнский комплекс). Соответствующие инверсии эффузивы представлены андезито-дацитами в бассейне рек Умалты, Сынчуги и Катэна. Наступившая затем стадия орогенного развития позднегерцинских структур продолжалась и в раннем мезозое. В частности, на северном крыле Ниланского антиклиниория, в западной части Баджальского и других местах, в раннем и среднем триасе продолжали формироваться передовые прогибы. Времени формирования этих структур соответствует мощное проявление гранитоидного магматизма (тырмо-буреинский, харинский, алтахтинский комплексы), целиком локализовавшегося в пределах Буреинского массива.

Тырмо-буреинский гранодиорит-гранитовый комплекс образует крупные батолиты и штоки площадью до 1000 км², вытянутые параллельно восточному краю массива. Его породы прорывают каменноугольные и раннепермские отложения и присутствуют в гальке поздней перми и триаса; прорываются интрузиями харинского и алтахтинского комплексов и перекрываются юрскими образованиями. С этим комплексом связана золотая, молибденовая, отчасти оловянная и свинцово-цинковая минерализация.

Харинский лейкократово-гранитовый комплекс прорывает гранитоиды тырмо-буреинского комплекса. Ему близок по возрасту алтахтинский щелочной комплекс (сиениты и кварцевые сиениты), прорывающий кембрийские отложения. Соответствующие этому возрасту интрузии эффузивные образования представлены раннепозднетриасовыми липарито-андезитами Баджальского антиклиниория.

Таким образом, почти все позднепалеозойско-раннемезозойские интрузивные образования локализовались на Буреинском массиве, т. е. за пределами позднепалеозойских складчатых образований. Тенденцию внескладчатого проявления орогенного магматизма отмечали Н. А. Беляевский и Ю. А. Громов (1963) и Е. А. Радкевич (1958) для Приморья, а Г. В. Ициксон (1961), Е. А. Радкевич, М. В. Чеботарев и С. Ф. Усенко (1966) — для Приамурья.

К позднему триасу в Сихотэалинской складчатой области относится начало мезозойского цикла ее развития, изобиловавшего массовым проявлением активных магматических процессов, предопределивших и главнейшие черты ее эндогенной рудоносности (табл. 2). Процессы осадконакопления охватили Восточно- и Западно-Сихотэалинскую, Горинскую и Амгунскую геосинклинальные зоны, а к западу — Буреинский и Селиткано-Торомский наложенные прогибы. Ранняя стадия геосинклинальных процессов охватывает позднетриасово-среднеюрскую эпохи. Наряду с терригennыми ей соответствуют спилито-диабазовые и диабазово-кератофировые фор-

мации с кремнями (киселевская, краснореченская, джаурская, хурбинская свиты). Базитовые и ультрабазитовые интрузивы, которые можно было бы параллелизовать с ранним эфузивным магматизмом, пока не установлены.

Такой магматизм (хорский и дуганджинский комплексы) проявился в раннем мелу и за пределами геосинклинальных трогов — в Центрально-Сихотэалинском антиклинонории и в Селиткано-Торомской синклинонной зоне. Хорский гипербазит (гарцбургит)-габбровый комплекс сложно дифференцирован (Э. П. Изох и др., 1967 г.) и представлен в основном гипербазитами и габбро-диорит-гранодиоритами, сопровождающимися пироксенитами и перидотитами, дунитами, верлитами, габбро-норитами, разнообразными габбро и др. В бассейне рек Хора и Хунгари они прорывают триасово-юрские и раннемеловые отложения. С ними связаны слабые проявления никелевой и хромовой минерализации. Дуганджинский комплекс представлен небольшими телами перидотитов, габбро, габброноритов и габбро-диоритов, прорывающих позднеюрские отложения на побережье Тугурского залива.

В конце стадии на границе средней и поздней юры намечается заметная смена фациальных условий осадконакопления. Ранне- и среднеюрские осадки в поздней юре сменяются более грубыми осадками, нередко характеризующимися флишоидным переслаиванием.

Общая инверсия — существенная смена тектонического режима и усиление магматической деятельности — наступила к концу предорогенной стадии в готериве. К этому моменту относится сравнительно мощная интрузивная деятельность, которая зафиксировалась в Центрально-Сихотэалинском антиклинонории формированием хунгarianского и, возможно, алчанского гранитоидных комплексов.

Хунгarianский комплекс высокоглиноземистых гранитов представлен биотитовыми, биотит-роговообманковыми, двуслюдянными и аляскитовыми гранитами, образующими штоки и крупные многофазные массивы размером до 1000 км². По данным Э. П. Изоха и др. (1967), для них характерно отсутствие краевой фации повышенной основности, пегматитов и послегранитных даек, низкая железистость обильного биотита, высокие номера плагиоклазов и обилие высокоглиноземистых минералов. Галька этих пород присутствует в баррем-альбских и сеноман-туронских отложениях. По возрасту и составу им близки небольшие покровы кислых эфузивов. Рудная минерализация в связи с хунгarianским комплексом не установлена. Вместе с тем аномальное содержание в биотите примесей олова, молибдена и некоторых редких металлов свидетельствует о рудной специализации гранитов и возможной связи с ними высокотемпературных типов минерализации.

Алчанский гранодиорит-гранитовый комплекс проявлен на юге Хабаровской части Сихотэ-Алиня. По петрографическим особенностям он близок хунгarianскому, а также троицкому и татибе-синпанчинскому комплексам в Южном Приморье. Он представлен преимущественно биотитовыми и двуслюдянными гранитами, в меньшей мере

Таблица 2

Стадии развития мезо-кайнозойского тектоно-магматического цикла Сихотэалинской подвижной области

Стадии развития	Формации			Тектонический режим
	осадочные	вулканогенные	интрузивные	
I. Ранняя (стадии начально-го погружения) ($T_3 - J_2$)	Нижняя терригенная группа трансгрессивных морских формаций — асцидная и флишоидная (будюрская и ульбинская свиты), переходящие в параллическую угленосную (лангаринская и др. свиты) в окраинной зоне Буреинского массива	Спилито-диабазовая и диабазо-кератофировая с кремнистыми породами (краснореченская, киселевская, хурбинская, джаурская свиты)	Редкие силлы диабазов; интрузии гипербазит-габбровой формации (хорский и дуганджинский комплексы)	Устойчивое прогибание в слабодифференцированных прогибах; в конце стадии — частная инверсия, зарождение интрагеантаклиялей
II. Инверсионная (предорогенная) ($J_3 - Cr_1 v$)	Верхняя терригенная группа регressiveных морских и параллических формаций — флишевые и флишоидные (силинская, падалинская, горюческая, пионерская, пиванская свиты), иногда переслаивающихся с вулканитами среднего состава	Анdezитовая и липарито-андезитовая формации (алчанские эффиузы)	Габбро-диорит-гранодиоритовая и гранитовая (алчанский, хунгарийский и сандинский комплексы)	Темп прогибания снижается, площади проявления активных геологических процессов расширяются; возрастает дифференциация геосинклинальной системы; стадия заканчивается общей инверсией — объединением частных поднятий, образованием межгорных виутренних и передовых молассовых впадин

<p>III. Постинверсионная (огоренняя) а) раннеорогенная (Cr₁Br — Cr₂Sn¹)</p>	<p>Морская (нижняя) моласса, в передовых впадинах — параллельная, во внутренних — лимническая, осадочная и туфогенно-осадочная, отчасти наземновулканогенная</p>	<p>Анdezито-липаратовая группа формаций (богучанская, солоночечная, станициальная, обманильская, больбинская, холдоминская и др. свиты)</p>	<p>Диорит-гранодиоритовая и гранодиорит-гравитовая, габбро-гранодиорит-гранитовая (нижнеамурский, чукчагирский, богучанский, хингано-олонейский, диканский, бутакано-чуркинский и др. комплексы)</p>	<p>Продолжение общей инверсии и формирование складчатого сооружения, усиление воздымания и дифференцированных вертикальных движений конседименционной складчатости, наземного и интрузивного магматизма; инверсионные впадины заполняются продуктами разрушения окаймляющих гор; в конце стадии — завершающая фаза складчатости, переход к континентальному режиму развития и усиление горообразования</p>
<p>б) позднеорогенная (Cr₂Sn² — N₁)</p>	<p>Континентальная (верхняя) моласса — осадочные и терригенно-осадочные угленосные формации межгорных впадин</p>	<p>Порфировая группа формаций: дацито-андезитовая, липарато-андезитовая, дацито-липаратовая (кхуцинская, самаргинская, богопольская, татаркинская и др. свиты)</p>	<p>Гранитовая, гранитовая субщелочная, диорит-гранодиоритовая, гранодиорит-грапитовая (прибрежный, верхнеудоминский, мяочано-баджальский, эзонско-дуссеалинский, ульбанский, селитканский, бачелазкий и др. комплексы)</p>	<p>Общее сводовое воздымание с преобладанием денудации; крупное разломообразование, контролирующее интенсивный магматизм, формирование магматических (и рудноносных) поясов. Моменты резких воздыманий чередуются с периодами длительной денудации, приводящей к формированию речных долин, террас и поверхностей выравнивания</p>
<p>Посторогенный этап (N₂ — Q)</p>	<p>Формирование осадочных и базальтовых покровов</p>			<p>Денудация горно-складчатых сооружений</p>

гранодиоритами и гранодиорит-порфирами, лейкократовыми и аplitовидными гранитами. Эти породы образуют вытянутые и изометричные массивы небольшого размера, достигающие 280 км². Интрузивы прорывают и метаморфизуют пермские и юрские, иногда меловые, отложения. С гранитами алчанского комплекса и с их контактовыми зонами пространственно связаны проявления золото-вольфрамовой, молибден-висмутовой и оловянной минерализации.

С завершением предорогенной стадии и общей инверсии развитие мезозойских геосинклинальных прогибов вступило в качественно новую эпоху своей эволюции — орогенному развитию — усилению разломообразования, сводово-глыбовых воздыманий, формирования мощного комплекса регressiveных формаций баррем-раннесенонской морской молассы (по В. Е. Хайну — нижней молассы) и несравненно более мощного, чем в предыдущую стадию наземного и интрузивного магматизма, образующего вулкано-плутонические ассоциации.

Однако магматизм этого времени широко проявился на восточной окраине Буреинского массива, где преобладают преимущественно гранитовые и гранодиоритовые интрузивные формации, сопровождаемые андезитовой и липарито-андезитовыми эфузивными фациями (диканский, бутакано-чуркинский, хингано-олонойский, богучанский, иорханский комплексы) и в северо восточной части Горинского синклиниория (нижнеамурский и чукчагирский диорит-гранодиоритовые комплексы). Среди этих комплексов по продуктивности выделяются два: хингано-олонойский гранитовый и нижнеамурский диорит-гранодиоритовый. С первым связана промышленная оловоносность, а со вторым — золотоносность.

Хингано-олонойский вулкано-плутонический комплекс в интрузивной фации представлен преимущественно гранит-порфирами, образующими небольшие субвулканические тела (дайкообразные, штоковидные и лакколитообразные), тесно связанные с апт-альбскими эфузивами андезит-липаритовой формации. Они прорывают апт-альбские вулканиты и не проявляются в связи с более поздними эфузивными образованиями. Абсолютный возраст гранит-порфиров составляет 127—158 млн. лет. С этим комплексом, наряду с промышленной оловоносностью, связана индиеносность, флюоритовая и редкометальная минерализация.

Нижнеамурский диорит-гранодиоритовый золотоносный комплекс, обоснованный работами В. В. Русса (1964) и Э. П. Изоха и др. (1967), представлен различными по величине дискордантными телами, в строении которых принимают участие габбро и габбронориты, габбро-монцониты и габбро-диориты, кварцевые диориты, гранодиориты и гранодиорит-порфиры, биотитовые и биотит-роговообманковые граниты, аPLITовидные, лейкократовые и аляскитовые граниты. Они прорывают и метаморфизуют осадочные и вулканогенные образования сеноман-турона и перекрываются палеоценовыми эфузивами. С гранитоидами нижнеамурского комплекса связана золотоносность, а также проявления сурьмы, отчасти вольфрама, молибдена, свинца и цинка.

Раннеорогенная ступень развития геосинклинального цикла завершилась позднемеловым диастрофизмом, обусловившим замыкание остаточных геосинклинальных прогибов, складчатость морских отложений и переход Сихотэалинской складчатой области к позднеорогенному (континентальному) развитию. Процессы следуют в направлении прогрессирующего развития инверсии — еще большего усиления разломообразования и общего сводово-глыбового вздымания, денудации горно-складчатых сооружений и формирования верхней молассы, массового проявления эфузивно-интрузивного магматизма и образования вулканических зон и поясов.

Важной особенностью позднеорогенного магмообразования, как и орогенного магматизма в целом, является высокая его рудоносность, обусловившая важнейшие черты эндогенной металлогенезии Сихотэалинской подвижной области. Характерен также широчайший ареол его проявления. Он охватывает разновозрастные складчатые образования Сихотэалинской области и восточного фланга Монголо-Охотской области, а также восточной окраины Буреинского массива. Вместе с тем наблюдается отчетливое тяготение магмопроявлений к крупным зонам разломов, что обусловило формирование магматических поясов и зон.

Важнейшими позднеорогенными интрузивными комплексами являются: гранодиорит-гранитовые и гранитовые — эзопско-дуссеалинский, мяочано-баджальский, бачелазский, верхнеудоминский и диорит-гранодиоритовые — ульбанский, селитканский, тугурский, (табл. 3). Причем, гранодиорит-гранитовая и гранитовая группа комплексов локализуется в южной части, тогда как диорит-гранодиоритовая — в северной или приохотской части рассматриваемого региона. Характерные черты позднеорогенных интрузивных рудоносных комплексов: небольшая глубина формирования, сложный состав и строение, четкая связь с разломами, контролирующими их размещение и тесное пространственное и структурное сочетание с эфузивами соответствующего формационного типа, являющимися их комагматами.

Позднеорогенное развитие Сихотэалинской области продолжалось в течение позднего сенона, палеогена и раннего неогена. Однако более или менее равномерный характер орогенного развития в эоцене сменился заметной активизацией орогенеза, совпавшей с заложением эоценовых прогибов Хоккайдо-Сахалинской геосинклинали. На востоке Сихотэалинской области этой вспышке орогенеза соответствует прибрежный многофазный эфузивно-интрузивный комплекс. Представляющие его слабо эродированные приповерхностные, субвулканические и жерловые тела тесно связаны с эфузивами и контролирующими их разрывными структурами субмеридионального направления. Они имеют сложный состав и строение.

В порядке последовательности формирования комплекс представлен габбро и габбро-диоритами, диоритами, кварцевыми диоритами и диорито-монцонитами, гранодиоритами, биотит-арфведсонитовыми, аляскитовыми и микроклиновыми гранитами и гранит-порфирами.

Важнейшие позднеорогенные комплексы Сихотэалинской складчатой области

Комплексы	Возраст	Состав и строение	Формы проявления	Рудоносность
Гранодиорит-гранитовые				
Бачелаз-ский	Прорывает позднемеловые осадочные и эффузивные образования; перекрываются эффузивами палеоцена и эоцена. Абс. возраст 110—70 млн. лет	Габбро, габбро-диориты, диориты и кварцевые диориты, биотитовые, двуслюдянные, лейкократовые и аplitовидные граниты и гранит-порфиры	Гипабиссальные приповерхностные и умеренно глубинные, небольшие штоки и массивы	Sn, W, Mo, Pb, Zn
Мяочано-баджаль-ский	Прорывает позднемеловые эффузивы. Абс. возраст 100—80 млн. лет	Трехфазный: габбро-диоритов, диоритов, кварцевых диоритов через граниты, гранодиориты, гранодиорит-порфиры и монцшито-граниты до биотитовых и турмалиновых гранитов и гранит-порфиров	Близповерхностные гипабиссальные мелкие массивы, штоки, дайки и пластовые залежи с четким трещинным контролем в близициркном и меридиональном направлении и связью с эффузивами	Sn, W, Mo, Bi, Cu, Pb, Zn
Эзопско-дуссеалин-ский	Прорывает эффузивы верхнего мела. Абс. возраст 107—75 млн. лет	Трехфазный: диориты и кварцевые диориты — роговообманково-биотитовые граниты и аданеллиты, гранодиориты и гранодиорит-порфиры — гранит-порфиры, биотитовые граниты, пегматоидные и аPLITовидные граниты и гранит-порфиры	Те же, гипабиссальные плитообразные и лакколитовидные залежи, средние и крупные массивы с четким трещинным контролем и связью с эффузивами	Sn, W, Mo, Bi, Cu, Zn, Au

Верхнеудоминский	Прорывает палеоценовые эфузивы и перекрыт эоценовыми андезито-базальтами. Абс. возраст 70–55 млн. лет	Трехфазный: габбро, габбро-диориты и габбро-амфиболиты, через диориты, монцонито-диориты, монцонито-гранодиориты, и монцонито-граниты до биотитовых и биотито-роговообманковых гранитов и лейкократовых гранитов	Гипабиссальные слабо эродированные штоки, дайки и массивы размером 300–400 км ² ; через субвуликанические и эруптивные формы тесно связаны с эфузивами	Sn, W, Mo, Bi, Cu, Pb, Zn
------------------	---	--	---	---------------------------

Диорит-гранодиоритовые

Селитканский	Прорывает позднемеловые эфузивы и перекрыт палеогеновыми эфузивами. Абс. возраст 82–44 млн. лет	Сложного строения: гранодиориты, биотитовые и биотит-роговообманковые граниты центральных частей массивов в краевых зонах сменяются гранодиоритами и гранодиорит-порфирями, кварцевыми диоритами диоритами, габбро-диоритами и кварцевыми монцонитами	Слабо эродированные малоглубинные штоквидные тела, подчиненные трещинным структурам северо-восточного и близмеридионального направления	Au, Mo, W, Sn, Cu, Pb, Hg
Ульбанский	Прорывает позднемеловые эфузивы. Абс. возраст 95–80 млн. лет	Гранодиориты, гранодиорит-порфирь, кварцевые диориты, диоритовые порфириты, реже биотитовые граниты и гранит-порфирь, тесно связанные с эфузивами	Небольшие гипабиссальные и субвуликанические тела, подчиненные структурам северо-восточного направления и тесно связанные с эфузивами	Au, Cu
Тугурский	Прорывает позднемеловые эфузивы и породы ульбанского комплекса; галька — в позднепалеогеновых осадках. Абс. возраст 80–72 млн. лет	Габбро-диориты, диоритовые порфириты, монцониты и кварцевые монцониты, граниты и граносиениты, гранодиориты и гранодиорит-порфирь	Мелкие слабо эродированные тела, тесно связанные с эфузивами и вытянутые в близмеридиональном и субширотном направлениях	Au, Cu, As, Mo, Pb, Ag, Sb

С ним связана существенно полиметаллическая, золото-полиметаллическая и медно-молибденовая минерализация. На этой стадии наметились разломы близмеридионального (сахалинского) направления, которые в миоцене и плиоцене контролировали зоны проявления базальтоидного магматизма и формирование депрессий и впадин.

Послеоценовое развитие характеризуется пульсационностью, постоянной прерывистостью; продолжающееся формирование молассовых толщ происходит неравномерно. В миоцене кислый магматизм исчезает и уступает место базальтам и андезито-базальтам. В позднем миоцене и плиоцене тектонические движения, по-видимому, прекратились, на что указывает развитие кор выветривания. Вероятно, этот момент и следует считать завершением орогенной стадии мезозойд.

Таким образом, начиная с плиоцена Сихотэалинская область завершенной складчатости вступила в постогенную стадию развития, которая характеризуется нивелировкой рельефа и формированием рыхлых осадочных и базальтовых покровов, на всем пространстве области. К этому времени относится и формирование многочисленных депрессий и впадин, в том числе и близмеридиональная система депрессий, прослеживающихся от Тугурского залива до оз. Чукчагирского и далее к югу.

2. ПЕТРОХИМИЧЕСКИЕ ОСОБЕННОСТИ ИНТРУЗИВНЫХ КОМПЛЕКСОВ

Средние химические составы типов пород, слагающих интрузивные комплексы двух основных магматических поясов — Хингано-Охотского и Сихотэалинского, полученные путем обсчета по методу А. Н. Заварицкого (свыше 800 анализов, табл. 4 и 5, рис. 2), позволяют относить их к классу нормальных пород, пересыщенных глиноzemом, с тенденцией к повышению щелочности и кислотности и с максимумом аортитовой составляющей в породах основного и монцонитоидного ряда. Калиевая составляющая в полевошпатовой части салического вектора указывает на преобладание натрия в породах основного ряда и увеличение роли калия (и кислотности) в породах монцонитоидного ряда. Аналогично поведение железа и марганца в составе фемических минералов. Породы тяготеют к составам слюдяного андезита, кварцевого монцонита и гранодиорита, дацита (по Р. Дэли) и в целом близки к диорит-гранодиоритовой формации, характерной для орогенной стадии развития подвижных областей (Кузнецов, 1964).

В направлении с запада на восток, от Хингано-Охотского пояса к Сихотэалинскому, в соответствии с омоложением возраста, эволюционируют и средние химические составы пород; в них заметно уменьшается роль кремнезема и увеличивается содержание глиноzemса, закисного и окисного железа, окиси магния и кальция, а также щелочей. Наряду с этим вдоль поясов от их северных флангов к южным в интрузивных породах заметно возрастает роль кремнезе-

зема, закисного железа и калия и одновременно убывает количество глинозема, окисного железа, марганца, магния и натрия.

Сравнение усредненных составов комплексов (табл. 4) показывает, что по степени основности они делятся на две группы. Одна из них, располагающаяся на южных флангах поясов, характеризуется преобладанием в составе темноцветных минералов Al и Fe, а

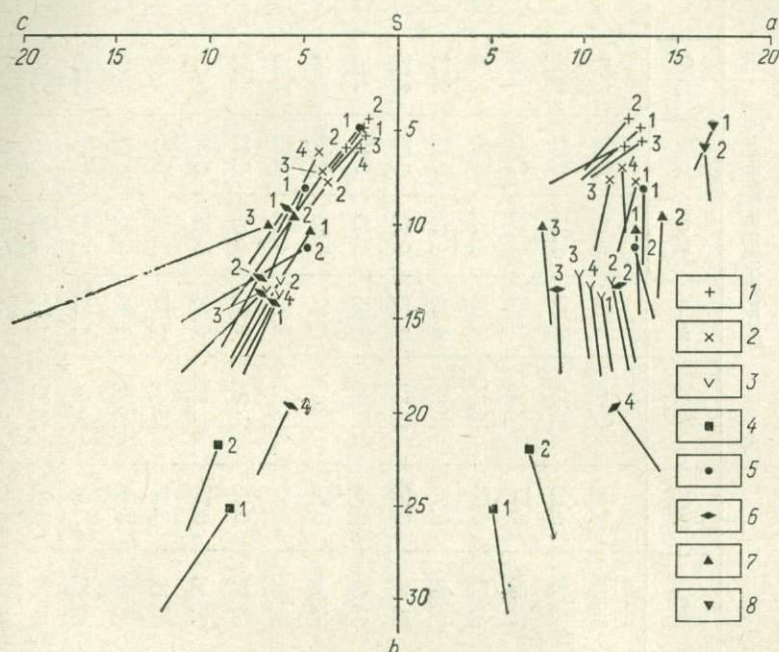


Рис. 2. Диаграмма средних составов типов интрузивных пород Сихотэалинского и Хингано-Охотского магматических поясов

1 — граниты; 2 — гранодиориты; 3 — диориты; 4 — габбро; 5 — граномонциониты; 6 — диорито-монциониты; 7 — монциониты, 8 — сиениты.

Обозначения у векторов: 1 — южный и 2 — северный фланги Сихотэалинского пояса; 3 — южный и 4 — северный фланги Хингано-Охотского пояса

вторая, локализующаяся на северных флангах, преобладанием Mg и Ca (рис. 3). Несколько более повышенная основность комплексов южного фланга Сихотэалинского пояса, по сравнению с таковыми южного фланга Хингано-Охотского пояса, объясняется, по-видимому, близостью последнего к Тихому океану.

Петрохимические отличия двух рядов интрузивных комплексов выявляются и при сопоставлении таких петрохимических параметров, как a' , c' , n и $a : c$ (рис. 4). Так, вариации коэффициентов a' и c' в левой части графика (a), характеризующей южные фланги поясов, показывают, что в направлении с запада на восток, т. е. по мере омоложения возраста комплексов, количество алюминия в

Таблица 4

Средние составы интрузивных комплексов и их числовые характеристики по А. Н. Заваринскому

Комплексы	Коли- чество анали- зов	Содержание окислов, %									
		SiO ₂	TiO ₂	Al ₂ O ₃	Fe ₂ O ₃	FeO	MnO	MgO	CaO	Na ₂ O	K ₂ O
Куканский	39	65,07	0,54	14,97	1,16	3,11	0,07	2,97	4,19	3,29	2,15
Харинский	99	73,29	0,19	13,58	0,60	1,84	0,04	0,56	1,33	3,46	3,89
Бутакано-чуркинский	7	72,55	0,27	13,92	0,69	1,87	0,05	0,46	1,31	3,56	4,35
Диканский	4	67,92	0,53	16,34	1,06	2,12	0,06	1,06	2,91	3,82	0,14
Иореханский	11	58,38	0,75	16,90	1,44	4,93	0,11	3,51	6,15	3,13	2,20
Алчанская	28	61,85	0,56	15,52	1,72	2,83	0,08	2,75	3,68	3,03	3,36
Нижнеамурский	96	61,61	0,65	16,69	1,95	3,46	0,12	2,55	4,92	3,48	3,03
Бачелазский	7	67,71	0,33	14,65	0,87	2,88	0,05	2,24	3,99	3,01	3,00
Мяочано-баджальский	129	64,91	0,57	15,37	0,78	4,34	0,12	2,53	4,65	2,52	2,99
Эзопско-дуссеалинский	148	67,87	0,48	15,26	0,83	3,21	0,13	1,62	3,34	3,32	3,10
Богучанский	1	77,33	0,20	12,97	0,48	0,47	0,01	0,17	0,11	2,75	4,58
Ульбанский	6	64,70	0,76	15,44	0,77	3,42	0,11	1,63	4,62	3,33	3,23
Чукчагирский	13	65,32	0,48	15,82	1,85	2,22	0,08	2,19	3,45	3,60	2,46
Селитканский	34	64,26	0,53	16,26	1,23	3,05	0,09	2,30	4,51	3,57	2,54
Верхнеудоминский	84	63,97	0,60	16,17	1,76	3,38	0,11	2,06	3,85	3,26	3,57
Прибрежный	9	65,58	0,72	15,39	2,25	2,49	0,11	1,49	3,39	3,35	3,92

Продолжение табл. 4

Комплексы	Количество анализов	Числовые характеристики												
		a	c	b	s	c ₁	f'	m'	a'	n	t	φ	Q	a : c
Куканский	39	10,94	4,61	9,61	74,84	5,4 (?)	41,96	52,62		66,57	0,62	10,38	23,18	2,37
Харинский	99	12,84	4,57	4,78	8,81	—	46,53	19,21	34,27	57,47	0,19	10,39	34,39	8,19
Бутакано-чуркинский	7	13,74	4,55	4,37	80,34	—	53,61	17,30	29,09	55,43	0,28	13,41	31,64	8,87
Диканский	4	12,95	3,50	6,47	77,06	—	45,64	27,53	26,83	64,46	0,58	13,90	24,71	3,68
Иороханский	11	10,46	6,49	13,65	69,39	9,26	45,64	45,09	—	68,44	0,96	9,34	11,37	1,61
Алчанская	28	12,03	4,67	9,56	73,74	—	46,14	50,76	3,10	57,81	0,67	16,03	18,77	2,58
Нижнеамурский	96	12,30	5,25	10,43	72,01	8,22	49,55	42,23	—	63,57	0,79	16,31	14,48	2,34
Бачелазский	7	10,93	4,31	7,82	76,94	6,80	44,89	48,10	—	60,39	0,36	9,47	27,70	2,54
Мяочано-баджальский	129	9,98	5,40	9,59	75,02	3,26	51,62	45,12	—	56,15	0,65	7,02	24,67	1,85
Эзопско-дуссеалинский	148	11,73	3,92	7,32	77,04	—	52,66	37,22	10,11	61,94	0,53	9,63	26,70	2,99
Богучанский	1	11,92	0,42	5,22	82,72	—	15,57	5,17	79,26	47,71	0,19	7,38	41,47	94,80
Ульбанский	6	12,19	4,39	8,17	75,24	16,02	49,74	34,23	—	61,04	0,87	4,17	21,72	2,77
Чукчагирский	13	11,60	4,24	8,85	75,32	—	42,94	42,29	14,77	68,98	0,55	18,04	23,21	2,74
Селитканский	34	11,72	5,20	8,43	74,65	4,49	48,59	46,92	—	68,11	0,62	12,67	20,65	2,26
Верхнеудоминский	84	12,53	4,22	8,46	74,28	0,42	57,76	41,81	—	58,12	0,70	18,04	18,78	2,66
Прибрежный	9	13,16	3,80	7,32	75,72	4,82	60,46	34,72	—	56,49	0,82	26,48	21,32	3,46

Таблица 5

Средние составы интрузивных пород и их числовые характеристики по А. Н. Заварницкому

Породы	Количество анализов	Вверху — содержание окислов, %; внизу — средние квадратические отклонения										
		SiO ₂	TiO ₂	Al ₂ O ₃	Fe ₂ O ₃	FeO	MnO	MgO	CaO	Na ₂ O	K ₂ O	
I. Сихотэа												
1. Южный												
Граниты	76	72,65 3,54	0,23 0,12	13,95 1,07	0,93 0,65	1,51 0,85	0,05 0,03	0,78 0,60	1,55 1,43	3,27 0,65	4,49 0,04	
Гранодиориты . . .	30	63,51 3,67	0,54 0,20	15,80 0,95	1,68 1,20	2,36 0,94	0,08 0,02	1,70 0,51	3,21 1,04	3,04 0,65	3,80 0,87	
Диориты	21	57,03 3,49	0,87 0,20	17,89 1,11	2,41 0,07	5,25 1,80	0,17 0,09	3,20 1,29	6,30 1,65	3,08 0,71	2,51 1,38	
Габбро	3	49,87 2,38	1,15 0,30	16,58 2,22	1,68 0,55	7,30 1,80	0,15 0,03	8,17 4,19	8,58 4,42	1,34 1,08	19,28 1,13	
Граномонцониты . .	4	63,93 1,58	0,51 0,14	17,05 0,90	2,25 0,36	2,53 0,09	0,14 0,07	2,13 0,53	4,06 1,79	3,53 0,63	3,61 0,82	
Диорито-монцониты	3	59,76 0,29	1,27 0,61	18,27 0,13	2,84 1,41	3,53 0,08	0,11 0,02	1,66 2,19	4,85 0,37	3,33 0,68	3,56	
Монцониты	4	61,40 2,45	0,79 0,21	16,26 0,61	1,91 1,46	3,74 1,68	0,11 0,02	2,51 0,71	4,42 0,86	3,40 0,45	3,38 0,42	
Сиениты	3	66,93 1,38	0,38 0,08	15,83 0,32	1,83 0,36	2,13 0,96	0,08 —	0,51 0,46	1,65 0,10	4,16 0,12	5,26 0,25	
Среднее		64,27 8,40	0,58 0,35	15,85 1,79	1,68 1,06	3,12 2,02	0,10 0,73	2,09 1,21	3,71 0,13	3,19 0,04	3,13	

2. Северный

Граниты	76	72,76 3,63	0,25 0,16	13,84 1,16	0,93 0,57	1,46 0,94	0,05 0,03	0,73 0,58	1,48 1,44	3,40 0,70	4,32 0,61
Гранодиориты . . .	52	65,45 2,83	0,54 0,13	15,98 0,84	1,60 0,73	2,83 0,72	0,13 0,15	1,75 0,56	3,32 1,12	3,38 0,84	3,56 0,79
Диориты	31	58,07 5,01	0,78 0,31	17,46 1,20	2,51 1,26	4,63 2,03	0,24 0,09	3,05 1,23	5,91 1,87	3,43 0,70	2,38 1,16
Габбро	4	49,98 3,52	1,10 0,28	18,69 1,53	3,15 2,20	6,47 1,38	0,17 0,02	5,42 0,71	9,66 2,85	2,19 0,56	1,22 0,98
Граномонцониты . .	4	61,79 2,71	0,62 0,19	16,76 0,94	1,60 0,97	4,01 1,87	0,14 0,05	2,75 0,92	5,10 1,31	3,18 0,49	3,82 1,19
Диорито-монцониты	4	56,16 6,24	1,16 0,48	18,73 0,80	2,65 0,35	4,41 1,82	0,13 0,07	2,58 1,58	6,67 3,51	3,26 0,29	2,58 1,78
Монцониты	13	62,73 21,28	0,75 0,28	16,67 1,69	1,78 1,23	2,96 1,86	0,11 0,06	2,23 1,27	4,05 2,22	3,23 1,08	3,51 0,66
Сиениты	5	65,12 4,38	0,48 0,18	16,20 0,92	1,87 0,34	2,35 1,09	0,09 0,03	4,12 1,04	2,41 1,57	4,07 0,15	4,98 0,70
Среднее		63,13 7,53	0,63 0,35	16,32 1,88	1,88 1,16	3,34 1,95	0,11 0,09	2,22 1,49	4,26 2,78	3,36 1,31	3,37 0,13
Среднее по поясу		63,70	0,60	16,08	1,78	3,23	0,10	2,15	3,94	3,27	3,45

Числовые характеристики

SO ₂	P ₂ O ₅	a	c	b	s	c'	f'	m'	a'	n	t	φ	Q	a : c
липский пояс														

фланг

0,06	0,02	12,87	1,83	5,07	80,23	—	45,50	2524	3126	5425	0,24	1520	32,90	7,03
—	—	12,73	4,05	7,96	7526	—	48,81	3744	1374	5448	0,63	1868	21,00	3,14
0,09	0,02	10,83	7,03	1404	6810	6,65	5329	4006	—	6509	1,13	1524	7,52	1,54
0,08	—	—	—	—	—	—	—	—	—	—	—	—	—	—
0,11	0,008	10,83	7,03	1404	6810	6,65	5329	4006	—	6086	1,70	5,97	2,02	0,54
0,14	0,02	4,98	9,17	2527	6058	7,11	3537	5751	—	5977	0,60	2377	16,30	2,65
0,25	0,03	—	—	—	—	—	—	—	—	—	—	—	—	—
0,41	0,06	—	—	—	—	—	—	—	—	—	—	—	—	—
0,04	—	13,12	4,96	8,16	7375	0,34	5510	4458	—	—	—	—	—	—
0,07	—	—	—	—	—	—	—	—	—	—	—	—	—	—
0,27	—	12,98	6,13	9,21	71,68	—	66,39	3171	1,90	5870	1,57	2740	11,28	2,12
0,18	—	—	—	—	—	—	—	—	—	—	—	—	—	—
0,17	0,005	12,67	4,80	1046	72,07	6,70	5173	4157	—	60,45	0,96	1597	14,00	2,64
0,11	0,01	—	—	—	—	—	—	—	—	—	—	—	—	—
0,19	—	16,76	2,01	4,92	76,31	—	7437	1753	8,10	5458	0,42	3177	17,08	8,36
0,08	—	—	—	—	—	—	—	—	—	—	—	—	—	—
0,10	0,01	12,35	4,59	8,23	75,82	—	5557	4376	6,70	5786	9,67	1776	20,35	269

фланг

0,05	0,02	12,33	1,75	4,51	8041	—	4795	2659	2547	5446	0,26	1710	32,40	763
0,04	0,04	—	—	—	—	—	—	—	—	—	—	—	—	—
0,09	0,02	12,68	4,07	7,91	7534	—	3318	3771	9,11	5906	0,62	1741	21,24	3,12
0,07	0,06	—	—	—	—	—	—	—	—	—	—	—	—	—
0,12	0,008	11,38	6,40	1328	6894	7,80	5197	4021	—	6865	1,00	1671	8,72	178
0,12	0,02	—	—	—	—	—	—	—	—	—	—	—	—	—
0,18	—	6,99	9,78	2197	6126	1226	4344	4431	—	7317	1,63	1300	1,25	0,71
0,36	—	—	—	—	—	—	—	—	—	—	—	—	—	—
0,18	—	11,52	7,47	1264	6837	8,65	5489	3646	—	6575	1,53	1891	6,24	1,54
0,20	—	—	—	—	—	—	—	—	—	—	—	—	—	—
0,20	0,02	14,16	5,72	9,84	7028	—	52,33	4453	3,13	5830	1,06	1795	6,53	2,47
0,12	0,04	—	—	—	—	—	—	—	—	—	—	—	—	—
0,22	—	16,29	2,77	6,03	7491	2,93	6539	3167	—	5539	0,05	2670	14,47	5,87
0,11	—	—	—	—	—	—	—	—	—	—	—	—	—	—
0,11	0,01	12,48	4,63	9,19	7346	4,41	5401	4158	—	6024	0,74	1778	1710	2,57
0,04	—	—	—	—	—	—	—	—	—	—	—	—	—	—
0,10	0,01	12,44	4,38	8,83	7433	5,19	5276	4173	—	5865	0,74	1733	19,42	2,84

Породы	Количество анализов	Вверху — содержание окислов, %; внизу — средние квадратические отклонения									
		SiO ₂	TiO ₂	Al ₂ O ₃	Fe ₂ O ₃	FeO	MnO	MgO	CaO	Na ₂ O	K ₂ O
Граниты	187	72,12 5,26	0,32 0,35	14,09 1,17	0,95 0,01	2,00 0,95	0,06 0,06	0,63 0,75	1,64 1,40	3,31 0,74	4,10 0,65
Гранодиориты . .	60	68,01 3,25	0,44 0,14	15,10 0,91	0,31 0,48	3,01 1,42	0,15 0,20	1,77 0,88	3,33 1,62	3,08 0,65	3,19 0,71
Диориты	53	59,55 2,32	0,81 0,23	16,78 1,55	1,07 0,40	5,40 0,87	0,15 0,05	3,42 0,80	5,82 1,61	2,83 0,54	2,12 0,42
Диорито-монцониты	5	60,17 2,26	0,67 0,14	11,34 2,07	0,77 0,24	6,44 0,91	0,13 0,01	3,54 1,27	5,85 0,22	1,82 0,85	2,87 0,06
Монцониты	3	63,74 4,04	0,70 0,25	16,15 2,13	0,96 0,02	3,39 0,20	0,09 0,007	3,13 1,35	6,32 2,35	0,92 0,64	3,63 0,26
Среднее		67,70 6,69	0,48 1,62	15,06 1,62	0,94 0,79	3,20 1,82	0,10 0,11	1,69 1,41	3,24 2,29	3,04 0,80	3,39 0,99

II. Хингано-

3. Южный

Граниты	187	72,12 5,26	0,32 0,35	14,09 1,17	0,95 0,01	2,00 0,95	0,06 0,06	0,63 0,75	1,64 1,40	3,31 0,74	4,10 0,65
Гранодиориты . .	60	68,01 3,25	0,44 0,14	15,10 0,91	0,31 0,48	3,01 1,42	0,15 0,20	1,77 0,88	3,33 1,62	3,08 0,65	3,19 0,71
Диориты	53	59,55 2,32	0,81 0,23	16,78 1,55	1,07 0,40	5,40 0,87	0,15 0,05	3,42 0,80	5,82 1,61	2,83 0,54	2,12 0,42
Диорито-монцониты	5	60,17 2,26	0,67 0,14	11,34 2,07	0,77 0,24	6,44 0,91	0,13 0,01	3,54 1,27	5,85 0,22	1,82 0,85	2,87 0,06
Монцониты	3	63,74 4,04	0,70 0,25	16,15 2,13	0,96 0,02	3,39 0,20	0,09 0,007	3,13 1,35	6,32 2,35	0,92 0,64	3,63 0,26
Среднее		67,70 6,69	0,48 1,62	15,06 1,62	0,94 0,79	3,20 1,82	0,10 0,11	1,69 1,41	3,24 2,29	3,04 0,80	3,39 0,99

4. Северный

Граниты	107	72,52 1,42	0,25 0,15	14,38 2,39	0,99 1,04	1,60 0,81	0,05 0,03	0,74 0,67	1,72 1,18	3,44 0,64	3,40 1,60
Гранодиориты . .	66	66,68 1,73	0,53 0,15	15,70 0,93	1,13 0,46	2,81 0,74	0,16 0,21	1,57 0,44	3,62 0,81	3,57 0,50	3,00 0,76
Диориты	27	58,41 3,88	0,80 0,24	16,74 1,99	1,42 0,47	5,00 0,72	0,12 0,03	3,69 1,45	5,82 1,80	3,11 0,53	2,08 0,55
Диорито-монцониты	1	51,86 65,64	1,42 0,35	17,28 15,81	1,57 1,18	7,39 3,13	0,17 0,11	3,89 1,99	8,34 3,71	3,41 3,38	2,66 2,83
Среднее		66,37 6,69	0,41 0,18	15,33 2,02	1,06 0,70	3,14 1,59	0,10 0,13	1,84 1,54	3,47 2,10	3,21 0,60	3,11 1,16
Среднее по поясу											
Среднее по южным флангам поясов		65,48	0,53	15,45	1,30	3,66	0,10	1,89	3,47	3,11	3,31
Среднее по северным флангам поясов		64,08	0,48	15,86	1,53	3,23	0,11	2,10	3,98	3,37	3,03

темноцветных минералах вначале возрастает, а затем снижается при одновременном увеличении роли кальция. Почти аналогичным же образом ведет себя и показатель отношения $a : c$. Коэффициент n для комплексов южного фланга Хингано-Охотского пояса в направлении с запада на восток (по мере омоложения возраста) вначале уменьшается, а затем возрастает. На аналогичном фланге Сихотэалинского пояса величина n последовательно уменьшается в том же направлении независимо от характера фемической составляющей, что означает закономерное возрастание роли калия.

Числовые характеристики

SO_3	P_2O_5	a	c	b	s	c'	f'	m'	a''	n	t	φ	Q	$a : c$
Охотский пояс														
<i>фланг</i>														
0,04	0,08	12,85	1,94	5,32	7988	—	5050	1946	3004	5509	0,33	1482	32,13	6,63
0,06	0,06													
0,07	0,02	11,34	4,03	7,36	7726	—	4991	4050	9,59	5947	0,48	9,36	27,80	2,81
0,05	0,04													
0,15	0,03	962	6,81	1289	7068	4,01	4957	4642	—	6698	1,01	7,33	15,32	1,41
0,08	0,05													
0,08	0,005	841	7,06	1354	7093	2,00	5243	4557	—	4907	0,83	5,01	18,11	1,19
0,08	0,007													
—	—	7,48	7,35	1020	7496	5,25	4147	5329	—	2780	0,82	8,25	27,60	1,02
—	—													
0,07	0,003	1156	3,93	7,44	7706	—	5269	3829	9,02	5767	0,53	1076	27,77	2,14
0,07	0,06													
<i>фланг</i>														
0,08	0,02	12,08	2,02	6,02	7987	—	3870	2010	4120	6059	0,26	1358	33,54	5,97
0,05	0,02													
0,10	0,02	12,29	4,44	6,49	7677	—	5872	4122	0,06	6439	0,59	1498	24,52	2,77
0,05	0,06													
0,17	0,02	10,24	6,52	1363	6962	6,14	4627	4759	—	6944	1,02	9,25	12,24	1,57
0,10	0,02													
0,42	0,03	11,74	6,08	2001	6216	2201	4398	3401	—	6608	2,02	6,93	5,25	1,93
0,12	0,02													
0,08	0,04	11,60	4,57	7,88	7585	—	5248	4329	4227	6447	0,40	1296	23,75	2,56
0,09	0,02	11,47	4,28	7,52	7672	—	5229	4128	5,50	6265	0,45	1192	26,23	267
0,08	0,02	11,21	4,29	8,58	7591	—	5483	3790	7,25	6172	0,55	1299	25,12	261
0,11	0,01	12,14	4,38	8,65	7488	7,25	5020	4193	—	6207	0,56	1451	21,17	3,80

Правая сторона (рис. 4, б) отражает вариации тех же коэффициентов для интрузивных комплексов северных флангов характеризуемых поясов. Сравнивая ее с левой, можно заметить схожесть химических черт магматических комплексов не только северных флангов, но и близость к ним магматизма южного фланга Сихотэ-Алинского пояса. Для северных флангов магматических поясов заметно выражена лишь повышенная роль Na в сумме щелочей, при этом максимальное значение коэффициента n (чукчагирский комплекс) соответствует максимуму Al в темноцветной части пород.

В этой связи заслуживают внимания данные по изучению процессов постмагматического автометасоматоза. Средние значения коэффициентов агпантности, железистости, калишпатизации, альбитизации, окварцевания и мусковитизации, рассчитанные для интрузивных пород (табл. 6), подтверждают эволюцию химического состава интрузивных пород как на магматической, так и на постмагматической стадии их становления. Так, с запада на восток от Хингано-Охотского пояса к Сихотэалинскому, т. е. в направлении омоложения

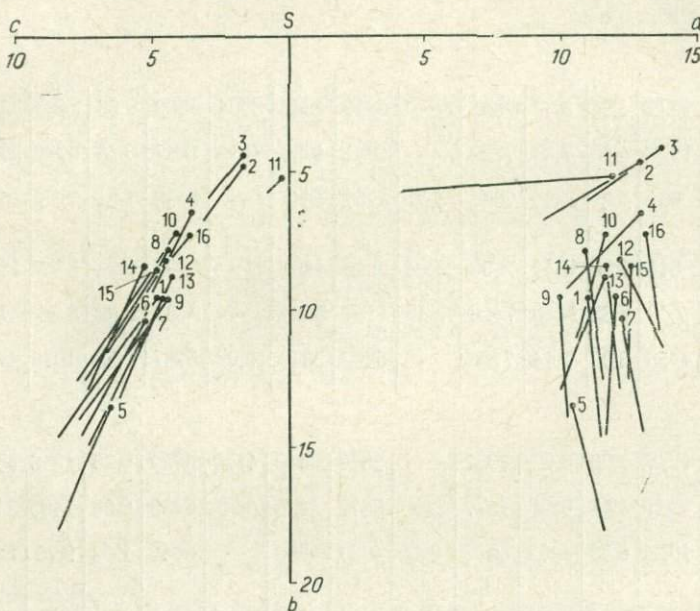


Рис. 3. Диаграмма средних составов интрузивных комплексов

1 — куканского; 2 — харинского; 3 — бутакано-чуркинского; 4 — диканского; 5 — иорohanского; 6 — алчанского; 7 — нижнеамурского; 8 — бачелазского; 9 — мяочано-баджальского; 10 — эзопско-дуссеалинского; 11 — богучанского; 12 — ульбанского; 13 — чукчагирского; 14 — селитканского; 15 — верхнеудоминского; 16 — прибрежного

пород, при сравнительно постоянном значении коэффициента агпантности, заметно возрастают коэффициенты калишпатизации, альбитизации и снижаются железистости, окварцевания и мусковитизации. Заметно изменяются эти коэффициенты и вдоль поясов. Так, в направлении с севера на юг коэффициенты агпантности, железистости, калишпатизации и окварцевания испытывают повышение, а коэффициенты альбитизации, мусковитизации — понижение. Среднее значение коэффициента агпантности (0,55) позволяет относить подавляющее большинство интрузий к щелочноземельному комплексу (В. А. Махинин, 1964 г.).

Сравнительно высокое значение коэффициента агпантности пород северных флангов Хингано-Охотского и Сихотэалинского поясов

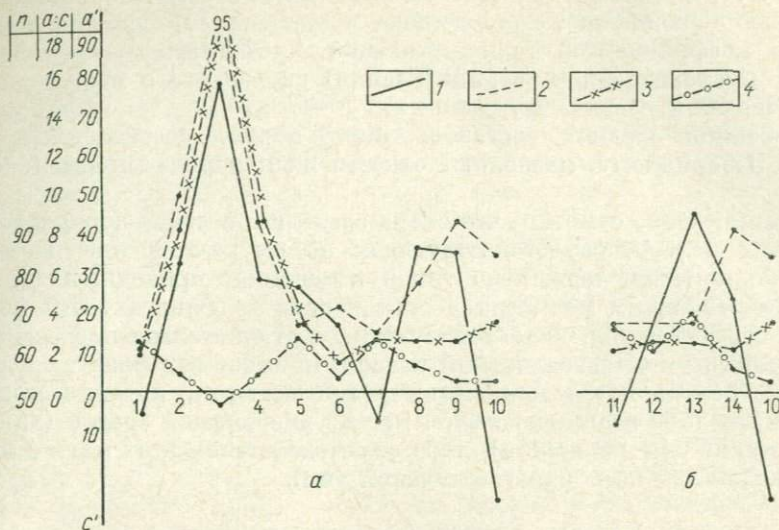


Рис. 4. График вариаций и соотношений некоторых коэффициентов интрузивных комплексов Сихотэ-Алинской подвижной системы:

a — для южных районов, *b* — для северных
1 — кривая вариаций коэффициентов a' и c' в гранитных членах комплексов; 2 — показатель отношения $a : c$ в гранитах; 3 — средняя величина отношения $a : c$ для комплексов в целом; 4 — показатель n в гранитах.

Интрузивные комплексы: 1 — кукаевский, 2 — харинский, 3 — богучанский, 4 — бутакано-туркининский, 5 — диканский, 6 — мяочано-баджальский, 7 — алчанский, 8 — бачелазский, 9 — верхнеудоминский, 10 — прибрежный, 11 — селитканский, 12 — ульбанский, 13 — чукчагирский, 14 — нижнеамурский

Таблица 6

Средние значения коэффициентов для интрузивных пород

Магматические пояса	Коэффициенты					
	албитиза- тиности	желези- стости	кали- шпатиза- ции	альбити- зации	окварце- вания	мускови- тизации
Сихотэалинский пояс:						
южный фланг	0,42	0,71	4,43	7,04	6,88	2,23
северный фланг	0,43	0,69	4,28	7,82	6,56	2,35
пояс в целом	0,43	0,70	4,35	7,43	6,72	2,29
Хингано-Охотский пояс:						
южный фланг	0,44	0,79	3,95	6,10	7,63	2,20
северный фланг	0,45	0,77	3,29	7,74	7,14	2,56
пояс в целом	0,44	0,78	3,62	6,92	7,38	2,38
Южные фланги Сихотэалинского и Хингано-Охотского поясов						
Северные фланги Сихотэалинского и Хингано-Охотского поясов	0,42	0,75	4,19	6,57	7,25	2,21
	0,44	0,73	3,78	7,78	6,85	2,45

согласуется с перспективностью этих площадей на золотое, свинцово-цинковое и, возможно, молибденовое оруденение. Изменения в значениях коэффициентов калишпатизации, альбитизации, окварцевания и мусковитизации (сертипитизации) скорее всего обусловлены различиями в составе фундамента.

Проекции средних составов типов пород, составленные по А. Н. Заварицкому, позволяют отнести их к породам нормального ряда.

В заключение отметим, что схема эволюции состава пород магматических поясов, свидетельствующих об их тектоно-генетическом родстве, намечает несколько типов изменений, приводящих к заметным различиям магматизма этих поясов на флангах. Эти изменения состава пород, характеризующихся относительно повышенной щелочностью в Сихотэалинском поясе и на северных флангах обоих поясов, осложняются монцонитоидными ветвями, которые можно объяснить либо взаимодействием магм с вмещающей средой (хингано-охотский тип изменений), либо взаимодействием этих магм с инициальными магмами (сихотэалинский тип).

3. НЕКОТОРЫЕ ЗАКОНОМЕРНОСТИ РАЗМЕЩЕНИЯ МАГМАТИЧЕСКИХ КОМПЛЕКСОВ

История развития Сихотэалинской складчатой области характеризуется многообразием структурно-фациальных обстановок, отличающихся, по-видимому, не только геосинклинальными формациями, но и типом фундамента. В этой связи находит объяснение и разнообразие магматических комплексов как естественных ассоциаций магматических образований того или иного возраста, возникших в близких геологических условиях и обладающих сходными петролого-геохимическими свойствами. Это позволяет группировать их (независимо от возраста) по формационным типам, т. е. сообществам комплексов. Последние объединяют эфузивные и интрузивные группы формаций.

Эфузивные формации включают лавовые, пирокластические, экструзивные и эксплозивные образования. Так как геосинклинальные эфузивные формации частично уже рассмотрены выше, совместно с морскими осадочными формациями, здесь остановимся лишь на субаэральных эфузивных формациях орогенного и постогенетического этапов. Они получили широкое развитие в пределах рассматриваемой территории и образуют вулканические пояса, зоны и локальные покровы. Орогенные эфузивные формации тесно связаны с близповерхностными интрузивными породами и образуют с ними эфузивно-интрузивные ассоциации. Среди орогенных наиболее развита липаритовая формация. Она включает липариты, порфиры, дациты и андезиты, в соотношениях позволяющих иногда именовать ее андезито- или дацито-липаритовой. Андезитовая или липарито-андезитовая формация включает также андезито-базальты, дациты и липариты. Широкое площадное распространение в Сихотэ-

алинской области получила также посторогенная базальтовая и щелочно-базальтовая формация, включающая кроме оливиновых долериты, андезито-базальты, трахибазальты и трахиандезиты.

Интузивные формации более характерны для орогенного магматизма, они тесно ассоциируют с эфузивными. Формации более ранних стадий развиты слабее. Так, базит-ультрабазитовый ряд интрузивных формаций ранней или геосинклинальной стадии объединяет гипербазит-габбровую, габбро-диабазовую и дунит-гарцбургитовую формации. С этим рядом тесно связаны сиилито-диабазовая и диабазо-порфировая эфузивные формации. В предорогенную стадию развития состав интрузий уклоняется к габбро-диорит-гранодиоритовой и гранитовой, иногда к габбро-плагиогранитовой формациям. Им сопутствуют андезитовая, андезито-дацитовая и липарито-диабазовая эфузивные формации. Обширный ряд гранитоидных формаций орогенной стадии развития складчатых зон объединяет диорит-гранодиоритовую, гранодиорит-гранитовую, гранитовую, лейкократово- и щелочно-гранитовую формации.

Таким образом, намечаются четыре группы интрузивных и эфузивных формаций: группа ранних или геосинклинальных формаций, предорогенная, орогенная и посторогенная. Иными словами, эволюция магматизма подчинена стадийности тектономагматического цикла и, следовательно, проявляет временные связи с эволюцией тектоногенетических структур и выполняющих их седиментогенных формаций. Так, базитовым и гипербазитовым формациям геосинклинальной стадии по времени соответствуют спилито-диабазовые формации геосинклинальных трогов; более кислым по составу магматическим продуктам предорогенной стадии — флишоидные и липарито-андезитовые формации инверсионных впадин, а широко проявленным интрузивным и эфузивно-интрузивным липаритогранитоидным формациям орогенной стадии — терригенные, морские и паратические, вулканогенно-терригенные и вулканогенные молассы и лимнические осадки обширных депрессионных структур. Наконец, посторогенной стадии отвечают базальтовые покровы и континентальные рыхлые осадочные отложения, формирующиеся на всей площади складчатой области.

Из сказанного следует: а) в ходе стадийного развития цикла и расширением площадей, охватываемых геотектоническими процессами, расширяются и площади проявления магматизма и б) по мере развития цикла возрастает роль сиалических осадочных и магматических формаций. Магмопроявления посторогенной стадии резко отличны от предыдущих; с превращением подвижной системы в область завершенной складчатости, как это отмечалось и Ю. А. Билибиным (1955), орогенный липарито-гранитоидный магматизм резко сменяется излиянием основных лав.

Первая и вторая группы интрузивных формаций развиты слабо и практически непродуктивны. Вместе с тем (подобно более поздним формациям) они не имеют связи с геосинклинальными трогами и явно тяготеют к соседним обрамляющим геантектическим структурам.

Иначе говоря, тенденция интрузивных образований к размещению в структурах жесткого обрамления прогибов, как указывал и Ю. А. Кузнецов (1960), проявляется уже на ранней стадии развития магматического процесса. С этим, по-видимому, связано и заметное покисление геосинклинального магматизма до андезитов, наблюдаемое в окраинно-геосинклинальных зонах (И. А. Плотников, С. Ф. Усенко, 1969 г.). В направлении к Буреинскому массиву заметное раскисление испытывают, например, пермо-карbonовые эфузивы Баджальского антиклиниория. Аналогичная картина наблюдается и в Центрально-Сихотэалинском антиклиниории, где мезозойские спилито-диабазовые образования джаурской и киселевской свит на границе с зоной герцинид проявляют заметное покисление до средних. По-видимому, в этом сказываются закономерности латеральной эволюции состава и преемственной связи между ранним и предорогенным геосинклинальным магматизмом.

Орогенные магматические формации не только наиболее распространенные, но и наиболее разнообразные как по форме проявления и составу, так и по типам связанного с ними оруденения. Характерная черта этого магматизма — преобладающе липарито-гранитоидный состав, многофазность и гомодромность развития; формирование его комплексов начинается фазами основных и средних и завершается умеренно кислыми и кислыми породами. Не менее характерны также тесная связь с эфузивными фациями и обширные площади распространения, как правило, далеко выходящие за пределы изохронных ему структур.

Ранее указывалось, что «отрыв» гранитоидного магматизма орогенической стадии от областей локализации геосинклинального и предорогенного магмопроявления является характерной чертой развития Приамурья (Е. А. Радкевич, М. В. Чеботарев, С. Ф. Усенко, 1966 г.). Орогенные интрузивные и эфузивно-интрузивные комплексы, синхронные формированию той или иной из складчатых зон, как правило, располагаются вне этих зон. Они контролируются сводово-глыбовыми структурами геоантклинальных поднятий и зонами разломов, которые охватывают более древние складчатые образования, окраины платформ и срединные массивы (рис. 5). Благодаря этому образуются крупные орогенические структуры типа эциплатформенных (Хайн, 1965) илиproto- и дейтероогрененных (Боголевцов, 1968) поясов, имеющих важное металлогеническое значение. Такие структуры Х. М. Абдуллаев (1960) именовал петро-металлогеническими поясами. В Приамурье к ним относятся прежде всего Хингано-Охотский и Сихотэалинский пояса, совпадающие с одноименными морфоструктурами, отчасти также Прибрежный. Образование этих поясов является закономерным следствием эволюции континентальной коры на поздних этапах развития складчатых областей.

В размещении главнейших формационных типов орогенных интрузивных комплексов Сихотэалинской складчатой области устанавливается еще одна очень важная закономерность: на северных

флангах указанных поясов преобладают комплексы диорит-гранодиоритового типа, а на южных — гранитового (рис. 6). При этом, несмотря на одновозрастность или близкий возраст большинства комплексов в пределах того или иного пояса, их приохотские фланги

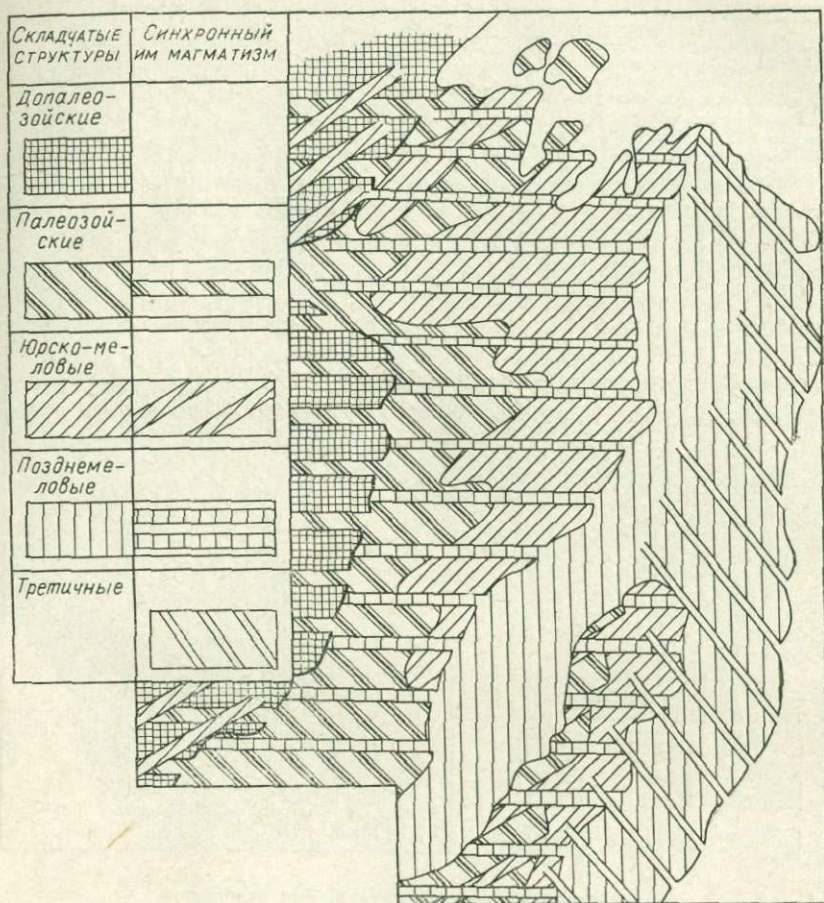


Рис. 5. Принципиальная схема размещения орогенного (липарит-гранитоидного) магматизма в складчатых структурах Приамурья

характеризуются преимущественно золотой минерализацией, а южные — преимущественно оловянным оруденением. Наиболее убедительное объяснение этого факта мы находим в материалах палеотектонических реконструкций М. И. Ициксона и С. А. Музылева (1963), в соответствии с которыми северная и южная части Сихотэалинской области имеют различный по составу и структурным особенностям фундамент: близширотные зоны байкалид, которые подстилают

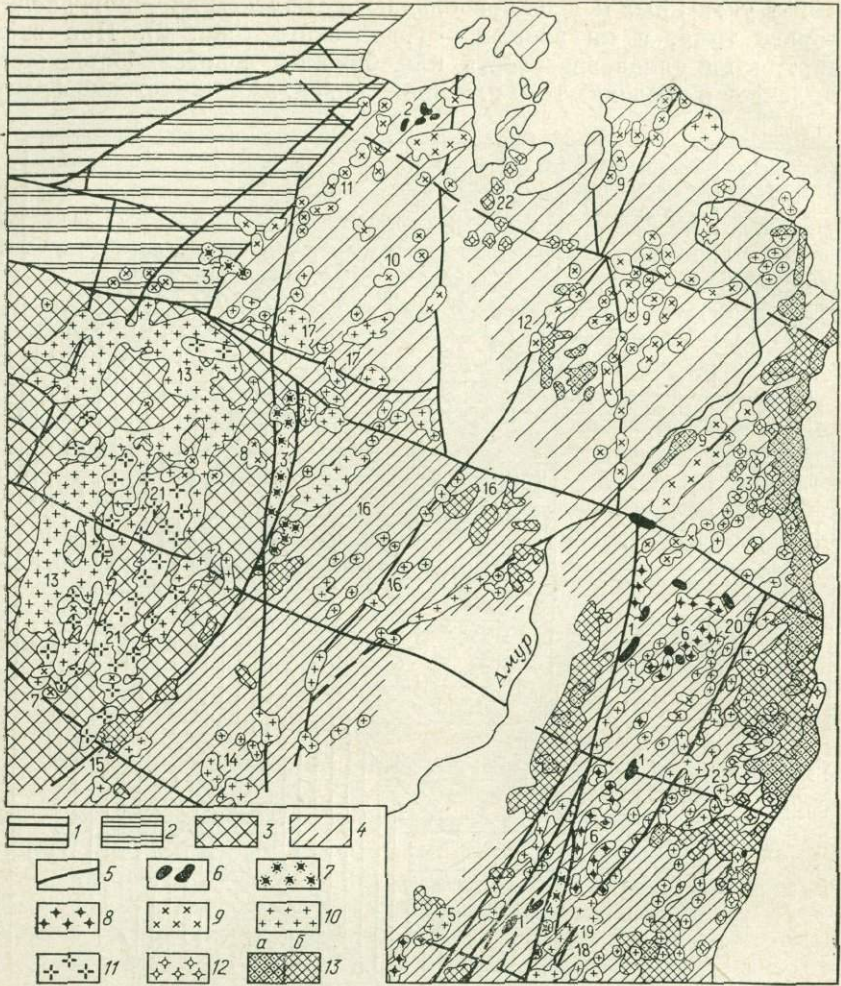


Рис. 6. Схема размещения интрузивных комплексов

Главнейшие структурные элементы юга Дальнего Востока: 1 — Становая складчатая зона; 2 — Монголо-Охотская складчатая область; 3 — Буреинский массив; 4 — Сихотэалинская складчатая область; 5 — разломы. **Магматические комплексы и их формационные типы** (по стадиям развития, цифры на карте). Геосинклинальные: 6 — юрско-раннемеловые гипербазит-габровые — хунгарицкий (1) и дугацкинский (2). Инверсионные (соскладчайтые): 7 — позднепалеозойские диорит-гранодиоритовый и габбро-плагиогранитовый — кукацкий (3), катэнский (4); 8 — раннемеловые габбродиорит-гранодиоритовый и гранитовый — алчанский (5), хунгарицкий и сандинский (6). Постинверсионные (орогенные): 9 — габбродиорит-гранодиоритовые раннемеловые — диканский (7) и иорханский (8), позднемеловые — нижнеамурский (9), ульбанский (10), селитканский (11) и чукчагирский (12); 10 — гранодиорит-гранитовые и гранитовые, пермо-триасовый — тырмо-буреинский (13), раннемеловые — бутакано-чуркинский (14) и хингано-олонский (15), позднемеловые — мяочано-бадильтский (16), эзопско-дуссалинский (17), богучанский (18), бачелазский и башинский (19), позднемеловые-палеогеновые — верхнеудоминский и иолийский (20); 11 — лейкократово-гранитовые пермо-триасовый — харинский (21); 12 — субщелочные гранитовые: позднемеловой-палеогеновый — тугурский (22) и палеогеновый — прибрежный (23). Посторогенные: 13 — неогеновый трахибазальтовый кизинский (а) и неоген-антропогеновый базальтовый совгаванский (б)

мезозойские структуры северной Приохотской части Сихотэалинской области и восточного фланга Монголо-Охотской области, сложены формациями эвгеосинклинального типа, тогда как структуры южной части развивались на близмеридиональных ветвях байкалид, сложенных формациями миогеосинклинального типа. Граница между этими областями рифейд совпадает с Сонахско-Тумнинским отрезком более крупной зоны разломов близширотного направления. Таким образом, и формационные различия и различную рудную специализацию интрузивных комплексов северной и южной частей Сихотэалинской подвижной области представляется возможным объяснить влиянием фундамента. В последние годы это положение убедительно аргументировано материалами обстоятельных исследований Г. В. Ициксон (1970), основанными на анализе кристаллохимических процессов превращения вещества (в том числе рудного), протекающих в условиях сжатия (геосинклинальных) и растяжения (геоантиклинальных). По результатам этих исследований потенциально золотоносными складчатыми комплексами оказываются те, которые формировались в условиях преобладания исходящих движений и сжатия, а оловоносными — участки разуплотнения, формирующиеся в условиях преобладания восходящих движений и растяжения.

Г л а в а V

ТЕКТОНИКА

1. ОСОБЕННОСТИ ТЕКТОНИЧЕСКОГО РАЗВИТИЯ

В геологической эволюции Сихотэалинской подвижной области и примыкающих к ней структур (Монголо-Охотская область, Буреинский массив, Становой пояс) можно наметить два крупных последовательно развивающихся этапа: седиментогенетико-складчатый, связанный с преобладанием процессов опускания и компенсирующего осадконакопления, и геоантеклиниальный (орогенный), характеризующийся процессами прогрессирующего воздымания. Каждому из них соответствует определенный тип развития и структур: для первого характерны преимущественно складчатые структуры, а для второго — сводово-глыбовые, наложенные на складчатые.

Оба этапа (и соответственно структуры) тесно связаны преемственностью развития и общей направленностью геотектонического процесса от прогибания и преобладающего осадконакопления к сводовому воздыманию, интенсивному разломообразованию и преимущественно гранитоидному магматизму. При этом проявления гранитоидного магматизма, подчиняясь региональным закономерностям структурного контроля, образуют сводово-глыбовые магматические пояса, располагающиеся вдоль зон разломов в более ранних складчатых зонах или на их границах. Однако формированию этих поясов предшествовал длительный период геосинклинально-геоантеклиниального режима развития. В ранний период развития (средний — поздний протерозой) обособились складчатые системы, которые в последующие циклы не преобразовались в платформы, а, надолго сохранив подвижность, развивались вместе с сопредельными геосинклинальными системами как сопряженные с ними геоантеклиниальные структуры (Становая, Буреинская и др.).

В сохранившихся геосинклинальных системах в последующие циклы развития региона происходило накопление осадочных толщ. В эвгеосинклиналях они перемежались с магматическими (спилит-кератофировой, диабаз-порфировой, диабаз-порфиритовой, габбро-перidotитовой, габбровой, габбро-плагиогранитной формациями).

В последующие циклы развития региона геоантиклинальные складчатые системы испытывали преимущественно сводово-глыбовые поднятия, сопровождавшиеся проявлением гранитоидного магматизма. Формирование гранитоидных формаций происходило, вероятно, в результате палингенеза. Состав этих формаций во многом определялся составом фундамента и нижних структурных этажей. Учитывая большую энергоемкость магматических процессов (Е. И. Паталаха, 1967 г.), их развитие в пределах складчатых структур отметим, что они сопровождались взаимодействием магмы и среды, метаморфизмом пород, регенерацией и заимствованием вещества, в том числе рудного. В результате магматические образования приобрели определенные петролого-геохимические свойства «рудной специализации». При структурно-металлогеническом районировании следует, по-видимому, учитывать и формационный тип магматических комплексов и характер их рудоносности, как косвенные факторы, указывающие на состав и тип складчатых структур фундамента. Не исключено, что формирование сводово-глыбовых поднятий в значительной мере обязано гранитообразованию, и эти структуры можно относить к категории магматогенных. Некоторые исследователи также рассматривают их как структуры максимальной гранитизации (Э. Н. Лишневский, 1965 г.).

Процессы, происходившие в геосинклинальных и геоантиклинальных системах подвижных областей, носили различный характер, однако они развивались взаимосвязанно и синхронно. Такой геосинклинально-геоантиклинальный тип развития подвижных областей особенно характерен для позднего палеозоя и мезозоя Приамурья (Радкевич, Чеботарев, Усенко, 1966), но, очевидно, был характерен и для более ранних этапов развития этого региона.

Схема структурного районирования (рис. 7) отражает классификацию структур Приамурья для мелового времени. Построенная на выделении мезозойских тектономорфологических структур, схема вместе с тем отражает обе категории структур — седиментогенно-складчатые и блоково-глыбовые. В конце мезозоя — начале кайнозоя все они, как геоантиклинальные области, явились ареной активного гранитоидного магматизма и формирования блоково-глыбовых магматических поясов, которые нередко именуются структурами активизации.

В последние годы ведется оживленная дискуссия о процессах активизации. Одни исследователи (Е. П. Павловский, 1948 г., 1953 г.; И. В. Корепков, 1960 г.; Ю. В. Комаров и П. М. Хренов, 1962 г.; В. Л. Масайтис и Ю. Г. Старицкий, 1963 г.; М. А. Фаворская, И. Н. Томсон и др., 1969 г.) полагают, что активизация складчатых областей — явление вполне самостоятельное, не зависящее от влияния развивающихся по соседству геосинклинальных зон; другие (Ю. М. Шейнманн, 1968 г.; М. С. Нагибина, 1963 г.; Н. П. Херасков, 1967 г.; А. Л. Яншин, 1964 г.; А. И. Семенов, 1967 г. и др.) усматривают в процессах активизации влияние соседних более молодых геосинклинальных зон; а некоторые (А. Д. Щеглов, 1967 г.; В. Е. Хайн,

1965 г.; Е. А. Радкевич, 1965 г.; М. И. Ициксон, 1966 г. и др.) считают, что процессы активизации складчатых областей могут носить как зависимый от развития соседних геосинклиналей (отраженная активизация), так и независимый автономный характер.

Единого представления о процессах активизации складчатых областей пока еще нет. Более того, одни исследователи послесклад-

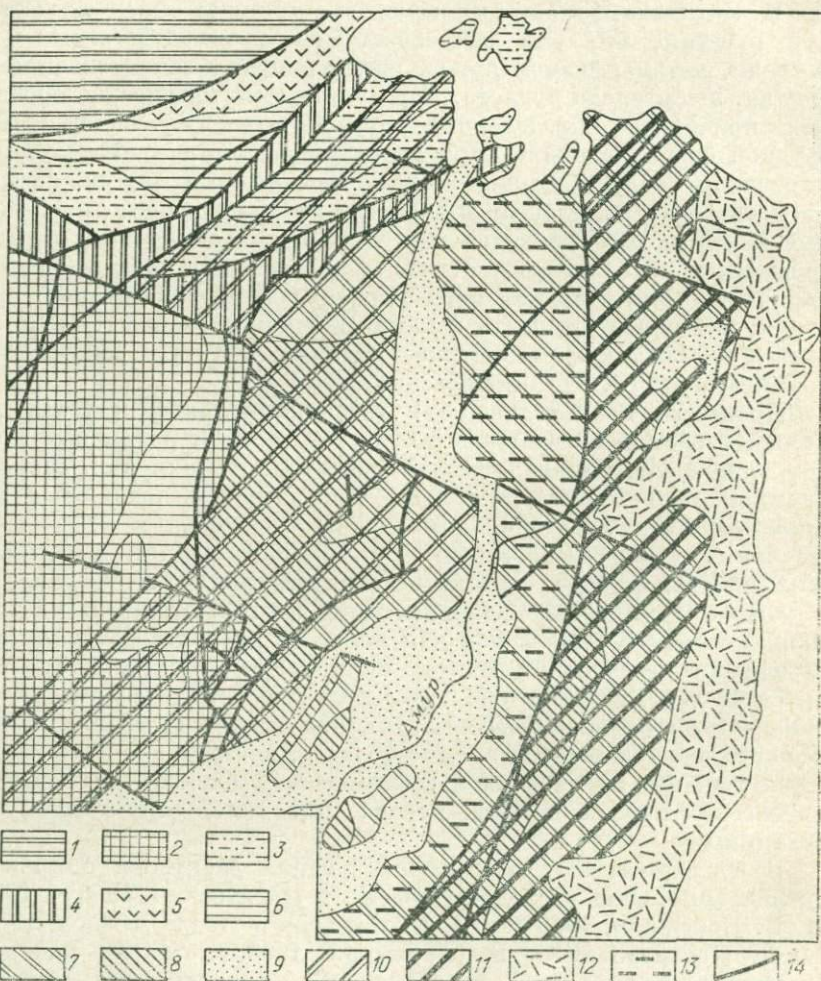


Рис. 7. Схема структурного районирования Сихотэалинской складчатой области

1 — Становая зона протерозойского складчатого обрамления юго-восточной части Сибирской платформы; 2 — Буреинский массив, Монголо-Охотская складчатая область; 3 — грабен-синклиниории; 4 — горст-антеклиниории; 5 — юго-западный фланг Охотского вулканогенного пояса; 6 — мезозойские наложенные прогибы. Сихотэалинская складчатая область: 7 — синклиниории; 8 — антиклиниории; 9 — кайнозойские впадины. Блоково-глыбовые магматические (орогенические) пояса: 10 — Хингано-Охотский; 11 — Сихотэалинский; 12 — Прибрежный вулканогенный пояс; 13 — Присихотэалинская зона; 14 — главнейшие зоны разломов

чные вулкано-плутонические комплексы относят к поздним этапам геосинклинального развития, а другие связывают их образование с процессами активизации этих областей. Так, В. Л. Масайтис и Ю. Г. Старицкий (1963) считают, что формирование позднемезозойских эфузивно-интрузивных комплексов, распространенных в пределах Сихотэалинской складчатой области, связано с процессами активизации, тогда как Л. И. Красный, Н. А. Беляевский, Э. П. Изох и другие исследователи считают их производными заключительных этапов геосинклинального развития.

На основе изучения места и времени гранитоидного магматизма в развитии подвижных областей Приамурья авторы пришли к следующему выводу: формирование более молодых послескладчатых плутоно-вулканических комплексов в пределах структур завершенной складчатости не какое-то исключительное явление (активизация), оно представляется естественным и неотъемлемым элементом геоантиклинального этапа их развития.

Аналогичная картина развития послескладчатого гранитоидного магматизма отмечается (Карпова, 1968) также в Казахстане, Восточных Саянах, Северном Тянь-Шане, Северном Вьетнаме, Юго-Восточном Китае, Богемском массиве, на Центральном плато Франции и т. д. Гранитоиды в этих регионах прорывают значительно более древние по возрасту складчатые образования, нередко образуя секущие по отношению к складчатым структурам пояса или зоны, которые размещаются в разновозрастных складчатых системах.

Таким образом, проявление гранитоидного магматизма поздних циклов в зонах складчатости предшествующих циклов подвижного пояса или области полициклического развития закономерно, и этот процесс, очевидно, следует рассматривать как явление естественное, свойственное развитию подвижных областей на геоантиклинальной стадии их развития. Эти представления убедительно аргументированы Ю. М. Шейнманном (1968). Он справедливо считает, что концепция активизации складчатых областей не учитывает установленную закономерность локализации орогенного магматизма вне изохронных складчатых зон. Отрывая орогенную стадию их развития от доорогенной концепция активизации тем самым искусственно суживает представления об объеме геосинклинально-складчатого процесса.

Сводово-глыбовые движения и липарит-гранитоидный магматизм с завершением мезозойского тектоно-магматического цикла распространились не только на древние структуры, но и на зоны меловой складчатости. Наметившееся при этом усиление магматической деятельности в виде излияний кислых и средних лав и внедрений гранитоидов охватило всю территорию Приамурья и значительную часть сопредельных подвижных областей. Локальные очаги возникли даже по окраине Сибирской платформы. Размещение магматических пород контролировалось как ранее заложенными и возрожденными в мезозое разломами, так и вновь возникшими. Вдоль крупнейших разломов были окончательно сформированы такие магматогенно-глыбовые

пояса, как Становой, вновь созданы Хингано-Охотский, Сихотэ-Алинский, Прибрежный и др. Их ориентировка при этом не совпадала с ранее созданными складчатыми сооружениями.

Таким образом, в процессе позднемезозойских, а затем и кайнозойских блоковых дислокаций и магматизма геосинклинальные складчатые структуры были существенно перестроены и на их месте возникли новые блоковые структуры, в которых по разломам соприкасались блоки разновозрастной складчатости и различной пространственной ориентировки. Для этих мозаично-глыбовых гетерогенных сооружений характерен однотипный магматизм, сопровождавшийся близкой минерализацией. Образование этих магматогенных блоково-глыбовых структур завершает длительный геосинклинальный и геоантеклинальный процессы развития Приамурья.

Господствующее развитие наложенных магматогенных сводово-глыбовых структур, переработавших более древние складчатые сооружения, существенно затрудняет геолого-структурное районирование региона по принципу выделения разновозрастных складчатых комплексов. Представляется, что при создании геолого-структурной основы металлогенических карт, предназначенных для отображения закономерностей размещения эндогенной минерализации, районирование целесообразнее основывать на выделении магматогенных сводово-глыбовых структур, созданных на геоантеклинальном послескладчатом этапе развития подвижных областей. Это позволит более объективно отразить пространственное положение и конфигурацию металлогенических структур.

Своеобразие геологического развития рассматриваемого региона определило и принцип подхода к его структурно-металлогеническому районированию: выделение не только геосинклинальных седиментогенно-складчатых, но и геоантеклинальных магматогенных сводово-глыбовых и глыбовых структур.

Сводово-глыбовые сооружения, как закономерные формы проявления тектогенеза геоантеклинального периода развития подвижных областей, служат и важнейшими рудоносными структурами Приамурья; наряду со складчатыми сооружениями они приобретают значение определяющих структурных подразделений при структурно-металлогеническом районировании. Общим для всех этих мозаично-глыбовых структур как классификационных единиц, позволяющих выделить их при районировании, являются сходные магматические формации. Складчатыеrudовмещающие комплексы сводово-глыбовых структур, влияющие главным образом на минеральные формы оруднения и морфологию рудных тел, в этих случаях будут вспомогательными элементами при районировании.

Отметим, что существующие структурно-тектонические схемы Приамурья, основанные на принципе выделения структурных подразделений по возрасту складчатости, не учитывают послескладчатые магматогенные глыбовые структуры и не увязываются с металлогеническими построениями и схемами. По этой причине авторами предлагается иная схема структурно-металлогенического районирова-

ния Приамурья (см. рис. 7 и 9). Принципы районирования водово-глыбовых подвижных областей пока еще только начинают разрабатываться (Карпова, 1968), и представляемый вариант структурного и металлогенического районирования Приамурья является одним из первых опытов в этом направлении.

В соответствии с указанными схемами на территории Приамурья выделяются пояса и зоны водово-глыбовых поднятий и гранитоидного или риолит-гранитоидного магматизма, антиклиниории и синклиниории как реликтовые структуры и депрессионные впадины, разделяющие водово-глыбовые поднятия.

2. ГЕОСИНКЛИНАЛЬНЫЕ СТРУКТУРЫ

Восток-северо-восточные геосинклинально-складчатые структуры северо-западной части изученной территории обычно относятся к Монголо-Охотской складчатой области. Здесь выделяются: Тайканский, Тугурский и Ниланский мезозойские горст-антиклиниории; Торомский грабен-синклиниорий и Амгунский, Селиткано-Торомский и Буреинский синклиниории.

Горст-антиклиниории представляют собой восточные ветви виргации Тукуриングра-Джагдинской эвгеосинклинальной зоны поликлинического развития. Эта зона в широтном направлении прослеживается далеко на запад, в район верхнего течения Амура. Она сложена, как и ее ветви, практически однотипными вулканогенно-осадочными формациями протерозоя, палеозоя и отчасти мезозоя. Для этих формаций характерны сингенетичная железорудная, марганцеворудная и фосфатная минерализации (особенно для ранне-кембрийских отложений Тайканской ветви).

Внутреннее строение горст-антиклиниориев сложное, что обусловлено многократными складчатыми движениями. Разновозрастные геосинклинальные комплексы в целом характеризуются изоклинальной складчатостью и различной степенью метаморфизма. Степень метаморфизма возрастает вниз по разрезу от диагенезированных отложений филлитовой (зеленосланцевой) фации до амфиболитовой.

Среди складчатых образований развиты базиты в эфузивной фации и меньшие в интрузивной, превращенные часто в зеленокаменные породы. Встречающиеся среди геосинклинальных отложений трещинные гранодиориты и плагиограниты (ингаглинские) могут рассматриваться как дифференциаты габброидной магмы. В пределах Тугурского и Ниланского горст-антиклиниориев развиты мезозойские гранитоиды и дайковые породы среднего состава. Развитие гранитоидов связано с формированием мелового Хингано-Охотского магматического пояса.

Тайканский горст-антиклиниорий занимает крайнее северное положение Тукуриングро-Джагдинской виргации; в его строении принимают участие формации вулканогенно-терригенного ряда. Наибольшее развитие в пределах антиклиниория получили ранне-кембрийские песчаники, рифогенные известняки, кремни, диабазы,

с подчиненными им пластами железных, марганцевых и фосфатных руд. Позднемеловые гранитоиды встречаются здесь редко.

Тугурский горст-антиклиниорий образует центральную ветвь виргации; в его строении принимают участие отчасти поздне-протерозойские кристаллические сланцы и раннекембрийские терригенные и известково-терригенные, кремнисто-яшмовые, известковые и туфогенно-диабазовые породы, но в основном развиты среднепалеозойские терригенные отложения.

Ниланский горст-антиклиниорий — крайняя юго-восточная ветвь виргации; он причленен по Ниланскому разлому к северо-восточному окончанию Баджальского антиклиниория. Центральную его часть слагают Софийский и Кербинский выступы фундамента, сложенные метаморфизованными и сложно дислоцированными геосинклинальными образованиями раннего, среднего и позднего протерозоя. Их перекрывают девонские и раннекаменноугольные образования терригенного, известково-терригенного и вулканогенно-терригенного состава.

Торомский грабен-синклиниорий расположен между Тайканским и Тугурским горст-антиклиниориями. Он сложен девонскими и каменноугольными сложно дислоцированными вулканогенно-кремнисто-терригенными отложениями мощностью более 10 км.

Селиткано-Торомский синклиниорий выполнен морскими терригенными формациями позднего триаса, юры и раннего мела. Мощность их изменяется от 3000 м в бассейне р. Тором до 7000 м в верховьях р. Галам. Отмечаются выпадения некоторых горизонтов ранней и средней юры и угловые несогласия. Мезозойские терригенные отложения образуют мульдообразный синклиниорий с пологоволнистым залеганием пластов. Интенсивность складчатости изменяется вверх по разрезу: от 50—70° в триасовых толщах до 5—10° в позднеюрских-раннемеловых. В юго-западной части синклиниория осадочные формации перекрыты поздненижнемеловыми — верхнемеловыми эфузивами среднего и кислого состава (Селитканская вулканогенная зона). С последними тесно ассоциируют гранитоиды, образуя селитканский вулкано-плутонический комплекс. Формирование этого комплекса связано с образованием Хингано-Охотского сводово-глыбового магматогенного пояса.

Амгунский (Ульбанский) синклиниорий располагается между Тугурским и Ниланским горст-антиклиниориями в бассейнах рек Тугур и Усолгин и непосредственно примыкает к Ульбанскому заливу. Здесь распространены преимущественно триас-юрские терригенные морские отложения с подчиненными кремнистыми пачками. Складчатые структуры субширотного направления в некоторых местах перекрыты покровами меловых эфузивов и прорваны гранитоидами.

Буреинский синклиниорий характеризуется асимметричным строением, более крутыми углами падения крыльев в восточной части и пологими — в западной части. Сформирован на месте прогиба, заложившегося в позднем триасе вдоль восточной окраины

Буреинского массива. Этот прогиб ориентирован в меридиональном направлении почти под прямым углом к широтным Монголо-охотским структурам и отделен от собственно сихотэалинских одновозрастных прогибов Чегдомынским поднятием. В этом смысле его можно рассматривать как передовой прогиб Сихотэалинской геосинклиналии, хотя сходство выполняющих его формаций с ранее описанными одновозрастными прогибами Монголо-Охотской геосинклинальной области сближает его с ними.

В процессе развития ось прогиба смешалась к западу, в сторону внутренних частей Буреинского массива, что обусловило асимметричное строение синклиниория. Его восточная часть выполнена юрскими морскими терригенными, отчасти триасовыми вулканогенно-осадочными формациями, смятыми в линейные складки и прорванными небольшими телами диоритов поздненижнемелового возраста; западная — позднеюрской и раннемеловой континентальной угленосной молассой, характеризующейся более простым строением складок с пологим падением крыльев, что придает ей черты,ственные межгорным впадинам. Эти две зоны, различающиеся возрастом, составом пород и интенсивностью складчатости, разделены поднятием, проходящим вдоль Иорекского разлома. На некоторых участках складчатые образования мезозоя перекрыты горизонтально лежащей континентальной молассой позднего мела.

Северо-восточные геосинклинально-складчатые структуры центральной и юго-восточной части Приамурья охватывают северную половину Сихотэалинской складчатой области. Геологическое строение этой территории неоднородно. Она включает различные по составу и возрасту складчатые структуры: домезозойские, юрско-раннемеловые и позднемеловые, последовательно с запада на восток сменяющие друг друга.

Если пренебречь некоторыми деталями, то в пределах этой части Сихотэалинской области можно выделить три разновозрастные зоны складчатых структур (с запада на восток): зона с преобладанием домезозойских складчатых структур, зона юрско-раннемеловых складчатых структур и зона позднемеловых складчатых структур. Такая последовательность размещения складчатых зон объясняется направленной миграцией тектонических процессов. Подобный характер развития обуславливает и двоякое значение каждой структуры. Так, каждая складчатая зона, являясь синклинальной по отношению к расположенной западнее ее антиклинальной зоне, в то же время сама является антиклинальной по отношению к зоне, расположенной восточнее.

Изменение возраста складчатых зон в восточном направлении приводит к тому, что в западной части Сихотэалинской области антиклиниории сложены домезозойскими образованиями, а синклиниории — триас-раннемеловыми, в то время как в восточной половине последние слагают уже антиклиниории, а синклиниории сложены поздненижнемеловыми и ранневерхнемеловыми образованиями. Среди складчатых структур западной половины Сихотэалинской области

может быть выделено Баджальское краевое антиклинальное поднятие и Горинская синклиниорная зона.

Баджальское краевое юрско-раннемеловое антиклинальное поднятие непосредственно примыкает к Буреинскому массиву и сочленяется с ним по сложной системе разломов. Поднятие сложено преимущественно палеозойскими терригенными и подчиненными им кремнисто-вулканогенными образованиями.

Горинская синклиниорная зона была сформирована восточнее Баджальского поднятия на месте позднетриасово-юрских прогибов. Для нее характерно омоложение развитых в ней осадочных формаций в направлении к востоку: в западной ее части развиты триас-юрские образования, а в восточных — позднеюрские и отчасти раннемеловые. Это свидетельствует о миграции зон осадконакопления в восточном направлении и связано с прогрессивным воздыманием Баджальского антиклинального поднятия.

Горинскую синклиниорную зону одновременно следует рассматривать как антиклинальную структуру по отношению к расположенному к востоку от нее Западно-Сихотэалинскому синклиниорию. Горинская зона представляет собой наиболее крупную складчатую структуру Сихотэалинской области. Она протягивается в северо-восточном направлении почти на 900 км из района нижнего течения р. Уссури до побережья Сахалинского залива. Восточная ее граница примерно совпадает с р. Амур, а с северо-запада на значительном протяжении границей ее служат Ку坎ский и Курский разломы.

В Устьамгунском районе Горинская зона непосредственно сливается с Амгунской синклиниорной зоной. Здесь развиты преимущественно юрские, а в восточной части — раннемеловые флишоидные терригенные формации с подчиненными им пачками спилитов, диабазов, кремнистых пород. Общая мощность юрско-раннемеловых формаций превышает 10 км. Породы смяты в узкие изоклинальные складки северо-восточного направления. Судя по наличию разрозненных выходов позднетриасовых-раннеюрских пород спилит-диабазовой формации, вытянутых полосой вдоль Амура (Хехцир, низовье р. Лимури, оз. Удыль, р. Правый Ваюн), здесь на ранних стадиях развития Горинской зоны располагался эвгеосинклинальный трог. В зоне пересечения Горинской зоны Центрально-Сихотэалинским разломом развиты послескладчатые позднемеловые гранитоиды нижнеамурского комплекса. Юго-восточная часть зоны, к югу от оз. Болонь, в результате блоковых опусканий складчатых структур в кайнозое была перекрыта рыхлыми отложениями Средненамурской впадины.

В восточной части Сихотэалинской области выделяются Западно- и Восточно-Сихотэалинские синклиниории, разделенные Центрально-Сихотэалинским антиклинальным поднятием. Синклиниории сформировались в середине верхнего мела на месте остаточных геосинклинальных прогибов баррема — раннего сенона. Выполняющие их формации представлены преимущественно флишоидами и молассоидами. В верхних частях этого терригенного комплекса (турон —

ранний сенон) отмечается повышенное содержание туфогенного материала, пачки измененных андезитов и континентальные угленосные фации. Отложения смяты в линейные относительно простые складки, при этом верхние свиты имеют более пологие углы падения.

Центрально-Сихотэалинское позднемеловое антиклинальное поднятие сложено интенсивно дислоцированными позднепалеозойскими и триас-среднеюрскими вулканогенно-терригенными и позднеурско-раннемеловыми флишоидными терригенными формациями.

Таким образом, главнейшие складчатые структуры Сихотэалинской складчатой области сложены преимущественно терригенными породами с подчиненными им спилит-диабаз-кремнистыми и порфиритовыми пачками. Карбонатные породы в виде маломощных пластов и линз имеют ограниченное распространение. Складчатые сооружения разграничиваются разломами, имеющими характер структурных швов.

3. ОРОГЕННЫЕ СТРУКТУРЫ

Рассмотрим наложенные сводово-глыбовые магматогенные структуры, созданные главным образом в позднемеловое-кайнозойское время.

После того как в раннем сеноне замкнулись позднегеосинклинальные прогибы, тектонические процессы в пределах Сихотэалинской области проявились в форме сводово-глыбовых поднятий и блоковых опусканий, в сочетании с активным магматизмом в эфузивной и интрузивной форме. Эти процессы охватили также и восточные районы монголо-охотских складчатых структур и Буреинского массива. Иными словами, ареалы проявления магматизма и блоковых дислокаций оказались шире, чем ареалы складчатых сооружений. Созданные в мезозое и палеозое складчатые структуры были расчленены секущими разломами на разновеликие блоки. Образовавшиеся разломно-блочные структуры служили благодатной средой для локализации эфузивных и интрузивных пород, преимущественно кислого состава.

Размещение меловых и кайнозойских магматических пород контролировалось системой разломов преимущественно субмеридионального направления.

Разломы играли важную роль не только в размещении магматических пород и связанного с ними эндогенного оруденения, но и в формировании блоково-глыбовых структур, особенно на орогенном этапе развития подвижных областей.

Выделяются две основные системы разломов: а) субширотная и широтная — Монголо-Охотская (Монгольская по Воларовичу, 1963) и б) северо-восточная и субмеридиональная, образующие Тихоокеанскую, или Сихотэалинскую, системы (рис. 8). Как справедливо подчеркивал Г. П. Воларович (1963), пересечение указанных структур, принадлежащих к основным структурным элементам планетарного

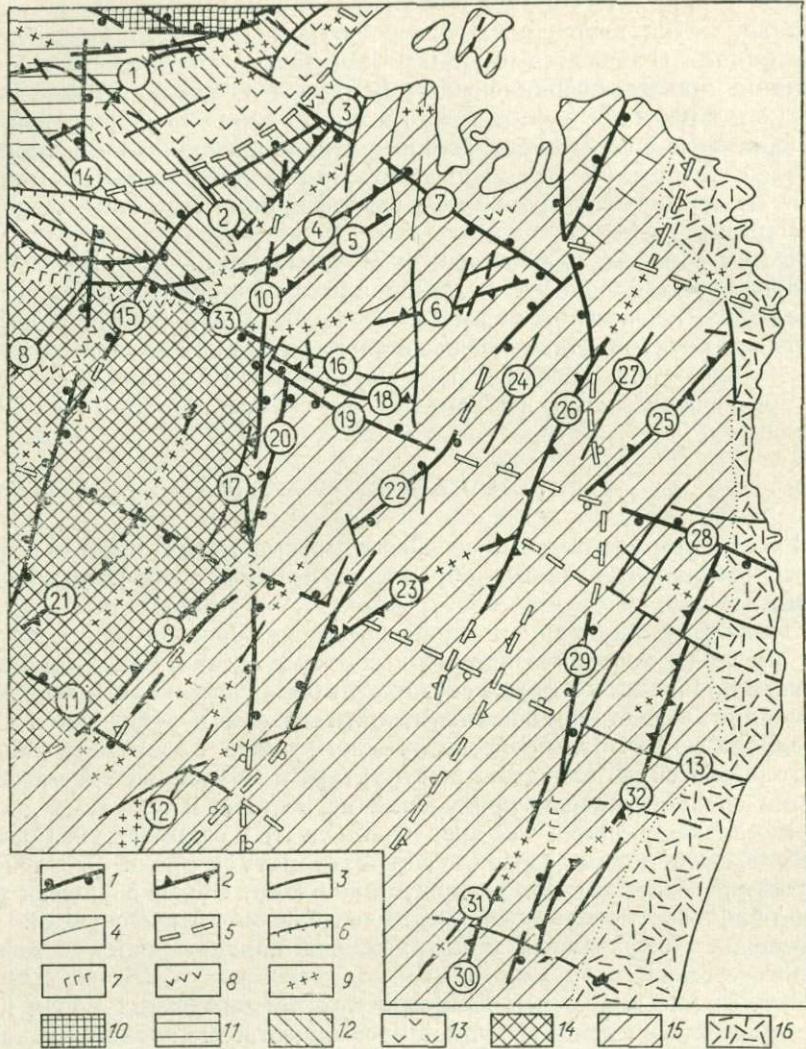


Рис. 8. Схема главнейших разломов Приамурья

Зоны главнейших разломов: 1 — трансструктурные; 2 — структурные; 3 — внутриструктурные (внутриблоковые); 4 — локальные разломы; 5 — скрытые (слепые) разломы, 6 — зоны предполагаемых надвигов. Участки разломов, контролируемых магматическими породами: 7 — основными и ультраосновными; 8 — средними; 9 — кислыми. Главные структурные подразделения: 10 — юго-восточная окраина Сибирской платформы; 11 — Становая складчатая зона; 12 — Монголо-Охотская складчатая область; 13 — юго-западный фланг Охотского вулканического пояса; 14 — Буреинский массив; 15 — Сихотэалинская складчатая область; 16 — Прибрежный вулканический пояс. Разломы и зоны разломов (цифры в кружках): 1 — Чогарский, 2 — Тохиканский, 3 — Тайканский, 4 — Кумусунский, 5 — Тугурский, 6 — Кербинский и Эзопский, 7 — Удоко-Амгунский, 8 — Селемджинский, 9 — Хингано-Буреинский, 10 — Восточно-Ибуренский, 11 — Бурел-Бирско-Винчинский, 12 — Никольский, 13 — Зейско-Урмийско-Ботчинский, 14 — Амуро-Уссурский, 15 — Турено-Удский, 16 — Софийский, 17 — Иорекский, 18 — Ниланский, 19 — Сонахский, 20 — Таастахский, 21 — Мельгинский, 22 — Куканский, 23 — Курский, 24 — Харпичиканский, 25 — Афанасьевский, 26 — Бичи-Амурский, 27 — Лимурийский, 28 — Тумининский, 29 — Центрально-Сихотэалинский, 30 — Западно-Сихотэалинский, 31 — Алчанская, 32 — Катан-Копинская, 33 — Южноджагдинский

значения, является наиболее важной особенностью геологического строения южной части Дальнего Востока.

С крупными глубинными разломами главных направлений связана целая серия сопряженных менее глубинных разломов других направлений, образующих сложную систему шовных разрывных структур, ограничивающих тектонические мегаблоки. По составу приуроченных к ним магматических пород и по глубинности заложения можно выделить три группы разломов: 1) глубинные разломы, контролирующие развитие интрузий базитов и ультрабазитов; 2) глубинные разломы, сопровождаемые интрузиями диоритов и лавами андезитов; 3) разломы умеренной глубины заложения, сопровождаемые интрузиями базитов на более поздних этапах, часто контролирующие размещение интрузий гранитоидов. Поэтому группировка разломов по составу магматических проявлений в определенной мере условна и отражает лишь один из важнейших этапов развития данного разлома.

Глубинные разломы первой группы наиболее характерны для Монголо-Охотской области. Они возникли еще в протерозое, затем неоднократно возрождались. В пределах Сихотэалинской области глубинные разломы (Центрально-Сихотэалинский, Прибрежный, Западно-Сихотэалинский) были особенно активны в мезозое и кайнозое. Разломы второй и третьей групп имеют более широкое развитие. Они контролируют такие магматические и вместе с тем металлогенические пояса, как Хингано-Охотский, Сихотэалинский и др.

В ходе развития разломы, это уже отмечал М. И. Ициксон, эволюционировали от относительно простых монотрецин, контролировавших геосинклинальные троги, до сложно построенных ослабленных разломных зон геоантеклинальных сооружений, достигающих иногда в ширину нескольких десятков километров. Вместе с ними эволюционировал и состав магматических пород — от однотипного базальтоидного или гранитоидного до более пестрого и неустойчивого, а сопровождающая их рудная минерализация — от простой по составу — высокотемпературной, до более сложной — близповерхностной.

Наряду с глубинными магмоконтролирующими разломами на описываемой территории развиты и глубинные разломы без магматических проявлений, сформировавшиеся в условиях сжатия, а также крупные близповерхностные разломы, сбросы, взбросы, взбросонадвиги, надвиги.

По масштабу проявления и значению в развитии различных блоков земной коры среди разломов Приамурья, с учетом предложенной И. Н. Томсоном (1965) систематики, выделяются следующие группы: краевые, структурные, поперечные и секущие швы. Среди последних могут быть выделены трансструктурные и межблочные. Необходимо иметь в виду условность такой группировки, так как один и тот же разлом на разных интервалах имеет различный характер.

Наряду с обычными и открытыми разломами, отчетливо проявляющимися на поверхности, получили распространенные скрытые разломы фундамента (И. Н. Томсон, 1962 г.), часто поперечные и рудоконтролирующие.

Разломы перечисленных групп сопровождаются сопряженными с ними внутриструктурными и внутриблоковыми разломами, часто оперяющими. Их протяженность не превышает первых сотен километров. Обычно они вмещают отдельные магматические тела или группы тел, принадлежащие какому-либо одному магматическому комплексу. Эта группа локальных разломов нередко является непосредственно рудоподводящей или даже рудолокализующей.

Важнейшими разломами (швами) субширотного направления являются: Южноджагдинский, Удско-Амгунский, Херпучинский, Зейско-Урмийский, Бурея-Бирский. В рассматриваемом регионе они представляют собой серии сближенных частных разломов, группирующихся в зоны.

Южноджагдинский (Южнотукурингский) разлом, как справедливо отмечали Г. П. Воларович (1963) и Л. И. Красный (1960), является важнейшей структурной линией рассматриваемого региона. Он играл роль не только в формировании Джагдинской геосинклинально-складчатой зоны. Протягиваясь далее на восток, он оказал существенное влияние и на развитие Сихотэалинской подвижной области, где выступает как поперечный разлом фундамента. Таким образом, этот разлом может рассматриваться не только как краевой, но и как трансструктурный.

Прослеживаясь по аз. 285—295° более чем на 1300 км от бассейна р. Омутная на западе, где он соединяется с Североджагдинским разломом, до побережья Татарского пролива и далее на о-в Сахалин, Южноджагдинский разлом пересекает и разграничивает ряд других крупных структурных элементов. В связи с этим характер разлома на отдельных участках не одинаков, так как очевидно и его влияние на прилегающие структуры. Поэтому удобнее рассматривать его по отдельным звеньям, которые и на схеме получили самостоятельные наименования (см. рис. 8).

Собственно Южноджагдинское западное звено этого разлома прослеживается на 700 км от р. Омутная до хр. Эзоп. Восточное сихотэалинское звено Южноджагдинского разлома (от хр. Эзоп через бассейн рек Сонах, Горин и Тумнин до побережья Татарского пролива) в отличие от западного не имеет столь четкого магматического и структурного выражения. Ориентированный почти под прямым углом к сихотэалинским складчатым структурам Южноджагдинский разлом здесь как бы «деградирует», расчленяясь на ряд более мелких разломов (Сонахский, Горинский и Тумнинский), перекрытых на некоторых интервалах мезозойскими отложениями верхнего структурного яруса.

Сонахский участок разлома разделяет Дукинское (южное) крыло Ниланского антиклиниория, сложенное триасовыми отложениями, от центральной зоны самого антиклиниория, представленной палеозой-

скими породами. Горинский участок разлома имеет характер скрытого разлома. По наблюдениям авторов, на существование Горинского разлома указывают одновременное погружение шарниров ряда параллельных антиклинальных складок, повышенная трещиноватость юрских пород, резкое изменение направления долины р. Горин с северо-восточного на юго-восточное. Тумнинский участок Южноджагдинского разлома (Северо-Сихотэалинского по Г. П. Воларовичу, 1963) ограничивает с севера Центрально-Сихотэалинское меловое поднятие. В сочетании с широтным Устьхунгариjsким разломом он образует сложную разломную зону, вдоль простирации которой развиты интрузивы ультрабазитов, габброидов и гранодиоритов Дюкалинского массива (хорский комплекс).

Южноджагдинский разлом оказывает непосредственное влияние и на ориентировку разломов сихотэалинского направления. Последние в месте пересечения с ним меняют северо-восточную ориентировку на меридиональную. Южноджагдинский разлом имеет важное металлогеническое значение, особенно для Сихотэалинской складчатой области. Он служит границей между золотоносными и оловоносными областями, расположеными севернее и южнее разлома.

Удско-Амгунский и Херпучинский разломы принадлежат, по-видимому, к единой зоне, секущей под острым углом монголоохотские и сихотэалинские складчатые структуры. Разломы прослеживаются от р. Уда, через район прииска Херпучи, до побережья Татарского пролива по цепи гранитных массивов и покровов вулканитов. Разломы были прослежены в районе Торомского прогиба (В. А. Ярмолюк, 1949 г.) и показаны на схеме интерпретации аэромагнитной съемки (К. А. Шанцын, 1966 г.). Они имеют важное металлогеническое значение: к северу от них резко возрастает интенсивность золоторудной минерализации (Тыльско-Тугурский, Ульбанский, Чаятыно-Колчанский, Мевачанский золотоносные районы).

Зейско-Урмийский разлом сечет Буреинский массив, Буреинский синклиниорий и Баджальскую вулканогенную зону. В Сихотэ-Алине на продолжении разлома располагается Ботчинский разлом, где он разграничивает Ануйский редкометальный и Верхнекорский олово-вольфрамоворудный районы. В Буреинском массиве Зейско-Урмийский разлом контролирует Мельгинский узел молибденовой минерализации.

Бурея-Бирский разлом располагается южнее Зейско-Урмийского и прослеживается от ст. Бурея до г. Биробиджан по мелким полям кислых лав. На пересечении его с крупным разломом северо-восточного направления локализуется Хингано-Олонойский оловорудный район.

Тихоокеанская (сихотэалинская) система разломов объединяет два главных направления: субмеридиональное (сахалинское) и северо-восточное (собственно сихотэалинское). Наиболее значительные разломы субмеридионального направления — Восточнобуреинский, Центрально-Сихотэалинский, Прибрежный.

Восточно буреинский разлом проходит вдоль восточной окраины Буреинского массива, на стыке с блоковой зоной западной окраины Сихотэалинской подвижной области. Морфология разлома сложная, на поверхности он выражен в виде серии сближенных частных разрывов, ориентированных в субмеридиональном направлении, осложненных сопряженными и оперяющими ответвлениями северо-восточного направления; вдоль последних локализуется большая часть магматических пород. В этой зоне соприкасаются тектонические блоки и чешуи пород различного возраста и ориентировки. Вследствие неодинаковой активности разлома на различных участках, отдельные отрезки его (Биробиджанский, Умальтинский, Харгинский) сильно отличаются друг от друга.

Биробиджанский отрезок разлома прослеживается вдоль восточной окраины Буреинского массива (западнее г. Биробиджана) и контролирует положение ряда гранитных массивов. Умальтинский отрезок разлома прослеживается вдоль восточной окраины Буреинского прогиба и в сопряжении с Таставским разломом ограничивает Чегдомынский выступ древних пород. Харгинский отрезок Восточно-буреинского разлома, пересекая почти под прямым углом складчатые структуры Ниланского антиклиниория, трассируется полями дайковых пород диорит-порфиритового состава. Здесь располагаются золотоносные куполовидные структуры (Кербинская, Софийская, Златоустовская).

Восточно буреинский разлом (в сочетании с северо-восточными и субширотными разломами) являлся важнейшим элементом Хингано-Охотского рудно-магматического пояса. Особенno перспективен на обнаружение рудных месторождений узел пересечения Восточно-буреинского разлома с Хингано-Буреинским и Зейско-Урмийским.

Центрально-Сихотэалинский разлом выделен Н. А. Беляевским и Ю. А. Громовым (1963) как структурный шов. По мере накопления геологических материалов все более выясняется его значение в качестве структурной линии первого порядка, контролировавшей формирование Сихотэалинского магматического пояса. Осевая зона разлома ориентирована в близмеридиональном направлении под острым углом к складчатым структурам. Она прослеживается более чем на 1300 км от залива Николая на побережье Охотского моря до бухты Судзуке на побережье Японского моря. В районе пересечения с Южноджагдинским разломом (Тумнинский участок) он образует небольшой излом, и северное его продолжение приобретает строго меридиональную ориентировку. Этот излом разделяет Центрально-Сихотэалинский разлом на два отрезка: собственно Сихотэалинский субмеридиональный (15°) и Нижнеамурский меридиональный ($0-5^{\circ}$).

Морфология разлома сложная. Он представляет собой серию кулисообразных и ветвящихся трещин, заполненных ультрабазитами и гранитоидами. Такое «перистое» строение Центрально-Сихотэалинского разлома указывает на активность напряжений как меридионального, так и северо-восточного направлений. Наряду с базитами

и гранитоидами в зоне разлома имеют место дислокационные гнейсы милониты, катаклизыты (р. Хор). Ориентировка разлома в целом не совпадает с сихотэалинским направлением складчатости, и лишь сопряженные с ним северо-восточные разломы имеют согласное со складчатостью направление. При этом разломы северо-восточного направления, очевидно, представляли собой в отдельные периоды их развития трещины отрыва, вдоль которых происходило формирование плитообразных тел гранитоидов. Характерно, что преобладающая часть массивов гранитоидов располагается к востоку от осевой части разлома. По строению и связанным с ним магматическим продуктам этот разлом сходен с Восточно-Буреинским.

Прибрежный разлом может рассматриваться как краевой или окраинно-материковый шов. Он приурочен к зоне сочленения Сихотэалинской и Сахалинской складчатых областей и на всем протяжении «занечен» позднемеловыми и кайнозойскими эфузивами Прибрежного вулканогенного пояса, а также позднепалеогеновыми гранитоидами. Поэтому ось разлома не может быть только намечена. Разлом имеет важное металлогеническое значение. В его створе отмечается наличие центров вулканической деятельности (Чипали и др.). В целом он ориентирован параллельно Центрально-Сихотэалинскому разлому.

Среди разломов северо-восточного (35°) направления выделяются Ку坎ский, Хингано-Буреинский, Тугурский, Западно-Сихотэалинский, Катэн-Коппинский, Тайканский и др. структурные и межблоковые разломы.

Ку坎ский трансструктурный разлом прослеживается от пос. Ленинское на р. Амур до мыса Александра на Охотском побережье. На многих участках он контролирует размещение палеозойских и мезозойских магматических пород, преимущественно гранитоидного состава. В южной части Куканский разлом приурочен к границе юго-восточного выступа Буреинского массива, затем прослеживается по восточной кромке Баджальской вулканогенной зоны и далее к северо-востоку в бассейне рек Лянчли и Дуки трассируется позднемеловыми гранитоидами и вулканитами, а еще северо-восточнее — Омельдинским трещинным интрузивом. Направление разлома близко простиранию палеозойских и мезозойских складчатых структур. Почти на всем протяжении разлома фиксируется разнообразная рудная минерализация.

Хингано-Буреинский межблоковый разлом объединяет ряд частных разломов, прослеживающихся в районе с. Пашковона-Амуре, западнее г. Облучье, в районе ст. Тырма и в бассейне р. Сутырь. Хингано-Буреинский разлом — это своеобразный «барьер», западнее которого позднемеловая магматическая деятельность практически не проявлялась. Вдоль разлома локализуется сурьмяная, ртутная, флюоритовая и золотая минерализация.

К категории структурных разломов относятся: Западно-Сихотэалинский и Лимуринский разломы, ограничивающие Западно-Сихотэалинский синклиниорий, и Катэн-Коппинский

разломом, ограничивающий с северо-запада Восточно-Сихотэалинский синклиниорий. Последний вмещает многочисленные массивы гранитоидов и имеет важное металлогеническое значение.

О разломах строго широтного направления на данной стадии изученности можно говорить лишь в самых общих чертах, так как они не изучались. Однако их нередко объединяют с субширотными, что, возможно, объясняется совпадением их ориентировки на некоторых интервалах. Несколько таких разломов можно наметить лишь ориентировочно, по ряду признаков (структурно-геоморфологическому, магматическому и т. п.). Так, один из них, очевидно, проходит из бассейна р. Кивели через пос. Умальту, далее он совпадает с Ниланским субширотным разломом, следя через оз. Чукчагир и далее вдоль нижнего течения р. Пильды до оз. Кади. Второй разлом может быть намечен по линии: устье р. Гуджала — оз. Болонь — устье р. Хунгари — мыс Сюркум, на побережье Татарского пролива (Сюркумский разлом). Эта широтная линия ограничивает с севера опущенный блок Среднеамурской впадины. Третий разлом субширотного направления прослеживается от устья р. Хинган через р. Биру — на оз. Сандинское и до г. Чиппали, что южнее г. Совгавань.

В заключение отметим решающую роль разломов в распределении эндогенной минерализации. В зависимости от профиля развития разломов проявляется отчетливая смена характера минерализации. К разломам, контролирующими ультраосновные и основные породы раннегеосинклинальной стадии, приурочена сегрегационная минерализация железа, никеля и др. К разломам, контролирующим породы габбро-плагиогранитной формации позднегеосинклинальной стадии, приурочена минерализация железа, меди и др. В зонах, контролирующих проявления гранитоидного магматизма геоантиклинального периода развития, отмечены концентрации золота, свинца, цинка, меди, вольфрама, молибдена, олова, редких металлов и др.

Рудоконтролирующая роль разломов иллюстрируется многочисленными примерами. Так, Хингано-Буреинский разлом контролирует сурьмянно-рутутную и флюоритовую минерализацию. Ряд разломов разграничивает блоки с различной минерализацией. Сонах-Тумнинский отрезок Южноджагдинского разлома разграничивает оловоносные области от золотоносных. Не менее важный момент представляется установленная геохимическая специализация разломов, выражаящаяся в золотоносности разломов субширотного направления и оловоносности разломов субмеридионального направления. Очевидно, при металлогенических построениях необходимо учитывать разломы как барьерные структуры, ограничивающие распространение магматических пород и связанный с ними рудной минерализации.

Разломы обусловили блоковое строение рассматриваемой территории. При пересечении или сближении разломов образуются мелко-блоковые структуры. Последние, будучи легкопроницаемыми, оказались наиболее благоприятными структурами для локализации оруденения. Именно на таких участках пересечения разломов расположены

жены важнейшие рудные районы и узлы рассматриваемого региона.

Все изложенное свидетельствует о том, что в послескладчатый орогенный (геоантиклинальный) период развития складчатые структуры Сихотэалинской и сопредельной с ней Монголо-Охотской подвижных областей, а также Буреинского массива подверглись тектономагматической перестройке. На их месте были сформированы по существу новые структурные формы, характеризующиеся сочетанием разобщенных и смешанных относительно друг друга блоков прежних складчатых структур, объединяющим элементом которых явились однотипные или близкие вулкано-плутонические формации, преимущественно липарит-гранитоидного ряда. Вновь созданные сводово-глыбовые магматические пояса ориентированы в субмеридиональном направлении, под углом к направлению складчатых структур; иными словами, пространственно они не совпадают со структурно-фациальными зонами собственно геосинклинального периода развития.

В соответствии со сказанным в Приамурье можно выделить: Хингано-Охотский и Сихотэалинский¹ сводово-глыбовые пояса, Прибрежный вулканический пояс, Уссуро-Охотский пояс кайнозойских дислокаций и депрессий; первые — как положительные структуры воздымания, а последний — как отрицательную структуру погружения.

а. Хингано-Охотский сводово-глыбовый пояс

Формирование Хингано-Охотского пояса меловых блоковых дислокаций и вулкано-плутонического магmatизма связано с эпохой сводово-глыбовых поднятий области завершенной складчатости и пространственно приурочено к сочленению жесткой глыбы Буреинского массива с более подвижными обрамляющими его складчатыми структурами. Такое сочленение разнородных структур оказалось наиболее проницаемым для магматизма, что и предопределило его местоположение.

В геоморфологическом отношении это положительная структура, включающая Куцанский, Баджальский, Джаки-Унахта-Якбиянский, Мяочанский, Буреинский, Эткиль-Янканский, Дуссе-Алинский, Эзопский, Ям-Алинский, Тыльский и другие хребты и горные сооружения, в ядрах которых обычно обнажаются верхнемеловые гранитные интрузивы.

Следуя Ю. А. Косыгину (1969), Хингано-Охотский пояс можно было бы назвать террагеоантиклиналью (континентальный гомолог геоантиклинали).

¹ Магматическими сводово-глыбовыми поясами, в соответствии с представлениями Е. Д. Карповой (1968), авторы считают линейные блоково-глыбовые послескладчатые сооружения, характеризующиеся близким или однотипным преимущественно гранитоидным магматизмом.

Пояс в целом, обрамляя жесткую глыбу Буреинского массива с востока, имеет генеральное субмеридиональное направление и прослеживается на 800 км от Амура до побережья Охотского моря. Ширина его от 100 км на флангах до 300 км в средней части. С востока он ограничивается Чукчагирской и Среднеамурской впадинами, его западная граница — Хингано-Буреинский, Таставский и Турано-Удский разломы.

Хингано-Охотский пояс включает складчатые структуры западной части Сихотэалинской складчатой области, восточную окраину Буреинского массива и монголо-охотские складчатые структуры Приохотья. В деталях контуры пояса более сложны, благодаря сочетанию внутриблоковых разломов северо-западного, северо-восточного и субширотного направлений. Эти разломы не только усложняют контуры пояса, но и обусловливают наличие сложной мозаики блоков с различным магматизмом и уровнем эрозионного среза, что предопределяет многообразие форм и типов проявления рудной минерализации пояса в соответствии с различием магматизма и структурно-фациальными особенностями слагающих его блоков.

В пределах пояса выделяются блоковые структуры различного возраста, степени консолидации и формационного состава: протерозойские, раннекембрийские, палеозойские и мезозойские. Протерозойские и позднепротерозойско-раннекембрийские блоковые структуры сложены складчатыми первичноосадочными (терригенными, карбонатно-терригенными и карбонатными) и вулканогенными образованиями, метаморфизованными в филлит-зеленокаменной, отчасти амфиболитовой фациях. С ними связан комплекс главным образом сингенетической и отчасти магматогенной минерализации, проявленной преимущественно в южной (Хингано-Баджальской) части пояса и в меньшей мере в приохотской его части. Это прежде всего графитоносность союзненской, магнезитовая и тальковая минерализация мурандавской свиты на Малом Хингане, а также железо-марганцево-фосфатная минерализация раннекембрийских геосинклинальных отложений на Малом Хингане и в Тыльско-Шантарской зоне.

Средне- и позднепалеозойские блоковые структуры сложены складчатыми терригенно-вулканогенно-кремнистыми, отчасти марганцевоносными (хр. Вандаи), карбонатно-терригенными и терригенными геосинклинальными формациями, достигающими на отдельных участках пояса более 7000 м мощности.

Протерозойские и палеозойские складчатые комплексы вмещают протерозойские и палеозойские магматические гранитоидные комплексы, с которыми связана сравнительно слабая молибденовая, оловянная, полиметаллическая, редкометальная и, возможно, золотая преимущественно высокотемпературная минерализация.

Мезозойские (верхнетриасово-юрские) складчатые структуры сложены терригенными, терригенно-кремнистыми формациями мощностью до 6000 м. С кремнистыми пачками связана слабая марганцевоносность.

С этими разновозрастными и различно ориентированными блоково-складчатыми структурами здесь широко развиты эфузивные и интрузивные образования поздненижнемелового и верхнемелового возраста, образующие вытянутый в субмеридиональном направлении ареал однотипных пород. Эфузивы среднего и кислого состава образуют иногда огромные, до 10 000 км² покровы. Наиболее крупные из них — Селитканский, Эзопский, Баджальский, Хингано-Олонойский покровы, менее крупные — Ульбанский, Эвурский, Комсомольский, Западно-Сихотэалинский и ряд более мелких, которые фиксируют одиночные магматические очаги.

Покровы сложены меловыми (апт — сенон) слабо дислоцированными андезитами, дацитами, липаритами. В наиболее крупных эфузивных покровах — Хингано-Олонойском, Баджальском и Селитканском мощность вулканогенных образований достигает 4000 м. С вулканогенными образованиями пространственно тесно связаны одновозрастные и сходные по составу комагматичные гранитоиды, совместно они образуют эфузивно-интрузивные комплексы, обуславливающие в основном металлогению Хингано-Охотского пояса.

К сожалению, изученность мелового магматизма пояса еще недостаточна. Изучение его осложняется как малым развитием осадочных стратифицирующихся мезозойских образований и сложностью стратиграфического расчленения эфузивов, так и спецификой блоковых структур и дифференцированностью их относительных перемещений.

Магматические комплексы пояса имеют много общих особенностей. Их интрузивные и эфузивные фации пространственно и структурно тесно связаны между собой, образуя ряд вулкано-плутонических комплексов: хингано-олонойский, мяочано-баджальский, эзопско-дуссеалинский, селитканский, ульбанский, тугурский и др. Эфузивно-интрузивные комплексы различных участков пояса отличаются заметной общностью их структурной позиции, петролого-геохимических и металлогенических особенностей. Они представляют собой послескладчатые образования с резко выраженной дискордантностью интрузивов, контролируемых расколами субмеридионального, северо-восточного, северо-западного и субширотного направлений. В связи с этим интрузивные тела располагаются цепочками вдоль разломов указанных направлений.

Размещения магматических пород контролировались сложной системой разломов субмеридионального, северо-восточного, северо-западного и субширотного направлений. В пределах северной части пояса условия локализации магматических пород усложнялись влиянием возрожденных разломов субширотного направления.

По особенностям складчатых структур, характеру фундамента и металлогении пояс делится на две крупные области: южную — Хингано-Баджальскую и северную — Приохотскую, или Ямалинскую, располагающиеся, соответственно, на площади развития сихотэалинских и монголо-охотских складчатых структур. В связи с этим пояс сечет складчатые структуры на юге под острым углом, а на севере

почти под прямым. Границей этих областей служит Сонахский разлом, являющийся звеном Южноджагдинского глубинного разлома.

6. Сихотэалинский сводово-глыбовый пояс

Сихотэалинский пояс позднемеловых-кайнозойских блоковых дислокаций и магматизма прослеживается более чем на 1300 км от побережья Охотского моря до побережья Японского моря. Рассматриваемая его приамурская часть до широты р. Бикин составляет около 800 км. С запада Сихотэалинский пояс отделен от Хингано-Охотского Уссури-Охотским поясом кайнозойских дислокаций и впадин, а с востока — вулканитами Прибрежного пояса.

Эта крупная сводовая морфоструктура, возникшая в позднемеловое-палеогеновое время, подчеркнута горным сооружением Сихотэ-Алинь, а к северу от р. Амур невысокими хребтами Чаятын, Дымкан и др. В осевой части хребтов обнажаются верхнемеловые гранитные интрузивы. Сихотэалинский сводово-глыбовый пояс Г. И. Худяковым (1965 г.) выделяется также как террагеоантеклиниорий. В строении складчатого основания пояса принимают участие позднепалеозойские триас-юрско-раннемеловые и позднемеловые складчатые вулканогенно-осадочные и осадочные геосинклинально-складчатые комплексы, имеющие северо-восточное генеральное направление. Позднепалеозойский структурный ярус слагает ядро Центрально-Сихотэалинского антиклиниория. Он представлен в основном терригенными образованиями с подчиненными им пачками кремнистых пород и залежей пластовых тел спилитов и диабазов. Мощность позднепалеозойских отложений 6—7 км. Триас-раннемеловой структурный ярус представлен вулканогенно-кремнисто-терригенными образованиями триаса — средней юры и флишоидными терригенными отложениями поздней юры — раннего мела. Общая мощность отложений этого структурного яруса достигает 12—15 км.

Меловой (баррем-сенонский) структурный ярус сложен преимущественно терригенными отложениями, иногда флишоидными, с мало-мощными пачками кремнистых и туфогенных пород и залежами порфиритов, мощность его 4—7 км. Эффузивные и интрузивные породы здесь широко распространены. Размещение их контролировалось разломами северо-восточного, субмеридионального северо-западного и субширотного направления. Ведущие — две первые системы; причем, субмеридиональная и северо-восточная системы расколов — это главнейшие шовные структуры сихотэалинского направления. Они предопределяют границы зон магматизма. Северо-западные и субширотные разломы также многочисленны, однако по форме и значению в металлогении они резко отличаются от первых. В современном срезе они проявляются слабо. По ряду косвенных признаков они трассируются на продолжении монголо-охотских разломов, контролируют размещение интрузивов, особенно ультрабазитов, но чаще фиксируются по резкой смене фаций осадочных

отложений и флексурообразным изгибам складчатых структур, зонам повышенной трещиноватости, дайковым образованиям и, главное, по резкой смене характера минерализации. Несомненно, часть из них — это скрытые расколы фундамента, сравнительно слабо проявившиеся в верхних структурных ярусах. На поверхности они определяют границы различных блоков, каждому из которых присущ свой характер и тип минерализации, т. е. это своего рода структурные и рудные «барьеры», являющиеся границами рудных районов.

Среди перечисленных направлений разломов главнейшим магмо-контролирующим разломом является субмеридиональный Центрально-Сихотэалинский структурный шов в сочетании с оперяющими его разломами северо-восточного направления. Значительно меньшая магмоконтролирующая роль принадлежит системе разломов северо-западного направления.

Магматизм Сихотэалинского пояса проявлен интенсивно и во многом сходен с Хингано-Охотским поясом. Характерная его особенность — преобладание интрузивных фаций в центральной части и эфузивных в бортовых зонах, что может быть связано также с активным сводовым поднятием центральных зон и энергичной эрозией в послескладчательный период развития. Наряду с этим интересна повышенная основность интрузивов северной части пояса по сравнению с южной, где преобладают нормальные гранитоиды. Границей этих различных петрохимических блоков служит зона Тумнинского разлома запад-северо-западного направления.

Подобную особенность в характере магматизма мы отмечали и в Хингано-Охотском поясе, в его северной Ямалинской и южной Хингано-Баджальской областях, разделенных Сонахским отрезком той же северо-западной системы Джагдинских расколов. Это повторение одной и той же тенденции в обоих поясах, подкрепляемой к тому же резкой сменой характера металлогенеза, представляет несомненно закономерность, пренебрегать которой нельзя. При этом всякая попытка понять причину и смысл этих отличий невольно приводит к сопоставлению особенностей состава фундамента северных и южных частей поясов — фемического или сиали-фемического для первых и существенно сиалического для вторых.

В пределах пояса выделяются несколько магматических комплексов: хорский ультрабазитовый, хунгариjsкий и сандинский, нижнеамурский, бачелазский и бапшинский, иолийский, верхнеудоминский и прибрежный гранитоидные, охарактеризованные выше. Исследования Э. П. Изюха, В. В. Русса и др. (1967) показали: бачелазскому и верхнеудоминскому комплексам (а следовательно, и их аналогам — бапшинскому и иолийскому) сопутствует оловянная, вольфрамовая, молибденовая, свинцово-цинковая и редкометальная минерализация, а с нижнеамурским комплексом связаны золотые, свинцово-цинковые, золото-рутутные и медно-молибденовые проявления. В экструзивных фациях прибрежного комплекса известны месторождения золота, свинца и цинка, алунитовых

Таким образом, по характеру магматизма и металлогении в пределах Сихотэалинского пояса может быть выделено также две структурно-металлогенические области: Нижнеамурская золотоносная и Северо-Сихотэалинская оловоносная, которые, в свою очередь, могут быть разделены на зоны или подзоны меридионального направления. Нижнеамурская область занимает северную часть пояса, контуры которой примерно совпадают с ареалом развития позднемелового нижнеамурского диорит-гранодиоритового комплекса. Северо-Сихотэалинская область располагается к югу от р. Хунгари и характеризуется более сложным строением складчатого основания и пестрым составом магматических пород. Границей этих двух областей служит Тумнинский разлом, составляющий восточное звено Южноджагдинского глубинного разлома.

В меридиональном направлении Сихотэалинский пояс по структурно-магматическим признакам может быть разделен на две зоны: Центрально-Сихотэалинскую и Восточно-Сихотэалинскую. Эти зоны прослеживаются на всем протяжении Сихотэалинского пояса в обеих его областях. Их выделение обосновывается главным образом возрастом и характером свойственного им магматизма. Так, если Центрально-Сихотэалинскую зону характеризуют позднемеловые преимущественно интрузивные нижнеамурский и хунгарицкий комплексы, то в Восточно-Сихотэалинской преобладает позднемеловой палеогеновый эфузивно-интрузивный магматизм (верхнеудоминский комплекс).

Центрально-Сихотэалинская зона позднемеловых блоковых дислокаций и магматизма в южной части совпадает с верхнемеловым антиклинальным поднятием и осевой частью хребта Сихотэ-Алинь. Западной границей зоны являются в северной части (от залива Николая до р. Анюй) Центрально-Сихотэалинский разлом, а в южной — Западно-Сихотэалинский разлом. Восточная граница в северной части проходит по бортам Устьямгунской и Удильской впадин, а в южной части по Катэн-Кошинскому разлому. Ширина зоны 75—100 км. По характеру складчатого основания, возрасту и магматизму Центрально-Сихотэалинская зона подразделяется на Лимури-Херпучинскую и Хорско-Анюйскую подзоны.

Восточно-Сихотэалинская зона палеогеновых блоковых дислокаций и магматизма расположена восточнее Центрально-Сихотэалинской и отчасти совпадает с Восточно-Сихотэалинской синклиниорной зоной. Здесь развиты преимущественно терригенные, отчасти флишоидные формации поздненижнемелового и верхнемелового возраста и в меньшей мере раннего мела. Широко развиты раннепалеогеновые интрузивные и эфузивные породы среднего и умеренно кислого и кислого состава, которые собственно и обусловливают выделение этой зоны. Подчиненное значение имеют позднемеловые эфузивы и гранитоиды. Изолированные эфузивные покровы, увеличиваясь в размерах, часто сливаются с вулканитами Прибрежного вулканогенного пояса, что не позволяет наметить между ними четкую границу. Восточно-Сихотэалинская зона может

быть подразделена на Кошчинскую и Холанскую подзоны. Последняя на значительном протяжении перекрыта рыхлыми отложениями Чля-Орельской и Удаль-Кизинской впадин.

в. Прибрежный вулканогенный пояс

Прибрежный вулканогенный пояс¹ представляет собой звено Восточноазиатского окраинно-материкового планетарного пояса, сформированное на позднепалеозойском, юрско-позднемеловом складчатом основании и ориентированное под острым углом к этим структурам. Он охватывает прибрежную часть Сихотэалинского горного сооружения от бухты Находка на юге до Сахалинского залива на севере. Протяженность пояса превышает 1000 км, при ширине в континентальной части 25—100 км и в акватории Японского моря, по данным аэромагнитных исследований Е. Д. Антонова и др., 20—40 км. Пояс образовался на сочленении мезозойской Сихотэалинской и кайнозойской Хоккайдо-Сахалинской складчатых областей и в этом смысле может рассматриваться как пограничная краевая структура. Формирование пояса связано с развитием краевого Прибрежного глубинного разлома, который особенно активизировался в позднемеловое-кайнозойское время. В южной части Прибрежный разлом имеет север-северо-восточную ориентировку, а в северной — меридиональную. Изменение направления падает на широту г. Совгавань и совпадает с попеченным Тумнинским разломом.

Представляя собой сложную разрывную структуру, Прибрежный разлом почти на всем протяжении «залечен» магматическими образованиями. Только цепочки эоцен-олигоценовых интрузивов, а иногда и кольцеобразных вулканических аппаратов (Чипалли) трассируют его след вдоль всей вулканогенной зоны.

Для Прибрежного пояса характерно преобладание базальтовых и андезито-базальтовых лав в верхней части разреза кайнозойских вулканитов. Липариты и андезиты подстилают базальты и обнажены на флангах пояса.

Формирование Прибрежного пояса в верхней базальтоидной части тесно связано с развитием Сахалинской геосинклинали, а в нижней и с поздне- и послегеосинклинальным (геоантиклинальным) развитием Сихотэалинской подвижной области. В связи с этим в истории формирования пояса можно наметить два этапа: сенон-палеоценовый и эоцен-антропогеновый. Сенон-палеоценовый — это геоантиклинальный этап развития Сихотэалинской области, характеризовавшийся широким площадным развитием магматизма как в интрузивной, так и особенно в эфузивной форме. Ему соответствует мощная толща вулканитов, представленных чередованием эфузивов среднего и кислого состава. В основании разреза этой толщи залегают порфириты, их туфы и туфобрекции, а также туфопесчаники

¹ Его называют также Приморским (М. А. Фаворская), Восточно-Сихотэалинским (Л. И. Красный).

мощностью от 150 до 700 м (больбинская свита). Кверху они сменяются кварцевыми порфирами и их пирокластами (татаркинская свита, мощн. 50—500 м). Далее следует самаргинская свита андезитов, дацитов, андезито-базальтов и их туфов (мощн. 400—800 м), которые опять сменяются липаритами, кварцитами, порфирами и их туфами (богопольская свита). С этими поздними кислыми вулканическими тесно связаны гранитоиды верхнеудоминского комплекса. Гранитоиды сопровождаются оловянно-полиметаллической минерализацией, которая локализуется в основном западнее Прибрежного пояса.

Эоцен-антропогеновый этап в Прибрежном поясе начался с излияния базальтовых и андезито-базальтовых лав кузнецковской свиты, несогласно перекрывавших риолиты богопольской свиты, вместе с интрудирующими их верхнеудоминскими гранитоидами. Излияние лав сопровождалось отложением туфогенно-осадочных толщ, что привело к накоплению 400—800-метровой толщи осадочно-вулканогенных образований. Основные вулканиты кузнецковской свиты вверх по разрезу сменяются трахираплитами и андезито-дацитами колчанской (белогорской) свиты, тесно связанными с субщелочными гранитоидами прибрежного интрузивного комплекса, с которым связано ртутное, отчасти золотое и полиметаллическое оруденение. После перерыва, продолжавшегося, по-видимому, в течение значительной части олигоцена (о чем свидетельствуют образования кор выветривания), магматическая деятельность возобновилась только в неогене излиянием базальтов, трахигабазальтов и андезито-базальтов, сопровождаемых туфами, прослоями туфопесчаников и глин (кизинская свита), а также интрузивными и субинтрузивными образованиями штоков, даек и куполовидных тел андезито-дацитов и дацитов. После длительного периода денудации и образования кор выветривания на значительной территории пояса сформировался покров неоген-четвертичных оливиновых базальтов мощностью до 800—1000 м.

Суммарная мощность вулканитов Прибрежного пояса в среднем составляет 3000—3300 м.

Распределение перечисленных структурно-стратиграфических комплексов вулканитов в пределах пояса неравномерно. На современном эрозионном срезе можно выделить несколько областей с преобладанием тех или иных комплексов: Устьамурская и Устьсамаргинская фланговые подзоны, где преобладают андезиты и риолиты сенон-палеоценового этапа, и крупная срединная часть пояса, названная Совгаванской подзоной, отличающаяся развитием преимущественно эоцен-антропогеновых базальтов. Эти подзоны отделены друг от друга разломами. Устьамурская и Устьсамаргинская подзоны отделены от разделяющей их Совгаванской, Херпучинской и Ботчинской северо-западными зонами разломов.

г. Уссуро-Охотский пояс кайнозойских депрессий и базальтоидного магматизма

Это негативная структура, характеризующаяся пониженной мощностью коры и повышенным значением силы тяжести. Она наложена на меловые складчатые образования и представляет собой крупную зону преимущественно кайнозойских дислокаций и базальтоидного магматизма, разделяющую положительные структуры Хингано-Охотского и Сихотэалинского сводово-глыбовых поясов. Формирование Уссуро-Охотского пояса синхронно геосинклинальным процессам в Сахалинской геосинклинали. Пояс объединяет две зоны: западную зону депрессионных впадин и восточную, Присихотэалинскую, зону горного обрамления и базальтоидного магматизма.

Присихотэалинская зона позднемеловых и кайнозойских блоковых дислокаций и магматизма на значительном протяжении располагается вдоль западных отрогов Сихотэалинского хребта. С востока она ограничивается Центрально-Сихотэалинским и Западно-Сихотэалинским разломами, а с запада — кайнозойскими впадинами (Среднеамурской, Чукчагирской и др.). Северная ее граница акватория Ульбанского и Тугурского заливов.

В Присихотэалинской зоне сравнительно ограниченно распространены позднемеловые магматические породы, они встречаются лишь на ее флангах. Характерная особенность зоны — развитие кайнозойских платобазальтов. Излияние базальтоидов тесно связано с формированием кайнозойских впадин и завершением развития Прибрежного вулканогенного пояса. Присихотэалинская зона может рассматриваться как своеобразная наложенная зона кайнозойских дислокаций и базальтоидного магматизма, которая была сформирована в тыловой части кайнозойского Сихотэалинского сводового сооружения (террагеоантеклиниория), отделявшего ее от кайнозойской геосинклинали Сахалина. Тесная связь формирования впадин с излиянием кайнозойских базальтов подчеркивается единой структурной линией — Усть-Хунгариjsким разломом, являющимся одновременно и северной границей Среднеамурской впадины и Западно-Сихотэалинской вулканической зоны. Присихотэалинская зона характеризуется молодой (палеогеновой) ртутной и золото-ртутной минерализацией и многочисленными минеральными источниками. По данным гравиметрической съемки, мощность земной коры здесь не превышает 20—25 км, т. е. на 5—7 км меньше, чем мощность коры в пределах Хингано-Охотского и Сихотэалинского сводов. Присихотэалинскую зону вместе с кайнозойскими впадинами, расположеннымми западнее, можно отнести к ряду регressiveных глубинных структур, развитие которых с эоценом пошло по нисходящей линии. Геологическое строение зоны достаточно сложно и разнородно в различных ее частях. По особенностям геологического строения в ней можно выделить две подзоны: Омельдинскую и Западно-Сихотэалинскую.

Зона депрессионных впадин. Формирование наложенных межгорных впадин связано с постгеосинклинальным этапом

развития Сихотэалинской подвижной области, характеризовавшегося господством блоковых опусканий. Заложение впадин падает на позднедатское и олигоценовое время, а наиболее мелких впадин (низовье Амура) — на плиоценовое время. Зона молодых впадин протягивается в субмеридиональном направлении от Тугурского залива (Охотское побережье) на севере до Амурского залива (район г. Владивостока) на юге и включает Тугуро-Нимеленскую, Эворон-Чукчагирскую, Среднеамгунскую, Среднеамурсскую, Приханкайскую, Имано-Уссурийскую и Суйфунскую впадины¹. На значительном протяжении зона молодых впадин располагается вдоль западного подножия хребта Сихотэ-Алинь (Присихотэалинская зона), разделяет Хингано-Охотский и Сихотэалинский сводово-глыбовые магматические пояса, в связи с чем вместе с Присихотэалинской зоной она образует Уссуро-Охотский пояс кайнозойских дислокаций. К зоне впадин приурочены крупные озера: Чукчагирское, Эворон, Хуми, Болонь, Петропавловское, Ханко.

Формирование впадин сопряжено во времени со сводово-глыбовыми поднятиями Сихотэ-Алиня и сопровождалось излиянием базальтов вдоль ограничивающих их разломов. Образование впадин, очевидно, связано с глубинными процессами преобразования земной коры, о чем свидетельствует уменьшение ее мощности в пределах впадин на 5—7 км по сравнению с мощностью коры в обрамляющих ее Сихотэалинском и Хингано-Охотском поясах сводово-глыбовых поднятий.

Среднеамурская впадина (Амуро-Сунгарийская) — наиболее значительная на рассматриваемой территории. Ориентированная в северо-восточном направлении, она охватывает бассейны среднего течения Амура и рек Сунгари и Уссури; юго-западная часть впадины расположена в пределах КНР. Фундамент впадины неоднороден и сложен в западной части палеозойскими, в центральной — юрско-раннемеловыми и в восточной — позднемеловыми складчатыми комплексами. Складчатый фундамент впадины по разломам северо-восточного, северо-западного и субмеридионального направлений испытал дифференцированные движения и имеет сложное блоковое строение. Наиболее приподнятые блоки фундамента обнажаются на дневной поверхности или перекрыты маломощным чехлом рыхлых отложений. Опущенные блоки фундамента обусловливают развитие частных котловин и прогибов, особенно характерных для прибрежных частей впадины. Судя по геофизическим данным, глубина залегания фундамента в наиболее опущенных блоках достигает 2500 м.

Среднеамурская впадина выполнена осадочными и вулканогенно-осадочными континентальными отложениями от позднего мела до антропогена включительно. Наиболее развиты отложения олигоцена — раннего миоцена. Заложение впадины падает на поздний

¹ Последние три впадины расположены в Приморье. Г. И. Худяков (1965 г.) эту полосу впадин предлагает называть террагеосинклиналью.

мел (даний), когда здесь началось отложение песков, глин с прослойками торфяников, позднее перекрытых андезитами. На андезитах отмечается мощная (до 120 м) кора выветривания. По данным буровых скважин в районе р. Мухен, на коре выветривания залегают алевролиты, глины с пластами бурого угля палеоценового и эоценового возраста.

По восточной окраине впадины с отложениями палеогена переслаиваются базальты кузнецковской свиты, хотя наибольшее развитие базальты получили вдоль ее горного обрамления. Существенным является эоцен-миоценовый этап развития впадины, связанный со значительным погружением фундамента и формированием угленосных отложений (ушумунская свита), трансгрессивно перекрывающих более древние образования. По восточной и юго-восточной окраине Среднеамурской впадины на щелочных базальтах кизинской свиты отмечается красноцветная кора выветривания. Более поздними образованиями осадочного выполнения впадины являются плиоцен-антропогенные пески, галечники, а по бортам впадины — базальты совгаванской свиты.

Эворон-Чукчагирская впадина вместе с Тугуро-Нимеленской образует зону, вытянутую в меридиональном направлении от побережья Тугурского залива до района г. Комсомольска, где она соединяется со Среднеамурской впадиной. Зона охватывает долины рек Конин, Тугур, среднее течение рек Амгуни и Горина, приозерные равнины озер Эворон, Чукчагирского. В строении фундамента впадины принимают участие мезозойские и палеозойские складчатые структуры субширотного и северо-восточного простирания, переработанные позднемеловыми и кайнозойскими блоковыми дислокациями. Заложение впадины обусловлено разломами меридионального и отчасти северо-восточного направления. Геофизическими исследованиями установлено, что отдельные участки фундамента представляют собой грабены с четко выраженным асимметричным поперечным профилем: западный их борт обычно крутой, а восточный более пологий; прослеживается целая серия таких лестничных блоков, ограниченных меридиональными разломами.

В районе нижнего течения рек Тугур и Конин фундамент погружен более чем на 300 м и перекрыт, по мнению Л. И. Красного и А. И. Савченко, палеоген-неогеновыми и более молодыми плиоцен-антропогеновыми отложениями. Это мнение подтверждается данными электроразведки и обилием переотложенной пыльцы третичных растений среди антропогенных образований. По периферии впадины обнажаются позднепалеогенные вулканогенные образования основного состава (пр. Эвур, Харпичикан, Тугур).

Кроме охарактеризованных крупных впадин отмечается ряд более мелких впадин: Чля-Урельская, Удыль-Кизинская, Усть-амгунская, Усолгинская, Эльга-Горинская и др. Фундаментом впадин служат юрские и меловые складчатые образования, разбитые разломами северо-восточного, меридионального и северо-западного направления на ряд блоков. Осадочное выполнение их представлено

рыхлыми аллювиальными песками и галечниками плиоцен-нижне-четвертичного возраста мощностью до 100 м, которые (по мнению А. И. Савченко) подстилаются олигоцен-миоценовыми отложениями небольшой мощности.

В продуктах переотложенных кор выветривания в бортах кайно-зийских впадин возможны россыпи золота и кассiterита.

4. БУРЕИНСКИЙ СРЕДИННЫЙ МАССИВ

Поскольку восточная окраина Буреинского массива входит в границы рассматриваемой территории, кратко рассмотрим его геологическое строение. Массив представляет собой фрагмент байкалид с раннепротерозойским остовом. Он характеризуется широким развитием палеозойских гранитоидов и может быть отнесен к типу гранитогенных структур. На продолжении палеозоя и мезозоя эта жесткая глыба оказывала существенное влияние не только на распластировку обрамляющих ее с севера монголо-охотских и с востока сихотэалинских складчатых структур, но и на локализацию эндогенной минерализации.

Геологическая позиция Буреинского массива весьма примечательна. Он сформировался на стыке двух различно ориентированных подвижных областей; ядро массива приурочено к сочленению субширотных монголо-охотских и северо-восточных сихотэалинских структур. Такое промежуточное положение массива обусловило и двойственность его структурных особенностей. Если в западной его части, сопряженной с развитием Монголо-Охотской подвижной области, преобладают субширотные складчатые и разрывные структуры, то в восточной, сопряженной с развитием Сихотэалинской подвижной области, преобладают северо-восточные складчатые и разрывные структуры.

Буреинский массив, площадью около 150 тыс. км², сложен преимущественно палеозойскими гранитоидами, среди которых лишь в виде «ксенолитов» и изолированных блоков сохранились осадочные и метаморфические складчатые структуры протерозоя, раннего и среднего палеозоя. Опущенные блоки массива перекрыты мезо-кайнозойскими отложениями.

Фрагментарность стратифицирующихся толщ не позволяет в полной мере воссоздать историю развития массива. Вероятно, еще в раннем протерозое здесь начало зарождаться интрагеоантклинальное Турано-Буреинское поднятие, которое в течение байкальской эпохи сильно расширилось за счет причленения позднепротерозойских раннепалеозойских складчатых структур и по существу превратилось в срединный массив.

В дальнейшем различные части массива развивались неодинаково: окраинные части под влиянием соседних геосинклиналей в среднем палеозое и мезозое повторно вовлекались в геосинклинальное развитие. В течение большей части палеозоя и мезозоя массив развивался как подвижная геоантклинальная структура, испытывав-

шая в основном тенденцию к воздыманию (особенно после среднего палеозоя), сопровождающемуся процессами гранитообразования. Границы массива в процессе его развития смешались в ту или другую сторону в зависимости от активности тектонических напряжений в окаймляющих его геосинклинальных зонах. Будучи жесткой глыбой, массив влиял на распланировку соседних более мобильных зон. В свою очередь, влияние Монголо-Охотской и Сихотэалинской геосинклиналей на развитие Буреинского массива отчетливо сказалось на ориентировке разрывных структур в его западной и восточной частях. Системой разломов монголо-охотского и сихотэалинского направлений массив расчленен на ряд крупных блоков и блоковых зон, отличающихся историей развития и особенностями геологического строения. В восточной его части выделяются блоковые зоны: Туранская, Буреинская, Умальтинская, Урмийская и Малохинганская.

Туранский блок представляет собой относительно монолитное и глубоко эродированное гранитоидное ядро массива, занимающее центральное положение. Буреинская блоковая зона образует восточную половину массива и как бы наращивает Туранское гранитоидное ядро более молодыми позднепалеозойско-раннемезозойскими лейкократовыми и щелочными гранитами, образующими крупные, вытянутые на сотни километров трещинные тела. Малохинганская и Урмийская блоковые зоны образуют крайнюю юго-восточную наиболее подвижную часть Буреинского массива и являются по существу западной рамой Сихотэалинской геосинклинали. В позднемезозойское время эта часть массива служила ареной активных блоковых дислокаций и интенсивного липарит-гранитоидного магматизма, сопряженного с развитием Сихотэалинской геосинклинали. Поэтому она рассматривается в составе Хингано-Охотского сводово-глыбового мелового поднятия. Наряду с меловыми кислыми эфузивами и гранитоидами в пределах этих блоковых зон развиты ранне-и среднепалеозойские гранитоиды, а также протерозойско-раннекембрийские (Малохинганский блок) и девонские (Урмийский блок) складчатые породы, сохранившиеся в провесах кровли гранитоидов.

Важным моментом в развитии Буреинского массива был позднепалеозойско-раннемезозойский этап, характеризующийся исключительной по масштабу магматической деятельностью. Осадочные породы позднего палеозоя и раннего мезозоя в пределах массива неизвестны. Очевидно, под влиянием гранитообразования массив испытывал в это время повсеместное устойчивое воздымание, сопряженное с устойчивым компенсированным опусканием в соседних геосинклинальных прогибах, расположенных к северу (Джадинский) и востоку (Кур-Амгунский) от массива.

В пределах Буреинского массива сосредоточены позднепалеозойско-раннемезозойские гранитоиды, образующие уникальный по размерам (до 60 тыс. км²) многофазный pluton. Гранитоиды, слагающие этот pluton, составляют тырмо-буреинскую серию, формирование которой происходило на протяжении перми и значительной части триаса; они прорывают девонские и перекрываются верхнетриасовыми

отложениями. Тырмо-буреинская магматическая серия включает разновозрастные и разнообразные по составу породы от габбро до аляскитовых и щелочных гранитов.

Позднепалеозойско-раннемезозойский магматический этап завершился вулканической деятельностью, о чем свидетельствуют остатки покровов эффузивов преимущественно кислого состава в Буреинской блоковой зоне и восточнее в Урмийской зоне.

В мезозойское время (поздний триас — ранний мел) Буреинский массив, несмотря на «жесткость» и насыщение гранитоидами, сохраняет подвижность. Происходит перемещение блоков и по старым, и по вновь образовавшимся разломам, вдоль которых продолжается активная магматическая деятельность; окраинные части массива претерпевают опускания, на их месте формируются наложенные прогибы и впадины.

Г л а в а VI

МЕТАЛЛОГЕНИЯ

1. МЕТАЛЛОГЕНИЧЕСКОЕ РАЙОНИРОВАНИЕ

Образование подавляющей части эндогенных месторождений Приамурья и Западного Приохотья происходило в условиях геоантеклинального режима, в процессе формирования сводово-глыбовых структур, хотя оруденение в тех или иных масштабах проявлялось почти на всех этапах геологического развития региона. Следует отметить, что роль геосинклинально-складчатых процессов для эндогенного рудообразования Приамурья представляется сравнительно ограниченной.

В геосинклинальный период развития структур региона образовались месторождения железа, марганца, а также меди, никеля и некоторых других элементов, концентрация которых связана с доскладчательными вулканогенно-осадочными и магматическими образованиями. Месторождения этой группы совмещены со складчательными структурно-формационными зонами, в которых их размещение контролируется стратифицированными поверхностями и согласными с ними магматическими телами.

В геоантеклинальный период развития структур подвижных областей в связи с гранитоидным магматизмом образовались многочисленные преимущественно гидротермальные месторождения и рудо-проявления золота, олова, редких металлов, молибдена, вольфрама и многих других металлов, определяющих металлогеническую специфику региона. Оруденение этого периода контролируется секущими разломами и следует сводово-глыбовым магматогенным поясам, обычно не совпадающим с направлением простирания складчатых структурно-формационных зон.

Анализ истории развития геологического региона и положение в нем эндогенной минерализации показывают, что важнейшими факторами, определяющими размещение и тип металлогенических поясов и зон, являются магматизм, разломы и состав фундамента.

Отчетливо устанавливается связь магматизма и оруденения в региональном и локальном планах.

В региональных структурах связь магматизма и оруденения отражается в приуроченности рудных поясов и зон к ареалам определенных магматических формаций; в локальных структурах эта связь отражается в температурной зональности оруденения относительно магматических тел и минералого-geoхимическом родстве магматических и гипогенных рудных образований.

Металлогеническое значение отдельных магматических формаций показано рядом исследователей: Ф. К. Шипулиным на примере отщепленных и самостоятельных малых интрузий; А. И. Гинзбургом и Ф. Р. Апельциным на примере связи редкометальных месторождений с различными щелочными и субщелочными комплексами; М. Г. Руб, В. С. Коптевым-Дворниковым, Е. Т. Шаталовым на примере гранитоидных формаций и ряда месторождений цветных металлов; В. Н. Котляром, М. А. Фаворской, М. И. Ициксоном, Г. В. Ициксон, Г. М. Власовым, М. Б. Бородаевской, Г. С. Дзоцендзе, Н. И. Наковником, В. И. Суховым, А. И. Семеновым и др. на примере субвулканических и вулканических формаций. В работе большого коллектива авторов под редакцией В. С. Коптева-Дворникова и М. Г. Руб (1964 г.) обосновано существование geoхимической и металлогенической специализации комплексов магматических пород в отношении бора, фтора, tantalа, ниобия, олова, молибдена, вольфрама. Д. И. Горжевским и В. Н. Козленко (1965 г.) на конкретных примерах показана связь эндогенных месторождений с различными фациями и формациями магматических пород. Все это позволяет считать, что для выявления закономерностей пространственного размещения рудоносных площадей эндогенного оруденения немаловажное значение приобретает петрологово-geoхимический фактор районирования.

В размещении эндогенной минерализации не менее наглядна роль разломов. Разломы, контролирующие проявления магматизма, определяют и размещение связанных с ним эндогенных месторождений. Следует подчеркнуть при этом важную роль в формировании рудных поясов шовных зон разломов, развивающихся на стыке крупных блоков, испытывающих разнонаправленные движения; будучи особенно проницаемыми, эти разломы и явились благоприятными магмо- и рудоконтролирующими структурами, вдоль которых формировались рудномагматические пояса и зоны. Узлы пересечения и концентрации разломов являются важнейшими рудоконтролирующими структурами. На многочисленных примерах Приамурья и Приморья влияние разломов на распределение эндогенной минерализации было показано Г. П. Воларовичем (1963), Э. П. Изохом (1961), М. И. Ициксоном (1963), Е. С. Павловым (1964), И. Н. Томсоном (1965), М. А. Фаворской и др. (1969), М. В. Чеботаревым и С. Ф. Усенко (1967).

Отметим, что разломы двух характерных для Сихотэалинской складчатой области направлений — монголо-охотского и сихотэалинского, помимо магмоконтроля, имеют важное рудоконтролирующее значение. Разломы монголо-охотского направления нередко

бывают скрытыми; в верхних этажах они проявляются в форме зон повышенной трещиноватости, картируются по ряду косвенных (геолого-структурных, магматических и металлогенических) признаков и интерпретируются как отраженные расколы фундамента. В гравитационном поле они соответствуют границам блоков различной плотностной характеристики, а в магнитном проявляются как зоны слабо интенсивных, но постоянных положительных аномалий, шириной 4—6 км. Нередко эти разломы контролируют проявление гранитоидов повышенной основности и связанную с ними золотоносность. Наряду с этим, разломы сихотэалинского направления в большинстве случаев характеризуются оловянной геохимической специализацией и контролируют риолито-гранитоидный магматизм калиевого типа.

Правда, в некоторых районах рассматриваемой складчатой области эта закономерность нарушается. Так, в близширотной зоне хр. Эзоп вдоль разломов Монголо-Охотской системы располагаются риолито-гранитоидные (оловоносные) образования, а в Приохотье и в Нижнем Приамурье разломы сихотэалинского направления контролируют проявления золотоносных интрузивов гранодиоритового типа. Тем не менее, эти две системы разломов в подавляющем большинстве случаев, как было показано ранее (Усенко, Чеботарев, 1965; Чеботарев и Усенко, 1967; Радкевич, Усенко, Чеботарев, 1965), определяют главнейшие особенности размещения оруденения; пересекаясь, они обусловливают блоковое строение характеризуемого региона, разделяют структурно-фацальные зоны на разновеликие блоки, которые, являясь главными участками проявления внутриструктурных (рудолокализующих) разломов, представляют собой основные рудоносные площади — рудные зоны и рудные районы.

Следовательно, границами металлогенических подразделений в пределах рудных поясов Приамурья в большинстве случаев служат разломы. Причем, оруденение размещается не в главных, а вдоль более мелких оперяющих внутриблочных структур. В Сихотэалинской складчатой области такими рудоконтролирующими структурами являются внутриблочные разломы, оперяющие главное сихотэалинское направление разломов. Близширотные же разломы Монголо-Охотской системы чаще всего проявляются как рудограницивающие. Таким образом, если разломы сихотэалинского направления часто разделяют районы и узлы, отличающиеся интенсивностью или формационным типом оруденения, то монголо-охотские разломы разграничивают площади с различным типом оруденения, например, оловоносные от золотоносных, а иногда золотоносные и оловоносные от золото-рутутных и т. д. Иными словами, Монголо-Охотская система разломов проявляется в роли своеобразного структурного «барьера», ограничивающего в первую очередь области распространения золотого и оловянного оруденения.

При проведении металлогенического районирования областей с эпигенетической эндогенной минерализацией, очевидно, нельзя выдвигать в качестве определяющего литологический фактор. Это

подтверждается тем, что литологический состав верхних структурных этажей, вмещающих рудные тела, по многочисленным наблюдениям, часто оказывает влияние лишь на их морфологию, минеральные формы и текстурно-структурные особенности. Вместе с тем общеизвестна роль структурных и физико-механических особенностей вмещающих пород, как непосредственно рудоконтролирующих факторов, имеющих важное значение при металлогенических построениях в пределах районов, зон, узлов, т. е. подразделений локального значения.

Необходимо подчеркнуть важное металлогеническое значение древних и особенно эвгеосинклинальных зон, характеризующихся повышенным содержанием рассеянных сингенетических рудных элементов и, в частности, золота и других привнесенных в них вместе с глубинными магматическими породами. Развитие в этих зонах поздних внутрикоровых магматических процессов с образованием гранитов повышенной основности, сопровождавшихся гидротермальной деятельностью, способствовало концентрации рассеянных рудных компонентов в рудные тела в благоприятной структурной обстановке. В этой связи нельзя, по-видимому, недоучитывать влияния на рудоносность той или иной структурно-фацальной зоны и иного типа фундамента, чем эвгеосинклинальный. Во всяком случае оловоносные площади Приамурья и их складчатые образования, вмещающие оловорудные месторождения, характеризуются фундаментом, отличным от золотоносных. Таким образом, формационный тип интрузивных комплексов и тип характеризующей его рудоносности представляются также важным косвенным критерием, который нельзя не учитывать при металлогеническом районировании.

Убедительным доказательством в пользу существенного влияния фундамента складчатых зон не только на их рудоносность, но и на состав и рудную специализацию формирующихся в них интрузивных комплексов являются результаты исследований М. И. Ицикsona и С. А. Музылева (1963) и Г. В. Ициксона (1968 г.). Они служат достаточным основанием для разделения Приамурской части Сихотэалинской складчатой области на две различные в рудномагматическом отношении части: северную и южную. Иными словами, благодаря разнице в составе фундамента два главнейших рудномагматических пояса Сихотэалинской области — Хингано-Охотский и Сихотэалинский — разделяются на две различные в рудномагматическом отношении части: северную, преимущественно золотоносную, и южную, оловоносную (Радкевич, Усенко, Чеботарев, 1965; Усенко, Чеботарев, 1965).

В основу схемы металлогенического районирования положены конкретные сводово-глыбовые структурные подразделения и формационные особенности развитых в их пределах магматических пород (рис. 9). При выделении металлогенических подразделений авторы придерживались номенклатуры и представлений Е. Т. Шаталова (1963). Так, линейные сводово-глыбовые поднятия протяженностью порядка 1000 км и более, характеризующиеся сходными магматиче-

скими формациями, выделены как сводово-магматические и металлогенические пояса. Более или менее изометричные, размером в несколько сотен километров в поперечнике, характеризующиеся развитием одновозрастных пород одной магматической формации и

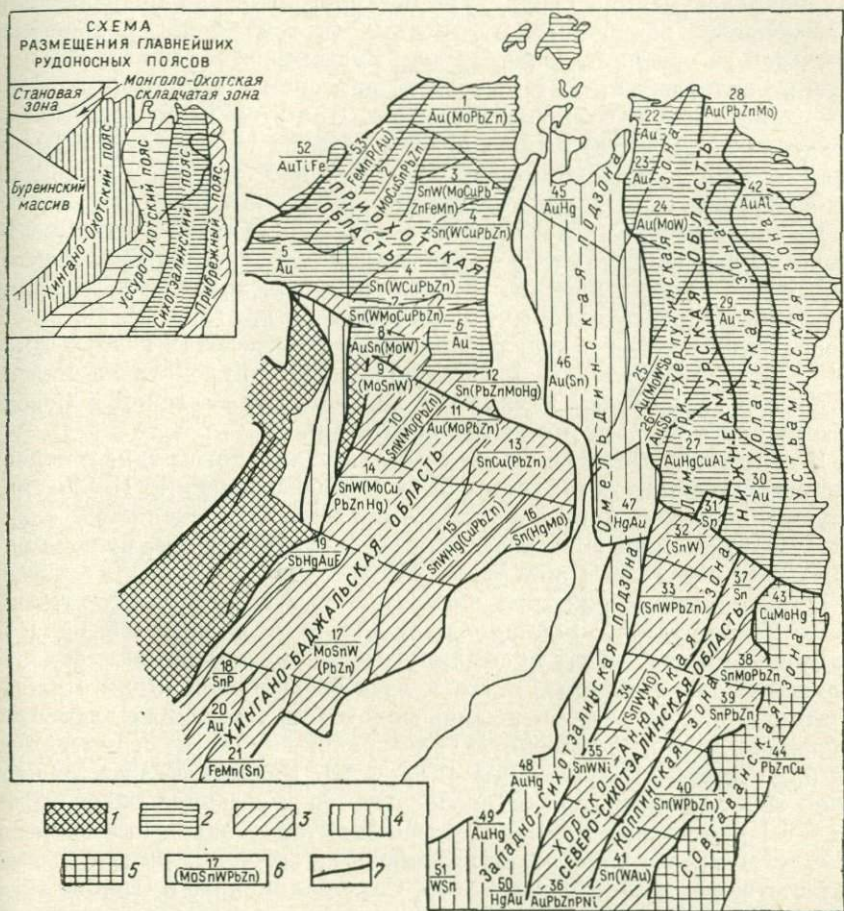


Рис. 9. Схема металлогенического районирования Приамурья

Области и зоны преобладающей минерализации: 1 — молибденовой, 2 — золотой, 3 — оловянной, 4 — ртутной, золото-ртутной и сурьмяно-флюоритовой, 5 — полиметаллической и медно-молибденовой; 6 — рудные районы и зоны, их номера (см. табл. 7) и рудная специализация; 7 — границы областей металлогенических зон, рудных зон и рудных районов

эндогенной минерализации, принадлежащей к одному рудному комплексу, выделяются как магматические и металлогенические области. Вулкано-плутоническая структура, сформировавшаяся в мезозое и кайнозое вдоль восточной границы Сихотэалинской складчатой области и Сахалинской геосинклинали, выделена как

самостоятельный Прибрежный вулканогенный и металлогенический пояс.

В пределах металлогенических поясов и областей на основе изложенных структурных и других особенностей строения Приамурья и ее рудномагматических поясов произведено районирование последних на более мелкие структурно-металлогенические подразделения с выделением важнейших рудоносных (в том числе оловоносных) площадей — металлогенических зон, рудных зон и рудных районов, которые отличаются, соответственно, размером и формой (вытянутой или изометричной) блоковых участков. При этом размещение месторождений иrudопроявлений в рудных районах и зонах неравномерно,нередко они концентрируются на локальных участках и создают узловое размещение оруденения.

На территории Сихотэалинской складчатой области насчитывается свыше 50 разнообразных по характеру минерализации и перспективной оценке рудных районов: редкometальных, золоторудных, полиметаллических, ртутноносных, оловорудных и др. (рис. 9). Из них 20 оловоносны, почти все они располагаются в пределах южных флангов Хингано-Охотского и Сихотэалинского рудоносных поясов, которые в дальнейшем именуются Хингано-Баджальской и Северо-Сихотэалинской оловоносными областями.

В составе Хингано-Охотского и Сихотэалинского рудных поясов, как главнейших металлогенических подразделений Приамурья, несущих основной фонд оловянного оруденения, выделяются следующие металлогенические области и зоны, рудные зоны, рудные районы и рудные узлы (табл. 7).

В обширном ряду рудных элементов, характеризующих рудоносность Приамурья, в рамках Сихотэалинской складчатой области, главнейшими из них, профилирующими металлогению области, являются: олово, золото, ртуть и отчасти свинец и цинк. Каждый из этих металлов, сопровождаясь рядом сопутствующих элементов, проявляет четко выраженную пространственную и структурную, а в ряде случаев и временную автономию. Как отмечалось, существенно золотоносные районы располагаются в северной части региона — в Приохотской и Нижнеамурской металлогенических областях и Устьамурской зоне, представляющих собой северные фланги соответственно Хингано-Охотского, Сихотэалинского и Прибрежного поясов. Своеобразие этих районов заключается в том, что палеозойские и мезозойские складчатые образования, вмещающие золотое оруденение, подстилаются складчатыми комплексами синокембрия, сложенными эвгеосинклинальным типом (терригенно-кремнисто-вулканогенных) формаций. Возраст золотого оруденения испытывает омоложение от раннемелового и, возможно, более древнего (поздне-палеозойско-раннемезозайского) в западных районах (Приохотская область) до позднемелового и кайнозайского — в восточных районах (Устьамурская зона).

В отличие от золотоносных, оловоносные районы занимают южные фланги Хингано-Охотского и Сихотэалинского поясов (Хин-

Наименование металлогенических подразделений (пояса, области, зоны, района, узла)	Характерная минерализация	Номер руд- ного района или рудной зоны на схеме районирования (см. рис. 9)
--	------------------------------	--

А. Хингано-Охотский металлогенический пояс

а) Хингано-Баджальская оловоносная область

Буреинский район оловянной минерализации	Sn, Mo	9
Иппата-Мерекский район оловянно-вольфрамовой минерализации	Sn-W, Pb-Zn	10
Верхнеамгунский район медно-полиметаллической минерализации	Cu-Pb-Zn, Sn, Au	11
Дукинский оловоносный район	Sn, Pb-Zn, Mo, Hg	12
Комсомольский оловорудный район	Sn, Cu, Pb-Zn	13
Баджальский оловорудный район	Sn, W, Mo, Cu, Pb-Zn, Hg	14
Куканская зона оловянно-вольфрамовой и ртутной минерализации	Sn-W, Cu-Pb-Zn, Hg	15
Верхнекурский оловоносный район	Sn, Mo, Hg	16
Урмийский район олово-вольфрамовой минерализации	Sn-W, Mo, Pb-Zn	17
Хингано-Олонойский оловорудный район	Sn, F	18
Богучано-Солокачинская сурьмяно-ртутная зона	Sb, Hg, Au, F	19
Амуро-Сутарская золотоносная зона	Au	20
Самаро-Бираканская оловоносная зона	Fe, Mn, Sn	21
Эзопская оловоносная зона	Sn, W, Mo, Cu-Pb-Zn	7
Софийский золотоносный и оловоносный район	Au, Sn, Mo, W	8

б) Приохотская золотоносная область

Тыльско-Тугурский золотоносный район	Au, Mo, Pb-Zn	1
Селитканская зона медно-молибденовой и оловянной минерализации	Cu-Mo, Sn, Pb-Zn, Au	2
Тугурская зона комплексной минерализации	Sn, W, Mo, Cu, Pb-Zn	3
Нимеленский оловоносный район	Sn, W, Cu-Pb-Zn	4
Верхнеселемджинский золотоносный район	Au	5
Кербинский золотоносный район	Au	6

Б. Сихотэалинский металлогенический пояс

а) Северо-Сихотэалинская оловоносная область

Хорско-Анийская олово-вольфрамовая металлогеническая зона		
Верхнеудоминский оловоносный узел	Sn, Pb-Zn	31
Хунгариjsкий район олово-вольфрамовой минерализации	Sn-W, Ag, Au	32
Анийский район олово-вольфрамовой минерализации	Sn-W, Pb-Zn	33

Наименование металлогенических подразделений (пояса, области, зоны, района, узла)	Характерная минерализация	Номер руд- ного района или рудной зоны на схеме районирова- ния (см. рис. 9)
Верхнехорский район олово-вольфрамовой и молибденовой минерализации	Sn-W, Mo	34
Хорский район олово-вольфрамовой минерализации	Sn-W, Pb-Zn	35
Катэнский район золото-полиметаллической минерализации	Au-W, Pb-Zn	36
Коппинская оловоносная металлогеническая зона		
Мопауская оловорудная зона	Sn, W, Pb-Zn	37
Коппинский район комплексной минерализации	Sn, Mo, Pb-Zn	38
Кукшинский оловоносный район	Sn, Pb-Zn, Hg	39
Верхнесукупский район олово-вольфрамовой и молибденовой минерализации	Sn-W, Mo, Pb-Zn	40
Верхнекатэнский район олово-вольфрамовой и золотой минерализации	Sn-W, Mo, Bi, Au	41
б) Нижнеамурская золотоносная область		
Лимури-Херпучинская золотоносная металлогеническая зона		
Мухтельский золотоносный район	Au, Mo, Pb-Zn	22
Мевачанский золотоносный район	Au, Pb-Zn	23
Херпучинский золотоносный район	Au, Mo, W, Pb-Zn	24
Афанасьевский золотоносный район	Au, W, Mo, Sb	25
Дяшленский золотоносный район	Au, Sb	26
Верхнетумнинский золотоносный район	Au, Mo, Cu-Pb-Zn, Hg	27
Холанская золотоносная металлогеническая зона		
Чаятыно-Колчанская золото-полиметаллическая зона	Au, Pb-Zn, Mo, Al	28
Холанский золотоносный узел	Au	29
Тумнинский золотоносный район	Au, W, Sn, Mo	30
В. Прибрежный металлогенический пояс		
Совгаванская металлогеническая зона медно-молибденовой и свинцово-цинковой минерализации		
Чипалинский узел медно-молибденовой, свинцово-цинковой и ртутной минерализации	Cu-Mo, Pb-Zn, Hg	43
Устьсамаргинская зона свинцово-цинковой минерализации	Pb-Zn	44
Устькамурская золотоносная металлогеническая зона		
Николаевский район золото-алунитовой минерализации	Au, Al	42

Наименование металлогенических подразделений (пояса, области, зоны, района, узла)	Характерная минерализация	Номер руд- ного района или рудной зоны на схеме районирования (см. рис. 9)
--	------------------------------	--

Уссуро-Охотский металлогенический пояс
Западно-Сихотэалинская ртутноносная металлогеническая зона

Полеттинский узел золото-ртутной минерализации	Au, Hg	48
Вяземский узел золото-ртутного оруденения	Au, Hg	49
Алчанский узел золото-ртутной и вольфрамовой минерализации	Au, Hg, W	50
Устьбикинский узел вольфрамовой минерализации	W	51

Омельдинская ртутноносная металлогеническая зона

Ульбанский район золото-ртутной минерализации	Au, Hg	45
Харпичиканская ртутноносная зона	Hg	46
Хавыньская ртутноносная зона	Hg	47

гано-Баджальская и Северо-Сихотэалинская области) и располагаются на участках сиалического фундамента повышенной мощности, подстилающего складчатые комплексы, вмещающие оловорудные месторождения. Возраст оловянного оруденения также понижается с запада на восток, от ранне- и позднемелового в Хингано-Баджальской области до позднемелового и палеогенового в Северо-Сихотэалинской. Граница между оловоносными и золотоносными областями совпадает с Тумнинским и Сонахским глубинными разломами.

Очень характерна локализация проявлений ртутного оруденения, которое часто сопровождается золотом и сурьмой и подчинено крупным линейным зонам, располагающимся вдоль Хингано-Охотского и Сихотэалинского поясов. Эти ртутноносные зоны наследуют молодые шовные структуры (зоны разломов), нередко контролирующие проявления неогеновых и антропогеновых базальтов. Одна из этих зон — Богучано-Солокачинская — располагается вдоль восточного края Буреинского массива. Вторая, более крупная зона — Присихотэалинская — структурно тесно связана с близмеридиональной зоной кайнозойских впадин и вместе с ними разделяет Хингано-Охотский и Сихотэалинский пояса. Характерно, что на всем протяжении от Охотского побережья до южных границ Хабаровского края (и за его пределами) эта зона не проявляет той смены оруденения, которая характерна для разделяемых ею Хингано-Охотского

и Сихотэалинского поясов. Всюду она характеризуется золото-рутной минерализацией. Наличие проявлений базальтоидного магматизма и отсутствие признаков влияния разнородного фундамента позволяют предполагать связь ртутного оруденения с подкоровыми магматическими процессами.

Слабые проявления ртутной минерализации имеют место и в Прибрежном вулканогенном поясе, ограничивающем Сихотэалинский пояс с востока. Автономность полиметаллического оруденения в Приамурье проявлена несравненно слабее. Эта минерализация встречается повсеместно, но более всего характерна для Прибрежного пояса и особенно южной его части — Совгаванской металлогенической зоны.

Учитывая, что работа посвящена оловоносности, при характеристике металлогенических подразделений главное внимание уделено оловоносным или перспективным на олово районам. Золотоносные, ртутноносные и другие рудоносные площади получили лишь общую структурно-металлогеническую характеристику.

2. ХАРАКТЕРИСТИКА ОЛОВОНОСНЫХ ПЛОЩАДЕЙ

А. ХИНГАНО-ОХОТСКИЙ МЕТАЛЛОГЕНИЧЕСКИЙ ПОЯС

а. Хингано-Баджальская оловоносная область

Это южная наиболее продуктивная по олову часть Хингано-Охотского пояса. Она включает юго-восточную окраину Буреинского массива и окаймляющую его с востока зону поздних герцинид и ранних мезоид. Она протягивается в север-северо-восточном направлении почти на 600 км от р. Амур до Селемджино-Кербинского междуречья на севере. Западной границей области служит зона Хингано-Буреинского и Тастахского разломов, а восточной — западный борт Среднеамурской впадины.

В геологическом строении области принимают участие протерозойские, палеозойские и мезозойские складчатые образования. Протерозойские и раннекембрийские породы слагают фундамент области. Это ранне- и среднепротерозойские гнейсы и амфиболиты, разнообразные кристаллические и графитоносные сланцы и кварциты амурской и тастахской серий, союзяненской, самырской и других свит; позднепротерозойские углисто-карбонатно-терригенные образования с их молибден- и ванадиеносностью (дитурская свита), фосфатоносностью и магнезитоносностью (мурандавская свита); ранне- и среднепалеозойские граниты. В этом комплексе пород фундамента особое место занимают нижнекембрийские железо- и марганцевоносные (с примесью никеля и кобальта) кремнистые и углисто-глинистые и глинисто-карбонатные образования типа джеспиллитов и микрокварцитов.

С раннепротерозойскими гнейсами и гнейсогранитами связана высокотемпературная (преимущественно пегматитовая) оловянно-редкометальная минерализация, а с ранне- и среднепалеозойскими

интрузивными комплексами гранитов — проявления высокотемпературной (пегматитовой, возможно, также скарновой) оловянно-боровой и редкометальной минерализации. М. И. Ициксон (1967), Г. В. Ициксон и др. (1959) отмечали, что раннепалеозойские граниты (биджанский комплекс) по петролого-металлогеническим особенностям, возрасту и структурной позиции близки аляскитам гродековского комплекса Южного Приморья, с которыми связано оруденение Вознесенского рудного узла в Приханкайском районе.

На этих образованиях, слагающих реликты фундамента и кровли гранитов Буреинского массива, а также выступы фундамента среди складчатых образований западной части Сихотэалинской складчатой области, залегают ранне- и среднедевонские карбонатно-терригенные отложения, а восточнее массива — каменноугольные и пермские вулканогенно-кремнисто-терригенные марганцевоносные и терригенные формации, слагающие Баджальский и Ниланский антиклиниории. Интенсивно дислоцированные вулканогенно-кремнисто-терригенные образования карбона и перми Баджальского антиклиниория имеют мощность свыше 8000 м (иолинская, улунская, ярапская, утанакская и джиакунская свиты).

В связи с инверсией палеозойских прогибов позднепермские осадки имеют терригенный и груботерригенный состав и выполняют инверсионные остаточные и передовые впадины или прогибы. Аналогичный же регressive тип формаций характеризует ранне- и среднетриасовые отложения. Последние вместе с позднепермскими выполняют Урмийский наложенный прогиб. Мощность позднепермско-триасовых отложений в Урмийской зоне, например, достигает 3500 м (унгунская, бабстовская, середухинская и др. свиты).

С послеинверсионным развитием позднепалеозойских прогибов связан мощный позднепалеозойско-раннемезозойский гранитоидный магматизм, однако он локализовался за пределами характеризуемой области, в районе Буреинского массива (куканский, тырмобуреинский, харинский, алтахтинский комплексы). С ним связаны пегматитовые и грейзеновые, отчасти гидротермальные проявления молибдена, олова, вольфрама и других металлов.

Позднетриасовые и юрско-раннемеловые преимущественно терригенные отложения имеют значительную мощность (до 9000 м) и слагают северо-восточную часть Хингано-Баджальской области (Горинский прогиб). В нижней и средней частях разреза в терригенных породах иногда присутствуют кремни и вулканиты (будюрская, хурбинская, ульбинская свиты), а в верхней — позднедорско-раннемеловой — преобладают терригенно-флишоидные формации (силинская, горюнская, пионерская и др. свиты).

Послеваланжинские отложения области представлены субаэральными вулканогенными и терригенно-вулканогенными образованиями мощностью 800—1000 м (холдоминская, станолирская, солонечная, обманийская и кундуурская свиты), которые перекрываются позднемеловыми вулканогенными образованиями мощностью от 500 до 1000 м (амутская и богучанская свиты).

С постинверсионным развитием раннемезозойских прогибов характеризуемой области связан мощный риолито-гранитоидный магматизм, представленный слабо дифференцированными образованиями с резко неравновесным петрографическим составом, варьирующим от габбро до гранитов. Нередко они представляют трудно расчленимые поздненижнемеловые — верхнемеловые эфузивно-интрузивные ассоциации с двучленным строением эфузивной фации. Среди них более или менее достоверно выделяются две интрузивные фазы — поздненижнемеловая и верхнемеловая, которым соответствуют и эфузивные фации — нижняя среднего состава и верхняя кислого состава. Их представляют: бутакано-туркинский, хингано-олонойский, мяочано-баджальский, богучанский, эзопско-дуссеалинский и другие комплексы.

Интрузивные фации комплексов, за небольшими исключениями, представляют собой сложно построенные (чаще всего трехфазные) с последовательностью формирования от габбро-диоритов через гранодиоритовые до фаз существенно гранитного состава (полная интрузивная серия по Э. П. Изоху, 1967). Они образуют умеренно глубинные, приповерхностные и субвулканические тела — дайки, штоки, межпластовые и лакколитоподобные залежи в эфузивах. Это щелочноземельные кислые и умеренно кислые породы с повышенной ролью глиноzemа, кремнилокислоты и преобладанием калия над натрием, хотя нередко с плагиоклазом типа среднего и основного андезита. Они характеризуются (Изох и др., 1967) последовательным возрастанием железистости биотита и раскислением плагиоклаза в направлении к конечным гранитным фазам. Значительная часть характерных для них элементов-примесей (олово, бериллий, молибден, медь, свинец, цинк, иногда серебро) концентрируется в биотите.

Контактовый метаморфизм интрузивных комплексов, как правило, значителен. С относительно глубоко эродированными телами гранитов связан преимущественно термальный метаморфизм, характеризующийся разнообразными роговиками. Слабее эродированные интрузивы отличаются большей основностью и сопровождаются несравненно более обширными контактовыми ареалами, особенно при пологих контактах интрузивов. Однако в отличие от более эродированных продукты их метаморфизма имеют явно выраженный аддитивный характер (привнос кальция, магния, железа, калия) и сопровождаются гидротермальной минерализацией. Здесь широко проявлены различные грязиены и другие метасоматиты: топаз-кварц-мусковитовые, турмалин-кварцевые, хлоритовые, серпентит-хлорит-сидерофиллитовые и калишпатовые жили, просто грязенизация, микроклинизация, деанортитизация и т. д.

Субвулканические интрузии, образующие дайки, штоки и межслоевые залежи и переходящие с глубиной, как это установлено М. И. Ициксоном для Малого Хингана, в жило- и трубообразные тела и грибовидные интрузии типа этмолитов и некков, оказывают слабое контактное воздействие на вмещающие породы.

В то же время степень постмагматических изменений значительна.

Рудоносность Хингано-Баджальской области характеризуется преобладанием оловянной минерализации, представленной различными минеральными ассоциациями: ведущее значение принадлежит кассiterиту, который сопровождается окисными литофильными соединениями и сульфидами Zn, Cu, Pb. Эти соединения характеризуют главнейшие типы минеральных рудных ассоциаций, которые в зависимости от большей или меньшей удаленности от рудоносных интрузивов образуют различные формационные типы оруденения от кассiterит-кварцевых до кассiterит-силикатных и кассiterит-сульфидных.

Второстепенное значение имеют проявления золотой и ртутной минерализации. Генетически — это самостоятельные и более поздние образования, не связанные с оловоносными интрузивами.

Благодаря интенсивному проявлению до- и послерудных разломов различных направлений Хингано-Баджальская область представляет собой характерный пример блокового глыбового строения. Блоково-глыбовые структуры нередко отличаются типом и возрастом слагающих их формаций, степенью метаморфизма, уровнем эрозионного среза и формационным типом оруденения. Блоковые структуры часто представляют собой рудные районы, рудные зоны и узлы.

В Хингано-Баджальской области выделяется 15 основных рудных районов и зон, из которых 10 существенно оловоносны (см. рис. 9).

Буреинский район оловянной минерализации (9*). Район располагается в северо-западной части области, близ восточного края Буреинского массива, и представляет собой горстовидный выступ фундамента. Площадь района имеет форму трапеции и вытянута вдоль Буреинского массива на 90 км при ширине от 15 до 45 км. С севера и юга район ограничен Сонахской и Баджальской зонами разломов; западной его границей служит Тастахский, а восточной — Усманский разломы.

Буреинский район сложен преимущественно среднепротерозойскими терригенными и вулканогенно-терригенными образованиями, метаморфизованными в амфиболитовой фации и представленными разнообразными кристаллическими сланцами самырской, ортукской и аныкской свит. Широко развиты также позднепалеозойские вулканогенно-кремнисто-терригенные формации. И те, и другие интрудированы позднемеловыми гранитами эзопско-дуссеалинского гранитного комплекса.

Разломы, окаймляющие район, характеризуются значительной подвижностью, проявляющейся вплоть до кайнозоя, на что указывает наличие вдоль них проявлений молодой (преимущественно

* Здесь и далее в скобках дан номер рудной зоны на схеме районирования (см. рис. 9 и табл. 7).

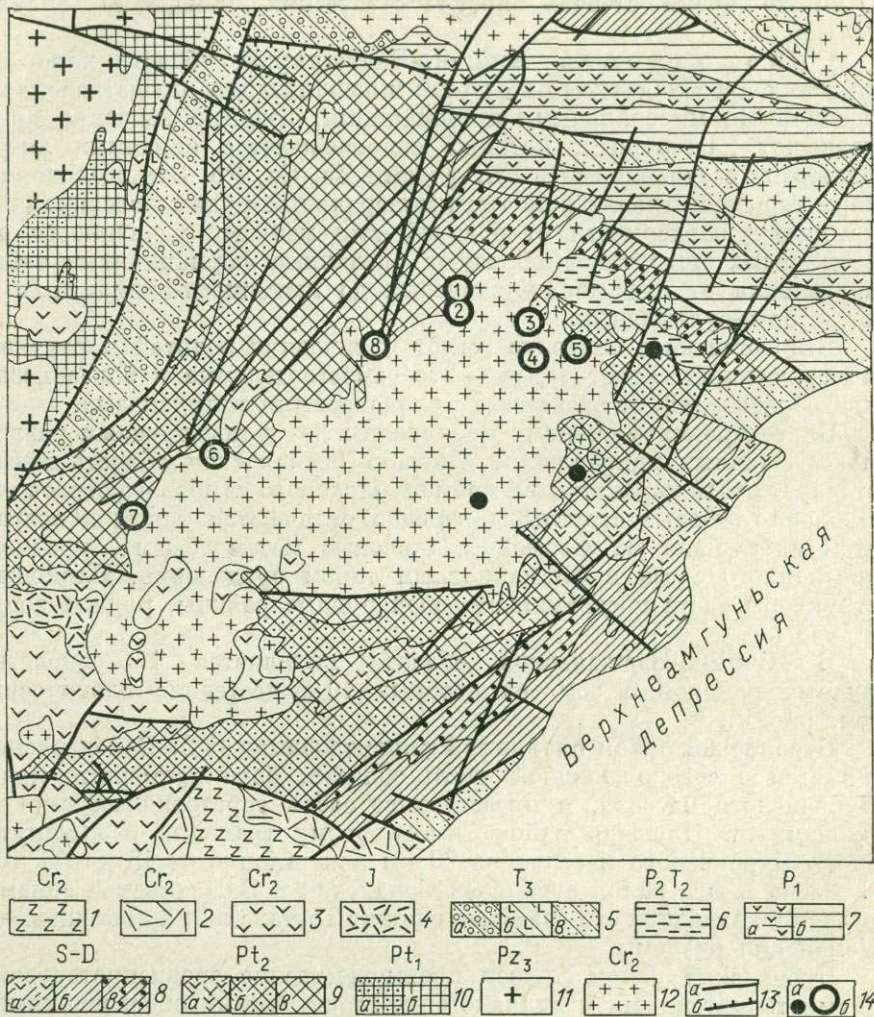


Рис. 10. Схема геологического строения Иппатаго-Мерекского района. Составлена по материалам В. Ф. Сигова, М. Т. Турбина, И. Г. Осипова, С. С. Дарбиняна, К. Ф. Клыжко, А. А. Голозневой и др.

1 — делениты, туфы, лавобрекции; 2 — плагиокорфиры, туфоловы, лавобрекции; 3 — порфиры, андезиты, их туфы и лавобрекции; 4 — кварцевые порфиры, их туфы, туфоловы и туфо-конгломераты; 5 — а — ритмичное переслаивание песчаников, алевролитов и конгломератов (усомахская свита); 6 — спилиты, диабазы, диабазовые порфиры и их туфы, кремнистые, кремнисто-глинистые и глинистые сланцы, алевролиты и песчаники (маганская свита); в — конгломераты, песчаники, алевролиты, гравелиты и глинистые сланцы (мерекская свита); 7 — песчаники, филлиты, глинистые и кремнисто-глинистые сланцы, седиментационные брекции (токурская свита); 7 — а — диабазы, спилиты, диабазовые порфиры и их туфы, кремнистые и кремнисто-глинистые сланцы, песчаники, алевролиты, линзы известняков (утанакская свита); 8 — песчаники, алевролиты, глинистые, кремнистые и глинистые сланцы, линзы известняков (ярапская свита); 8 — а — диабазы, спилиты, диабазовые порфиры, песчаники, кремнистые и кремнисто-глинистые сланцы, линзы известняков, 9 — филлитовидные сланцы, кремнистые и кремнисто-глинистые сланцы и песчаники; 9 — а — рассланцованные песчаники, филлитовидные сланцы и филлиты; 9 — а — эпидот-хлоритовые и эпидот-актинолитовые сланцы (ортукская свита); 10 — серпентит-квар-

ртутной) минерализации. Эта подвижность обусловила, по-видимому, крупные вертикальные перемещения и значительную эрозию района, приведшую к уничтожению наиболее продуктивных надинтрузивных зон и апикальных частей интрузивов. Оловоносность района представлена незначительными по масштабам и малоперспективными по формационному типу кварцево-жильными проявлениями с вольфрамитом и молибденитом; они сопровождаются грейзеновыми оторочками и механическими ореолами рассеяния кассiterита и вольфрамита. Более важное значение имеет, по-видимому, высокотемпературная минерализация, связанная с грейзенами, располагающимися вокруг Буреинского гранитного массива. Например, в зоне Усманского разлома оруденение представлено серией кварцево-грейзеновых жил того же направления, несущих вкрашенность вольфрамита, молибдена, кассiterита и пирита (Левобуреинское месторождение). В зоне Тастахского разлома наблюдаются слабые проявления ртутной минерализации в форме примазок и вкрашенности киновари и гематита в зоне контакта зеленокаменных пород и кристаллических сланцев (Ахынское рудопроявление). Имеются также слабые проявления россыпной золотоносности.

Иппата-Мерекский район оловянно-вольфрамовой минерализации (10). На западе (по Усманскому разлому) район непосредственно прилегает к Буреинскому району и имеет близкое с ним геологическое строение (рис. 10). Это тектонический блок размером 90×40 км, ограниченный разломами с запада — Усманским, с востока — Иппатинским, а с юга — Баджальским и с севера — Сонахским. В строении района принимают участие кристаллические сланцы те же, что и в Буреинском районе, интрудированные крупным интрузивом позднемеловых гранитов.

В зоне контакта с крупным Иппатинским гранитным массивом развита вольфрам-оловянная минерализация кварцево-жильного и кварцево-грейзенового типов. По материалам Д. И. Ивлиева (1939 г.), В. В. Чернышева (1940 г.), К. К. Монина (1955 г.) и других, изучавших месторождения этого района, рудные тела представляют собой небольшие крутопадающие прожилковые и сетчато-прожилковые зоны и жилы мощностью 1—2 и более метров и протяженностью до сотен метров. Жилы сложены кварцем, светлой слюдой, флюоритом, в меньшей мере турмалином, кассiterитом, вольфрамитом, арсенопиритом, молибденитом, реже висмутином, шеелитом, пиритом, галенитом, сфалеритом и халькопиритом. Характерна ассоциация кассiterита и вольфрамита, содержание которых достигает

цевые, мусковит-серпентит-кварцевые и альбит-серпентит-кварцевые сланцы (аныкская свита); *в* — графит-серпентит-кварцевые, хлорит-альбит-кварцевые и альбит-серпентит-кварцевые сланцы (самырская свита); *10 — а* — гнейсы (графит-биотитовые), амфиболиты, кристаллические сланцы, мраморы и кварциты (лениканская свита); *б* — гнейсы (биотит-амфиболовые), гранат-биотитовые сланцы, кварциты, амфиболиты, мраморы (саганарская свита); *11* — граниты биотитовые и биотит-роговообманковые порфировидные; *12* — диориты, гранодиориты, гранодиорит-порфиры, граниты биотитовые и биотит-роговообманковые, аляскитовые, гранит-порфиры; *13* — разломы (*а*) и надвиги (*б*); *14* — рудопроявления (*а*) и месторождения (*б*): Серегентинское (1), Верхнеплатинское (2), Верхнемерекское (3), Мерекское (4), Усманское (6), Янканское молибден-вольфрамовое (7), Среднеипатинское (8)

промышленных значений. По существу это комплексные кассiterит-вольфрамит-кварцевые жилы. В зависимости от преобладания того или другого проявления этого типа то вольфрам-оловянные, то оловянно-вольфрамовые. Оруденение неравномерное. Околорудные изменения представлены преимущественно грейзенизацией. Грейзеновые оторочки в зальбандах нередко превышают мощность самих жил и сопровождаются мелкой обильной вкрапленностью вольфрамита и кассiterита. Наблюдается вертикальная зональность, с глубиной возрастает роль вольфрамита, а к поверхности — роль сульфидов, прежде всего арсенопирита.

В районе имеется целый ряд близких по типу и геологической позиции месторождений (см. рис. 10). Наиболее представительными из них являются Серегектинское, Среднеипатинское и Усманское.

Среднеипатинское оловянно-вольфрамовое месторождение, по В. В. Чернышеву и др., представлено системой субмеридиональных крутопадающих жил, залегающих в гранитах и слюдяных сланцах зоны экзоконтакта. На площади размером в 1 км² выявлено около 50 жил мощностью от нескольких сантиметров до 1 м. При переходе из гранитов в сланцы жилы выклиниваются. Их протяженность достигает 250 м. Оруденение гнездовое и прослеживается до глубины 80—100 м. Жилы сопровождаются грейзеновыми оторочками шириной до 80 см.

Серегектинское месторождение, по Е. К. Монину и др., во многом сходно со Среднеипатинским (по геологической позиции, особенностям морфологии, составу и строению рудных жил). Крутопадающие жилы группируются в субмеридиональные зоны, тяготеющие к контакту гранитов с породами кровли. На месторождении выявлено свыше 90 ветвящихся жил и прожилков мощностью от 0,2 до 0,7 и 1,5 м и протяженностью до 150—300 м. Оруденение неравномерное, гнездовое.

Близки описанным Усманское, Мерекское, Перевальное и другие месторождения. С разрушением жил связано образование небольших россыпей кассiterита и вольфрамита по ключам Контактовому и Березовому. Наиболее значительные россыпи отмечаются в бассейне р. Мерек.

Анализ геологических материалов по Иппата-Мерекскому району позволяет отметить, что Иппатинский гранитный массив, по окраинам которого концентрируется оловянно-вольфрамовая минерализация, вытянут вдоль Усманского и Иппатинского разломов и имеет форму, приближающуюся к эллиптической. При этом северо-западный и юго-восточный контакты массива, параллельные разломам, более крутые, а северо-восточный и юго-западный — полого уходят под кровлю. Различен и характер минерализации у этих контактов: более высокотемпературное оруденение располагается вдоль крутых контактов, а сульфидное — у пологих контактов и подчинено зонам дробления северо-восточного направления. Таково Эбкан-Макитское рудопоявление, представленное кварцево-сульфидными жилами и прожилками в экзоконтактовой зоне роговиков.

На участке Имганах имеются кварц-аксинитовые и кварц-кальцит-аксинитовые оловоносные жилы и прожилки мощностью до 25 см, залегающие в карбонатизированных и пиритизированных зонах дробления среди зеленокаменных пород. Аналогичный тип минерализации, правда более слабо проявленный, известен и на юго-западном фланге интрузива.

Перспективы Иппата-Мерекского района на коренное олово и вольфрам представляются незначительными. Имеются перспективы для выявления некрупных россыпей.

Верхнеамгунский район медно-полиметаллической минерализации (11). Район располагается восточнее Иппата-Мерекского и отделяется от него Иппатинским разломом; с востока ограничен Куранским разломом, а с севера и юга — Сонахским и Баджальским. По материалам Н. Г. Осипова (1964 г.), А. П. Иванова (1965 г.), К. Ф. Клыкко (1966 г.), район сложен интенсивно дислоцированными позднепалеозойскими отложениями вулканогенно-кремнистого, отчасти кремнисто-терригенного и карбонатного состава мощностью до 3800 м. Магматизм в районе проявлен слабо, имеются лишь единичные мелкие тела позднемеловых гранитоидов в разломах северо-восточного направления. Опоискованность района слабая. Среди более десятка известных в районе рудопроявлений преобладают преимущественно медно-свинцово-цинковые, локализующиеся в зонах дробления на значительном удалении от гранитоидов. Это мелкие кварцево-сульфидные жилы и прожилки с бедной вкрашенностью галенита, сфалерита и халькопирита. Только на юго-западной окраине района, близ кромки эфузивов Баджальского района проявляются рудопроявления кассiterит-хлоритового типа с вкрашенностью шеелита и арсенопирита.

В центральной части района имеются шлиховые ореолы и небольшие золотые россыпи (бассейн верховья р. Болюн). Слабая золотоносность известна в приусտевой части р. Солонки и параллельных ей рек, впадающих справа в р. Дуки.

Дукинский оловоносный район (12). На юге район прилегает к Верхнеамгунскому и Иппата-Мерекскому районам и представляет собой тектонический блок, ограниченный разломами: с севера и юга — Ниланским и Сонахским, с запада — Усманским, а с востока — западным бортом Эворон-Чукчагирской впадины. Его площадь охватывает одноименный прогиб, заложенный на пермских складчатых породах южного крыла Ниланского антиклиниория.

По данным М. Т. Турбина (1961 г.), Н. Г. Осипова (1958, 1964 г.), В. Ф. Синицкого (1961 г.) и др., прогиб выполнен юрскими позднетриасовыми флишоидными отложениями, которые включают прослои эфузивов, кремнистых и кремнисто-глинистых пород; их мощность достигает 5000 м. Породы интрудированы гранитами эзопско-дуссеалинского интрузивного комплекса. В их формировании выделяются две фазы: а) фаза диоритов и гранодиоритов, тесно связанная с соответствующей им эфузивной фацией; б) фаза гранитов и гранит-порфиров, образующих несколько обособленные

тела. Эффузивы образуют двучленный покров мощностью до 850 м; нижняя часть покрова (650 м) представлена вулканитами среднего состава, а верхняя (200 м) — кислыми.

Район еще изучен слабо. В нем имеются проявления турмалин- и хлорит-турмалин-сульфидного прожилково-вкрашенного оруденения, в типовом отношении во многом напоминающего минерализацию Комсомольского района. Сходна и геологическая обстановка. Большинство рудопроявлений приурочено к участкам развития позднемелового гранитоидного магматизма, а оруденение тяготеет к границе структурных этажей: юрско-триасового терригенного и мелового вулканогенного. Оруденение подчинено зонам дробления, окварцевания, турмалинизации, хлоритизации и актинолитизации и проявлено на нескольких участках: Водораздельном, Нилан-Сонахском, Турмалиновом и др.

На Турмалиновом участке крутопадающие зоны дробления достигают 2,5 и 5 м мощности. В кварц-турмалиновых прожилках присутствует вкрашенность кассiterита, арсенопирита, халькопирита, малахита, пирита и галенита. Аналогичное или близкое по типу оруденение наблюдается и на остальных участках.

Изучение рудопроявлений и района в целом следует продолжать, особенно на участках развития эффузивов (Иликанский, Юкачи и др.). В северной части района, на границе с Кербинским золотоносным районом (басс. р. Карабахон) и в других местах имеются щиховые проявления золота, а также вольфрамита, шеелита, кассiterита и киновари. Киноварь, а по-видимому, и золото, тяготеют к бортовым, приразломным зонам.

Комсомольский оловорудный район (13). Открытием первого оловорудного месторождения в 1955 г. положено начало выявлению крупнейшего в Приамурье Комсомольского оловорудного района. Район располагается в системе правобережья р. Горин и занимает выгодное географо-экономическое положение. Систематическое изучение района начато в 1956 г. За истекшее время в районе открыто и в той или иной мере изучено около десятка месторождений и значительное количество рудопроявлений.

Изученность Комсомольского района по сравнению с другими наиболее высока. Оконтуренные на сегодня рудоносные площади в той или иной мере опрошены и покрыты геологическими и геофизическими съемками. На основе этих работ уже в 1962 г. П. Н. Кошманом составлена металлогеническая схема района, вскрывшая основные геологические закономерности локализации оруденения, легшие в основу методики поисков месторождений в последующие годы. Наряду с работами ДВТГУ, различными научно-исследовательскими организациями — ДВГИ, ВСЕГЕИ, ГЕОХИ, ЛГИ, ДВИМС — проводились и продолжаются тематические, преимущественно геохимические, исследования, направленные на разработку методов прогнозирования рудных тел, залегающих на глубине. Достигнутый уровень изученности района позволяет судить о его потенциальных возможностях и перспективах,

которые далеко еще не исчерпаны, хотя сложность открытия новых месторождений и рудных тел все более возрастает.

Комсомольский район располагается на западной окраине Горинского синклиниория, близ его сочленения с Баджальским антиклиниорием.

Характерной структурной особенностью района является наличие трех систем разломов: субмеридиональной, северо-западной и близширотной, которые обусловливают блоковые строения рудоносных участков. Эти же разломы определяют и границы района в целом: на западе — северо-восточная зона Куканского разлома, на юге — близширотная зона Баджальского разлома, на северо-востоке — западный борт Среднеамурской впадины.

По имеющимся данным, в геологическом строении района, занимающего площадь около 3500 км², принимают участие триасовые и юрские морские и меловые наземно-вулканогенные образования, залегающие, по-видимому, на пермских породах и слагающие два структурно-стратиграфических комплекса или этажа: триасово-юрский и меловой (рис. 11). Триасово-юрский этаж сложен преимущественно терригеническими морскими формациями мощностью до 8000 м, содержащими спорадические прослои вулканитов. Складчатыми движениями раннего мела (готерив) они дислоцированы в линейные складки северо-восточного простирания, образующие антиклиниорий, погружающийся к северо-востоку. Крылья антиклиниория смяты в сжатые асимметричные складки, опрокинутые к северо-западу, и усложнены разломами северо-восточного и северо-западного направлений.

Верхний этаж сложен ранне- и позднемеловыми осадочно-вулканогенными и вулканогенными образованиями мощностью до 1500 м. В его основании залегают крупнообломочные осадочно-вулканогенные образования холдоминской свиты преимущественно кислого состава мощностью до 700 м, без видимого несогласия перекрытые эфузивами среднего состава амутской свиты мощностью до 800 м. Породы этого этажа сложены в пологие сундучные и куполовидные складки, усложненные разломами, контролирующими проявления интрузивов.

Магматические образования района, образующие вулкано-плутонические ассоциации, объединяются в мяочано-баджальский эфузивно-интрузивный комплекс. Комагматичность эфузивных и интрузивных фаций комплекса доказана работами Э. П. Изоха (1962 г.), М. Г. Руб и др. (1964 г.) и др. Однако временные соотношения отдельных групп в пределах комплекса вызывают пока разногласия. Одни исследователи считают, что разнообразие магматических пород района связано с полифациальностью единого plutона, вскрытого эрозией в различных своих частях и на различных уровнях глубинности (В. В. Онихимовский), другие же считают это результатом многофазного процесса формирования. Вместе с тем среди последних нет единства во взглядах на характер и последовательность интрузивных фаз при формировании комплекса. Э. П. Изох

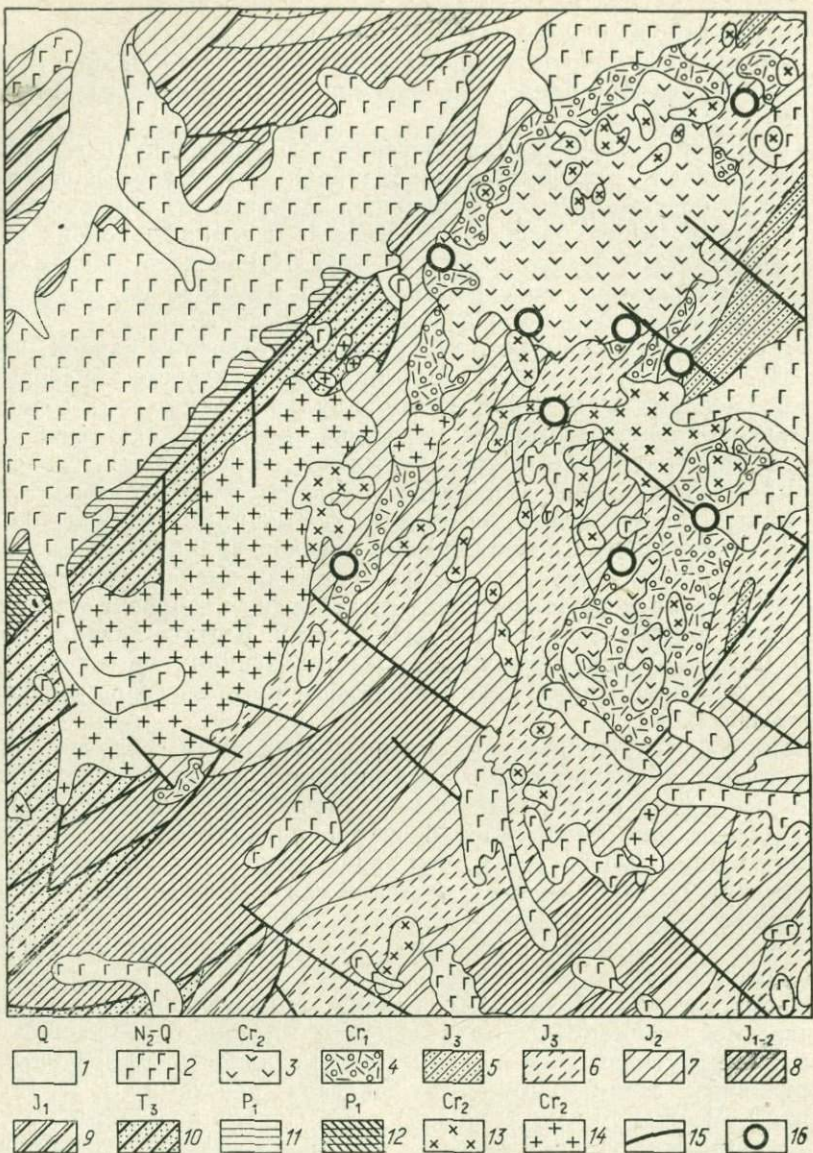


Рис. 11. Схема геологического строения восточной части Комсомольского рудного района.
Составлена по материалам И. Я. Зытнера, Н. К. Осиповой, П. Н. Кошмана, А. И. Савченко,
Е. Б. Бельтенева и др.

1 — современные аллювиальные образования; 2 — базальты, долериты, туфобрекчи, галечники; 3 — порфириты и кварцевые порфириты, дациты, туфы и лавобрекчи, туфоконгломераты и туфопесчаники (амутская свита); 4 — конгломераты и кварцевые порфириты, туфопесчаники и гравелиты, туфы и туффиты (холдоминская свита); 5 — алевролиты, песчаники и глинистые сланцы, кремнистые и кремнисто-глинистые породы (падалинская свита); 6 — песчаники, алевролиты, глинистые сланцы, ритмичное чередование песчаников и алевролитов (силицкая свита); 7 — песчаники, кремнистые и кремнисто-глинистые, глинистые сланцы.

(1967), например, выделяет до пяти фаз: 1) габбро, габбро-диориты и кварцевые диориты, 2) монцонит-гранодиориты и кварцевые монцониты, 3) умеренно кислые порфировидные граниты (монцограниты), 4) крупнозернистые биотитовые граниты, 5) мелкозернистые лейкократовые граниты, близкие к аляскитовым. В принципе аналогичную же последовательность формирования комплекса от основных и средних до кислых и ультракислых принимает и М. Г. Руб (1964 г.), выделяя, однако, лишь три фазы. При этом оруденение, по мнению этих исследователей, связано с гранитными фазами комплекса.

Противоположное мнение высказал в 1962 г. П. Н. Кошман. Он утверждает обратную последовательность формирования комплекса, от кислых к основным и связь оловянного оруденения не с кислыми, а со средними и основными породами. В формировании мяочанского комплекса он выделяет три фазы, которым соответствуют три группы эфузивно-интрузивных пород: Чалба-Холдоминская, Анаджаканская и Силинская. Чалба-Холдоминская (раннемеловая) группа пород, по его мнению, объединяет холдоминскую свиту кислых вулканитов, с их субэфузивными фациями, и послеэфузивные интрузии чалбинских и холдоминских гранитов. Анаджаканская группа магматических образований объединяет кварцевые порфиры низов амутской свиты, субэфузивные гранодиорит-порфиры и анаджаканские гранодиориты, гранодиорит-порфиры и граниты. Силинская (позднемеловая) фаза представлена порфирами и андезито-дацитами амутской свиты, субэфузивными порфирами и габброидами, гранодиоритами и гранодиорит-порфирами. По П. Н. Кошману, силинская группа пород наиболее продуктивна; с ней, якобы, связаны интенсивный гидротермальный метаморфизм со значительным привносом металлов и промышленные месторождения олова, меди, свинца и цинка.

Схема П. Н. Кошмана построена в основном на изучении петрографии и интрузивных взаимоотношений пород, которые, как правило, очень сложны и без анализа истории развития региона и эволюции магматизма не всегда решаются однозначно. На наш взгляд, «обратная» последовательность магматизма в Комсомольском районе является лишь кажущейся. Анализ магматизма района с позиции тектонического развития Сихотэалинской подвижной области в целом проведенный И. А. Плотниковым и С. Ф. Усенко (1967), позволяет считать, что в Комсомольском районе сочетается раннемеловой магматизм Хингано-Охотского и позднемеловой Сихотэалинского поясов;

ритмичное чередование песчаников и алевролитов (ульбинская свита); 8 — песчаники и известковистые песчаники, кремнистые и кремнисто-глинистые породы, гравелиты и конгломераты (хурбинская свита); 9 — песчаники, гравелиты, седиментационные брекчии, переслаивание песчаников и алевролитов (будюрская свита); 10 — песчаники, алевролиты, гравелиты, конгломераты, местами туфи и туффиты; 11 — диабазы, спилиты, туфы, кремнистые, кремнисто-глинистые и глинистые сланцы, алевролиты, песчаники, известняки (утанацкая свита); 12 — песчаники, алевролиты, глинистые, кремнисто-глинистые и кремнистые сланцы, линзы известняков, спилитов и диабазовых порфиритов (ярапская свита); 13 — диориты и габбро-диориты, гранодиориты и гранодиорит-порфиры; 14 — граниты биотитовые и биотит-амфиболовые; 15 — разломы; 16 — зоны минерализации

кислые эфузивы холдоминской свиты — это аналоги обманийской свиты Малого Хингана, представляющей верхние горизонты вулканитов юга Хингано-Охотского пояса. Основные эфузивы амутской свиты параллелизуются с большинской свитой, залегающей в основании вулканогенных образований Сихотэ-Алиня. Отсюда и «обратная», по сравнению с обычной, последовательность в залегании эфузивов Комсомольского района (от кислых к основным), как и «обратная» же последовательность их интрузивных комагматов. Вопросы же непосредственной генетической связи оруденения с теми или иными интрузивными образованиями сложны сами по себе, а особенно в условиях Комсомольского района, с его положением на границе ранне- и позднемеловой зон складчатости и сложностью истории развития и магматической деятельности.

Распределение магматических образований в районе контролируется зонами разломов северо-восточного, отчасти северо-западного и близширотного направлений. Первая система разломов почти совпадает с направлением складчатости. Это система крупных сколов (надвигов и взбросов). Вероятно, для Сихотэалинской области эта система наиболее древнего заложения, поскольку она в наибольшей мере оказывает контролирующее влияние на локализацию магматизма и постмагматических продуктов. Сопряженные с ней близмеридиональные зоны дробления являются рудовмещающими. Возможно, это системы трещин отрыва, но в то же время, как это установлено Е. А. Радкевич и др. (1962), эти зоны дробления проявляются на участках S-образного изгиба складок, где последние, вероятно под влиянием расколов фундамента, изменяют характерное для района северо-восточное направление на близмеридиональное. Разломы северо-западного направления — это крупноамплитудные сбросо-сдвиговые нарушения. Как отмечалось, они имеют важное рудоограничивающее значение, служат границами рудных районов. Субширотные разрывы проявляются в форме зон повышенной трещиноватости, которые картируются по ряду косвенных признаков: структурных, магматических и геофизических.

Магматизм и связанная с ним рудоносность Комсомольского района приурочены к узловому сочетанию трех главных направлений разломов, что и обусловило благоприятную обстановку для концентрации большого объема руд. Оптимальные условия рудолокализации сложились в основном в пределах поверхности структурного несогласия между триасово-юрскими и меловыми этажами. Оруденение распространяется на 300—600 м от этой плоскости как в одну, так и в другую стороны (Кушев и Селезнев, 1966). Наблюдаемый вертикальный размах оруденения колеблется от 150—300 м до 1000 м. По имеющимся данным, нижняя граница распространения оруденения последовательно опускается в направлении к северо-востоку, в соответствии с погружением структур триасово-юрского этажа.

Приуроченность оруденения к поверхности структурного несогласия хорошо видна на геологической карте. Месторождения и рудо-

проявления Комсомольского района на современном срезе тяготеют к вулканогенным полям и располагаются или непосредственно в эфузивах, или по их периферии, в породах нижнего этажа вокруг эфузивов в зоне шириной от 5 до 10 км.

В связи с этим выделяются два основных типа рудоносных зон: 1) оловоносные зоны преимущественно кварц-турмалинового и турмалинового типа, располагающиеся в основном среди терригенных пород нижнего этажа и в кислых вулканитах холдоминской свиты и отличающиеся сравнительно простой линейной морфологией, и 2) сложные по форме прожилковые зоны кварц-карбонатно-сульфидного состава, несущие основную массу свинцово-цинкового и медного оруденения; они залегают чаще всего в средних по составу эфузивах амутской свиты и сопровождаются чехлом прошилотов мощностью до 150—200 м (Кушев и Селезнев, 1966). Последнее обуславливает первопорядковую вертикальную зональность в размещении оруденения, а также определяет верхнюю границу распространения оруденения, которая во многом, по-видимому, определяется экранирующей ролью эфузивов верхнего структурного этажа.

Отмеченные два типа рудных зон представляют собой крайние вариететы; отражающие принципиально отличные фациально-глубинные условия минералообразования; наряду с ними существуют переходные типы зон. Разумеется, из этого правила имеются и исключения: например, наличие кварц-турмалинового типа зон среди амутских эфузивов (зона Северная).

По степени концентрации оруденения площадь Комсомольского рудного района делится на две неравноценные и в неодинаковой степени изученные части — Мяочанский и Льянчлинский рудные узлы.

Льянчлинский узел располагается в западной части района и характеризуется рядом рудопроявлений, благоприятных по генетическим особенностям, но небольших по масштабам. Мяочанский рудный узел занимает восточную часть района и включает важнейшие оловорудные месторождения. В структурном отношении это тектонический блок близкой к треугольной формы, ограниченный разломами: с северо-запада — Курским, с юга — Баджальским, а с северо-востока — Харпичикано-Хурбинским отрезком западного борта Среднеамурской депрессии. Этот узел представляет собой наиболее важную и лучше изученную часть Комсомольского района. Наиболее важные рудовмещающие структуры — близмеридиональные зоны дробления, оперяющие разломы северо-восточного направления. Важное значение имеют и узлы пересечения субмеридиональных зон нарушения с близширотными; к ним приурочено большинство месторождений района.

На месторождениях Мяочанского узла наиболее четко проявляется отмеченная вертикальная зональность размещения оруденения: в осадочных породах нижнего структурного этажа располагается оруденение кварц-турмалинового типа, а в эфузивах верхнего

этажа — кварц-карбонатно-сульфидный тип минерализации. Проявляется также и горизонтальная зональность.

В формировании месторождений Мяочанского узла Е. А. Радкевич, В. К. Рябовым и др. (1963 г.) выделены три главные стадии минерализации: 1) ранняя, дорудная стадия турмалиновых и кварц-турмалиновых метасоматитов с температурой образования 320—360° С; 2) средняя, наиболее продуктивная кварц-касситеритовая стадия (260—320° С), сопровождающаяся интенсивным окварцеванием продуктов ранней стадии и отложением в кварцевых и кварц-турмалиновых жилах касситерита и вольфрамита; 3) поздняя кварц-карбонатно-сульфидная стадия выполнения полостей и образования жил и прожилков кварца с карбонатами и сульфидами свинца, цинка, меди и другими (220—260° С).

На продукты этих стадий накладывается кварц-серицит-каолиновая стадия (150° С), продукты которой, по мнению В. В. Онихицкого, проявляются и в пострудных зонах дробления. Оловоносные кварц-турмалиновые зоны облекаются чехлом кварц-серицитовых, кварц-хлорит-серицитовых и других метасоматитов и монокварцитов, которые, проникая внутрь зон, в значительной мере усложняют строение последних и картину зональности минерализации.

Оловорудные месторождения Мяочанского узла относятся к турмалиновому типу касситерит-силикатной формации (Радкевич, 1956). В их составе главным рудным минералом является касситерит, (выделяется три его генерации); ему подчинен вольфрамит, в небольшом количестве присутствует арсенопирит, а в верхних горизонтах — пирротин, халькопирит, сфалерит и галенит. Второстепенные: шеелит, висмутин, висмут самородный, магнетит, станнин и тиллит, блеклая руда, лёллингит, валлерит, кубанит, аргентит, самородное серебро, тетраэдрит, джемсонит, буланжерит и др.

Характерную и важную особенность месторождений Мяочанского узла представляет комплексность руд и возможность промышленного использования не только олова, но и других металлов, в частности цинка и меди.

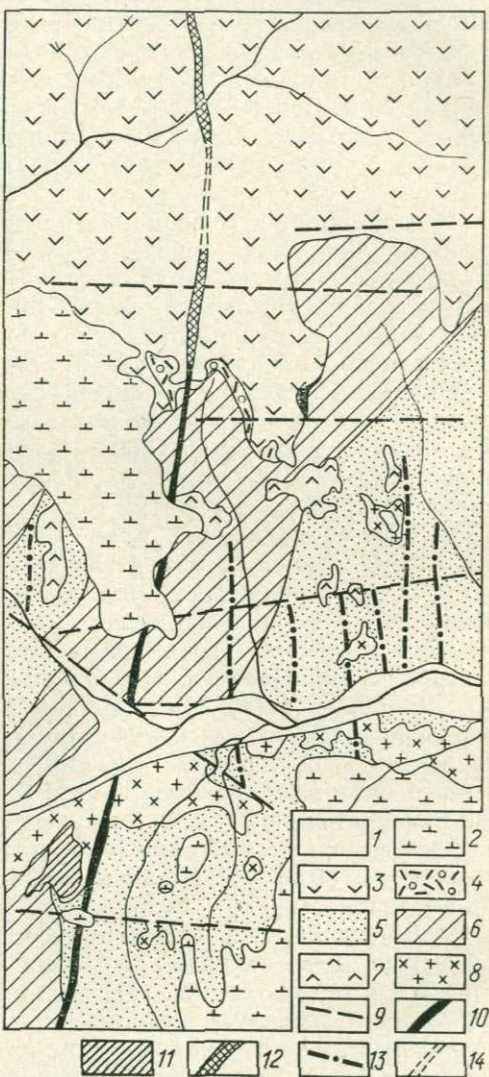
В пределах Мяочанского рудного узла выделяются четыре субпараллельные рудоносные структуры (15—30 км), контролируемые субмеридиональными разломами. На северном фланге они отклоняются к северо-западу. Ниже приводится описание трех типичных месторождений.

Месторождение «Первое» располагается в крупной близмеридиональной зоне дробления, протяженностью до 15 км, которая проходит близ осевой зоны антиклинальной структуры (рис. 12). Вдоль этой структуры, в зависимости от геологической обстановки, изменяется характер оруденения, состав и морфология рудных тел. Так, на южном фланге рудоносной зоны месторождения, залегающего в терригенных породах нижнего структурного этажа, оруденение представлено продуктами касситерит-кварцевой стадии рудного процесса; его руды характеризуются малосульфидным кварц-турмалиновым типом. К северу, вдоль рудоносной структуры, тип

минерализации изменяется в сторону возрастания роли сульфидов. В результате на северном фланге рудоносной зоны в эффиузивах амутской свиты состав руд значительно более сложен, по типу приближается к кассiterит-сульфидному, отвечающему конечной

Рис. 12. Схема геологического строения оловорудного месторождения Первого. По И. Н. Кошману, 1962 г.

1 — современные рыхлые отложения; 2 — неогеновые базальты, долериты и туфы (солнечная свита); 3 — позднемеловые порфириты, кварцевые порфириты, туфы (амутская свита); 4 — раннемеловые конгломераты, кварцевые порфириты, песчаники (холдоминская свита); 5 — позднеюрские песчаники, мелкогалечниковые конгломераты, кремнистые породы, алевролиты (силинская свита); 6 — среднеюрские алевролиты, песчаники (ульбинская свита); 7 — позднемеловые диоритовые порфириты и порфириты; 8 — диориты, кварцевые диориты и гранодиориты; 9 — разрывы; 10 — участки рудных зон, сложенные преимущественно кварцево-турмалиновыми породами; 11 — участки рудных зон, сложенные преимущественно кварцевыми метасоматитами; 12 — участки рудных зон, сложенные преимущественно кварцево-сернистовыми метасоматитами; 13 — рудные зоны, прослеженные по свалам; 14 — предполагаемые продолжения рудных зон



кварц-карбонат-сульфидной стадии рудообразования. Рудные тела сопровождаются пропилитовым чехлом.

Этот пример подтверждает, что типовой состав минерализации в зависимости от условий глубинности, структурной и литологической обстановки изменяется от малосульфидного кассiterит-турма-

линового на глубоких горизонтах в терригенных породах до касситерит-сульфидного в эфузивах.

Практическое значение в пределах зоны минерализации имеет зона Главная длиной до 8 км и мощностью от 1 до 115 м. Эта зона представляет собой систему рудных тел кварц-турмалинового состава, сопровождающихся пропилитизацией боковых пород шириной до 50 и более метров. Рудные тела располагаются кулисно, имеют линзовидную и столбообразную форму длиной от 40 до 500 м мощностью от 2 до 25 м. Содержание олова колеблется от 0,1 до 1,92% и с глубиной уменьшается. Руды месторождения комплексные: наряду с оловом в них присутствуют вольфрам, свинец, цинк, медь, серебро.

Месторождение Второе расположено в 7 км северо-восточнее Первого. Оно характеризуется касситерит-турмалиновым и касситерит-сульфидным (в верхних горизонтах) типами оруденения. На месторождении выявлено выше 30 субпараллельных и кулисно расположенных рудоносных зон дробления, залегающих среди юрских и меловых осадочных и эфузивных пород и укладывающихся в близмеридиональную ослабленную зону протяженностью до 9 км. Рудные тела оконтурены в зонах минерализации. Длина рудных тел изменяется от 90 до 1000 м, мощность от 2 до 9,7 м. В рудах присутствуют вольфрам, медь, свинец, цинк, серебро. Обычно на нижних горизонтах рудных тел в осадочных породах встречены касситерит-турмалиновые руды. Выше поверхности структурного несогласия в кислых эфузивах они сменяются касситерит-кварц-сульфидными рудами, а еще выше среди прошипилизованных эфузивов преобладают вкрапленные свинцово-цинковые руды.

Месторождение Третье расположено в 12 км юго-восточнее месторождения Первого. Оно отличается от вышехарактеризованных и прежде всего существенной ролью меди. На его площади выявлено несколько десятков кругопадающих близмеридиональных оруденелых зон сложного строения, в том числе семь зон с промышленным содержанием олова (рис. 13). Протяженность рудонесущих зон изменяется от 100 м до 7 км, мощность от 0,5 до 100 м. В пределах зон выделяются рудные тела линзовидно-столбообразной формы размером от 50 до 1500 м в длину при мощности от 0,5 до 6 м. С глубиной мощность, как правило, уменьшается.

Рудные тела представлены метасоматическими и гидротермально-жильными образованиями, несущими касситерит, вольфрамит, халькопирит и арсенопирит, галенит, сфалерит и другие минералы. На нижних горизонтах в терригенных породах рудные тела сложены кварцевыми, кварц-серicitовыми, кварц-турмалиновыми метасоматитами и кварц-касситеритовыми рудами, а на верхних в эфузивах — кварц-карбонат-сульфидными медными рудами и кварц-каолиновыми образованиями. В целом по месторождению содержание рудных компонентов в рудах отличается значительными колебаниями и для главнейших из них характеризуется следующими данными: Sn 0,3—0,86%; WO₃ 0,02—0,18%; Cu 0,23—2,1%; Ag 6,7 г/т; Jn

0,02% (в халькопирите); Bi 0,3% (в халькопирите и арсенопирите); в значительных количествах присутствуют свинец и цинк.

Касаясь оценки перспектив Комсомольского оловорудного района, следует отметить, что его потенциальные возможности не следует

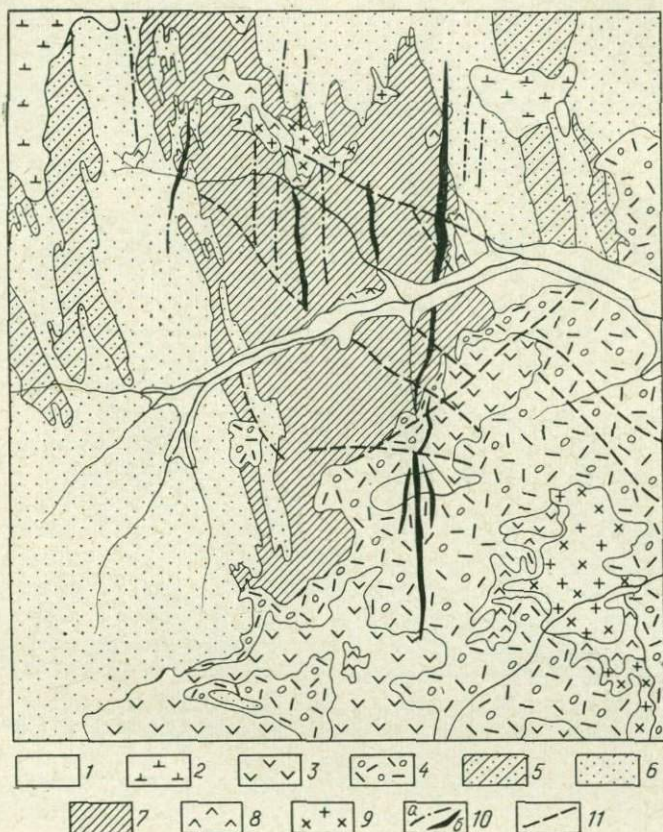


Рис. 13. Схема геологического строения оловорудного месторождения Третьего. По В. Б. Кущеву, В. А. Асманову и А. А. Пицменову, 1968 г.

1 — аллювиальные отложения; 2 — базальты и долериты (солнечная свита); 3 — вулканогенные образования (амутская свита); 4 — осадочно-вулканогенные образования (халдоминская свита); 5 — терригенные отложения (шадалинская свита); 6 — терригенные отложения (силинская свита); 7 — терригенные отложения (ульбинская свита); 8 — интрузивные порфириты и кварцевые порфириты; 9 — диориты, кварцевые диориты, гранодиориты, гранодиорит-порфиры; 10 — минерализованные зоны; а — прослеженные по свалам, б — вскрытые горными выработками; 11 — разрывы

считать исчерпанными. Пока выявлены лишь приповерхностные месторождения. Новых открытий следует, по-видимому, ожидать при изучении глубинных частей многочисленных безрудных с поверхности зон, а также флангов разведанных месторождений. Не исключена возможность открытия месторождений и на сопредельных, еще слабо описаных площадях.

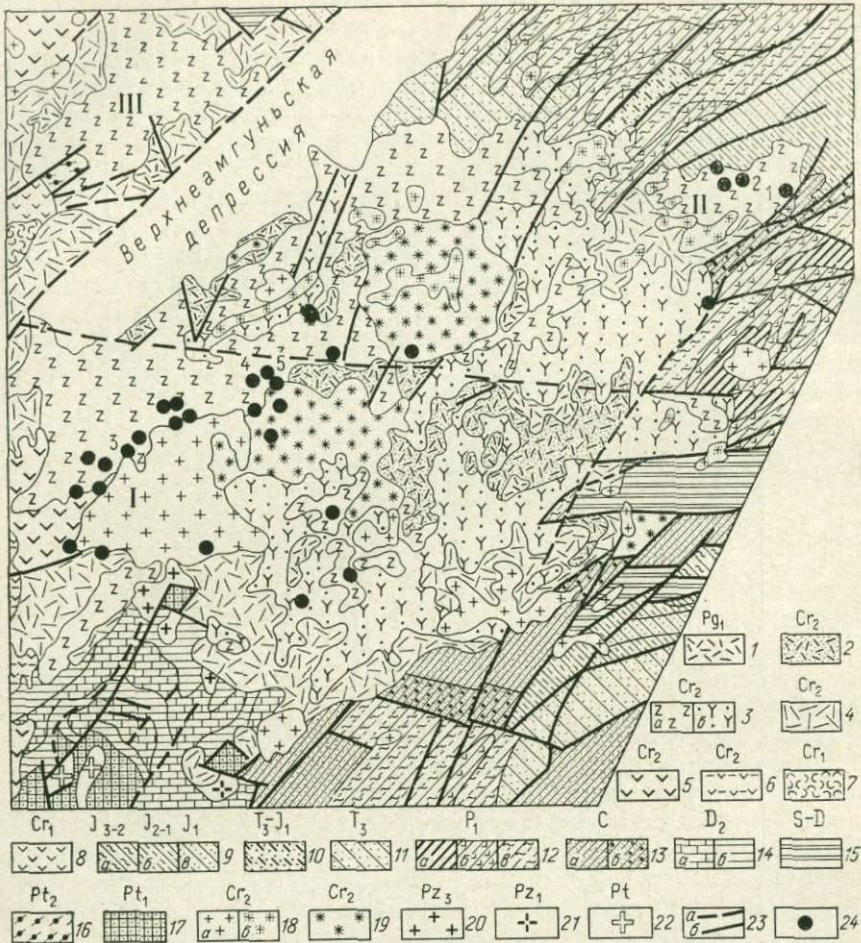


Рис. 14. Схема геологического строения Баджальского района и Куканской рудной зоны. Составлена по материалам С. С. Дарбияни, А. А. Головневой, К. Ф. Клыкко, Э. Л. Школьника и др.

1 — липариты, липарито-дациты и их туфы; 2 — кварцевые порфиры, их туфы и лавобрекчи; 3 — а — дациты, порфиры, лавобрекчи, туфы; б — дельлениты, туфы, туфиты, лавобрекчи; 4 — плагиопорфиры, туфы, туфолавы, лавобрекчи; 5 — порфириты, андезиты, их туфы и лавобрекчи; 6 — алевролиты, туфопесчаники, туфоконгломераты, порфиры, туфы; 7 — фельзанты, кварцевые порфиры, фельзит-порфиры (солончаковая свита); 8 — порфиры, их туфы, лавобрекчи, туфопесчаники (станолирская свита); 9 — а — кремнистые, кремнисто-глинистые и глинистые сланцы, песчаники и алевролиты (ульбинская свита), б — песчаники, гравелиты, спилиты, кремнистые и кремнисто-глинистые сланцы (хурбинская свита); 10 — песчаники и алевролиты; 11 — песчаники, гравелиты, конгломераты (мерекская свита); 12 — а — кремнистые, кремнисто-глинистые и глинистые сланцы, песчаники, алевролиты, линзы диабазов, известняков (джипакуньская свита), б — диабазы, спилиты, диабазовые порфиры и их туфы, кремнистые и кремнисто-глинистые сланцы, песчаники, алевролиты (утанакская свита), в — песчаники, алевролиты, кремнистые, кремнисто-глинистые и глинистые сланцы, линзы известняков, спилиты, диабазов (яранская свита); 13 — а — песчаники, алевролиты, глинистые, кремнистые и кремнисто-глинистые сланцы, яшмы, спилиты, диабазы, линзы известняков (улуская свита), б — алевролиты, глинистые сланцы, песчаники, гравелиты, седиментационные брекчи, кремнистые сланцы, известники (иолийская свита); 14 — а — песчаники, алевро-

Однако первоочередной задачей, по-видимому, следует считать более углубленное изучение Мяочанского блока, где сконцентрировано необычно большое количество месторождений и рудопроявлений. Представляется, что неравномерность распределения оруденения, наблюдалась на площади Мяочанского узла, в такой же мере должна проявляться и на глубину в плоскости рудоконтролирующих структур. В этой связи выявленные месторождения следует рассматривать как близповерхностные оруденелые части зон дробления, в которых с глубиной оруденение может также изменяться как и по простиранию, т. е. затухать и вновь возникать на более глубоких горизонтах. Оно может присутствовать в глубинах тех зон, которые на современном срезе оказались безрудными.

Иными словами, первоочередные задачи изучения Комсомольского района: а) исследования глубинных горизонтов рудоконтролирующих структур и б) совершенствование методов их поисков. Наиболее рациональной представляется разработка и применение комплекса структурных, геохимических и геофизических исследований на основе крупномасштабного объемного картирования. В этом случае известный интерес с точки зрения резерва перспективных площадей для поисков может представлять и Льянчлинский узел Комсомольского района, расположенный западнее Мяочанского узла, где общая геологическая обстановка и тип минерализации аналогичны Мяочанскому узлу.

Баджальский оловорудный район (14). Район расположен в Центральной части Хингано-Баджальской области и совпадает с одноименной вулканогенной зоной, сформированной в месте сочленения позднегерцинской складчатой зоны с Буреинским массивом (рис. 14). Площадь района ограничена разломами (Баджальским и Зейско-Урмийским с севера и юга и Тастанским и Куканским с запада и востока), занимает около 800 км² и имеет форму несколько вытянутого в широтном направлении прямоугольника. По данным А. А. Головиневой, 1959 г.; Э. Л. Школьника, 1960 г.; С. С. Дарбиняна, 1961 г.; К. Ф. Клыжко, 1966 г. и др., в строении фундамента Баджальской вулканогенной зоны принимают участие преимущественно палеозойские терригенно-карбонатные и терригенно-кремнисто-вулканогенные отложения. На западной и южной окраинах района обнажаются протерозойские гнейсы, кристаллические сланцы,

литы, глинистые сланцы, известняки (ниранская свита), б — конгломераты, аркозовые и кварцитовидные песчаники, алевролиты, глинистые сланцы (пачанская свита); 15 — филировидные глинистые, кремнистые и кремнисто-глинистые сланцы, рассланцованные песчаники; 16 — эпидот-хлоритовые и эпидот-актинолитовые сланцы, серцицит-кварцевые, мусковит-серцицит-кварцевые, альбит-серцицит-кварцевые сланцы (ортукская и аянская свиты); 17 — гнейсы биотитовые и роговообманково-биотитовые, кристаллические сланцы, сподиевые, альбит-слюдянные и амфиболовые, мраморы, кварциты (урильская свита); 18 — а — граниты, гранодиориты и гранодиорит-порфирь, б — гранит-порфирь; 19 — интрузивные и экструзивные дациты; 20 — граниты биотитовые и роговообманковые порфировидные; 21 — граниты микроклиновые лейкократовые и биотитовые; 22 — гнейсограниты, граниты двуслюдянные, гнейсированные гранодиориты и плагиограниты; 23 — разломы: а — предполагаемые, б — установленные; 24 — рудопроявления: 1 — Лопадинская Гриза; 2 — Букам; 3 — Болторо; 4 — Орокот, 5 — Агын-Бира и др. Рудные узлы: I — Верхнеурмийский; II — Гербинский; III — Сулукский

кварциты, мраморы, зеленокаменные образования и палеозойские граниты. Вулканогенный комплекс, подобно Комсомольскому району, сформировался в мелу (от альба до сенона). Его образование происходило на фоне общего воздымания Буреинского массива, увлекшего в поднятие и зону прикрепленных к нему поздних герцинид.

Нижняя часть вулканогенного покрова сложена альб-сеномантуронскими осадочными, осадочно-туфогенными (иногда угленосными) образованиями и вулканитами преимущественно среднего состава мощностью от 300 до 500 м. Эти образования перекрыты сенонскими эфузивами, представляющими собой переслаивание кислых, отчасти средних лав и пирокластов мощностью 2300—2500 м в западной и 1800—3200 м в восточной частях района. В позднемеловую фазу складчатости эфузивы испытали слабое коробление. Этому же времени соответствуют субвулканические и гипабиссальные формы интрузивного магматизма, с которым связана рудоносность района.

Слабая магматическая деятельность продолжалась и в послесенонское время, на что указывает наличие в районе палеоценовых лав дацитов, андезито-дацитов, липаритов, их туфов и лавобрекций, слагающих разрозненные покровы мощностью до 200 м. Имеются также проявления антропогенных базальтов.

Вулканогенные образования, наряду с брахиморфными складками (с падением крыльев 15—20°), нарушены разломами северо-восточного и близширотного направлений. Вдоль разломов следуют цепочки небольших массивов гранитоидов, зоны дробления и пиритизация. На локализацию меловых интрузивов, по-видимому, влияли и складчатые дислокации. Так, наиболее крупный Верхнеурмийский массив располагается в ядре пологого антиклинала, ось которого совпадает с осевой частью Баджальского хребта.

Интрузивный магматизм наиболее интенсивно проявлен в восточной части района. Здесь имеют место приповерхностные и субвулканические умеренно глубинные и гипабиссальные формы интрузивов. Судя по Верхнеурмийскому массиву, интрузивы имеют сложное строение. В их формировании различают несколько фаз: 1) ортоклаз-биотитовые габбро и монцонит-сиениты; 2) кварцевые монцониты, диорит-порфиры, диориты и кварцевые диориты; 3) гранодиориты и гранодиорит, порфиры; 4) биотитовые порфировидные граниты. Породы относятся к щелочноземельной серии с заметно повышающейся ролью калия, кремнезема, бора и железистости биотита в направлении к породам конечных фаз. С последними связана вольфрам-оловянная и свинцово-цинковая, отчасти мышьяковая и молибденовая минерализация, проявления висмута и серебра.

Район слабо еще изучен, хотя имеющиеся материалы позволяют положительно оценить его перспективы. Район располагается вблизи Комсомольского оловорудного района, с которым имеет много сходных геологических черт. На его площади известно несколько типов оруденения: скарновый (кл. Балторо), кварц-вольфрамит-касситеритовый (рудопроявления Агын-Бира и кл. Алешушкин), касситерит-

турмалиновый и кассiterит-сульфидный (различные участки площади).

Внутриблоковыми разломами северо-восточного и запад-северо-западного направлений (Амгунским и Могдинским), которые параллельны шовным разломам, ограничивающим район в целом (Баджальскому и Зейско-Урмийскому, Таставскому и Ку坎скому), его площадь разбита на четыре равновеликие части (блоки). Эти блоки отличаются своим оруденением и могут рассматриваться как рудные узлы — Сулукский, Гербинский, Могдинский и Верхнеурмийский. Сулукский и Гербинский узлы, располагающиеся в северной части района, характеризуются существенно сульфидной минерализацией, а располагающиеся южнее Могдинский и Верхнеурмийский отличаются, соответственно, ртутным и вольфрам-оловянным оруденением.

Верхнеурмийский вольфрам-оловянный узел совпадает с площадью выхода Верхнеурмийского гранитоидного массива и сопутствующих ему более мелких интрузивных тел, приуроченных к брахиантиклинальному вздутию покрова баджальских эфузивов. Эта брахиоструктура может рассматриваться как плутоно-вулканическая постройка. Изучение рудоносности этого узла производилось М. И. Ициксоном (1947 г., 1948 г., 1957 г.); О. Ф. Шишкановой (1950 г.); А. А. Головневой (1957 г., 1958 г.); А. Ф. Бараповым (1954 г.); В. Е. Проскурниковым (1957 г., 1958 г.); П. М. Ларионовым (1968 г.); Н. С. Кравченко и А. Ф. Болотниковым (1968 г.) и др. Большая часть рудопроявлений узла располагается в пределах площади Верхнеурмийского интрузива и отличается высокотемпературным типом минерализации, несколько напоминающей таковую Иппата-Мерекского района, хотя и с более сложным составом, вплоть до ассоциаций типа кассiterит-силикатной формации.

Наиболее распространен вольфрам-оловянный тип кварцево-жильного оруденения, в меньшей мере кварц-молибденовый. Это маломощные кварцевые и кварцево-грейзеновые жилы мощностью не более 20 см, образующие сетчато-прожилковые зоны, рассекающие окологранитные гидротермально- и контактово-измененные эфузивы или же грейзенизованные зоны гранитов.

Представителем скарнового типа оловянной минерализации служит рудопроявление Болторо. По данным П. М. Ларионова, А. Ф. Болотникова и Н. С. Кравченко, оловоносные скарны приурочены к среднедевонским известнякам на контакте с гранитами Верхнеурмийского массива и представляют собой сложную систему линзовидных тел, образующих зону длиной до 3 км, при непостоянной ширине до 150 м. Вскрытые оловянно-сульфидные рудные тела, образовавшиеся в результате наложения на гранат-пироксеновые скарны, имеют линзовидную форму и достигают 60 м в поперечнике. Кассiterит обнаруживает тесную связь как с гранатом и пироксеном, так и с сульфидами (арсенопирит, халькопирит, пирротин). В надрудной части гранат-пироксеновые скарны сменяются слабо

минерализованными пироксен-эпидотовыми и волластонитовыми скарнами. С этими скарнами и сопутствующими им ороговикованными алевролитами связан четко выраженный эндогенный ореол, что позволяет предполагать наличие скрытых рудных тел по простиранию зоны скарнов.

В практическом отношении наиболее интересны рудопроявления турмалин-сульфидного типа, располагающиеся у северной кромки Верхнеурмийского гранитного массива. В отличие от кассiterит-вольфрамит-кварцевых жил среди гранитов они представляют собой минерализованные зоны дробления в эфузивах мощностью до 100 и более метров. Эфузивы гидротермально изменены, интенсивно турмалинизированы, иногда грейзенизированы, содержат топаз и богатую, хотя и неравномерную вкрашенность вольфрамита, молибденита, кассiterита, арсенопирита, пирита, халькопирита, иногда галенита и сфалерита.

По материалам В. Е. Проскурникова, типичным представителем оруденения характеризуемого типа являются два относительно лучше изученных (с поверхности) месторождения: Могдинское и Орокот. Последнее представляет собой две субпараллельные зоны дробления и минерализации север-северо-восточного простирания протяженностью до 700 м при мощности до 20 м. По характеру минерализации среди них выделяются три типа зон: а) зоны брекчий с кварц-турмалиновым цементом, несущим вкрашенность кассiterита, арсенопирита, ширита, халькопирита, флюорита и топаза; б) бестурмалиновые зоны дробления с кварцевым цементом, содержащие кроме перечисленных минералов галенит и сфалерит; в) кварцево-грейзеновые зоны мощностью от 1 до 15 м, образованные за счет гранит-порфиров, залегающих в зонах дробления и несущие вольфрамит, висмутин и самородный висмут.

Содержание олова в зонах первых двух типов достигает целых процентов; в них же содержится до 0,2% Cu.

Гербиканский узел оловянной и медно-свинцово-цинковой минерализации располагается на северо-восточной окраине Баджальского вулканического покрова и непосредственно примыкает с севера к Верхнеурмийскому узлу, гранича с ним по Могдинскому разлому. В отличие от Верхнеурмийского узла для него характерны мелкие, слабо эродированные тела гранитоидов и обильные проявления медно-свинцово-цинковой минерализации. Последняя, по данным В. В. Гольц (1951 г.), А. А. Головневой (1958 г., 1959 г.), Н. Г. Осипова (1965 г.), К. Ф. Клыжко (1966 г.) и др., локализуется вдали от интрузивов и подчинена зонам дробления среди липарито-дацитов, гидротермально измененных и переработанных до вторичных кварцитов. Зоны дробления вмещают жилы и сетчато- прожилковые кварцево-сульфидные образования с вкрашенностью галенита, сфалерита, халькопирита и в меньшей мере арсенопирита, пирита, шеелита, кассiterита, висмутина, самородного висмута и изредка антимонита. Эти рудопроявления слабо изучены. Они встречены в верховьях рек Букам, Дарья, Улунская, Баджальская. Особый

интерес представляют рудопроявления верховьев рек Дарьи и Букам. Работами В. Г. Мальцева и др. (1968 г.) здесь установлен крупный и весьма перспективный Букам-Дарьинский ореол рассеяния с содержанием кассiterита в делювии до 1130 г/м³, а также рудная минерализация в зонах дробления и гидротермальных изменений среди эфузивов — хлоритизации, актинолитизации, прошилитизации, иногда грейзенизации и особенно широко проявленного серицит-кварцевого метасоматоза.

По данным М. Ф. Кохановского, на участке Букам широко проявлены зоны кассiterит-сульфидной минерализации, представленной прожилково-вкрашенными и жильными обособлениями арсенопирита, халькопирита, галенита, сфалерита и других минералов. По данным бороздовых проб, содержание олова в зонах достигает 0,4%. Наряду с этим на участке широко развиты также более высокотемпературные рудные образования — кварцево-прожилковые зоны и кварцевые жилы, сопровождающиеся кварц-мусковитовыми грейзенами и вкрашенностью кассiterита, арсенопирита, молибдена и других минералов.

Перспективно также рудопроявление «Лошадиная Гриза», расположенное в верховьях р. Дарьи. Среди позднемеловых порфиритов, дацитов, лавобрекчий и туфов, интрутированных позднемеловыми гранит-порфирами, выявлены протяженные зоны дробления кварц-сериицитового метасоматоза и кварц-кассiterит-сульфидного оруденения. Морфология зон сложная; преобладает близмеридиональное направление зон в сочетании с сопутствующими им ответвлениями зон северо-западного и других направлений. Протяженность зон выше 2 км при мощности до 50 м. В них оконтуриваются рудные тела длиной 200 м и более и мощностью до 10 м. Руды сложены кассiterитом, арсенопиритом, пирротином, халькопиритом, сфалеритом; характерными жильными минералами наряду с кварцем являются серицит, хлорит, актинолит, эпидот, турмалин, аксинит, флюорит, кальцит, адуляр, цеолиты. Текстуры руд брекчевые и брекчевидные, полосчатые и иногда вкрашенные. В околоврудных измененных породах характерно абсолютное преобладание серицит-кварцевых и кварц-сериицитовых метасоматитов; слабее развиты эпидотизация, актинолитизация и сульфидизация. Содержания олова в рудах варьируют от 0,1 до 0,4%, максимальные содержания достигают 1—3%.

Рудопроявление Баджал, как и вышехарактеризованные, располагается на северо-восточной окраине Баджальского эфузивного поля. По данным А. Ф. Майбороды (1966 г.) и В. Г. Мальцева (1968 г.), оно характеризуется обилием минерализованных зон дробления, слагающих крупную полосу близмеридионального простирания шириной до 2 км и длиной до 80 м. Зоны целиком залегают среди эфузивов и только отчасти в палеозойских породах фундамента. Отдельные зоны имеют мощность от 1—2 до 50 м и длину в несколько километров.

Состав минерализации зон зависит от вмещающих пород и уровня эрозии. В эфузивах — это преимущественно серицит-кварцевые

метасоматиты, в которых с глубиной возрастает роль гребенчатого кварца, пирита и арсенопирита, а в осадочных породах фундамента — более сложные зоны, сопровождающиеся кварцево-сульфидными жилами и окологильными серицит-кварцевыми метасоматитами; они сопровождаются галенитом, сфалеритом, арсенопиритом, ширилом, пирротицом, кассiterитом и другими минералами, образующими вкрапленность и массивные агрегаты. Мощность жил и рудных тел в зонах 2 м и более, а протяженность до 360 м.

На некоторых участках характеризуемого узла встречаются обломки полиметаллических руд (до 25×10 см) с содержанием: Pb до 6,55%, Zn более 10%, As до 11,4%, Cu до 1%. Местами наблюдаются существенно халькопиритовые обособления с содержанием меди до 3,95%.

У северной кромки узла, на границе с Льянчлинским узлом Комсомольского района, имеются оловянные рудопроявления, представленные оловоносными турмалин-сульфидными жилами (с кварцем), залегающими на контакте даек порfirитов с кварцевыми порфирами (К. Ф. Клыжко, 1966 г.). Жилы содержат вкрапленность кассiterита, халькопирита, сфалерита и вторичных минералов — церусита и смытсонита. Содержание олова в жилах достигает 0,29%. Характерно, что как непосредственно на площади рудопроявления, так и значительно юго-западнее наблюдаются участки интенсивного гидротермального изменения эфузивов с обильной вкрапленностью халькопирита, сфалерита, ширила, арсенопирита, галенита, блеклых руд и их вторичных продуктов.

Все рудопроявления узла располагаются в северной и северо-восточной окраинах его площади; они тяготеют к Комсомольскому району, притом не только в пространственном (и структурном), но и в типовом отношении. Это повышает положительную перспективную оценку Баджальского района и его Гербиканского узла в частности.

Сулукский узел (см. рис. 14) олово-вольфрам-молибденовой минерализации, по данным С. С. Дарбиняна и С. Г. Костаняна (1961 г.) и др., сложен докембрийскими породами фундамента, перекрытыми маломощным покровом позднемеловых эфузивов среднего и кислого состава, интрудирован мелкими телами гранитоидов повышенной основности. К последним тяготеют проявления отчасти полиметаллической, но главным образом кварц-молибденитовой, кварц-вольфрамит-молибденитовой и кварц-кассiterитовой (кварцево-гнейзеновой) минерализации. Рудопроявления располагаются близ контактовых зон на участках гнейзенизованных гранитоидов, а также в эфузивах и породах фундамента, которые пронизаны кварцевыми жилами и тонкопрожилковыми образованиями с вкрапленностью молибдена, вольфрамита, кассiterита, ширила, халькопирита, арсенопирита, сфалерита и флюорита. В шлиховых ореолах на площади узла встречаются шеелит, висмутин, базовисмутин, фергусонит, колумбит, ильменит, корунд, сfen, циркон и иногда золото. Сульфидная минерализация этого узла пространственно тесно связана с высокотемпературной кварцевожильной, локализуется хотя

и в тех же породах, но преимущественно в зонах дробления и гидротермальных изменений. В составе рудопроявлений присутствуют арсенопирит, пирит, халькопирит, галенит, сфалерит и молибденит. Наличие молибдена является характерной чертой минерализации Сулукского узла, отличающей его от Гербиканского и в то же время связывающей его с более высокотемпературной кварц-молибденовой минерализацией.

Могдинский узел ртутной минерализации располагается западнее Верхнеурмийского узла и составляет юго-западную часть Баджальского рудного района. По материалам С. С. Дарбиняна (1961 г.) и Э. Л. Школьника (1960 г.), в его строении (в отличие от трех других узлов) принимают участие в основном поздненижнемеловые средние, отчасти палеогеновые кислые эфузивы и четвертичные базальты. Проявления интрузивных фаций отсутствуют. На площади узла имеются проявления лишь ртутной минерализации, тяготеющие к ограничивающим его разломам. Это механические ореолы и ряд мелких прожилково-вкрашенных рудопроявлений в зоне Могдинского разлома, близ его пересечения с Сулукским разломом.

Касаясь оценки перспектив Баджальского рудного района, следует отметить его положение между Комсомольским и Хингано-Олонецким оловорудными районами, с которыми он образует единую рудоносную структуру, что позволяет уверенно рассматривать его в качестве одного из перспективных звеньев этой структуры. По целому ряду признаков район представляется перспективным для поисков месторождений олова и особенно, что подтверждено поисково-разведочными работами последних лет, в северо-восточной части (Гербиканский узел), где преобладает кассiterит-сульфидная минерализация. В связи с этим вполне оправдано продолжение крупномасштабного геологического картирования района, сопровождаемого поисками, а также специальных поисково-оценочных работ на отдельных участках. Целесообразно также проведение среднемасштабных структурно-металлогенических исследований с охватом западной части Комсомольского района, а также прилегающих к нему площадей с юга, юго-востока и востока.

Кукаинская зона оловянно-вольфрамовой и ртутной минерализации (15). Зона располагается на северо-восточном фланге Баджальского антиклиниория восточнее Баджальского района. С востока и запада она ограничена Курским и Кукаинским разломами сихотэ-алинского направления, а с севера — близширотным Баджальским разломом. Южное ограничение зоны нечеткое; в юго-западном направлении она протягивается на 200 км при ширине от 40 до 50 км. По материалам А. А. Головневой (1955 г., 1956 г.), В. А. Сысоева (1956 г.), Б. И. Бурда (1961 г.) и др., в ее строении принимают участие позднепалеозойские вулканогенно-кремнисто-терригенные и терригенные образования, в меньшей мере меловые эфузивы преимущественно кислого состава. Палеозойские породы дислоцированы в линейные складки северо-восточного и субширотного направлений, асимметричные, изоклинальные, опрокинутые, вплоть до лежачих,

сопровождающиеся зонами смятия, будинажа и катаклиза. Складчатые формы дислокаций усложнены многочисленными разрывами северо-восточного и близмеридионального направлений, а также северо-западными и близширотными. Большинство из них доверхнемеловые и представляют собой взбросы и крутые надвиги. Северо-восточные разломы секут складчатые структуры под углом 10—20° и уклошаются к меридиональному направлению. Они контролируют дайковые тела, зоны дробления и постмагматическую минерализацию, связанную с позднемеловыми гранитоидами. Последние образуют небольшие массивы гранодиоритов и кварцевых диоритов, сопровождаемых сателлитами порфиритов и гранит-порфиров.

Зона прилегает к Баджальскому району и ее оруденение в типовом отношении мало отличается от этого района. Оно представлено в основном вольфрамом и оловянной минерализацией. Наряду со схожестью минерализации общими с Баджальским районом оказываются и ограничивающие их разломы. Так, Баджальский и Зейско-Урмийский разломы ограничивают их соответственно с севера и юга. Правда, Зейско-Урмийский разлом в Куканской зоне ограничивает распространение лишь оловянной минерализации, за которой далее к юго-западу на продолжении зоны следует ртутная минерализация. Кроме того, близширотный Могдинский разлом, разделяющий Баджальский район на две различные в металлогеническом отношении части, разделяет Куканскую зону также на две части: оловянную (северную) и вольфрам-оловянную (южную); они именуются Джакунским и Ярапским узлами. На юго-западном фланге зоны выделяется Куканский существенно ртутьносый узел.

Джакунский оловоносный узел и ранее выделялся как перспективный (М. В. Чеботарев, С. Ф. Усенко и др., 1965 г.). Крупномасштабными съемками В. А. Сысоева (1956 г.) и Б. И. Бурдэ (1961 г.) на его площади выявлены свалы кварцевых и хлорит-кварцевых жил без видимого оруденения, но с кассiterитом, висмутином и шеелитом в делювии, более сложная кассiterит-сульфидная минерализация в зонах дробления, окварцевания и слабой грейзенизации в гранитоидах и эфузивах (кассiterит, арсенопирит, пирит, пирротин, халькопирит, малахит, галенит, сфалерит, иногда шеелит и киноварь), а также турмалин-сульфидные проявления в зонах брекчий среди осадочных пород в форме кварцево-прожилковых турмалин- и сульфидсодержащих образований. Последующими поисковыми работами выявлен целый ряд рудопроявлений благоприятного генетического типа. Это месторождения горы Якунь, рудопроявления г. Урша, Сютюнгингинское, Тырыннахское, Сюингачанское и др.

По данным В. Г. Мальцева (1968 г.), месторождения горы Якунь располагаются на правобережье одноименной реки (правого притока р. Кур) среди позднепалеозойских осадочных пород, интрузированных штоковидными телами диоритов, диоритовых порфиритов и гранит-порфиров. Последние окружены контактовыми ореолами (кварц-биотитовые роговики, биотитовые роговики, слабо биотитизированные породы) шириной от 600—700 до 1000 м.

Породы гидротермально изменены: по мере удаления от интрузивов они грейзенизированы, альбитизированы, сульфидизированы, актинолитизированы, хлоритизированы, эпидотизированы и карбонатизированы. Широко развиты процессы площадного метасоматического окварцевания и серицитизации, особенно среди песчано-сланцевых пород. Породы нарушены разломами различного направления, преобладают северо-восточные и близширотные. Пункты их пересечения контролируют проявления магматических пород, сопровождающихся радиальными и кольцевыми нарушениями.

С кольцевыми и радиальными разломами связаны дайковые тела и рудовмещающие зоны месторождения, имеющие центриклинальное падение под углом 60—80° и коническую форму в разрезе. Таким образом, месторождение представляет собой своеобразную кольцевую тектономагматическую структуру. Геофизические данные указывают на наличие и других структур аналогичного типа. На площади месторождения выявлено свыше 10 рудных зон, сложенных кварц-серицитовыми метасоматитами, кварцево-сульфидными и кварцевыми жилами и прожилками. Длина зон варьирует от 250 (зона Южная) до 2500 м (зона Главная). Зоны располагаются как в осадочных, так и в интрузивных породах — диоритах, гранит-порфирах и др. Строение зон кулисное, сложное, со множеством апофиз, раздузов и пережимов. Их мощность изменяется от 4 до 65 м. Раздувы мощностей отмечаются в местах сочленения зон разных направлений или резких изменений простирации.

В строении зон выделяется осевая существенно кварцевая часть, которая сопровождается чехлом гидротермально измененных пород. Последние, по мере удаления от осевой части зоны, представлены: турмалин-кварцевыми и кварцевыми метасоматитами, серицит-кварцевыми и кварц-серицитовыми, переходящими в серицитизированные и хлоритизированные, а еще далее в неизмененные породы. Их сопровождают единичные или сетчатые жилы мощностью от 10—20 см до 2—3, а иногда и до 10 м. Местами вместо жил наблюдается сеть тонких прожилков и гнездовых обособлений кварца.

В составе рудных зон присутствуют: кварц, иногда турмалин, арсенопирит, кассiterит, халькопирит, реже станинин, сфалерит, галенит, пирит, скородит, ковеллин, малахит.

Рудопроявление Сютия нга располагается в аналогичной геологической обстановке, в 20 км севернее месторождения горы Якунь. Вмещающие его палеозойские осадочные породы, интрудированные позднемеловыми гранитами, ороговикованы и частично грейзенизированы, окварцовены, серицитизированы и хлоритизированы. Залегающие в них рудоносные зоны (зона Грейзеновая) представляют собой серию субпараллельных линейных тел метасоматитов (кварцевого, кварц-мусковитового и мусковит-серицит-кварцевого состава) северо-восточного простирации, пронизанных сетью кварцево-сульфидных прожилков с вкраепленностью кассiterита, арсенопирита, шеелита, халькопирита. Мощность тел метасоматитов достигает 50—80 м, а протяженность 400 и более метров. В них

обособляются рудные участки мощностью 2—3 м и средним содержанием олова 0,3—0,5%.

Почти аналогичное рудопроявление Тарынчахское расположено в 50 км северо-восточнее месторождения горы Якунь.

Рудопроявление горы Урша в типовом отношении близко месторождениям Комсомольского района. Оно располагается в междууречье Урши и Уруши, на склоне одноименной горы, в поле развития позднепермских, преимущественно терригенных пород, перекрытых за рамками участка позднемеловыми осадочно-вулканогенными образованиями. Осадочные породы интрудированы штоками и дайками гранитоидов (гранодиорит-порфиры, диорит-порфиры, гранит-порфиры), которые сопровождаются ореолами контактового метаморфизма и гидротермальных изменений шириной до 500 м. В этом ореоле на участке гранодиоритового штока имеет место обильная турмалинизация и окварцевание в форме жил и прожилковых зон, сопровождаемых сульфидной минерализацией.

На площади рудопроявления четко выражены «согласные» разломы северо-восточного простирания; их оперяют близмеридиональные нарушения, контролирующие проявления гидротермальной минерализации — турмалинизацию, серицитизацию, окварцевание и оруденение. Рудоносные зоны представляют собой кварц-турмалиновые породы с характерным гребенчатым кварцем, сопровождающиеся чехлом кварц-серийтовых метасоматитов. Рудоносные зоны прослеживаются на расстоянии более 500 м при мощности от 5 до 20 м. В составе руд: кассiterит, арсенопирит, халькопирит, пирит, лимонит, малахит, скородит. Содержание олова в рудах не превышает 0,1%. Рудопроявление изучено слабо.

На площади характеризуемого узла имеются также слабые проявления ртутной минерализации, тяготеющие к зоне Куканского разлома.

Яраский узел вольфрам-оловянной минерализации изучен еще более слабо. По данным А. А. Головневой (1957 г.) и др., он сложен сложнодислоцированными позднепалеозойскими геосинклинальными формациями, интрудированными позднемеловыми гранитами. На площади узла выявлена группа оловорудных проявлений, залегающих в экзоконтактовой зоне небольшого массива гранитоидов. Рудопроявления контролируются небольшими зонами дробления среди кремнисто-терригенных формаций и представляют собой кварцево-прожилковые образования с вкрапленностью вольфрамита, шеелита, кассiterита, арсенопирита, пирита, халькопирита, галенита и сфалерита. Тип минерализации турмалин-сульфидный, однако интенсивность и масштаб оруденения на выходах незначительны.

Аналогичные формы проявления имеет вольфрамовая минерализация, в которой доминирующую роль принадлежит вольфрамиту и шеелиту, а также арсенопириту и некоторым другим сульфидам.

Кратко охарактеризованные оловянные и вольфрамовые рудопроявления характеризуемого узла представляют собой звенья единого

генетического ряда, который по периферии площади узла кое-где представлен своими крайними членами — существенно сульфидными образованиями. Последние также содержат шеелит, являющийся постоянным компонентом всех рудоминеральных ассоциаций характеризуемого узла.

Куканский узел представляет собой юго-западный существенно ртутносный фланг Куканской зоны, характеризующийся также слабой вольфрамовой минерализацией. Ртутносность и вольфрамоносность узла характеризуются в основном шлиховыми ореолами киновари и шеелита, вытянутыми вдоль разломов северо-восточного направления.

Верхнекурский оловоносный район (16). Район расположен южнее Комсомольского и в геологическом отношении является как бы его продолжением к югу. Они граничат по Баджальскому разлому, и оба располагаются на юго-западном фланге Горинского синклиниория, на стыке с северо-восточным окончанием Баджальского антиклиниория. Сложен юрскими терригенными формациями, интрудированными позднемеловыми гранитоидами. Последние сопровождаются эффузивными фациями и образуют с ними тесные эффузивно-интрузивные ассоциации.

Район опиcован еще слабо. Более или менее четкие его геологические границы имеются лишь на северо-востоке и северо-западе, где они определяются Баджальским и Курским разломами. С южной и юго-восточной стороны район ограничен неровной линией западного борта Среднеамурской впадины.

По материалам Н. Г. Осипова (1960 г.), П. Н. Кошмана (1962 г.) и др., магматические образования района представлены поздненижнемеловыми делленитами и делленитовыми порфиритами мощностью до 500 м, лежащими в основании эффузивного покрова и по составу напоминающими эффузивы холдоминской свиты. На них залегают сенонские дациты, дацитовые порфиры, туфы и лавобрекчи мощностью до 800 м, тесно связанные с гранитоидами. Последние образуют сложные по строению и составу тела, представленные интрузивными дацитами, гранодиорит-порфирами, кварцевыми диорит-порфиритами, гранодиоритами и гранитами. Размещение этих пород контролируется разрывами северо-восточного, отчасти северо-западного направлений. В результате эффузивно-интрузивные образования оказываются вытянутыми узкой полосой вдоль хр. Джаки-Унахта-Якбияна. Лишь на северо-восточном фланге этой магматической полосы, в месте пересечения разломов северо-восточного и северо-западного направлений, наблюдается усложнение формы интрузивов. Характерно, что к этому узловому месту приурочены в основном и известные в районе рудопроявления олова. В районе имеются также проявления ртутной минерализации.

Рудопроявления локализуются среди юрских терригенных, отчасти меловых вулканогенных образований и представлены зонами дробления, несущими кассiterит-сульфидную минерализацию.

Часть района, прилегающая к Мяочанскому оловорудному узлу, покрыта крупномасштабной геологической съемкой и поисками. Степень изученности юго-западной части, которая включает и магматическую зону Джаки-Унакта-Якбияна, значительно ниже. А между тем, наличие значительных механических ореолов рассеяния кассiterита и проявление рудоносных зон указывает на возможность открытия в этой благоприятной геологической обстановке оловорудных концентраций. В связи с этим производство крупномасштабных поисково-съемочных работ на площади эффузивно-интрузивной зоны района и прилегающих к ней окрестностей вполне оправдано.

Урмийский район олово-вольфрамовой минерализации (17). Район расположен на восточной окраине Буреинского массива, включаемой в пределы Хингано-Баджальской области, и занимает обширное пространство бассейнов Тырмы, Урми, Каменушки, Никиты и др. Его площадь ограничена: на востоке и западе — Куканской и Хингано-Буреинской зонами разломов, на севере и юге — Зейско-Урмийской и Бурея-Бирской зонами разломов. Большая часть района, по данным Н. Ф. Смирнова (1959 г.), Ю. Б. Сазанова (1959 г.), С. С. Дарбиняна (1961 г.), М. Г. Золотова (1960 г.), В. В. Бобылева (1962 г.) и др., сложена палеозойскими гранитами и гранодиоритами, среди которых только на отдельных участках сохранились останцы кровли, сложенные протерозойскими метаморфическими породами с послойными телами габбро-диоритов и габбро-амфиболитов. В северной части района эти породы трансгрессивно перекрыты юрскими терригенными и раннемеловыми угленосными осадками тырминской части Буреинского наложенного прогиба.

В меловое время здесь проявилась магматическая деятельность. Однако устойчивое воздымание Урмийского блока привело к тому, что мезозойские эффузивно-интрузивные образования оказались почти на цело эродированными. Сохранившиеся от размыва раннемеловые эффузивы представлены небольшими полями средних по составу пород, иногда в ассоциации с габбро-диоритами и диоритами.

Таким образом, район представляет собой крупный горстовидный блок, разделяющий Баджальский и Хингано-Олонойский вулканогенные районы, которые в прошлом, вероятно, соединялись и представляли единую вулканогенную структуру.

В районе имеются слабые проявления высокотемпературной (помимо, палеозойской) минерализации молибдена и олова и других металлов. Молибденовая минерализация представлена вкрапленностью и кварцево-прожилковыми образованиями в палеозойских гранитах, а оловянная связана с грейзенизованными пегматитами и кварцевыми жилами, отчасти скарнизованными мраморами, образующими ксенолиты в палеозойских гранитах; имеются также слабо оловоносные минерализованные зоны дробления среди небольших полей позднемеловых эффузивов.

Представителем скарнового типа оруденения является Канхойское месторождение. Его слабо оловоносные эпидотовые, эпидот-пироксеновые и эпидот-гранатовые скарны с кварцем, кассите-

ритом, флюоритом, серицитом и различными сульфидами образуют жилообразные и линзовидные тела мощностью до 8 м и длиной до 40 м, с содержанием олова от 0,1 до 0,6%.

Известная в районе редкometальная минерализация связана с жилами грейзенизированных пегматитов, располагающихся как в палеозойских гранитах, так и в кристаллических сланцах кровли. На площади района имеются также небольшие россыпи золота, а также проявления слабой шеелитоносности, связанной со скарнированными породами кровли и с кварцевыми прожилками в палеозойских гранитах.

Таким образом, перспективы рудоносности Урмийского района в целом невелики и определяются, по-видимому, редкметальностью отдельных его участков, отчасти, может быть, сурьмяной и золотортутной минерализацией, локализующейся в пограничной зоне Хингано-Буреинского структурного шва.

Хингано-Олонойский оловорудный район (18). Район располагается в пределах Хинганского блока Буреинского массива, переработанного мезозойскими тектономагматическими процессами. Это один из характернейших для Хинганс-Охотского пояса оловорудных районов, связанных с вулканогенными образованиями. По времени формирования, характеру субстрата (фундамента), структурным особенностям, набору формаций и их мощностям Хингано-Олонойская вулканогенная структура близка аналогичной Баджальской структуре. В связи с этим можно думать, что оба эти района являются частями единого вулканогенного сооружения, разорванного горстовидным поднятием Урмийского блока. В свое время хингано-олонойская часть этого сооружения, как и баджальская, занимала, по-видимому, более обширную площадь, и распространялась от Хингано-Буреинской зоны разломов на западе, до Ку坎ской на востоке. На это указывает и наличие небольших (остаточных) покровов, расположенных восточнее этих районов. Современные же рамки Хингано-Олонойской вулканогенной структуры охватывают небольшую площадь, прилегающую к Хингано-Буреинской шовной зоне разломов. Ее северный фланг обрезается Бурея-Бирским разломом, а южный — Дичунским; юго-западной границей площади вулканитов служит р. Амур.

Площадь Хингано-Олонойского вулканогенного сооружения вытянута в северо-восточном направлении на 90 км при ширине 40 км. Эта структура сформирована на взломанной юго-восточной окраине Буреинского массива, сложенного в основном палеозойскими гранитоидами с реликтами кровли сложно дислоцированного и метаморфизованного протерозоя и раннего палеозоя (рис. 15).

По материалам М. И. и Г. В. Ициксон, М. Г. Золотова, О. Ф. Шипкановой (1954 г., 1957 г.), В. А. Кузьмичева (1953 г., 1954 г.), Н. В. Огнянова (1954 г.), Р. П. Феклович (1952 г., 1954 г.), Ф. Г. Федчина (1963 г., 1964 г.) и др., в истории формирования Хингано-Олонойской вулканогенной структуры намечается (как и на Баджальской) два этапа: баррем-альбский и сеноман-сенонский. Первому

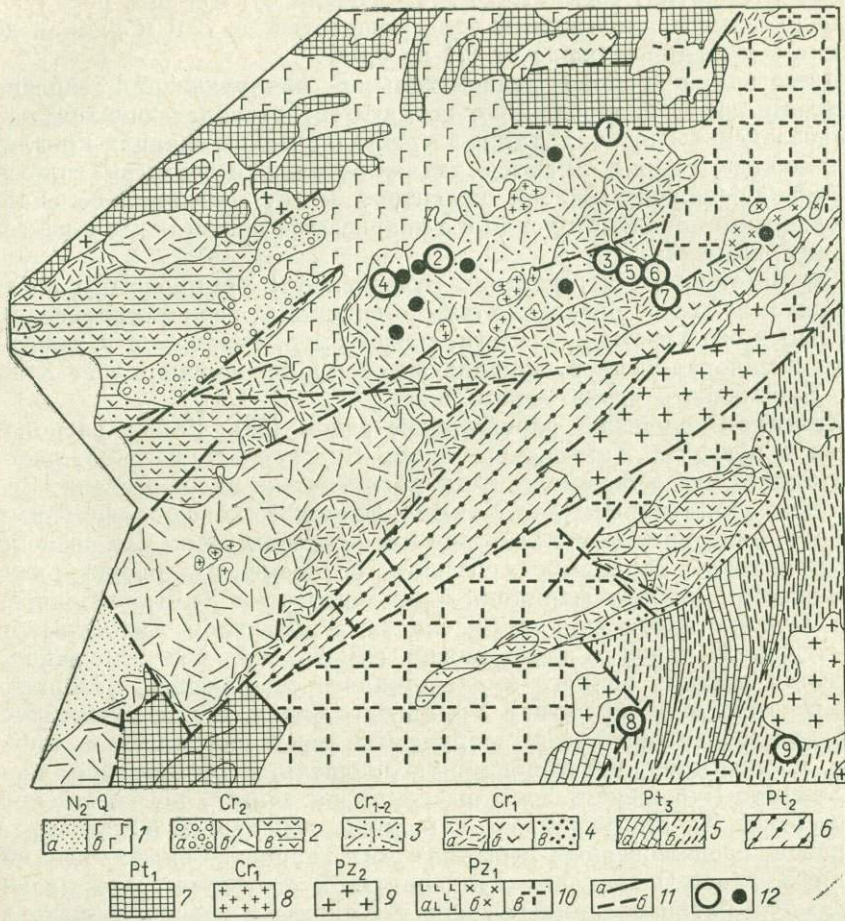


Рис. 15. Схема геологического строения Хингано-Олонецкого рудного района. Составлена по материалам М. Г. Золотова, В. А. Кацковского, Б. И. Бурда и др.

1—*a* — галечники и пески, *b* — базальты и долериты; 2 — *a* — конгломераты, пески, гравелиты, глины (цагаянская свита), *b* — липариты, фельзиты обсидианы, их лавобрекчи, туфы, туфопесчаники (богучанская свита), *c* — конгломераты и гравелиты, песчаники, туфы и алевролиты, 3 — кварцевые порфириты, их туфы и лавобрекчи, туфопесчаники, туфо-конгломераты и туфоалевролиты (обманьская свита); 4 — *a* — фельзиты, фельзит-порфириты и кварцевые порфириты, агломератовые туфы и лавобрекчи кварцевых порфиритов, их туфы (солонечная свита); *b* — порфириты и их туфы, лавобрекчи и туфопесчаники (станолипская свита); *c* — конгломераты и туфопесчаники, алевролиты, углистые аргиллиты и каменные угли, аргиллиты и туфы (каменушинская свита); 5 — *a* — доломиты, известняки, магнезиты, кремнистые, кремнисто-серпентитовые, углисто-глинистые и глинистые сланцы (муранданская свита); *b* — глинисто-серпентитовые, кварц-хлоритовые и углисто-глинистые сланцы, филлиты и рассланцованные песчаники (иггинчинская свита); 6 — графитистые, графит-серпентит-кварцевые и кварцево-слюдистые сланцы и мраморы (союзенская свита); 7 — гнейсы биотитовые и амфибол-биотитовые и кристаллические сланцы — слюдистые, альбит-слюдистые и амфиболитовые, мраморы и кварциты (урильская и тулувчикинская свиты); 8 — гранит-порфириты; 9 — граниты, биотитовые, мусковитовые, двуслойные, турмалиновые; 10 — *a* — габбро и амфиболовое габбро, габбро-амфиболиты; *b* — диориты и габбро-диориты; *c* — граниты микроклиновые порфировидные лейкократовые и биотитовые катаклизированные; 11 — разломы: *a* — установленные, *b* — предполагаемые; 12 — рудопроявления и месторождения: Джалиндинское (1), Хинганское (2), Олонецкое (3), Березовское (4), Карадубское: участок Обещающий (5), участок Верхний (6), участок Нижний (7); Верхнебийджанское (8), Кабалинское (9).

соответствуют существенно вулканогенные, а второму — вулканогенно-осадочные образования, хотя, как отмечают и другие исследователи (Федчин, 1963 г.; Бурдэ, 1966 г.), заметного временного перерыва между ними, по-видимому, не было.

В баррем-альбе, в связи с относительным трансгрессивным опусканием вдоль разломов северо-восточного направления, происходило отложение континентальных терригенно-вулканогенных, слабо угленосных осадков мощностью в 150—800 м (бирская и каменушинская свиты) с одновременным излиянием эфузивов вначале среднего состава мощностью до 150—1000 м (порфиры, андезиты, их лавобрекчи и туфы станолирской свиты), а затем и кислого состава мощностью 600—1200 м (кварцевые порфиры, фельзиты, ортофиры, туфы солнечной свиты). Формирование баррем-альбской части разреза завершилось излиянием кислых лав обманийской свиты мощностью до 700 м. После этого наступил период усиления разломообразования, блоковых перемещений и эксплозивной деятельности, приведших к формированию в основном вулканогенно-осадочных образований мощностью до 200 м (кундуурская свита) со спорадическим и локальным излиянием кислых лав мощностью до 50 м. После небольшого перерыва, примерно на границе сантона и кампана, формирование Хингано-Олонойского сооружения завершилось излиянием риолитов мощностью до 300 м (богучанская свита), перекрытых затем рыхлыми отложениями цагаяна (маастрихт — даний).

Интрузивные образования, синхронные эфузивам баррем-альбского этапа, развиты слабо. Возможно, к ним относятся дайкоподобные и другие мелкие субинтрузивные тела порфиров и кварцевых порфиров, которые встречаются среди эфузивов станолирской и солнечной свит. Более существенно интрузии проявились на границе баррем-альба и сеноман-турона. Их внедрение близко времени излияния кислых лав и связано с моментом усиления движений и трещинообразования, вызвавших не только коробление эфузивного покрова и образование пологих куполовидных и брахиморфных складок, но и разломообразование, контролировавшее интрузивную и гидротермальную деятельность.

По локализации интрузивов и гидротермалитов выявляются две системы господствующих разломов: северо-восточная и близширотная. Характерно, что эти системы разломов служат также и границами Хингано-Олонойского вулканогенного поля. Северо-восточная система разломов, по-видимому, более ранняя. Она отличается большей глубинностью и отвечает направлению главнейших тектонических структур — Хингано-Буреинского и Ку坎ского разломов.

Особенности внутреннего строения Хингано-Олонойской вулканогенной структуры изучались Ф. Г. Федчиным (1963, 1964). Анализируя особенности складчатых и разрывных структур этого района, он отмечает возрастание степени дислоцированности его образований с глубиной, для складчатых — от пологих куполовидных к линейным, а для разрывных — от слабо проявленных пологих до четко выраженных крутопадающих разломов. Кроме того, указывается

на близость во времени и непосредственную связь трещинообразования и складчатости: приуроченность наклонных трещин к куполовидным, а крутопадающим к линейным складкам (Федчин, 1964). В силу этих особенностей разрывная тектоника на площади вулканогенных образований внешне проявлена слабо и восстанавливается лишь по цепочкам интрузивов и зонам гидротермалитов. Судя по расположению цепи интрузивов хингано-олонойского, а восточнее и бутакано-чуркинского интрузивных комплексов, магмоконтролирующими являются близширотные и отчасти северо-восточные разломы и зоны повышенной трещиноватости. Последние отражают, по-видимому, расколы фундамента, залеченные продуктами магмообразования в ходе интрузивной деятельности.

Более поздние исследования (Бурдэ и др., 1966 г.) подтверждают сложную блоковую структуру фундамента Хингано-Олонойского вулканогенного поля и влияние этой структуры на интенсивность, форму проявления и локализацию продуктов магматических и постмагматических процессов. Развитые здесь интрузивные образования (хингано-олонойский интрузивный комплекс) представлены преимущественно субвулканическими слабо эродированными телами, дайками, штоками, лакколитоидными и, как указывает М. И. Ициксон (1955 г.), возможно, многоэтажными залежами, сформированными на глубине 300—400 м.

Они просты по строению и сложены преимущественно гранит-порфирами и кварцевыми порфирами, биотито-роговообманковыми (хинганский тип) и аляскитовыми (кимканский тип) и сопровождаются жильными дериватами — порфиритами и фельзит-порфирами. По петрохимическим свойствам породы близки субщелочным и щелочноземельным гранитоидам, пересыщенным глиноzemом и обедненным магнезией и кальцием; характерно преобладание калия над натрием. В обширном списке обычных аксессориев для них характерны: кассiterит, турмалин, рутил, флюорит, монацит; главнейшие элементы-спутники: бериллий, медь, свинец, иттрий и лантан, а в биотите, наряду с оловом, — бериллий и литий.

Интрузивные массивы сопровождаются ореолами активного ороговикования, автометасоматоза и гидротермального метаморфизма. Как отмечает Б. И. Бурдэ (1966 г.), слабые постмагматические изменения охватывают почти всю площадь северной части вулканогенного поля независимо от интрузивов. Однако более интенсивная метасоматическая переработка пород, рудная минерализация и интрузии проявляются на локальных участках линейной и более сложной формы, связанных с участками площадной пропилитизации. При этом участки пропилитизации и линейные зоны постмагматической, в том числе и рудной минерализации, дорудные дайки порфиритов и интрузивные залежи гранит-порфиров укладываются в пределы крупной близширотной тектонической зоны, на которую указывала и Г. В. Ициксон (1959 г.).

В этой зоне шириной до 10 км располагаются также все месторождения и рудопроявления Хингано-Олонойского района. При этом

они размещаются в пунктах пересечения этой структуры с северо-восточными и близмеридиональными нарушениями. В результате, как отмечает Г. А. Павлов (1967 г.), месторождения Хингано-Олонойского района располагаются по углам приподнятых блоков. В типовом отношении они относятся к кассiterит-силикатному и близким к нему типам. Преобладает малосульфидный тип турмалин-и хлорит-кассiterитового оруденения; имеются проявления риолитовой формации. С хингано-олонойским магматическим комплексом, по-видимому, связана и свинцово-цинковая минерализация, проявленная близ северной рамки района, на территории соседнего Урмийского рудного района (участок ключа Магистрального).

Известные оловорудные месторождения — Хингансое, Карадубское, Олонойское, Джалиндинское и Березовское — располагаются в северной (Олонойской) части района, преимущественно среди риолитов обманийской свиты. Их сравнительная геологическая характеристика дана в табл. 8. Месторождения тесно связаны и друг с другом и с попутными постмагматическими продуктами общей направленностью эволюции гидротермально-метасоматических процессов, которые, начавшись кислотным выщелачиванием, завершались отложением продуктов щелочного метасоматоза.

Каждое месторождение имеет свои отличительные признаки как структурные, так и рудно-формационные. Джалиндинское месторождение представляет собой продукт наиболее высокотемпературной фазы рудообразования, тесно связанный с формированием рудоносной субинтрузии. Олонойское и Карадубское месторождения, связанные с кимканскими гранит-порфирами, оказываются несколько схожими. По минеральному составу они приближаются к промежуточному типу минерализации между кассiterит-кварцевой и кассiterит-силикатной формациями (Г. В. Ициксон и др., 1959). И только Хингансое и Березовское месторождения обладают более или менее устойчивыми чертами кассiterит-силикатного (хлоритового) типа оруденения.

Джалиндинское месторождение относится к риолитовой формации; среди месторождений Малого Хингана оно рассматривается как представитель наиболее высокотемпературного типа минерализации, локализованного в тесной связи с серицитизированными и окварцованными кислыми эффузивами. По данным Г. В. Ициксон и др. (1959), оно представляет собой зону серицит-хлорит-кварцевых, кварцевых и кварц-адуляровых метасоматитов, приуроченных к приповерхностной (крупновкрапленниковой) фации субинтрузивного тела кварцевых порфиров грибообразной формы. Глубина распространения этой фации порфиров составляет всего 25—40 м, что примерно соответствует фактически установленной глубине распространения оруденения (рис. 16).

Простижение рудоносной зоны метасоматитов север-северо-восточное; протяженность до 1 км, мощность варьирует от 80 м на севере до 250—300 м на юге (рис. 17). К участкам кварцевых метасоматитов приурочена наиболее высокая степень оруденения. Форма этих

Характеристика месторождений Хингано-Олонойского района

Таблица 8

Месторождения	Формационный тип	Вмещающие породы	Минеральный состав		Окаторудные изменения
			главные	второстепенные	
Джалиндинское	Риолитовый	Липариты обманийской свиты	Кварц, серицит, деревянистый касситерит	Пирит, флюорит, арсенопирит, самородный висмут, хлорит	Серицитизация, окварцевание
Олонойское а) Центральное рудное тело	Касситерит-кварц-хлоритовый	Липариты обманийской свиты и гранит-порфиры	Кварц, хлорит, сидерофиллит, серицит, касситерит	Каолин, халькопирит, флюорит, магнетит	Хлоритизация, сидерофиллитизация, серицитизация
б) Третье рудное тело	Переходный	То же	Кварц, мусковит, альбит, касситерит	Турмалин, топаз	Грейзенизация
Карадубское а) участок Нижний	Турмалин-касситеритовый (переходный к касситерит-кварцевому)	Туфы, лавобрекчи, фельзо-липариты и андезиты солонечной и станолирской свит	Кварц, хлорит, серицит, турмалин, топаз, касситерит	Арсенопирит, флюорит, сфалерит, галенит, халькопирит, пирит, каолин	Окварцевание, хлоритизация, серицитизация, турмалинизация, топазизация
б) участок Верхний	То же	Липариты обманийской свиты	Кварц, серицит, турмалин, топаз, касситерит	Каолин, флюорит	Грейзенизация
в) участок Обещающий	»	Липариты обманийской свиты, гранит-порфиры	Кварц, серицит, топаз, касситерит	Турмалин, флюорит	То же
Хинганское	Хлорит-касситеритовый	Липариты обманийской свиты и гранит-порфиры, эруптивные брекчи	Кварц, серицит, хлорит, флюорит, касситерит, адуляр	Сидерофиллит, арсенопирит, сфалерит, халькопирит, галенит, пирит, вольфрамит	Хлоритизация, серицитизация, сидерофиллитизация, адularизация
Березовское	Хлорит-касситеритовый	Липариты обманийской свиты	Кварц, серицит, хлорит, флюорит, касситерит	Сфалерит, арсенопирит, халькопирит, галенит, топаз	Серицитизация, хлоритизация, окварцевание

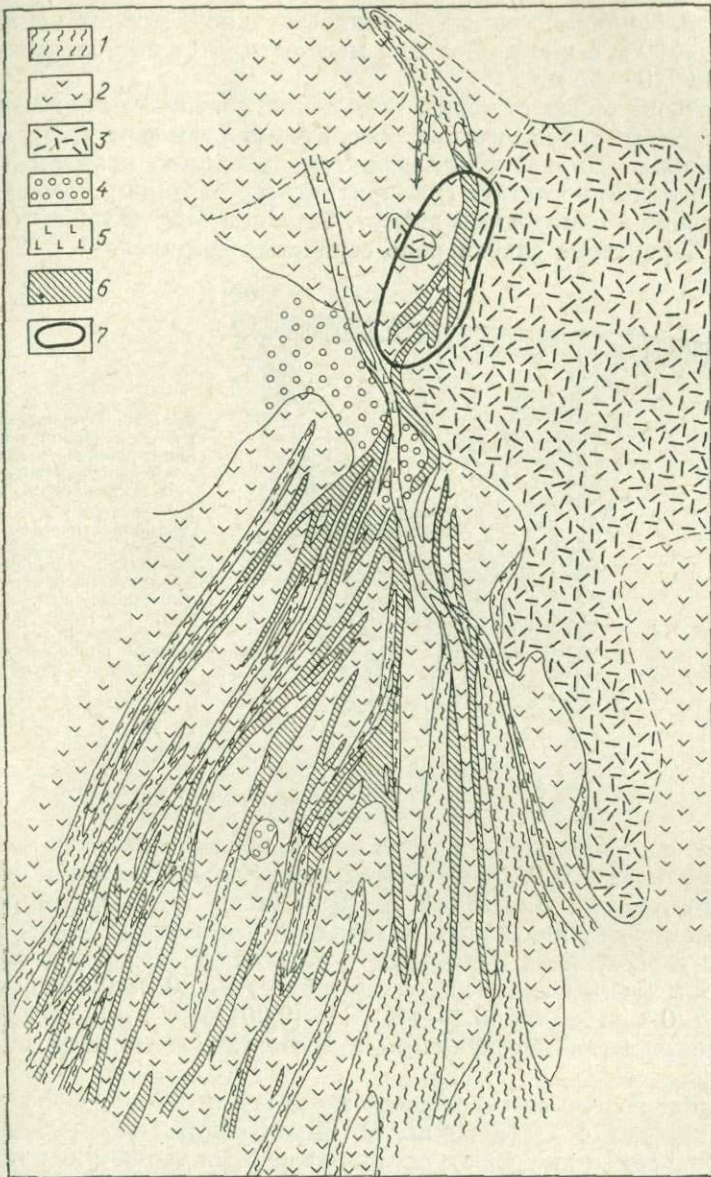


Рис. 16. Схема геологического строения Джалиндинского оловорудного месторождения. По Р. Н. Феклович, 1959 г.

1 — зоны дробления и каолинизации; 2 — кварцевые порфиры; 3 — литокристаллокластические туфы кварцевых порфиров; 4 — туфы кварцевых порфиров; 5 — диабазовые порфириты; 6 — участки серицит-кварцевых и существенно кварцевых метасоматитов; 7 — северная зона оруденения с повышенным содержанием деревянистого кассiterита

участков, представляющих рудные тела, жилообразная, линзовидная и неправильная; их протяженность изменяется от единичных метров до 300 м и иногда более, а мощность — от нескольких сантиметров до 20—25 м.

Кассiterит образует серию небольших линзовидных гнездовых, коркоподобных и фестончатых обособлений размером до 15—30 см в поперечнике. Наряду с кассiterитом, каолином, кварцем и серицитом в рудах присутствуют: хлорит, флюорит, пирит, арсенопирит, реже галенит и самородный висмут, базовисмутин, шеелит, гематит, эпидот. Характерна слабая роль сернистых соединений.

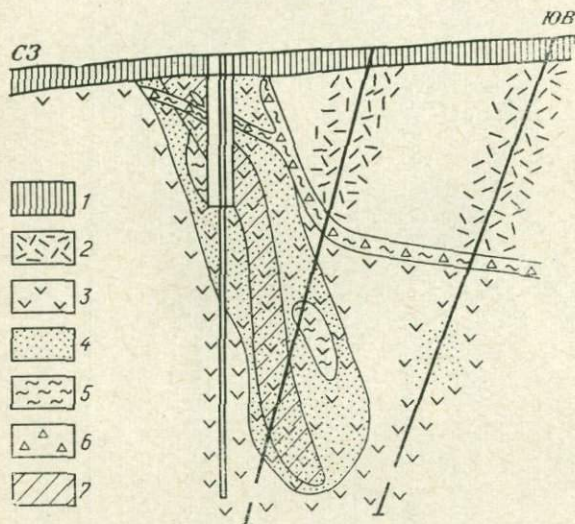


Рис. 17. Геологический разрез по северной части Джакалиндинского оловорудного месторождения. По Р. И. Феклович, 1959 г.

1 — доломит; 2 — литокристаллокластические туфы кварцевых порфиров; 3 — кварцевые порфирь; 4 — зоны окварцевания и серicitизации; 5 — каолинизация; 6 — зона дробления; 7 — рудные породы с гнездовыми скоплениями деревянистого касситерита

В руде постоянно присутствует индий, образующий, как показала Г. Н. Комарова (1960), самостоятельные мышьяковистые и окисные соединения. Среди последних А. Д. Генкин и И. В. Муравьева (1963) установили два новых минерала — гипогененный индит и продукт его гипергенного изменения — джалиндит. В составе касситерита спектральным анализом установлены: Pb (0,2—0,6%), As (1—10%), Sb (0,1—1%), W (0,1—1%), Mo (0,001%) и Ag (до 0,1%). Содержание олова в деревянистом касситерите колеблется от 55,02 до 70,5%.

Джалиндинское месторождение по месту и способу образования имеет сходство с Олонойским и Карадубским месторождениями (Г. В. Ициксон и др., 1959), сформированными также в близповерхностных условиях. Вместе с тем по времени образования оно более раннее, так как рудная минерализация, будучи тесно связанной с экструзией, возникла на ранних стадиях ее кристаллизации и локализовалась в приповерхностной части.

Г. В. Ициксон и др. (1959) Джалиндинское месторождение считают типичным представителем риолитовой формации с ничтожными

запасами и отсутствием перспектив существенного их прироста с глубиной.

Олонойское месторождение приурочено к экструзивной и жерловой фациям вулканических аппаратов (Б. И. Бурдэ, 1966 г.).

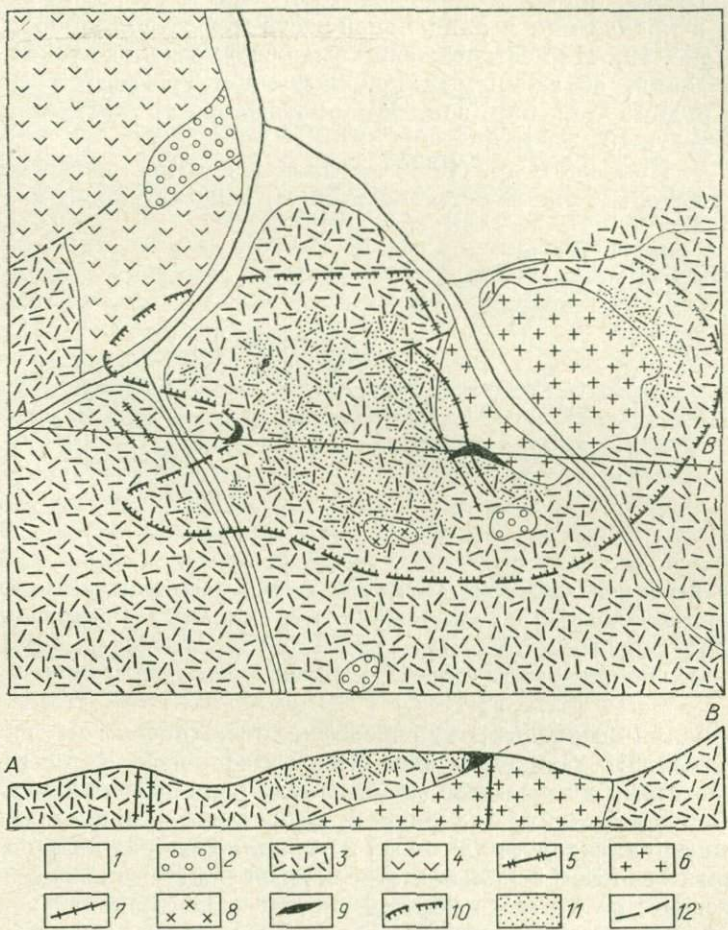


Рис. 18. Схема геологического строения Олонойского оловорудного месторождения. По Н. В. Огнянову, 1954 г.

1 — современные аллювиальные отложения; 2 — литокластические и пелитовые туфы; 3 — туфолавы кварцевых порфиров; 4 — кварцевые порфирь; 5 — цеолитизированные микропойкилитовые порфирь; 6 — гранит-порфирь; 7 — плагиоклазовые порфирь; 8 — интрузивные кварцевые порфирь; 9 — рудные хлорит-сидерофиллитовые кварцевые породы; 10 — ареал топаз- и мусковит-кварцевых грейзенов; 11 — ареал ороговикованных пород; 12 — тектонические нарушения

Оно локализовано в куполовидном вздутии эффузивов, интрудированных штоком гранит-порфиров и дорудными дайками порфиритов и кварцевых порфиров контролируемыми нарушениями северо-западного направления (рис. 18). Этому же направлению следуют

и небольшие минерализованные зоны брекчий. Однако более крупные рудоносные зоны приурочены к северо-восточной системе нарушений, а наибольшая степень рудной минерализации — к местам их пересечения с северо-западными нарушениями. Чаще всего — это зоны, гнезда, линзо- и жилообразные тела метасоматитов, залегающих в кровле или в апикальной части гранит-порфирового интрузива (рис. 19). На месторождении выявлено несколько таких рудных обособлений, объединяемых под названием Третьего и Центрального рудных тел или зон. Их протяженность достигает 200 м, а мощность 20—25 м.

Г. В. Ициксон и др. (1959) на Олонойском месторождении выделяют несколько типов метасоматитов: а) топаз-мусковит-кварцевый,

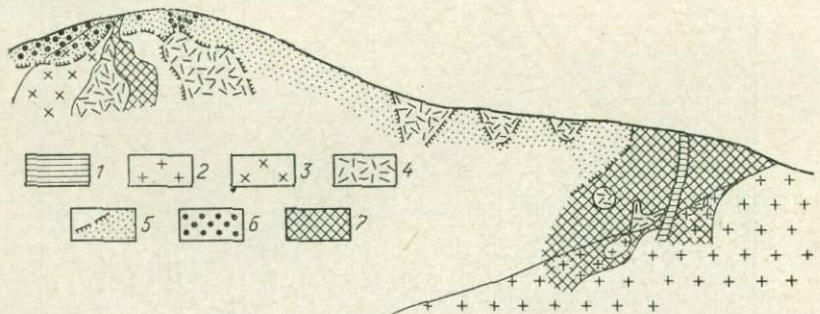


Рис. 19. Разрез через Олонойское оловорудное месторождение. Н. В. Огнянову, 1954 г.
1 — дайка цеолитизированных микропойкилитовых порфиров; 2 — гранит-порфиры; 3 — интрузивные кварцевые порфириты; 4 — ороговиковые туфоловы; 5 — ореол грейзенизированных пород с минерализацией топаза и андалузита; 6 — топаз-мусковит-кварцевые грейзены; 7 — сидерофиллит-хлорит-кварцевые рудные породы

б) турмалин-кварцевый, в) сидерофиллит-кварцевый и г) хлорит-кварцевый. Последние два оловоносны и сопровождаются гематитом и магнетитом. В их составе значительная роль принадлежит силикатам — сидерофиллиту, хлориту и турмалину, чем и определяются два типа руд: сидерофиллитовый и турмалин-хлорит-кварцевый. Метасоматиты имеют зональное строение: внешняя зона сидерофиллит-кварцевая с реликтами исходной породы, а центральная характеризуется сочетанием различного типа метасоматитов, с участием щелочных полевых шпатов и цеолитов.

Содержание олова в рудных метасоматитах крайне неравномерное и варьирует от «ураганных» до обычных и в среднем не превышает 0,34%. Наряду с оловом в рудах установлены: молибден, висмут и ряд редкometальных элементов.

К а р а д у б ск о е месторождение, по материалам О. Ф. Шишкановой (1958 г.), состоит из нескольких участков (Нижний, Верхний и Обещающий), являющихся частями единой зоны дробления и минерализации в эффузивах. Простирание зоны северо-западное, протяженность около 10 км. Участки представляют собой узлы наи-

более интенсивных гидротермальных изменений и оруденения. Они сложены оловоносными мусковит-кварцевыми, топаз-кварцевыми, турмалин-кварцевыми и существенно кварцевыми метасоматитами. Вмещающие эфузивы пронизаны системой (дорудных даек порфиритов, фельзит-порфиров и кварцевых порфиров северо-западного простирания и интрудированы штоком обманийских гранит-порфиров.

Наиболее важен Нижний участок месторождения, представляющий отрезок Карадубской рудоносной структуры, длиной около 800 м и шириной от 200 до 400 м (рис. 20). Он включает пять зон гидротермально измененных и минерализованных пород, из которых наиболее существенно только одна Западная. В зонах выделяются участки с повышенным содержанием кассiterита, которые именуются рудными телами. В составе рудных тел присутствуют: тонковкрашенный кассiterит, кварц, серицит, топаз и турмалин, в меньшей мере — флюорит, каолин и сульфиды (арсенопирит, сфалерит, галенит, пирит, халькопирит, пирротин, висмутин, валлерит, кубанит и др.). Иногда присутствует вольфрамит.

По размерам, форме и содержанию олова рудные тела очень изменчивы. В зоне Западной, например, более богатое оруденение, как и мощность рудных тел, наблюдаются в ее приповерхностной части; на глубину 30—60 м эти параметры резко уменьшаются. Самые высокие содержания олова тяготеют к туфам, представляющим кровлю горизонта лавобрекчий фельзит-порфиров. В строении рудных тел различают несколько разновидностей метасоматитов. В рудных телах осевой части зоны преобладают топаз-кварцевые метасоматиты; к периферии они сменяются серицит-кварцевыми метасоматитами, а затем интенсивно окварцованными и серицитизированными эфузивами. Параллельно с затуханием метасоматоза снижается и интенсивность рудной минерализации. Наибольшие содержания олова соответствуют участкам развития топаз-кварцевых пород.

Хинганское месторождение, по материалам Г. А. Павлова, Ю. А. Афонина, Н. П. Емельянова и др., залегает среди липаритов обманийской свиты, интрудированных силлообразной залежью гранит-порфиров, погружающейся к северо-востоку (рис. 21 и 22). Мощность силловой залежи изменяется от 400 м на северо-востоке и 200—250 м в центральной части рудного поля до 50 м на юге. Залежь, имея плоскую форму и небольшие в плане размеры (3×5 км), почти горизонтальна и вытянута в близширотном направлении. В восточной части рудного поля она рассечена близмеридиональной дайкой порфиритов.

Таким образом, на месторождении до глубины 300 м оруденение располагается в гранит-порфирах, а ниже — в липаритах (см. рис. 22). Гранит-порфириты хлоритизированы и серицитизированы, а в центральной части рудного поля брекчированы. Образующиеся за их счет серицит-хлорит-кварцевые метасоматиты особенно интенсивны на участках оруденения и образуют «чехлы» вокруг рудных тел. Максимальная глубина оруденения, установленная бурением, составляет 870 м.

Буровыми работами в юго-западной части месторождения надежно обосновано наличие в липаритах залежей гранит-порфиров на глубине 320—380 м ниже их контакта с приповерхностной силловой залежью. Они также гигантопорфировые, брекчированные и хлоритизированные, нередко превращены в хлорит-серicit-кварцевую породу, со-

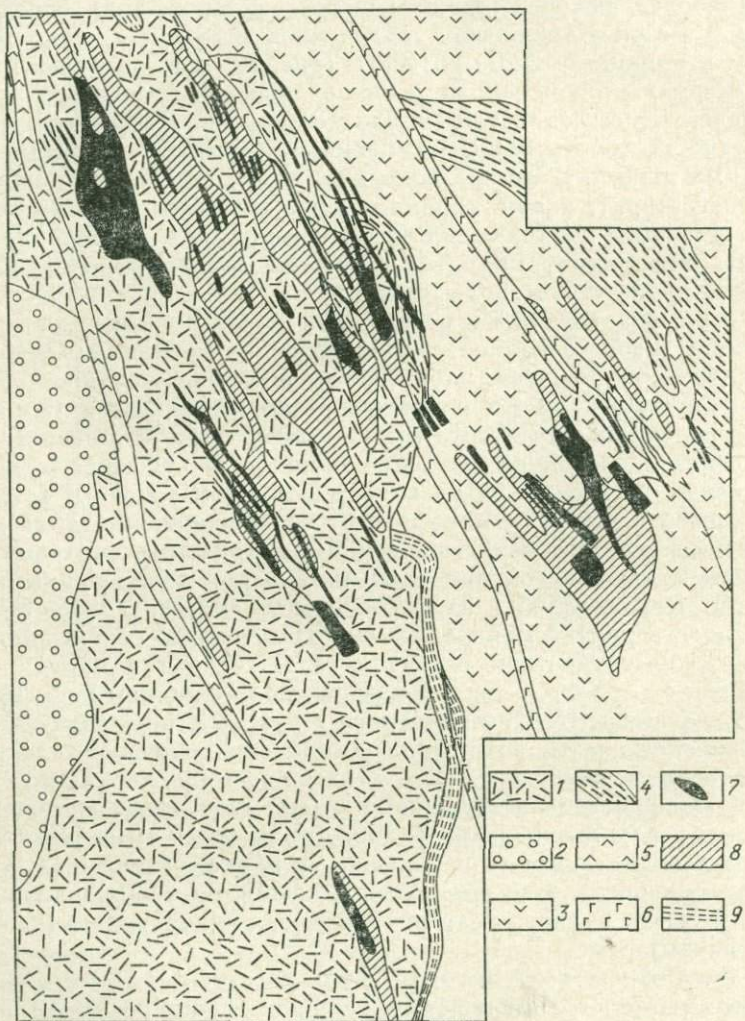


Рис. 20. Схема геологического строения участка НижнегоКарадубского оловорудного месторождения. По О. Ф. Шишкановой, 1966 г.

1 — переслаивание лавобрекчий, фельзит-порфиров, агломеративных туфов, кристалло-кластических и пелитовых туфов; 2 — сферолитовые порфиры; 3 — кварцевые порфиры; 4 — лавобрекчики порфиритов; 5 — дайки плагиоклазовых порфиритов; 6 — дайки диабазовых порфиритов; 7 — рудные тела; 8 — гидротермально измененные породы; 9 — текtonические нарушения и зоны дробления

держащую прожилково-вкрапленную преимущественно сульфидную минерализацию. В этом заключается принципиальное подтверждение существующей точки зрения на наличие глубинных залежей гранит-порфиров и оловянного оруденения (Г. В. Ициксон и др., 1959).

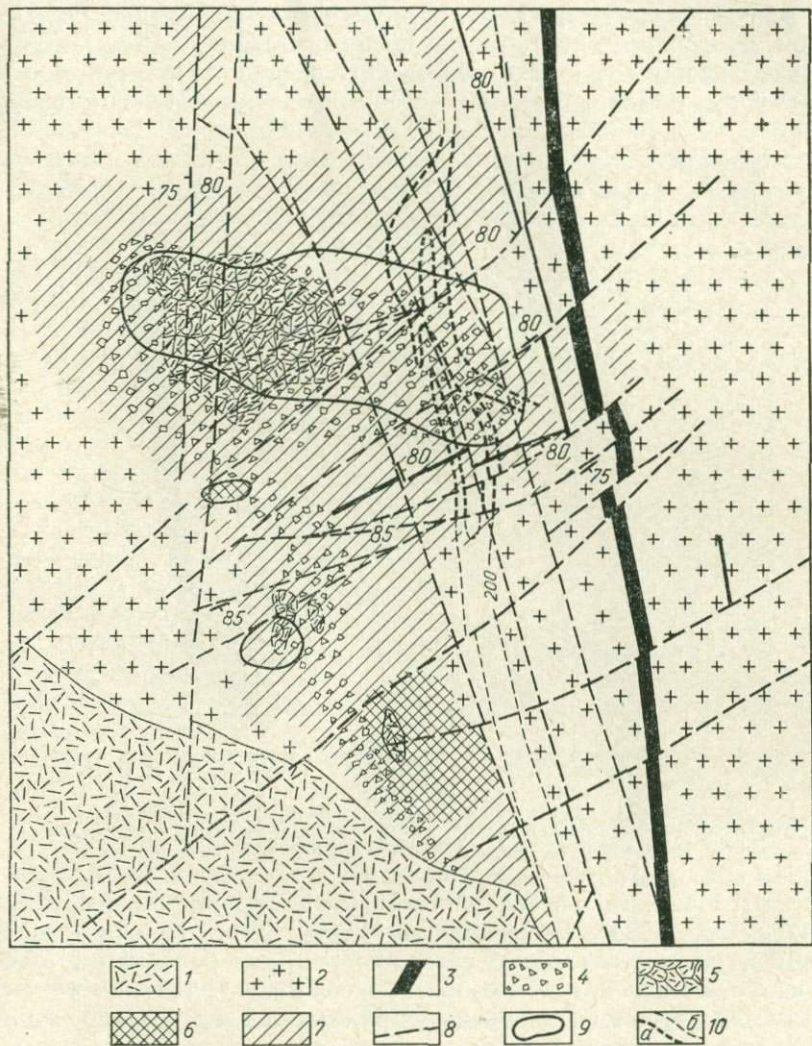


Рис. 21. Схема геологического строения центральной части Хинганского оловорудного месторождения. По Ю. А. Афонину, А. А. Иванову и Н. Н. Никулину, 1967 г.

1 — липариты; 2 — гранит-порфиры; 3 — порfirиты; 4 — эруптивные брекчии; 5 — брекчированные липариты; 6 — железисто-щелочные липариты; 7 — хлорит-кварцевые и серпентит-кварцевые метасоматиты; 8 — тектонические нарушения; 9 — контуры рудных тел; 10 — контуры промышленных рудных тел (а — установленные, б — предполагаемые)

Площадь Хинганского рудного поля представляет собой участок Хингано-Олонойской вулканогенной зоны, располагающейся на пересечении близширотных и северо-восточных разломов и отличающейся максимальной мощностью вулканогенных образований. Последние отличаются повышенным кларком олова по сравнению с аналогичными породами вне площади рудного поля. Главной рудоподводящей структурой Ю. А. Афонин считает близмеридиональный разлом, контролирующий крутопадающую к западу дайку порфириев, рассекающую гранит-порфиры. Оруденение локализуется в висячем боку дайки (разлома). Непосредственно рудовмещающие

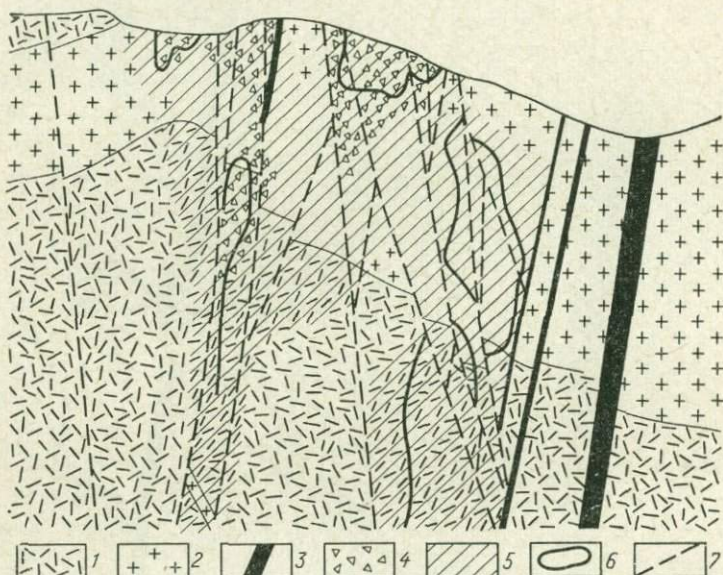


Рис. 22. Геологический разрез через центральную часть Хинганского олово-рудного месторождения. По Ю. А. Афонину, А. А. Иванову и Н. Н. Никулину, 1967 г.

1 — липариты; 2 — гранит-порфирь; 3 — порфиры; 4 — брекчии; 5 — серицит-хлорит-кварцевые и серицит-кварцевые метасоматиты; 6 — контуры рудных тел; 7 — тектонические нарушения

структуры имеют также близмеридиональное простирание и падают в сторону рудоподводящего канала. Причем вдоль рудовмещающих разломов, на пересечении с северо-восточными разломами, имеют место ступенчатые и грабенообразные опускания. На таких участках замечено групповое размещение рудных тел и в целом более интенсивное оруденение.

В настоящее время на месторождении выявлено 14 рудных тел или зон: Первая, Вторая, Вторая-Глубокая, Третья, Переальная, Южная, Буровая, Глубинная, Загадочная, Северная, Северная-Глубинная, Дальняя, Юбилейная, Южная-Глубинная. Их контуры устанавливаются по бортовому содержанию олова в 0,1% и, следова-

тельно, условны, что особенно характерно для верхних горизонтов месторождения (зоны Первая, Третья, Переальная). На более глубоких горизонтах контуры зон практически совпадают с границами брекчий (Южная, Юбилейная и др.). Форма рудных зон большей частью трубообразная, иногда уплощенная (Первая, Вторая) или гнездообразная (Загадочная). Размеры зон крайне различны; оруденение неравномерное; содержание олова колеблется от 0,1 до нескольких десятков процентов.

По данным Ю. А. Афонина (1968 г.), в минеральном составе руд ведущая роль принадлежит кварцу и хлориту (тиорингиту), флюориту и кассiterиту. Второстепенное значение имеют серицит и каолинит, арсенопирит, сфалерит, халькопирит и вольфрамит. В качестве незначительных примесей присутствуют: адуляр, альбит, гидромусковит, лёллингит, галенит, станин, пирит, гематит. Таким образом, характерными чертами минерального состава руд месторождения Ю. А. Афонин считает: малую роль сульфидов и сульфосолей; высокую железистость хлорита; наличие, наряду с кассiterитом, станина и Sn-Fe-Cu-Zn-содержащего сульфида — хинганита; преобладание сульфаарсенидов при резко подчиненном значении дисульфидов железа; исключительно высокая роль флюорита; наличие щелочного парагенезиса — адуляра и гидромусковита, а в измененных породах — сидерофиллита и эгирина; отсутствие топаза и турмалина и ничтожная роль карбонатов. По мнению этого исследователя, сульфиды, при всей незначительности их роли в составе руд, более характерны для верхних горизонтов месторождения. В целом качественный минеральный состав руд стабилен. Изменяются лишь количественные соотношения минералов.

Наиболее характерные текстуры руд — прожилковая, штокверковая, брекчевая и брекчиивидная. Состав прожилков чаще всего кассiterит-хлорит-кварцевый и кассiterит-флюоритовый; арсенопирит-сфалеритовый; сфалерит-халькопиритовый; хлорит-кварцевый и кварц-флюоритовый.

Месторождение сформировано на небольшой глубине и является примером «одноактного» образования. Здесь не установлено ни стадий минерализации, ни признаков пострудного метаморфизма (Г. В. Ициксон и др., 1959). Вместе с тем в строении рудных зон устанавливаются явные признаки гидротермально-метасоматической горизонтальной зональности.

Центральная часть рудных зон, представленная рудными брекчиями с кассiterит-хлорит-кварцевым и кассiterит-флюоритовыми парагенезисами, по мере удаления сменяется хлорит-серицит-кварцевой породой (по гранит-порфирам и липаритам), а затем хлоритизированными и неизмененными породами. Вертикальная зональность оруденения практически отсутствует. Последнее при значительной фактической глубинности оруденения (870 м) и отсутствии литологического контроля оруденения представляется важным положительным фактором оценки характеризуемого месторождения. В соответствии с материалами Ю. А. Афонина это позволяет рассчитывать на

благоприятные перспективы, во всяком случае до уровня предполагаемого сочленения рудоконтролирующих разломов и рудоподводящего канала, т. е. до горизонтов 200—450 м. Более перспективен южный слабо еще разведанный фланг месторождения на продолжении рудных зон Северной, Северной-Глубинной, Южной и Дальней.

Березовское месторождение располагается в 8 км юго-западнее Хинганского в аналогичной геологической обстановке. По материалам А. А. Иванова, М. Н. Старовойтова, Г. А. Павлова, Н. П. Емельянова и др., месторождение размещается среди липаритов обманийской свиты, интрузированных пологопадающим к северо-востоку пластиобразным телом гранит-порфиров хинганского типа. Последние, однако, в отличие от Хинганского месторождения располагаются вне рудного поля.

В структурно-тектоническом плане участок месторождения представляет собой относительно приподнятый блок, характеризующийся различно ориентированными системами разломов. Месторождение располагается на сочленении близмеридиональной, северо-восточной и северо-западной систем разломов. Главными рудоконтролирующими структурами являются разломы северо-восточного направления. Подчиненное им оруденение представлено существенно кварцевыми метасоматитами, характеризующимися прожилково-вкрашенным оруденением. Рудные метасоматиты имеют нечеткие ограничения они окаймляются разнообразными метасоматитами — серицит- и хлорит-кварцевыми, хлорит-сериицит-кварцевыми, реже топаз-кварцевыми и гидрослюдисто-топаз-кварцевыми, переходящими в неизмененные липариты. В связи с этим их контуры условны.

На месторождении выявлены и разведываются несколько рудных зон: Обещающая, Малютка, Бархатная и др. Зона Обещающая прослежена свыше 1600 м при мощности от 20 до 150 м. В северо-западном направлении и под углом к ней располагается зона Малютка протяженностью до 900 м и мощностью от 6 до 20 м. Зона Бархатная характеризуется меньшими параметрами. В зонах оконтурены рудные тела длиной до нескольких сотен метров и мощностью до 1,5 и более метров. Оруденение неравномерное, преимущественно прожилково-вкрашенное. Морфология рудных тел сложная. Глубина распространения оруденения достигает более 400 м.

Руды малосульфидные, тонковкрашенные. В их формировании намечаются две стадии: ранняя — метасоматическая кассiterит-кварцевая (с вольфрамитом и шеелитом) и поздняя — существенно сульфидная стадия жильного выполнения. Последняя накладывается не только на продукты ранней, но распространяется и на вмещающие породы, что, вероятно, связано со вспышкой трещинообразования.

Судя по наличию протяженных и хорошо проработанных рудовмещающих структур, сравнительному постоянству мощностей рудных тел и содержаний в них олова с глубиной, как и величин зерен кассiterита и его агрегатов, месторождение отличается, по-видимому, значительной глубинностью.

Богучано-Солокачинская сурьмяно-рутутная зона (19). Представ-

вляет собой наиболее подвижную часть Хингано-Буреинского структурного шва. Последний отчленяет переработанную в мезозое юго-восточную часть Буреинского массива (Хинганский блок), входящую в состав Хингано-Баджальской оловоносной области, от Туранского блока. Вместе с тем эта зона является юго-восточным флангом золотопрутного полукольца, окаймляющего Буреинский срединный массив с севера и востока. Это узкая линейная зона северо-восточного простирания, прослеживающаяся от р. Амур на юго-западе до бассейна р. Гуджал на северо-востоке; к северу и северо-западу сочленяется с аналогичной же Джагдинской зоной. Зона контролирует проявление неоген-антропогенного базальтоидного магматизма, что свидетельствует об оживлении ее в кайнозое.

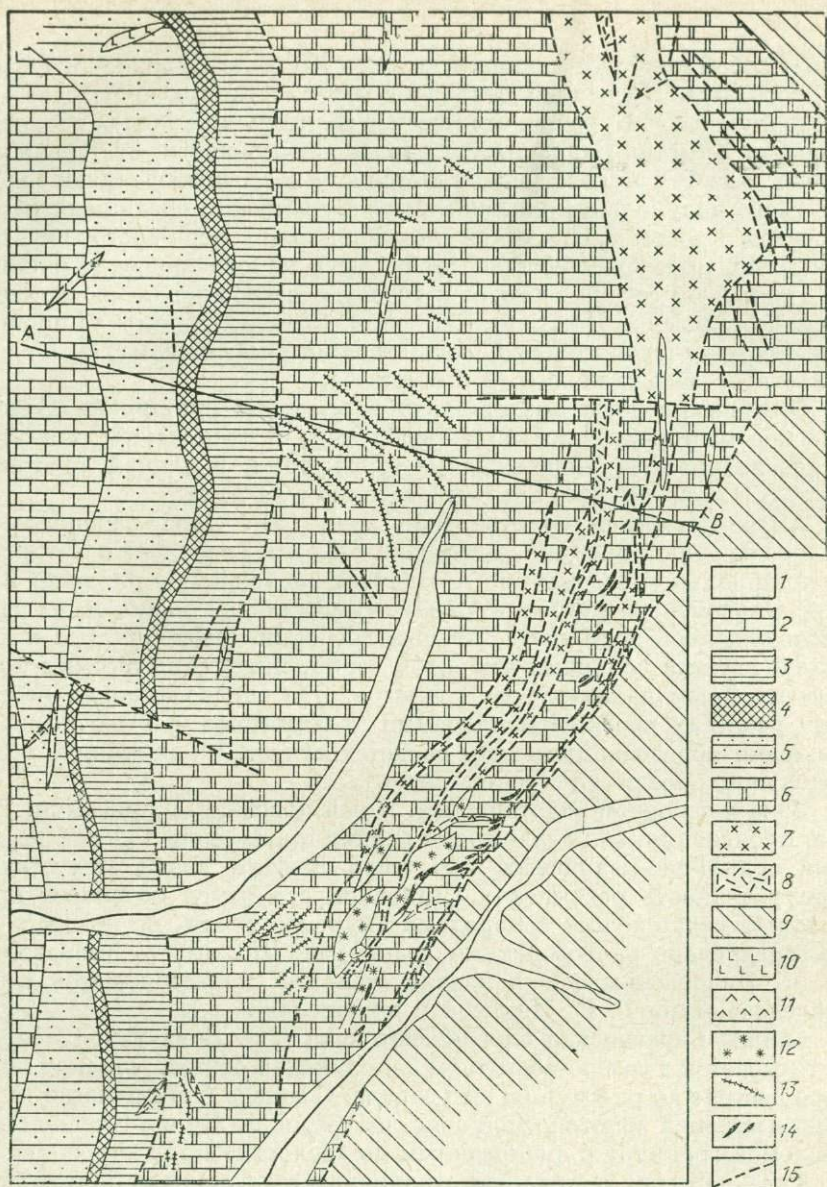
Оруденение зоны представлено в основном сурьмянкой (Солокачинское месторождение), в меньшей мере ртутной минерализацией (Александровское, Иорекское месторождения) и слабой золотоносностью. Связь оруденения с магматизмом не ясна.

Амуро-Сутарская золотоносная зона (20). Зона располагается на юго-западной окраине Хинганского блока, совпадает с Сутарской антиклинальной структурой и отделяет оловоносную площадь Хингано-Олонойского района от Самаро-Бираканской оловоносной зоны, расположенной восточнее. Сложена гнейсами, амфиболитами и кристаллическими сланцами амурской серии, интрузированными крупным массивом палеозойских гранитов. Эти образования на небольших участках перекрыты меловыми вулканитами и более поздними рыхлыми образованиями, что свидетельствует, по-видимому, о значительной эрозии Сутарской структуры.

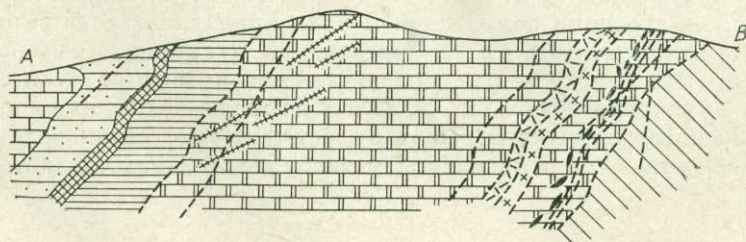
Зона в основном золотоносная. В ней преобладают россыпи. Рудные проявления, за исключением редких проявлений золотосодержащих сульфидно-кварцевых жил (гора Лысая), почти отсутствуют. Приуроченность россыпей к Сутарской структуре позволяет предполагать связь золота с породами амурской серии, из которых оно экстрагировано палеозойскими гранитами. Эта мысль, высказанная П. К. Яворовским еще в начале столетия, подтверждается также исследованиями Г. В. Ициксона и других (1964 г.).

Самаро-Бираканская оловоносная зона (21). Зона узкой полосой вытягивается в северо-восточном направлении от пос. Биракан на северо-востоке до р. Амур на юго-западе. С запада она прилегает к Сутаро-Амурской золотоносной зоне, на севере по Бурея-Бирской зоне разломов граничит с аналогичным по геологическому строению Урмийским районом, а с востока ограничивается западным бортом Среднеамурской депрессии.

По материалам С. Г. Золотова (1959 г.) и Л. В. Эйриша (1964 г., 1965 г.), в строении зоны главная роль принадлежит палеозойским гранитам и реликтам их протерозойской и синийско-кембрийской кровли. Располагаясь на переработанном в мезозое Хинганском блоке Буреинского массива, зона тем не менее бедна проявлениями мезозойского магматизма. Поэтому установление связи эндогенной рудоносности зоны с магматизмом затруднено. Представляется, что



РАЗРЕЗ ПО А-В



это более или менее стабилизированный и слабо эродированный участок Буреинского массива, так как на его территории сохранились наиболее крупные по площади остатки кровли палеозойских интрузий. Они представлены как протерозойскими осадками, метаморфизованными в амфиболитовой, местами гранулитовой фациях, так и синийско-кембрийскими терригенно-карбонатными образованиями, содержащими в верхах продуктивные кремнисто-марганцево-железоносные фации, включающие известные железо- и марганцеворудные месторождения Малого Хингана.

Характеризуя рудоносность Самаро-Бираканской зоны, мы опускаем подробную характеристику марганцево-железорудных осадочно-метаморфогенных месторождений. Отметим лишь, что они подчинены нижнекембрийской рудоносной свите, сложенной породами терригенного и кремнисто-терригенного, отчасти вулканогенного, углистого и карбонатного состава и образуют крупную субмеридиональную рудную полосу протяженностью до 150 км, разорванную Биджанской интрузией на две части: Северохинганскую и Южнохинганскую. В пределах этой полосы выявлено около 50 марганцево-и железорудных рудопроявлений и месторождений. В Северохинганской части преобладают железорудные месторождения, представленные гематитовыми, гематит-магнетитовыми полосчатыми железистыми кварцитами, залегающими в средней части рудоносной свиты, а в Южнохинганской — более продуктивны марганцевоносные фации, залегающие в лежачем боку железорудного горизонта и характеризующиеся преимущественно браунит-гаусманитовыми рудами.

Из эндогенной минерализации наиболее устойчива в пределах зоны редкометальная, связанная с пегматитами палеозойских гранитов, которые в той или иной мере подверглись последующей гидротермально-пневматолитовой переработке. В. А. Махинин (1959 г.) выделяет два генетических типа редкометальных пегматитовых полей: а) значительные по масштабам, интенсивно замещенные пегматиты (Дитурское месторождение) и б) менее перспективные пегматиты блоковой структуры (Лондоковское месторождение и др.).

Проявления оловянной минерализации представлены Верхнебиджанским и Кабалинским месторождениями.

Верхнебиджанско-месторождение, по данным Н. В. Огнянова и Т. П. Огняновой (1956 г.), локализуется в северо-восточной зоне крутопадающего разлома и гидротермальных изменений среди доломитов мурандавской свиты (рис. 23). На месторождении

Рис. 23. Схема геологического строения Верхнебиджанского оловорудного месторождения
По Н. В. Огнянову, 1956 г.

1 — аллювиальные отложения; 2 — известняки (лондоковская свита); 3 — роговики и глинистые кварц-серicitовые сланцы с прослойками карбонатных пород (подрудный горизонт); 4 — железистые кварциты (рудный горизонт); 5 — глинисто-серicitовые сланцы, доломиты и седиментационные брекции (надрудный горизонт); 6 — доломиты и доломитизированные известняки с прослойками полосчатых доломитов; 7 — кварцевые порфирь, фельзиты и их туфы; 8 — туфы крупнообломочные; 9 — филлиты и слюдистые сланцы; 10 — диабазовые порфириты; 11 — лампрофирь; 12 — доломиты откалькованные и окварцованные; 13 — доломиты дробленые магнетитизированные и гематитизированные; 14 — оловеноносные сульфидные руды (массивные, вкрапленные); 15 — тектонические нарушения

выявлены четыре рудоносные зоны: Крестовая, Тальковая, Сбросовая и Магнетитовая. Рудные тела в зонах имеют форму небольших линз и гнезд, сложенных окварцованными и оталькованными доломитами, обогащенными магнетитом. Мощность линз варьирует от 0,4 до 10 м, а протяженность по простиранию от 10 до 80 м, в среднем составляя 25—30 м. Состав рудной минерализации в зонах неодинаков: зона Крестовая в основном кассiterит-арсенопирит-пиритовая, в Магнетитовой зоне ведущие минералы — кассiterит и магнетит, а Сбросовая зона отличается смешанной минерализацией, свойственной Крестовой и Магнетитовой. На месторождении намечаются три типа оловянных руд: арсенопирит-буланжеритовый, арсенопирит-пиритовый, магнетит-гематитовый.

Наиболее значительна по размерам и степени оруденения зона Крестовая, достигающая 1200 м по протяженности при мощности от 10 до 50 м. Ее падение северо-западное, крутое. В зоне выявлено около 50 рудных линз, концентрирующих оловянное (арсенопирит-буланжеритовое) оруденение. В составе руд буланжерит и арсенопирит, слагающие до 90% рудной массы; им сопутствуют; кассiterит, блеклые руды (фрейбергит), висмутин, пирит, иногда халькоцирцит и сфалерит. Кварц является основным жильным минералом, но иногда присутствуют кальцит, сидерит и тальк, изредка пренит. Содержание олова в рудных линзах зоны Крестовой колеблется от сотых долей до 7,08%, среднее значение для отдельных линз варьирует от 0,13% до 3,82%, а в целом для зоны составляет 0,93%. Наряду с этим в рудах содержится (в среднем) до 6% Pb, до 3,67% Sb, до 2,78% Ag и до 0,14% Bi.

Близко описанному Кабалинское месторождение, которое, по данным Н. В. Огнянова (1956 г.), представлено крупными зонами минерализации на контакте палеозойских турмалиновых интенсивно грейзенизованных гранитов с доломитами и сланцами. Простижение зон северо-западное и субширотное, протяженность 500—600 м, а мощность колеблется от 1 до 22 м. По типу оруденения близок Верхнебиджанскому месторождению. Среднее содержание олова колеблется от 0,16 до 1,48%. Месторождение мелкое и, по-видимому, без перспектив на расширение.

Рудные районы Ниланского антиклиниория. Субширотная структура Ниланского антиклиниория своеобразна и заслуживает особого внимания. Она разделяет две различные в структурном и металлогеническом отношении области Хингано-Охотского пояса — Хингано-Баджальскую оловянную и Приохотскую золотоносную. Это обстоятельство обусловило двойственный характер этой структуры, выражющийся в наличии черт, свойственных обеим из разделяемых ею рудоносных областей.

Осевая часть антиклиниория сложена протерозойскими геосинклинальными золотоносными формациями, представляющими собой выступы фундамента сихотэалинских складчатых образований. Причем, будучи ограниченной системой глубинных разломов — Ниланского (с юга) и Кербинского (с севера), — осевая зона антиклиниория уже

в раннем мезозое существовала в форме четко обособленного горсто-видного сооружения, контролировавшего проявление мезозойского рудоносного магматизма. Крылья антиклиниория сложены палеозойскими раннегеосинклинальными (девон, карбон) и позднегеосинклинальными терригенными (пермь — триас) формациями.

Располагаясь в зоне Хингано-Охотского пояса позднемезозойских блоково-глыбовых дислокаций и магматизма, Ниланский антиклиниорий разломами двух систем, близширотной (монгол-охотской) и субмеридиональной (сихотэалинской), оказался разбитым на ряд блоков. Это обусловило мозаичную структуру и высокую проницаемость зоны, приведшую к вспышке позднемелового магматизма и оловоносности в близширотной зоне хр. Эзоп и на прилегающих к нему площадях Приохотской золотоносной области. Дифференцированный характер последующих движений блоков вдоль ограничивающих их разломов привел к различной величине их эрозии, что наряду с различиями возраста и состава пород, слагающих блоки, а также характера оруденения обусловило и разнообразие рудноформационных особенностей.

Таким образом, разделяя две различные по характеру оруденения области, Ниланский антиклиниорий представляет собой как бы переходную зону, характеризующуюся и золотым, и оловянным оруденением. Она включает Верхнеселемджинский, Софийский и Кербинский золотоносные блоки (районы), представляющие, по-видимому, реликты единой (домезозойской) золотоносной структуры, а также участки меловой тектономагматической переработки, сопровождающиеся интрузиями меловых гранитов и оловоносностью и слагающие, например, Эзопскую оловоносную зону. Кроме последней, к характеризуемой группе районов относятся Софийский и Кербинский районы; сюда же, по-видимому, следует отнести и Дукинский оловоносный район.

Эзопская оловоносная зона (7). Зона охватывает орографическую область хр. Эхоп. Это субширотная вулканогенно-интрузивная существенно оловоносная структура, контролируемая системой в основном близширотных разломов, заleckенных меловыми магматическими образованиями. Ее протяженность около 130 км. Площадь зоны покрыта крупномасштабной геологической съемкой (С. Ф. Усенко и др., 1955 г., 1956 г., 1957 г.); проведено специальное изучение петрологии эзопских оловоносных гранитоидов (Г. Т. Татаринов, 1957 г., 1958 г.) и вещественного состава руд месторождений (В. К. Рябов, 1960 г.); на отдельных участках и месторождениях осуществлены поисковые и разведочные работы (А. Ф. Баранов, 1952 г.; Е. Я. Шапошников и И. П. Бойко, 1956 г.).

Вулканогенно-интрузивная Эзопская зона сформирована на позднепалеозойском субстрате (рис. 24). Слагающий ее комплекс эфузивных пород, подобно большинству вулканогенных покровов, имеет двухъярусное строение. Нижний ярус, мощностью до 350 м, представлен в основном средними эфузивами, а верхний, более мощный (свыше 1000 м), — сложен породами кислого состава, среди которых

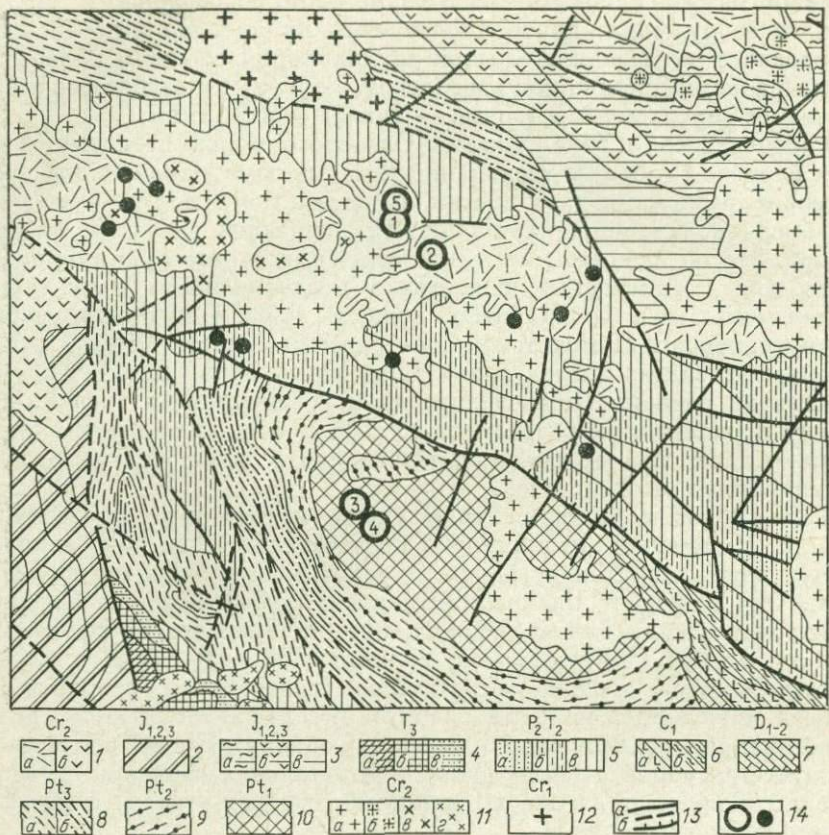


Рис. 24. Схема геологического строения Эзопской оловоносной зоны и Софийского золотоносного района. Составлена по материалам В. В. Гольц, Э. П. Хохлова, С. Ф. Усенко, Р. М. Тонояна и др.

1 — а — кварцевые порфиры, их туфы и лавобрекчи, фельзиты, б — андезиты, порфиры, их лавобрекчи и туфы; 2 — песчаники аркозовые и полимиктовые, алевролиты, гравелиты, конгломераты, аргиллиты (эльгинская, эпиканская, умальтинская свиты); 3 — а — песчаники, глинистые сланцы, гравелиты, конгломераты, седиментационные брекчи (будюрская свита); б — песчаники, алевролиты, глинистые и кремнисто-глинистые сланцы, гравелиты, седиментационные брекчи (хурбинская свита); в — глинистые сланцы, алевролиты, песчаники, полимиктовые и тuffогенные с прослоями глинистых и кремнисто-глинистых сланцев, алевролитов, конгломератов, гравелитов и седиментационных брекчи (ульбинская свита); 4 — а — ритмичное переслаивание конгломератов, песчаников и алевролитов, песчаники, алевролиты и глинистые сланцы (уссомахская свита); б — спилиты, диабазы и диабазовые порфириты, кремнистые, кремнисто-глинистые и глинистые сланцы, песчаники, алевролиты (маганская свита); в — конгломераты, песчаники, алевролиты, гравелиты, глинистые сланцы (мерекская свита); 5 — а — песчаники, алевролиты, глинистые и кремнисто-глинистые сланцы с прослоями гравелитов и седиментационных брекчи (амнусская свита); б — глинистые песчаники и алевролиты с прослоями гравелитов и седиментационных брекчи (экичманская свита); в — песчаники, филлиты, глинистые и кремнисто-глинистые сланцы, седиментационные брекчи (токурская свита); 6 — а — алевролиты, кремнистые и кремнисто-глинистые сланцы, спилиты, диабазы, линзы известняков (крестовая свита); б — диабазовые порфириты, кремнистые породы, алевролиты, конгломераты, линзы известняков (берендинская свита); 7 — песчаники аркозовые и полимиктовые, алевролиты, гравелиты, конгломераты, известники (сивакская свита); 8 — а — сланцы кварцево-слюдянные, хлорит-эпидот-актинолитовые, глинисто-серпентиновые и филлитовидные, рассланцованные песчаники, линзы известняков (сагурская свита); б — песчаники, алевролиты, филлитовидные сланцы с прослоями кварцитов, известняков и зеленых сланцев (златоустовская свита); 9 — сланцы графит-серпент-кварцевые, хлорит-актинолит-кварцевые и хлоритовые, альбит-

выделяются: а) толща туфолов и игнимбритов мощностью от 100 до 700—900 м, с прослойми туфов основного и кислого состава и б) толща кислых лавкварцевых порфиров и фельзит-порфиров мощностью до 300 м, сопровождаемых прослойми лавоконгломератов и туфов. Дислоцированность вулканогенных пород слабая; они лишь слабо покороблены и в целом образуют пологую синклинальную структуру, которая в условиях высокогорного рельефа, хорошо про-сматривается вдоль каньонообразных речных долин, разрезающих хр. Эзоп.

Инtrузивные образования, пространственно связанные с эффи-зивными, по составу близки эффи-зивам: средним эффи-зивам нижнего яруса соответствуют гранодиориты и кварцевые диориты, а кислым вулканитам верхнего — преимущественно граниты.

Инtrузивные породы вместе с эффи-зивами образуют позднемеловой (трехфазный) вулкано-плутонический комплекс, с обычной последовательностью инtrузивных фаз, от габброидных через умеренно-кислые до субщелочных существенно гранитных. Это штокообразные, дайковые и лакколитовидные, возможно, многоэтажные, гипабис-сальные тела площадью до 200—450 км². Для эзопских гранитов характерно преобладание калия в составе щелочей.

Гранитовые массивы сопровождаются ореолами контактового метаморфизма, которые на участках пологих контактов инtrузивов достигают ширины в несколько километров, а также автометасоматическими изменениями — микроклинизацией, альбитизацией и осо-бенно ярко выраженной грэйзенизацией. Не менее интенсивны гид-ротермальные изменения, с которыми связаны и процессы рудоотло-жения олова, вольфрама, молибдена и других элементов. Наиболее развиты рудоносные кварцевые жилы и грэйзены, локализующиеся большей частью в самих гранитах, реже в экзоконтактовых зонах. В их составе присутствуют: олово и вольфрам, редкие металлы, мышьяк, свинец, цинк. Наряду с кварцевыми жилами имеют место существенно сульфидные (в том числе и кассiterит-сульфидные) образования, подчиненные, однако, зонам дробления, располага-ющимся вдали от инtrузивов.

В Эзопской зоне известно свыше трех десятков рудопроявлений и небольших месторождений олова, в меньшей мере молибдена и воль-фрама, меди, свинца и цинка; имеются также проявления золотой минерализации (верховье р. Сору), в связи с мышьяково-вольфрамо-вой минерализацией, а также высококачественной хрусталеносности, располагающиеся как в палеозойском субстрате эффи-зивов, так и в самих эффи-зивах.

серпентит-кварцевые (самырская свита); 10 — сланцы альбит-кварц-слюдянные и эпидот-хлори-тевые, слюдистые кварциты (саларинская свита); 11 —а—грации биотитовые, биотито-рогово-обманковые и алискитовые; б — гранит-порфир и аплитовидные граниты; в — гранодиорит-порфир и кварцевые диориты; г —диоритовые порфириты; 12 — граниты биотитовые и дву-слюдянные; 13 — разломы (а) и надвиги (б); 14 — рудопроявления и месторождения: Олга-канское (1), Широтное (2), Анкачинское (3), «18 августа» (4), Эзопское (5) и др.

Оловянная минерализация представлена скарновым, кассiterит-кварцевым и кассiterит-сульфидным формационными типами. Проявления слабо оловоносных амфибол-пироксеновых и пироксеновых скарнов имеются в бассейне р. Правой Олги. Они приурочены к небольшой линзовидной залежи мраморизованных известняков среди палеозойских серпентит-кварцевых пород. К этой же карбонатной залежи приурочена и промышленная хрусталепосность. Связанная со скарнами сульфидная минерализация неравномерна и представлена молибденитом, сфалеритом, галенитом, арсенопиритом, пиритом, халькопиритом, шеелитом и самородным висмутом. Из них наиболее обильны молибденит и галенит, образующие крупные гнездовые выделения. Несмотря на то что видимый кассiterит в составе скарнов не обнаруживается, единичные анализы показывают в них до 1% олова. До 2,33% олова установлено также в составе андрадита (Г. Т. Татаринов, 1955 г.).

Проявления кассiterит-кварцевого типа оруденения для зоны более характерны. Среди них выделяются: существенно грейзеновый, кварцево-грейзеновый и кварцевожильный, иногда штокверковый типы. Вместе с тем их тесное сочетание делает такое деление несколько условным.

Существенно грейзеновые образования локализуются в апикальных частях куполовидных выступов эзопских гранитов, интрузирующих кислые эфузивы, и образуются преимущественно за счет гранитов. Кварцево-грейзеновые тела тяготеют непосредственно к контактам гранитов, а кварцевые жилы располагаются почти целиком в экзоконтактовых зонах интрузий.

Оловоносные грейзены по составу преимущественно кварцево-слюдяные и содержат гнездово-вкрашенные, реже тонкопрожилковые выделения вольфрамита и кассiterита (иногда молибденита), арсенопирита, иногда висмутина и самородного висмута; их пересекают волосовидные прожилки пирита, халькопирита, галенита, сфалерита и флюорита.

Среди проявлений грейзеновой минерализации лучше всего изучено Олгаканско^е месторождение, располагающееся в истоках одноименной реки. Здесь наряду с кварцево-грейзеновыми прожилковыми образованиями выделяются две морфологические разности существенно грейзеновых тел: а) гнездовые и жилообразные тела в гранитах и б) уплощенные залежи в апикальных частях куполовидных выступов гранитов. Первые представляют собой неправильные крутопадающие небольшие по размерам тела мощностью до нескольких метров, тогда как уплощенные залежи имеют пологое залегание и образуются не только по гранитам, но отчасти и по эфузивам.

Степень оруденения заметно возрастает параллельно с усилением трейзенизации. В крутопадающих телах относительно наибольшая степень оруденения наблюдается ближе к центральному кварцевому выполнению и к периферии постепенно затухает. Данные термометрии продуктов грейзенообразования, полученные В. К. Рябовым

(1963 г.), показывают, что температура отложения кварца и кассiterита для различных гипсометрических уровней гранитных куполов различна. Температурный режим минералообразования в глубинных частях гранитных куполов характеризуется интервалом в 380—440° С, в предапикальных 360° С, а в надапикальных, где отлагаются большей частью кассiterит-сульфидные парагенезисы, температуры процесса определяются в 280° С.

Кварцево-гнейзеновый тип оруденения на Олгаканском месторождении отличается несколько повышенной ролью сульфидов. Он локализуется в близапикальной части и представляет собой зоны тонкопрояженкового оруденения, достигающие 80 м. Среди прожилков различаются кассiterит-кварцевые и, вероятно, более поздние кассiterит-сульфидные. В составе первых, кроме кварца и слюд (в зальбандах), присутствуют в основном только кассiterит и вольфрамит. В составе же кассiterит-сульфидных прожилков резко возрастает роль сульфидов, которые представлены арсенопиритом, сфalerитом, галенитом, халькопиритом и пиритом. Подобного характера прожилки наблюдаются и в гнейзеновых телах, что свидетельствует об относительно позднем образовании тонкопрояженкового типа оруденения.

Кварцевожильный тип оловорудных проявлений в Эзопской зоне представлен кассiterит- и вольфрамит-кварцевым и кассiterит-кварц-сульфидным оруденением. Представителем первого является Олгинское месторождение, открытое С. Ф. Усенко в 1954 г. Месторождение располагается в эндоконтактовой зоне эзопских гранитов, прорывающих палеозойские контактово-метаморфизованные серицит-кварцевые породы, и представлено кварцевыми жилами мощностью до 2 м, сопровождающимися гнейзеновыми оторочками. В составе жил принимают участие вольфрамит и молибденит, в меньшей мере арсенопирит, халькопирит, пирит, еще реже кассiterит и висмутин, иногда присутствуют флюорит и топаз.

Талыминское месторождение, расположеннное в верховьях р. Талымы, левого притока р. Харги, представляет собой пример кассiterит-кварц-сульфидного типа оруденения, переходного к кассiterит-сульфидному. В нем сочетаются крутопадающие маломощные жилы топаз-кварцевого (иногда с турмалином), кварцевого и кварцево-сульфидного (существенно арсенопиритового) состава, кулисно располагающиеся в экзоконтакте эзопских гранитов.

Преобладают кварцево-сульфидные жилы, залегающие в наибольшем удалении от гранитов. Протяженность жил достигает 150 м при мощности до 20—40 см. По данным термометрии, на месторождении намечаются две стадии оруденения: 1) ранняя (360—500° С), которой соответствует отложение кварца, топаза, мусковита, турмалина, бесцветного флюорита, кассiterита, арсенопирита, лёллингита, вольфрамита, и 2) поздняя (220—240° С), охватывающая отложения сфалерита, галенита, халькопирита, иногда висмутина и шеелита, пирротина, пирита, станини, фиолетового флюорита и кальцита.

и характерного для этой стадии станинина (В. К. Рябов, 1963 г.). Орудение неравномерное, гнездовое; содержание олова достигает иногда 5—6%, а W_2O_3 13%.

Оруденение кассiterит-сульфидного типа охватывает наиболее обширную группу рудопроявлений Эзопской зоны. Они располагаются в удалении от гранитов и залегают среди эфузивов или подстилающих их осадочных пород палеозоя. Это оруденелые зоны трещиноватости субширотного простирания, содержащие сетчато- прожилковые, вкрашенные, гнездовые и жилообразные рудные обособления. По минералого-геохимическим особенностям их можно разделить на два типа: 1) существенно арсенопиритовый (пирротин-арсенопиритовый) и 2) близкий к галенит-сфалеритовому, иногда с хлоритом и турмалином, что сближает его с соответствующими типами кассiterит-силикатной формации. Представителями этих типов служат месторождения Эзопское и Широтное; первое относится к пирротин-арсенопиритовому, а второе — к галенит-сфалеритовому типу минерализации.

Месторождение Широтное располагается среди верхнемеловых кислых эфузивов в бассейне верхнего течения р. Олгакан. По материалам Е. Я. Шапошникова и И. П. Бойко (1956 г.), оно представлено близширотными вкрашенными, сетчато-прожилковыми и жилообразными обособлениями существенно сульфидного состава, подчиненными кругопадающей субширотной зоне трещиноватости и гидротермальных изменений. Прослеженная длина зоны около 5 км, ширина достигает 400 м, а мощность подчиненных ей жил и вкрашенных зон варьирует от 0,3 до 14,4 м при длине по простиранию от 20 до 250 м. По простиранию жилы переходят во вкрашенные зоны, а затем во вмещающие породы.

В. К. Рябов (1963 г.) выделяет на месторождении три типа руд: грейзеновый, кварцево-серicitовый и кварц-стильномелан-хлорит-сульфидный. Первый располагается близ контакта с гранитами и образует небольшие линзовидные тела существенно кварц-мусковитового состава, а второй — протяженные (более 200 м) метасоматические кварц-серicitовые зоны с флюоритом, арсенопиритом, пирротином, кассiterитом, сфалеритом, галенитом, халькопиритом и станинином; содержание в нем олова достигает 1%. Кварц-стильномелан-хлорит-сульфидный тип минерализации образует менее мощные, иногда поперечные зоны, наиболее удаленные от гранитов. В условиях расчлененного рельефа минерализация вскрывается в интервале высот 1500—1950 м, т. е. вертикальный диапазон оруденения составляет около 500 м. Месторождение изучено недостаточно и только с поверхности.

Эзопское месторождение располагается в осевой зоне хр. Эзоп, у истоков рек Олгакана и Озерной. По геологической позиции оно близко месторождению ключа Широтного. Это те же субширотные кулисно расположенные зоны трещиноватости и минерализации в кислых эфузивах, вмещающие жилообразные существенно сульфидные тела, прожилковые и вкрашенные участки.

Арсенопирит вместе с пирротином и отчасти халькопиритом составляет до 80% жильной массы. В зоне окисления арсенопирит почти нацело превращен в скородит. Второстепенная роль в составе минерализации принадлежит цириту, кассiterиту и сфалериту; иногда присутствует станин и вольфрамит. Из жильных минералов преобладает кварц, присутствует турмалин, реже топаз. Мощность вкрапленных зон достигает 18,7 м, а жилообразных обособлений от 0,1 и 0,4 до 2 м. Содержание олова неравномерное и небольшое (обычно сотые доли процента), хотя в арсенопиритовых обособлениях достигает 0,2—0,7%.

Месторождение обнажается на высоте около 600 м от контактовой поверхности гранитов, интрудирующих вмещающие эфузивы, и также изучено только с поверхности. На геометрическом простиянии этого месторождения к востоку и западу в Эзопской зоне располагается свыше десятка других аналогичных или близких по типу рудопроявлений. Они трассируют, по-видимому, более крупную субширотную зону оруденения, протяженностью около 25—30 км, протягивающуюся от истоков р. Олгакан-Макит на западе до истоков р. Правой Буреи на востоке.

Почти аналогичная обстановка имеет место и на параллели Широтного месторождения. На его продолжении к востоку располагается ряд близких ему по типу (галенит-сфалеритовых) рудопроявлений, образующих нечто вроде второй (южной) широтной рудной зоны, параллельной отмеченной выше. Все это позволяет думать, что Эзопское и Широтное месторождения представляют собой лишь отдельные звенья или части более крупных рудоносных структур, контролируемых системами Кербинской и Софийской зон разломов.

Наряду с зонами олово-сульфидной минерализации, расположившимися среди эфузивов, имеются также проявления и вне эфузивных полей в подстилающих их осадочных породах. По данным П. А. Эпова и П. Н. Селезнева (1956 г), мощные (до 200 м) близширотные зоны минерализации имеются на северных склонах хр. Эзоп, в верховьях р. Озерной. В их составе наблюдаются цирит, пирротин, арсенопирит, отчасти молибденит вольфрамит и шеелит, кассiterит, халькопирит, сфалерит и галенит. Единичные химические анализы показывают содержание олова, свинца и цинка 2% и иногда более и до 0,5% Cu.

В восточной части Эзопской зоны на продолжении Кербинского разлома вдали от гранитных интрузивов имеются проявления существенно сульфидной минерализации, иногда с шеелитом и золотом. На правобережье истоков р. Харги к этому разлому тяготеют проявления свинцово-цинковой и медной минерализации, локализующейся в местах наличия даек гранит-порфиров. Аналогичная минерализация (с шеелитом и золотом) проявляется и в 20 км восточнее, в истоках р. Селемджи, в форме субширотных и северо-восточных зон дробления среди ороговикованных и сульфидизированных осадочных пород. Имеются также мелкопрожилковые и гнездово-вкрапленные, существенно медные проявления, характеризующиеся

арсенопиритом, пиритом, пирротином, халькопиритом, самородным висмутом и вольфрамитом, флюоритом и вторичными минералами меди — малахитом и азуритом. Мощность зон минерализации на отдельных рудопроявлениях достигает 10—15 м, а протяженность 250—300 м. Единичные данные химических анализов показывают содержание: W_2O_3 до 0,36%, Cu 7,44%, Sn 0,25%.

Почти аналогичное положение наблюдается и южнее, в зоне Софийского разлома. Здесь также проявляется галенит-сфалеритовый тип минерализации, приуроченной к субширотным зонам повышенной трещиноватости.

Приведенный материал свидетельствует о наличии близширотной зональности в размещении рудопроявлений Эзопской рудной зоны. Высокотемпературные кварцевожильные рудопроявления (кассiterит-вольфрамовые и вольфрамит-молибденитовые) располагаются в экзо- и эндоконтактовых зонах интрузивов эзоцеских гранитов, тогда как кассiterит-сульфидные (пирротин-арсенопиритовые и галенит-сфалеритовые) — вдали от интрузивов.

В Эзопской зоне имеются также проявления существенно молибденового оруденения. Это Тунгусское молибденовое месторождение и Соловьевское висмут-молибденовое рудопроявление, расположенные в истоках р. Селемджи на северных склонах хр. Эзоп.

Имеет место также значительная хрусталеноносность, представленная двумя типами. Один из них проявляется в апикальных частях куполовидных выступов гранитных интрузивов, а другой, несравненно более перспективный, приурочен к удаленным от интрузивов зонам дробления среди интенсивно метаморфизованных осадочных пород. Представителем последнего является Олгинское (ныне отработанное) месторождение.

Эзопская зона покрыта среднемасштабной геологической съемкой и в значительной части охвачена крупномасштабными поисково-съемочными исследованиями (Усенко, 1955, 1956, 1957 гг.; Эпов, 1956 г.; Сушков и др., 1954 г.), в ходе которых выявлены важнейшие особенности металлогенеза хр. Эзоп. Ее изученность нельзя считать достаточной. Поисково-разведочные работы в основном прекращены на стадии предварительного изучения поверхности рудопроявлений. Поэтому крупные по параметрам рудопроявления, особенно кассiterит-сульфидного типа, несомненно нуждаются в дополнительном изучении.

Софийский золотоносный и оловянный район (8). Район располагается у южных склонов хр. Эзоп и охватывает бассейн верхнего течения рек Нимана и Олги. Он располагается в осевой части Ниланского антиклиниория между Верхнеселемджинским и Кербинским золотоносными районами и совпадает с одноименным выступом складчатого основания Сихотэалинской области. Это приподнятый и, по-видимому, в значительной мере эродированный тектонический блок, сложенный в основном докембрийскими породами (см. рис. 24). Он ограничен разломами: с юга — Сонахским, с севера — Эзопским, с запада — Умальтинским, а с востока — Усманским.

По материалам Э. П. Хохлова (1956 г.), Н. Ф. Смирнова (1955 г.) и других, структура блока имеет форму куполовидного антиклинала, вытянутого в запад-северо-западном направлении. Его ядро сложено раннепротерозойскими породами, которые в направлении к периферии последовательно сменяются средне- и позднепротерозойскими. Для западной части района Р. М. Тонояном (1956 г.) отмечается наличие штоко- и дайкообразных тел позднемеловых кварцевых диоритов и диоритовых порфиритов, располагающихся цепочками меридионального и субширотного направления.

К центральной части структуры приурочены выходы позднемеловых гранитоидов эзопского комплекса. Последние образуют сравнительно небольшие массивы, расположенные вдоль разломов меридионального и близширотного направлений. Разломами этих основных двух направлений площадь района разбита на более мелкие блоки. Так, Анкачинским близмеридиональным разломом площадь разделена на два различных по рудоносности блока, именуемых нами рудными узлами: западный — Софийский и восточный — Анкачинский. Софийский узел золотоносный, а Анкачинский — олово-редкометальный.

Софийский золоторудный узел сложен в основном средне- и позднепротерозойскими породами и включает непромышленные золоторудные месторождения золото-арсенопиритового типа (Петровско-Еленинское, Бурое, Жильно-Лысогорское). Имеется также ряд мелких проявлений рудного золота и россыпных месторождений, большая часть которых уже отработана.

Анкачинский узел оловянной и редкометальной минерализации охватывает верховья р. Правой Буреи, истоки рр. Лев. Буреи и Нимана. По Софийскому разлому блок граничит с Эзопской зоной, по Сонахскому — с близким по редкометальной рудоносности Буреинским районом, а по Анкачинскому и Усманскому разломам — с Софийским и Кербинским золотоносными блоками. Западная часть узла сложена протерозойскими породами, а в строении восточной принимают участие также и палеозойские образования. И те и другие интрудированы позднемеловыми гранитами, которые контролируются разломами близмеридионального и субширотного направлений.

В отношении рудоносности узел неоднороден: на западе вдоль Анкачинского разлома проявляется оловянное кварцево-сульфидное оруденение (месторождения Анкачинское и «18 августа»); для остальной же площади характерна преимущественно высокотемпературная — пегматитовая, кварцевожильная и грейзеновая, существенно редкометальная минерализация и только отчасти кассiterит- и вольфрамит-кварцевая, скарново-сульфидная и сульфидная.

Оловянная минерализация представлена высоко- и среднетемпературным типами. Первый тип представлен слабо оловоносными кассiterит-вольфрамовыми кварцевыми жилами и грейзенами (с арсенопиритом, халькопиритом и другими сульфидами) в экзо- и эндоконтактах эзопских гранитов (правобережье р. Этматы, верховья рек

Бурейки, Амнус и др.). Практически более ценная оловоносность представлена Анкачинским месторождением и месторождением «18 августа». Они располагаются на расстоянии 5 км друг от друга и контролируются субмеридиональной Анкачинской зоной разлома, рассекающей допалеозойские кристаллические сланцы и вмещающей дайки порфиров, лампрофиров и кварцевых порфиров.

По данным А. Ф. Баранова и Е. Я. Шапошникова (1956 г.), на Анкачинском месторождении, разведенном на глубину, жильное кварцево-сульфидное оруденение локализуется на трех участках, расположенных вдоль трещин, оперяющих главную зону разлома. На Северном и Центральном участках месторождения вскрыто 28 кварц-арсенопиритовых (иногда с турмалином) и кварц-пирротиновых жил мощностью от 0,1 до 7 м и протяженностью от 10 до 135 м.

В составе жильных и вкрашенных руд присутствуют: пирротин, арсенопирит, кассiterит, халькопирит, сфалерит, галенит, пирит, станин, кварц, кальцит, серицит. Вмещающие породы окварцованны, хлоритизированы, серicitизированы и сульфидизированы. По генетическим признакам месторождение близко к кассiterит-кварц-сульфидному типу. Однако месторождение не имеет промышленных перспектив, ввиду небольших размеров рудных тел и низких содержаний олова.

Подобным характером оруденения (и перспектив) отличается и месторождение «18 августа», хотя изучено оно слабее Анкачинского — только с поверхности.

Редкометальная минерализация узла, по данным М. Ю. Жилина (1948 г.), Н. Ф. Смирнова (1955 г.) и других, представлена пегматитовым, грейзеновым и кварцевожильным типами, которые пространственно тесно связаны с Правобуреинским массивом эзопских гранитов. Шлировые пегматиты содержат вкрашенность вольфрамита и арсенопирита (бассейн р. Этматы). Более заметны проявления кварцевожильного и грейзенового типов, характеризующиеся вольфрамитом, молибденитом, кассiterитом, арсенопиритом, иногда флюоритом. Это маломощные прожилки и жилы в грейзенизованных породах (рудопроявления: Крестовое, Правобуреинское и ключа Ледникового). Известно также Нижнеанкачинское вольфрам-молибденовое рудопроявление, располагающееся в криптоболитовой зоне эзопских гранитов.

На площади узла имеется несколько проявлений полиметаллического оруденения, которые локализуются в разломах север-северо-западного направления, рассекающих замковую часть Софийской куполовидной структуры. Два из них располагаются в бассейне р. Луча (правый приток Керби), а третье — в истоках р. Левая Бурея. Это скарново-сульфидные и сульфидные, существенно полиметаллические серебросодержащие рудопроявления. В к. Оленем (бассейн р. Луча) два тела рудоносных гранатовых и эпидот-широксеновых скарнов приурочены к линзовидным залежам мраморизованных известняков среди пород палеозоя. Другое рудопроявление пред-

ставлено метасоматической (существенно полевошпатовой) залежью, образованной за счет апофизы гранит-порфиров. В состав минерализации входят: галенит, сфалерит, ширит, халькоширит и борнит, арсенопирит, реже магнетит, пирротин, кассiterит, вольфрамит и ильменит. Оруденение неравномерное, большей частью вкрапленное, иногда прожилково-вкрапленное и только в осевой части залежи более концентрированное.

Таким образом, перспективы Алкачинского рудного узла следует, по-видимому, связывать прежде всего с редкометальной минерализацией, специализированные поиски которой следовало бы продолжить. Заслуживают внимания и полиметаллические оруденения. Некоторый интерес представляет и олово, главным образом с позиций выяснения геолого-geoхимических связей олова и золота. Софийский район является одним из тех, где эти два элемента тесно сочетаются. Располагаясь на границе золотоносной и оловоносной областей, Софийский район занимает «ключевое» положение, позволяющее приблизиться к пониманию условий проявления золотой и оловянной минерализации.

б. Оловоносность Приохотской золотоносной области

Из всех неоловоносных областей Приамурья Приохотская область характеризуется относительно наиболее заметными проявлениями олова, ее можно характеризовать как олово-золотоносную. Эти проявления располагаются большей частью на юге области и тяготеют к оловоносным районам близширотной структуры Ниланского антиклиниория, являющегося северной окраиной Хингано-Баджальской оловоносной области.

Приохотская золотоносная область представляет собой северную часть Хингано-Охотского металлогенического пояса. В отличие от Хингано-Баджальской, это область преимущественного развития мезозойских складчатых образований, сформированных на байкальских и герцинских складчатых структурах близширотного направления. Иными словами, эта область скрещения складчатых структур монголо-охотского и сихотэалинского направлений. С запада она ограничивается Тайканским горст-антиклиниорием, а с востока — близмеридиональной зоной кайнозойских впадин; от Хингано-Баджальской области отделена Ниланским антиклиниорием.

В строении области принимают участие рифейские, девонские и каменноугольные геосинклинальные комплексы кремнисто-терригенного состава. На юге области они перекрыты пермо-триасовыми терригенными инверсионными образованиями и в целом представляют собой субстрат, на котором развивались мезозойские геосинклинальные и наложенные прогибы (Селиткано-Горомский, Амгунский). Последние сложены преимущественно юрскими, отчасти позднетриасовыми терригенными и кремнисто-терригенными осадками. Геологический разрез венчают меловые туфогенно-вулканогенные образования

среднего и кислого состава. Последние тесно связаны с интрузивными фациями, которые объединяются в два позднемеловых диорит-гранодиоритовых интрузивных комплекса — селитканский и ульбанский. На юге области, на границе с Хингано-Баджальской областью, проявляются оловоносные граниты эзопского комплекса.

По ряду геологических признаков область представляется перспективной прежде всего для поисков месторождений золота, медно-молибденовых и свинцово-цинковых руд, а в районах, прилегающих к Хингано-Баджальской области, и для поисков месторождений олова.

Олово в Приохотской существенно золотоносной области связано с локальными участками проявления оловоносного риолито-гранитоидного магматизма, который распространен до широты истоков р. Тыль, а далее к северу ограничен северо-западной зоной Удско-Херпучинского разлома. Эта граница была подмечена В. А. Ярмолюком (1949 г.) и Л. И. Красным (1950 г.).

Основные оловоносные участки располагаются в Селитканской вулканогенной зоне в Тугурском горст-антиклиниории и на других участках развития кислых вулканитов, особенно в пределах площади Амгунского синклиниория. Среди эфузивов оловянная минерализация пространственно связана с проявлениями свинцово-цинкового и медно-молибденового оруденения.

Селитканская зона медно-молибденовой и оловянной минерализации (2). Зона располагается в бассейне р. Селиткана и верховьев рек Муникана, Тонума и Торома. Она совпадает с одноименной зоной меловых вулканитов кислого и среднего состава (мощностью до 800 м), которая сформирована на юрских образованиях Селиткано-Торомского наложенного прогиба. Северо-восточный фланг зоны срезается Удско-Херпучинским разломом, а юго-западный — линией, параллельной Кумусунской зоне разломов. С эфузивами Селитканской зоны тесно связаны интрудирующие их гранитоиды селитканского комплекса.

Известная здесь минерализация не выходит за пределы поля эфузивно-интрузивных пород и представлена молибденом и медью, свинцом, цинком и мышьяком, оловом, отчасти золотом и ртутью, в меньшей мере вольфрамом, висмутом и др. Рудопроявления тяготеют к массивам гранитоидов. Проявления оловоносности представлены небольшими шлиховыми ореолами на северо-восточном фланге зоны в связи с кислыми эфузивами. Выделяются несколько участков минерализации, условно именуемых узлами: Верхнетыльский, Тором-Тонумский, Верхнеселитканский и Нижнеселитканский. Их расположение контролируется сочетанием разломов трех направлений: северо-восточного, субширотного и северо-западного. Формы проявления оруденения разнообразны: кварцево-сульфидные жилы, сетчато-прожилковые и штокверковидные зоны, участки вкрапленного оруденения в гранитоидах и минерализованные зоны дробления в эфузивах.

Верхнетыльский узел молибден-свинцово-цинковой и мед-

ной, отчасти, по-видимому, оловянной минерализации, расположенный в истоках р. Тыль среди кислых эффузивов северо-восточного фланга вулканогенной зоны, интрудированных небольшими телами гранитоидов, представляется наиболее интересным. По данным В. А. Ярмолюка (1959 г.) и С. И. Горюхова (1961 г.), здесь имеются несколько проявлений молибдена, свинца, мышьяка, меди и других металлов, представленных кварцево-сульфидными жилами и орудненными зонами дробления среди гранитов, кварцевых порфиров и андезито-дацитов. В жилах присутствует гнездовая вкрапленность галенита, сфалерита, халькопирита, молибденита, иногда железной слюдки и ильменита, а в делювии, на площади их проявления, присутствуют касситерит, вольфрамит, шеелит и отчасти золото.

Существенно сульфидный состав рудопроявлений, приуроченных к кислым эффузивам, вместе с наличием касситерита в делювии позволяют сравнивать этот узел с известными оловоносными районами, где оловянное оруднение тяготеет к подошвенной части эффузивного покрова, а среди эффузивов фиксируется существенно сульфидная слабо оловоносная минерализация.

Т о р о м - Т о н у м с к и й узел медно-молибденовой минерализации располагается в истоках одноименных рек. В соответствии с материалами М. Г. Золотова, В. И. Сухова, Л. И. Устиновой и других исследователей, по геологическому строению он близок Верхнетыльскому узлу, хотя отличается большей ролью средних эффузивов, нередко интенсивно пропилитизированных, а также повышенной основностью интрудирующих их гранитоидов. Если не считать нескольких небольших шлиховых ореолов касситерита (в истоках р. Тонум), то, в отличие от Верхнетыльского узла, для него более характерен существенно медно-молибденовый характер минерализации в форме кварцево-сульфидных прожилков в эндо- и экзоконтактовых зонах гранитоидов. Рудопроявления очень слабо изучены. Однако благоприятная геологическая обстановка и медно-молибденовый тип минерализации делают этот участок перспективным для поисков.

В е р х н е с е л и т к а н с к и й узел также интересен в отношении меди и молибдена. Он располагается у юго-западной кромки андезито-дацитового покрова, интрудированного небольшими телами умеренно кислых гранитоидов. Наряду со шлиховыми ореолами касситерита, связанного, по-видимому, с липаритами, на площади узла среди андезито-дацитов выявлено несколько сульфидных рудопроявлений. Одно из них — Инаргдинское — представлено сетчато-прожилковой зоной среди брекчированных андезитов, залегающих близ контакта с гранитоидным интрузивом. Кварцевые прожилки содержат вкрапленность молибденита, халькопирита, пирита борнита, иногда пирротина. Присутствуют также медь, свинец, цинк, серебро, олово, ванадий, никель.

Другое рудопроявление, расположенное на левобережье р. Саги, в 20 км юго-восточнее Инаргдинского, представлено минерализованной зоной дробления и каолинизации (мощностью до 15 м),

залегающей в тех же эфузивах и несущей вкрапленность галенита, сфалерита, пирита, халькошпирита и других сульфидов.

На площади узла имеются шлиховые проявления киновари, которые тяготеют к зоне разломов, ограничивающей Селитканскую вулканогенную зону с юго-востока.

Несколько отличный характер минерализации встречается на юго-западном фланге Селитканской зоны, названном Нижнеселитканским узлом. Здесь, по данным В. Ф. Козюры (1955 г.), имеются как механические ореолы рассеяния олова, так и коренные проявления полиметаллического оруденения, приуроченные к зонам дробления среди порфиритов и прорывающих их кварцевых диоритов. Следовательно, этот узел напоминает другие узлы Селитканской зоны, находящиеся в сходной геологической обстановке.

Изложенный небольшой материал по рудоносности Селитканской вулканогенной зоны позволяет считать ее перспективной в отношении медно-молибденового оруденения, особенно в северной части зоны в пределах Верхнетыльского, Тором-Тонумского и Верхнеселитканского узлов. Целесообразны также поиски возможных концентраций оловянного оруденения на площади Нижне- и Верхнетыльского узлов. В связи с этим Селитканская вулканогенная зона в пределах отмеченных участков заслуживает подстановки крупномасштабных поисково-съемочных работ.

Тугурская зона комплексной минерализации (3). Зона совпадает с Тугурским (мезозойским) горст-антиклинальным поднятием и ограничена крупными разломами: с северо-запада и юго-востока — Кумусунским и Тугурским, а с северо-востока и юго-запада — близширотными Удско-Амгуньским и Харгинским разломами. По материалам Л. И. Красного (1952 г.), Ю. П. Рассказова (1954 г.), Н. А. Роганова (1966 г.) и других, зона сложена в основном среднепалеозойскими интенсивно дислоцированными и метаморфизованными в зеленосланцевой фации терригенными, карбонатно-терригенными и отчасти вулканогенно-кремнисто-терригенными формациями мощностью до нескольких тысяч метров. На юго-западном фланге зоны имеют место позднепалеозойско-раннемезозойские терригенные осадки флишоидного типа.

Для зоны характерно слабое проявление магматизма и почти полное отсутствие эфузивных фаций. Из интрузивных пород преобладают граниты, которые в направлении к северо-восточному флангу зоны обнаруживают заметное повышение основности. Интрузивы локализуются вдоль близширотных разломов и образуют небольшие вытянутые массивы.

Рудоносность зоны изучена слабо. На ее площади известны проявления вольфрам-оловянного, молибденового, медного и свинцово-цинкового, иногда сурьмянного оруденения, сосредоточенного на отдельных узловых участках. Намечается несколько таких участков, или узлов, заметно тяготеющих к поперечным разрывам и интрузивным массивам гранитоидов — это Конинский, Ассени-Дюпконский и Селиткано-Кумусунский узлы.

Конинский узел преимущественно свинцовой минерализации располагается на северо-восточном фланге зоны, в бассейне одноименной реки, среди терригенных пород, интрудированных небольшими массивами гранитоидов повышенной основности. Границы узла недостаточно четкие. Обнаружена слабая свинцовая минерализация, сопровождаемая серебром, в форме кварцево-сульфидных жил и солевых ореолов, подчиненных субмеридиональным зонам дробления. В кварцево-сульфидных жилах установлены: олово, никель, кобальт, хром и медь.

Ассени-Дюлконский узел свинцовой, медной и молибденовой минерализации расположен в 50 км юго-западнее Конинского, среди палеозойских пород, интрудированных позднемеловыми гранитами. Здесь выявлено (В. А. Ярмолюк, 1949 г.) несколько проявлений сульфидной минерализации и шлиховых ореолов кассiterита, тяготеющих к гранитному массиву. На площади около 30 км² встречаются делювиальные свалы кварцевых жил среди окварцованных пород, пиритизированных роговиков, филлитов и кварцито-видных песчаников, пронизанных послойными и секущими прожилками кварца, часто ноздреватого и охристого, содержащего реликты гнездовой вкрапленности галенита, сфалерита, халькопирита, молибденита и других сульфидов. Спектральными анализами в штуфных пробах из кварцевых жил и минерализованных пород установлено до 1% молибдена, а также медь, свинец, цинк, иногда мышьяк, сурьма и до 0,1% олова. Для изучения перспектив участка необходимы специальные поисково-оценочные исследования.

Селиткано-Кумусунский узел, в отличие от двух предыдущих, характеризуется оловянным (касситерит-сульфидным) оруднением. Он размещается в юго-западной части зоны и вместе с небольшими интрузивами гранитов тяготеет к поперечным (северо-западным) разломам, рассекающим позднепалеозойско-триасовые сланцево-карбонатные и флишоидные образования. Оруднение представлено кварцевожильной, сетчато-прожилковой и прожилково-вкрапленной, преимущественно касситерит-сульфидной минерализацией среди алевролитов и филлитов (Л. И. Красный, 1952 г.), большей частью подчиненной близмеридиональной системе трещин, а также зонам дробления, которые сопутствуют «поперечным» разломам. Таковы Селитканское и Кумусунское рудопроявления, а также рудопроявления ключей Амнус и Черный.

В составе минерализации присутствуют: пирит, пирротин, арсенопирит, халькопирит, галенит и сфалерит, в меньшей мере касситерит, вольфрамит и шеелит, что приближает рудопроявления к пирротин-арсенопиритовому типу касситерит-сульфидной формации. Касситерит тесно ассоциирует с сульфидами и только иногда с вольфрамитом и располагается в осевых частях жильных обособлений. Содержание олова в штуфах достигает 0,2%.

На площади узла, в шлихах, почти повсеместно устанавливается касситерит. Таким образом, вся Тугурская зона представляется

оловоносной, хотя наиболее благоприятный тип оруденения проявляется в пределах Селиткано-Кумусунского узла.

Нимеленский оловоносный район (4). Район располагается в юго-западной части Амгунского синклиниория. С юга и северо-запада район ограничен жесткими структурами мезозойских антиклинальных поднятий — Тугурским и Ниланским, а с востока обрезается Уссуро-Охотской зоной кайнозойских дислокаций, контролирующих систему субмеридиональных кайнозойских впадин. По данным Л. И. Красного (1948 г.), М. И. Авдеева (1956 г.), В. А. Шуршалиной (1960—1964 гг.), Л. В. Эйриша (1963 г.) и В. И. Потаповой (1964 г.) в строении района принимают участие преимущественно морские верхнетриасовые и юрские кремнисто-терригенные и терригенные формации незначительной мощности (до 3200 м), залегающие на палеозойском основании. Они перекрыты меловыми вулканитами, среди которых выделяются поздненижнемеловые-верхнемеловые эфузивы среднего состава (мощностью до 600 м) и перекрывающие их позднемеловые риолиты мощностью до 1000 м. Морские и наземные эфузивные формации интрузированы умеренно кислыми и кислыми гранитоидами эзопского комплекса.

На площади Нимеленского района имеются несколько слабо изученных рудопроявлений олова, сопровождаемых механическими ореолами кассiterита, иногда шеелита и вольфрамита, рудопроявления меди и цинка и солевые ореолы молибдена. В верховых р. Отун, например, проявления оловянной минерализации, по Ю. П. Рассказову (1954 г.), представлены сетчато- прожилковыми образованиями в зонах дробления и трещинах скола среди песчаников и алевролитов. Среди них по составу выделяются: а) кварцево-сульфидные прожилки (ширит, арсенопирит, халькопирит, галенит, сфалерит) с преобладанием арсенопирита; б) кварцево-сульфидные прожилки с шеелитом и в) кварцево-сульфидные прожилки с касситеритом, из чего следует, что рудопроявления, вероятно, близки к касситерит-сульфидной формации.

В 10—15 км восточнее этого рудопроявления, в аналогичной геологической обстановке, имеются незначительные рудопроявления меди и цинка, в которых устанавливается слабое содержание олова. Здесь же отмечаются солевые ореолы молибдена.

В самой южной части Нимеленского района располагается Сорукансское рудопроявление олова, которое по геологической обстановке, что следует из материалов В. Ф. Козюры (1953 г.), напоминает известные месторождения хлорит-касситеритового минерального типа. Рудопроявление располагается у кромки верхнемеловых кислых эфузивов, среди ороговикованных и гидротермально измененных терригенных образований и представлено кварц-хлоритовыми жилами мощностью до 85 см и сетчато-прожилковыми зонами, несущими вкрапленность сульфидов и касситерита. Спектральным анализом в рудах устанавливается более 1% олова, а по единичным химическим анализам его содержание достигает 0,87%.

Все изложенное выгодно отличает Нимеленский район от других

площадей Приохотской области и выдвигает его в число первоочередных объектов для поисков оловорудных месторождений. В этом отношении наиболее интересной представляется площадь, охватывающая пространство от правых притоков р. Селемджи на юго-западе до бассейна р. Отун на северо-востоке. Площадь эта очень большая. Если учесть слабую ее изученность, то на первых порах, может быть, следовало бы рекомендовать работы типа «обзорных поисков» с тем, чтобы более надежно обосновать выбор площадей для поисковых исследований.

Б. СИХОТЭАЛИНСКИЙ МЕТАЛЛОГЕНИЧЕСКИЙ ПОЯС

а. Северо-Сихотэалинская оловоносная область

Область представляет собой часть Сихотэалинского рудоносного пояса длиной около 400 км. Она простирается от среднего течения р. Тумнин, где по одноименному разлому граничит с Нижнеамурской золотоносной областью, до южных границ Хабаровского края, за пределами которого находит продолжение в Центральной и Восточной металлогенических (оловоносных) зонах Южного Приморья.

По материалам В. К. Елисеевой (1950 г.), В. Я. Абрамсона (1953, 1958, 1959 гг.), Л. В. Вонгаз (1950, 1951 гг.), Е. Б. Бельтенева (1954, 1958, 1959 гг.), А. Н. Попова (1951, 1954 гг.), А. И. Савченко (1961 г.) И. П. Плиева (1958 г.), А. П. Глушкова (1951 г.), М. А. Ахметьева (1962 г.), Ю. М. Вдовина (1961, 1962 гг.), Ю. А. Иванова (1958 г.), А. В. Демина (1959, 1966 гг.), А. В. Палагина (1967 г.), И. П. Бойко, 1968 г.) и многих других, в гологическом строении Северо-Сихотэалинской области принимают участие позднепалеозойские, ранне- и позднемезозойские геосинклинальные, инверсионные и постинверсионные осадочные, вулканогенно-осадочные и вулканогенные образования, интрутированные преимущественно меловыми и палеогеновыми гранитоидами. Палеозойские породы представлены каменноугольно-раннепермскими сложно дислоцированными осадками вулканогенно-кремнисто-терригенной группы формаций (ходийская и джокемийская свиты). Им близки по возрасту интрузии гипербазитов дунит-верлитовой формации (Зимин, 1967).

В совокупности эти породы слагают нижний структурный этаж, на котором располагаются инверсионные (позднепермско-триасовые?), карбонатно-терригенные, отчасти вулканогенные образования (кафэнская свита и другие образования). Позднепермско-триасовые (?) образования установлены пока лишь на южном фланге области, хотя не исключена возможность и более широкого их развития к северу.

Эти осадки, подобно молассоидам Урмийского наложенного прогиба, в характеризуемой области также фиксируют инверсию позднепалеозойских прогибов, длившуюся от верхней перми до среднего триаса. В связи с этим не исключено наличие и на Сихотэ-Алине позднепалеозойско-раннемезозойского интрузивного магматизма,

аналогичного куканскому инверсионному комплексу, развитому на западе. К нему И. А. Плотников и С. Ф. Усенко (1967) относят единичные мелкие тела гранодиоритов (катэнский комплекс), интрузирующих палеозойские породы на южной окраине области. Позднепалеозойские образования, по-видимому, с размывом и несогласием перекрываются осадками позднетриасово-раннемелового складчатого комплекса, мощность которого в Горинском и Восточно-Сихотэалинском прогибах достигает свыше 12—15 тыс. м.

Формационный состав мезозойских осадков неоднороден. Нижняя часть разреза (верхний триас — средняя юра) представлена в основном кремнисто-терригенной, терригенно-карбонатной, аспидно-сланцевой и терригенной формациями, а верхняя (поздняя юра — валанжин) — терригенными и терригенно-флишоидными. Времени, близкому границе нижней и верхней части разреза, соответствуют интрузии хорского гипербазитового комплекса. Различия в составе нижней и верхней частей разреза мезозойского складчатого комплекса свидетельствуют о смене тектонических условий осадконакопления на границе средней и поздней юры, однако структурное несогласие между ними выражено слабо. Достоверно не установлено пока и гранитоидного магматизма, хотя для южноприморской части Сихотэ-Алиня высказываются соображения о наличии позднеюрского гранитоидного магматизма (Ю. Н. Размахнина, 1957, 1959, 1965, 1967 гг.). Более существенной оказалась послеваланжинская фаза диастрофизма, приведшая к замыканию Горинского, Восточно-Сихотэ-алинского и других позднетриасово-раннемеловых прогибов. Связанный с этой складчатостью магматизм представлен хунгарийским (Изох и др., 1967) и сандинским (А. В. Палагин и М. В. Мартынюк, 1967) комплексами высокоглиноземистых гранитов, а также алчанским гранодиорит-гранитовым комплексом (Плотников, Усенко, 1967).

На позднетриасово-валанжинских отложениях залегает баррем-раннесенонский комплекс морских молассоидов, выполняющих Западно- и Восточно-Сихотэалинские остаточные геосинклинальные прогибы, окаймляющие Центрально-Сихотэалинское поднятие. Осадки имеют регressiveный характер и представлены терригенными нередко грубобломочными породами, со значительной ролью вулканогенного материала, возрастающего в направлении к верхам разреза (уктурская, ларгасинская и удоминская свиты).

К концу раннего сенона, в связи с прогрессирующими воздыманием всей области и наступлением континентального режима, преобладающее значение приобрели разломно-блоковые формы тектогенеза, сопровождающиеся, наряду с осадконакоплением, интенсивным эфузивно-интрузивным магматизмом. Этот этап орогенного развития продолжался в течение второй половины мела и палеогена. На Сихотэ-Алине ему соответствуют слабо дислоцированные вулканогенные и осадочно-вулканогенные, угленосные образования (ольгинская, тахобинская, самаргинская, кузнецовская, кцухинская свиты). Их формирование сопровождалось интенсивным проявлением

наиболее продуктивного гранитоидного магматизма, контролировавшегося в основном сихотэалинской системой разломов и ее оперением, при слабом влиянии монголо-охотского направления; это обусловило треугольные и другие формы площадей максимального магмопроявления.

Таким образом, в строении характеризуемой области выделяется шесть структурно-стратиграфических и формационных комплексов: 1) позднепалеозойский геосинклинальный сложно дислоцированный суммарной мощностью свыше 5000 м; 2) позднепермский полого дислоцированный инверсионный, карбонатно-терригенный мощностью до 4000 м, включающий эфузивы кислого и среднего состава, мощностью порядка 2500 м; 3) триасово-юрский геосинклинальный мощностью свыше 4000 м; 4) позднеюрско-раннемеловой терригенно-фишиоидный мощностью до 4500 м, дислоцированный в пологие и крутые иногда запрокинутые линейные складки северо-восточного простирания; 5) баррем-раннесенонский терригенный и вулканогенно-терригенный полого дислоцированный молассоидный мощностью до 9000 м и 6) позднесенонско-палеогеновый преимущественно вулканогенный очень слабо дислоцированный мощностью около 3600 м.

Строение перечисленных структурных комплексов усложнено разломами Сихотэалинской и Монголо-Охотской систем и их оперением, контролирующими проявления сенон-датского и дат-палеоценового продуктивного гранитоидного магматизма.

Основная масса магматических образований характеризуемой области локализуется вдоль системы разломов Центрально-Сихотэалинского шва. Это позднепалеозойский катэнский, раннемеловые хунгарицкий, сандинский и алчанский, позднемеловые бачелазский и башинский и позднемеловые — раннепалеогеновые верхнеудоминский и иолийский комплексы калиевых гранитоидов. Эти комплексы располагаются зонально. Так, мезозойские хунгарицкий и сандинский (инверсионные) гранитные комплексы локализуются в зоне позднепалеозойских и раннемезозойских (триасово-раннемеловых) формаций. Постинверсионные бачелазский и башинский комплексы, смещаясь к востоку, располагаются большей частью в зоне позднетриасово-раннемеловых формаций, а верхнеудоминский и иолийский — еще восточнее, в зоне сочленения позднемеловых прогибов и Прибрежного вулканогена. Однако, несмотря на смещение более молодых комплексов к востоку, наблюдается преобладание интрузивных образований в западной зоне области, а эфузивно-интрузивных — в восточной. Последнее связано, по-видимому, с более энергичным поднятием и эрозией центральной зоны по сравнению с восточной.

С раннемеловыми (возможно, также с позднепалеозойскими) комплексами связана слабая, преимущественно высокотемпературная минерализация олова, вольфрама, молибдена и других редких металлов в форме кварцевожильных, штокверковых и скарновых образований, локализующихся в основном в западной наиболее

эродированной зоне области, сложенной позднепалеозойскими формациями. Более перспективны по продуктивности выделенные Э. П. Изохом (1962 г.) бачелазский (позднемеловой) и верхнеудоминский (позднемеловой-палеогеновый) комплексы. В Бута-Копшинском междуречье им соответствуют бапинский и иолийский комплексы, объединяемые в бута-копшинскую серию (А. В. Палагин и М. В. Мартынюк, 1967 г.).

Бачелазский и бапинский эфузивно-интрузивные комплексы, по данным Э. П. Изоха, А. В. Палагина и М. В. Мартынюка, представляют собой последовательный ряд интрузивных фаз, перемежающихся с эфузивными и субэфузивными образованиями: габбро, габбро-диориты, кварцевые диориты и монцониты; порфиры, андезиты и андезито-дациты; кварцевые диориты и монцониты, сиенито-диориты, гранодиориты, дациты и андезито-дациты; гранодиориты, роговообманковые граниты и монцонито-граниты, биотитовые граниты и лейкократовые граниты. Они слагают небольшие гипабиссальные, приповерхностные и субвулканические тела, вытянутые вдоль разломов и сложенные щелочноземельными породами резко неравновесного состава. Им сопутствуют жильные образования кислого, умеренно кислого и основного состава. Начальные фазы комплекса отличаются повышенной ролью натрия; в образованиях средних фаз разница в содержании щелочных металлов менее заметна, а в конечных, существенно гранитных, резко уменьшается содержание полевошпатовой извести, магнезии и железа и возрастает роль калия. Интрузивы сопровождаются широкими зонами роговиков (2–3 км), обогащенных кальцием, магнием, железом и калием и постмагматической минерализацией олова кварцевожильного, турмалин-сульфидного, хлорит-сульфидного и сульфидного типов, а также молибдена, вольфрама, свинца и цинка.

Интрузивные фации верхнеудоминского и иолийского дат-палеоценовых эфузивно-интрузивных комплексов близки фациям бачелазского и бапинского комплексов. Они образуют небольшие слабо эродированные тела в Восточно-Сихотэалинской зоне мезозоид и среди эфузивов, тяготеющие к границе с Прибрежным вулканогеном. Эфузивные фации комплекса представлены: андезитами, андезито-дацитами, андезито-базальтами и туфами, липаритами, фельзитами, дацитами, кварцевыми порфирами, туфами и ксенополовобрекчиями. Интрузивные члены комплексов многофазны. В их составе выделяются: габбро-диориты и габбро-амфиболиты, монцонито-гранодиориты, биотитовые и роговообманково-биотитовые граниты, лейкократовые граниты и гранит-порфиры. При этом, как отмечает Э. П. Изох (1962 г.), эволюция состава комплексов приводит к субщелочным гранитам с преобладающей ролью в составе калия. Глубина формирования интрузивов не превышает 1–1,5 км. Их сопровождают широкие ореолы контактовых и постмагматических изменений — хлоритизация, турмалинизация, сульфидная и другая минерализация, а в эфузивах — ороговиковование и образование вторичных кварцитов. Для этих комплексов характерен редкометально-

полиметаллический рудный комплекс — Sn, W, Pb, Zn, отчасти Mo и др. Оловянное оруденение представлено типами, близкими предыдущим комплексам, но с отчетливо преобладающей ролью хлорит-сульфидного оруденения.

Оруденение, связанное с перечисленными комплексами, подчинено минерализованным зонам дробления, контролируемым разломами преимущественно сихотэалинского направления.

По структурным и металлогеническим особенностям на площади Северо-Сихотэалинской области выделяются металлогенические и рудные зоны, рудные районы и узлы (см. рис. 9). Две крупные оловоносные металлогенические зоны — Хорско-Анюйская и Коппинская — являются приамурской частью соответствующих оловоносных зон Южного Приморья.

Хорско-Анюйская олово-вольфрамовая металлогеническая зона

Зона представляет собой западную часть Северо-Сихотэалинской области, сложенной геосинклинальными и инверсионными осадками карбона, ранней и поздней перми, позднего триаса и юры, а также подчиненными им интрузиями гипербазитов. Эти складчатые образования интрудированы позднепалеозойскими и раннемеловыми гранитоидами катэнского, хунгарийского и алчанского комплексов, с которыми связана преимущественно высокотемпературная (скарновая, грязеновая и кварцевожильная) минерализация олова и вольфрама, молибдена и редких металлов, отчасти свинца и цинка. Гипербазиты сопровождаются слабой хромитоносностью и проявлениями никелевой минерализации типа никеленосных кор выветривания. Позднемеловые интрузивные породы (бапинский и бачелазский комплексы) и позднемеловые — палеогеновые (верхнеудоминский и иолийский комплексы) развиты незначительно.

На площади зоны выделяются шесть оловоносных районов: Верхнеудоминский, Хунгариjsкий, Анюйский, Верхнекорский, Хорский и Катэнский.

Верхнеудоминский оловоносный узел (31). Это небольшой прямоугольный блок на северо-восточном фланге Хорско-Анюйской зоны в месте сочленения Северо-Сихотэалинской оловоносной и Нижнеамурской золотоносной областей, где Тумнинская и Хунгариjsкая зоны близширотных разломов в сочетании с разломами сихотэалинского направления создают сложноблоковую структурную обстановку.

По данным В. Н. Плиева (1958 г.), П. А. Эпова (1953 г.), Ю. М. Вдовина (1961 г.), М. Ю. Жилина (1950 г.) и др., площадь узла сложена позднеюрско-раннемеловыми терригенно-фишиоидными формациями, дислоцированными в линейные складки северо-восточного простираия, кое-где перекрытыми сенон-датскими кислыми эфузивами татаркинской свиты. Породы интрудированы небольшими телами позднемеловых и позднемеловых — палеоценовых (верхнеудоминских) гранитов, представляющих большей частью

приповерхностные субэфузивные фации. С севера и юга площадь узла ограничена Тумпинским и Хунгарийским разломами, а с запада и востока — сателлитами Центрально-Сихотэалинского структурного шва.

На площади узла (П. А. Эпов, 1952 г.), составляющей не менее 800 км², известно около десятка оловорудных проявлений кварц-хлоритового, хлорит-сульфидного и кассiterит-сульфидного типов. В размещении оруденения намечаются признаки зональности: рудопроявления кварц-хлоритового и хлорит-сульфидного типов располагаются среди терригенных образований позднеюрско-раннемелового структурного этажа, а кассiterит-сульфидные и сульфидные — среди кислых эфузивов (Удоминское рудопроявление).

Во всех случаях это минерализованные зоны дробления, которые в терригенных породах сопровождаются кварцевыми жилами и прожилками с рудной минерализацией и интенсивными гидротермальными изменениями — хлоритизацией и окварцеванием, а в эфузивах также каолинизацией и карбонатизацией. Простижение зон северо-восточное, согласное со складчатостью; иногда они следуют вдоль границ литологических разностей пород. Мощность зон достигает 10 м, а протяженность до 400 м.

Вещественный состав минерализации сложный. В рудах кварц-хлоритового типа присутствуют кассiterит, пирит, арсенопирит, пирротин, галенит и сфалерит, иногда шеелит и золото, стибнит и марказит. Аналогичный состав минералов характерен и для рудопроявлений кассiterит-сульфидного типа, занимающих более высокое гипсометрическое положение; в них возрастает лишь роль сульфидов свинца, цинка и меди. Примером последнего является Удоминское месторождение, залегающее в кислых эфузивах и их пирокластах, перекрывающих юрско-меловые терригенные образования. Аналогично рудопроявление ключа Сенокосного.

Содержание олова в кварц-хлоритовых рудах по отдельным пробам достигает 2,5%. Спектральными анализами в окисленных рудах рудопроявлений Удоминского и ключа Сенокосного установлено наличие серебра, мышьяка, висмута, никеля, вольфрама и галлия.

Все это позволяет положительно оценивать перспективы Верхнеудоминского узла. Структурно-геологическая позиция, как и благоприятный формационный тип оловянного оруденения, выгодно отличает перспективы узла и выдвигает его в ряд первоочередных площадей для постановки в первую очередь крупномасштабного геологического картирования и поисков.

Хунгарийский район олово-вольфрамовой минерализации (32). Район, площадью до 5000 км², располагается южнее Верхнеудоминского узла и заключен между Хунгарийским и Джегдаминским близширотными разломами. С запада район ограничен Центрально-Сихотэалинским швом, а с востока — несколько условной линией западной кромки распространения палеогеновых эфузивов.

В его строении принимают участие терригенные и вулканогенно-

терригенные породы позднетриасово-среднеюрского и флишоидные образования позднеюрско-раннемелового структурных комплексов, интрудированных крупными массивами раннемеловых гранитов хунгарийского комплекса.

Рудная минерализация проявлена слабо и представлена в основном шлиховыми ореолами вольфрамита, кассiterита, отчасти золота, а вдоль разломов — киновари; имеются слабые проявления асбеста и талька в связи с ультрабазитами хорского комплекса.

Ануйский район олово-вольфрамовой минерализации (33). Район охватывает верховья рек Ануй и Джаур и представляет собой крупный прямоугольный блок площадью около 7500 км², несколько вытянутый вдоль ограничивающих его с востока и запада разломов сихотэалинского направления. Западной стороной район прилегает к Центральному структурному шву, а с юга и севера ограничивается поперечными зонами повышенной трещиноватости — Верхнекопинской и Джегдаминской.

По данным Н. Н. Воронцова (1955 г.), И. А. Плотникова (1960 г.) и других, геологическое строение района неоднородно: западная часть сложена геосинклинальными позднепалеозойскими, а восточная — позднетриасово-среднеюрскими сложно дислоцированными формациями. Эффузивные образования в районе почти отсутствуют. Палеозойские осадочные формации включают интрузии ультрабазитов палеозойского и мелового возраста, интрудированы раннемеловыми гранитами сандинского комплекса, которые в свою очередь прорываются позднемеловыми гранитоидами бапинского комплекса.

С гипербазитами, по Э. П. Изоху и другим (1962 г.), связаны слабые проявления гидросиликатов никеля, с раннемеловыми гранитами — механические ореолы рассеяния олова и вольфрама и скарновый тип полиметаллического оруденения, а с позднемеловыми гранитами — кварцевожильная и грейзеновая минерализации редких металлов, олова и вольфрама, а также хлорит-турмалин-сульфидные зоны минерализации и кварцево-сульфидные жилы. К проявлениям кварцевожильного оруденения (Э. П. Изох и др., 1962 г.) относится Богбасинское проявление, представленное кварцево- прожилковыми и штокверковидными зонами и кварц-топазовыми жилами с вольфрамитом, арсенопиритом, кассiterитом и сульфидами. Этот тип минерализации, по тем же данным, заметно развит на Томчинском рудопроявлении, где наряду с грейзенами и кварцевыми жилами присутствуют хлорит- и турмалин-сульфидные зоны.

Скарново-полиметаллическое оруденение представлено Тайгинским месторождением. Оно, по данным С. Л. Штейнберга (1963 г.), располагается в приподнятом блоке палеозойских карбонатно-кремнисто-вулканогенных и терригенных пород, ороговиковых и скарнированных. Месторождение связано с одной из поперечных (слабозолотоносных) зон повышенной трещиноватости. Рудоносные гранато-пироксеновые скарны приурочены к пластам мраморизованных известняков; они представлены двумя залежами (мощностью 14,5 и 24 м) — сложными массивными, вкрапленными

и прожилковыми рудами с галенитом, сфалеритом, халькопиритом и подчиненными борнитом, блеклыми рудами, пиритом и арсенопиритом. В одной из залежей 9,5 м из 14,5 м приходятся на массивные и вкрапленные руды, со средними содержаниями: Pb 2,17%, Zn 6,39%; Cu 2,4%. В другой залежи среднее содержание (на мощность в 24 м) составляет: Pb 1,4% и Zn 3,04%. В рудах месторождения обнаружено до 0,3% олова. Месторождение слабо изучено.

Если учесть, что в его окрестностях на площади около 100 км² известен целый ряд аналогичных по типу рудопроявлений (ключи Угрюмый и др.), а также обнаружены вкрапленно-прожилковые и минерализованные зоны дробления, содержащие свинец, медь и цинк, то становится очевидной необходимость возобновления в этом районе поисково-оценочных работ. Проведенные в 1963 г. на площади Таунгинского месторождения и его окрестностей геофизические исследования (Головко и Котляровский, 1964 г.) не подтверждают ранее высказанной геологами отрицательной оценки.

Несколько отлично Джаруское скарново-олово-вольфрам-полиметаллическое месторождение, расположеннное северо-западнее Таунгинского, в пределах той же поперечной (слабозолотоносной) полосы трещиноватости, которая ограничивает район с севера и в которой располагается Таунгинское месторождение. Оруденение приурочено к гранат-пироксеновым скарнам, образовавшимся в зоне брекчий за счет диабазовых порфиритов. Выделяются несколько парагенезисов: скарновый, шеелит-сфалеритовый, кварц-кассiterит-вольфрамитовый и карбонат-галенитовый (В. К. Финашин, 1959 г.). В составе руд преобладают галенит и сфалерит.

В районе имеются также проявления апоэффузивных скарнов с редкометальной минерализацией.

Таким образом, Ануйский район перспективен для поисков редких металлов и полиметаллических руд. Его изучение целесообразно продолжить. С точки зрения поисков полиметаллических месторождений скарнового типа представляет интерес вся площадь между Таунгинским и Джаруским месторождениями. На ней целесообразна постановка крупномасштабных съемочно-поисковых работ. Заслуживает внимания и площадь Томчинского рудопроявления (юго-западная часть района). Таким образом, кроме северо-западной полосы Таунга — Джар, крупномасштабное геологическое картирование и поиски следовало бы провести на участках площади северо-восточного фланга зоны Томчи — Ануй — Джар.

Верхнехорский район олово-вольфрамовой и молибденовой минерализации (34) и Хорский район олово-вольфрамовой минерализации (35). К юго-западу от Ануйского последовательно располагаются Верхнехорский и Хорский рудные районы. Северо-западная и юго-восточная границы их — Центрально-Сахотэалинская и Катэн-Коппинская зоны разломов, а северо-восточная и юго-западная — поперечные (слабо золотоносные) зоны повышенной трещиноватости — Верхнехорская и Гвасюгинская. Оба района имеют близкие черты геологического строения и рудоносности, поэтому граница

между ними несколько условна, несмотря на довольно четко проявленную зону Мухено-Самаргинского разлома. Приводим их совместное описание.

Каждый район имеет форму, приближающуюся к прямоугольной, и площадь порядка 7500—8000 км². По данным В. А. Ярмолюка (1949 г.) и А. В. Кочубея (1952 г.), в их строении принимают участие два структурно-формационных комплекса, сложенные геосинклинальными образованиями: а) позднепалеозойский (в западной части района) и б) позднетриасово-среднеюрский (в восточной). В восточной части Верхнекорского района имеются небольшие поля флишоидов позднеюрско-раннемелового и терригенных образований баррем-раннесенонанского структурных этажей. Проявления оруденения имеются лишь на площадях развития пород первых двух этажей.

Верхнекорский район, подобно Ануйскому, характеризуется развитием раннемеловых гранитов хунгарийского комплекса, локализующихся в зоне позднепалеозойских образований. В восточной части имеются небольшие массивы позднемеловых гранитоидов. Аналогичное положение и в Хорском районе, однако здесь наряду с гранитоидами на его площади проявлены ультрабазиты, образующие веретенообразные тела вдоль Центрально-Сихотэалинского разлома.

По материалам В. Е. Проскурикова (1955 г.), А. В. Кочубея (1952 г.) и других, в районах имеются проявления олова и вольфрама, молибдена, свинца и цинка, никеля. Вольфрам-оловянная минерализация представлена малоперспективными кварцево- прожилковыми и грязеновыми образованиями в экзо- и эндоконтактовых частях гранитных массивов. Эти проявления являются источниками широко распространенных ореолов рассеяния кассiterита, вольфрамита и редкометальных минералов.

Молибденовая минерализация проявлена в южной половине Верхнекорского района среди позднетриасово-среднеюрских пород, интрудированных хунгарийскими гранитами. Ее представители — рудопроявления горы Купол и ключа Сысоева, выявленные работами В. А. Ярмолюка в 1948 г. Они располагаются в краевых частях небольших массивов мелкозернистых аплитовидных гранитов и представляют собой штокверковидные тела, несущие вкрапленность молибденита, пирита, арсенопирита, халькопирита, иногда гнездовые обособления кассiterита и вольфрамита.

Свинцово-цинковая минерализация представлена несколькими рудопроявлениями в Хорском районе. Они характеризуются вкрапленным оруденением (галенит, сфалерит, пирит, халькопирит, гематит) в зонах трещиноватости и дробления среди терригенных и вулканогенно-терригенных образований, интрудированных гранитами хунгарийского комплекса. Некоторые из них слабо никеленосны и содержат вкрапленность молибдена. В этом же районе, в зоне Центрально-Сихотэалинского разлома, имеются слабые проявления никелевой минерализации типа пропилитов (кальцит, кварц,

альбит, актинолит, пирит, миллерит, магнетит, марказит), располагающиеся близ гранитовых массивов хунгарийского комплекса, среди верхнемеловых вулканитов и туфодиабазов позднепалеозойских кремнисто-вулканогенных формаций.

Катэнский район золото-полиметаллической минерализации (36). Это самый южный район Хорско-Аннойской металлогенической зоны. Специфической особенностью его рудоносности является существенно золото-полиметаллическая, вольфрамовая и никелевая минерализация. К сожалению, многие детали геологического строения и металлогенеза района еще недостаточно изучены.

Границами района с запада и востока являются Центрально-Сихотэалинская и Катэн-Копчинская зоны разломов, а на севере — близширотная зона повышенной трещиноватости. В сторону Южного Приморья граница района открыта. Район сложен позднепалеозойскими, позднетриасово-среднеюрскими и позднеюрско-раннемеловыми сложно дислоцированными породами, кое-где перекрытыми небольшими полями меловых эфузивов и мелкими телами позднепалеозойских (катэнский комплекс) и позднемеловых (бачелазский комплекс) гранитов.

По имеющимся данным, золотая минерализация представлена преимущественно пропилитовой формацией, а в южной части района кварцевожильной. С зонами палеозойских пропилитизированных эфузивов связано преимущественно прожилково-вкрашенное полиметаллическое оруденение (пирит, галенит, сфалерит, халькопирит). Аналогичны и зоны золотоносных пропилитов. К ним относится Катэнское рудопроявление, представляющее собой субмеридиональную зону мощностью около 200 м и протяженностью до 2000 м, включающую жилы и линзы кварца, зоны брекчирования и окварцевания с вкрашенностью пирита и золота. Содержание последнего достигает 4 г/т. Возможно, этот тип рудного золота и служит источником россыпной золотоносности, установленной в бассейне рек Катэн и Кафэ.

Проявления кварцевожильного типа золотого оруденения имеются в бассейне рек Матай, Химы и других местах. Они локализуются близ Центрально-Сахотэалинского разлома и известны по свалам кварцевых жил и окварцованных, пиритизированных и обожренных брекчий, содержащих до 1,5 г/т золота.

Интересна шеелитоносность Катэнского района. Содержание шеелита в аллювии р. Катэн достигает 100 г/м³, а в протолочках гидротермально измененных вулканогенно-терригенных образований до 800 г/т (И. А. Плотников, 1961 г.). В верховьях р. Катэн, т. е. за рамками характеризуемого района, содержание шеелита в аллювии резко снижается до знаковых (М. Ф. Кохановский, 1963 г.).

Таким образом, максимальная шеелитоносность сосредоточена на площади Катэнского района. В связи с этим Катэнский район может представлять интерес для поисков скарновых золото-шеелитовых месторождений, аналогичных приморским, которые связаны

с позднеюрскими (?) (татибе-синанчинскими) гранитоидами, локализующимися в зоне Центрально-Сихотэалинского структурного шва (Ю. Н. Размахнин, 1964 г.).

Коппинская оловоносная металлогеническая зона

Коппинская зона наиболее перспективна по олову (рис. 25). Она располагается восточнее Хорско-Анюйской зоны, к которой непосредственно примыкает по Катэн-Коппинскому разлому и вытягивается в северо-восточном направлении до 380 км (от Хунгарицкой зоны разломов до южных границ Хабаровского края). Ширина зоны варьирует от 20—30 до 80 км. Ее восточная граница — западная кромка Прибрежного вулканогена. На юге зона переходит в Главную оловоносную зону Южного Приморья.

По материалам исследований Б. Я. Абрамсона (1951 г.), Г. В. Золотухина (1954 г., 1957 г.), Э. П. Изюха и др. (1962 г.), Н. Н. Пагольского (1957, 1958 гг.), М. А. Ахметьева (1962 г.), А. В. Палагина (1968 г.) и многих других, в геологическом строении зоны принимают участие три структурно-стратиграфических комплекса: позднеюрско-валанжинский, баррем-раннесенонский и позднесенон-палеогеновый. Первый комплекс представлен преимущественно терригенно-флишидными образованиями мощностью около 600 м, интенсивно дислоцированными в складки северо-восточного простирания. Эти образования слагают в основном северную часть зоны (рудную зону Мопау).

Второй структурный этаж сложен менее дислоцированными морскими терригенными образованиями мощностью выше 7000 м (уктурская, ларгасинская, удоминская свиты), слагающими южную большую часть зоны.

Слабее развит третий структурный комплекс, представленный вулканогенными образованиями среднего и кислого состава, образующими небольшие поля слабо дислоцированных порфириотов, кварцевых порфиров и их туфов, андезитов и дацитов мощностью до 2000 м, тяготеющие к границе с прибрежным вулканогенным (ольгинская, тахобинская, самаргинская свиты).

В зоне интенсивно проявлен позднемеловой и позднемеловой-палеогеновый интрузивныймагматизм (бачелазский и бапинский, верхнеудоминский и иолийский комплексы), контролируемый разломами сихотэалинского, отчасти монголо-охотского направлений. При этом размер и форма интрузивов, их состав и рудоносность заметно различны для северной и южной частей зоны.

В северной части зоны интрузивов меньше, но они крупнее, сложены гранитами и вытянуты вдоль разломов. В южной части зоны интрузивы более обильны, но отличаются небольшими размерами, изометричной формой и несколько повышенной основностью состава. Граница между этими частями зоны совпадает с поперечной Ботчинской зоной повышенной трещиноватости.

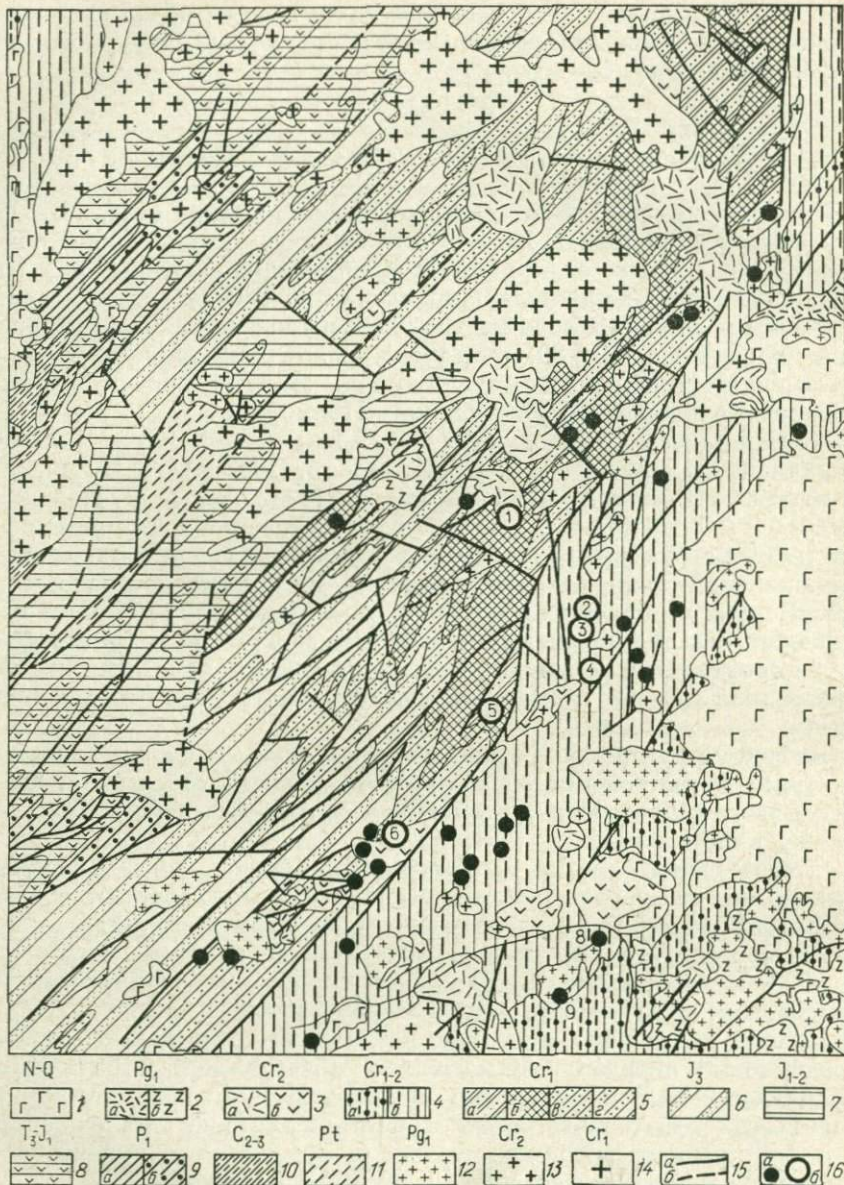


Рис. 25. Схема геологического строения Северо-Сихотэалинской оловоносной площади. Составлена по материалам А. В. Палагина, М. В. Мартынюка, Е. Б. Бельтенева, А. А. Головневой, К. М. Худолея, Ю. М. Вдовина, Н. М. Нагольского, Б. А. Абрамсона, А. Б. Разживина, Я. И. Файна, Г. М. Левитана, М. А. Ахметьева и др.

1 — базальты, долериты и андезито-базальты (совгаванская и кизинская свиты); 2 — а — липариты и их туфы, б — андезиты, дациты, порфириты, туфы (самаргинская свита); 3 — а — кварцевые порфириты, фельзиты, их туфы (татаркинская свита); 5 — б — порфириты, дациты, туфоконгломераты, туфопесчаники, туффиры (амутская свита); 4 — а — конгломераты, алевриты;

Неодинаков и характер минерализации. Северная часть зоны отличается хлорит-сульфидной оловянной минерализацией, сопровождающей свинцово-цинковой, отчасти проявлениями молибденового и золотого оруденения. Рудоносность южной части зоны проявлена слабее, что, может быть, объясняется и слабой ее изученностью (в связи с меньшей эрозией площади). Последнее тем более вероятно, что прилегающие районы Южного Приморья (Верхнебикинский) отличаются большей насыщенностью рудопроявлениями олова, вольфрама, молибдена, золота, киновари, свинца и цинка. По формационным признакам оруденения и геологическим условиям его проявления в пределах зоны выделяются несколько рудных районов, рудных зон и узлов.

Мопауская оловорудная зона (37). Занимает северный фланг Коппинской металлогенической зоны, охватывающий верховья рек Бута и Коппи и соответственно площадь развития пород верхов позднеюрско-раннемелового и баррем-раннесенонского структурно-формационных комплексов. Простирание рудной зоны северо-восточное. Протяженность ее от Хунгарийского разлома, ограничивающего ее с северо-востока, до Ботчинского на юго-западе составляет 130 км; с северо-запада и юго-востока зона ограничена также разломами. Ее ширина достигает 40 км. Эта рудоносная площадь именуется также Бута-Коппинским рудным районом. В настоящее время это относительно наиболее изученная часть Коппинской металлогенической зоны.

По материалам А. В. Палагина и М. В. Мартынюка (1967 г.), Мопауская зона сложена позднеюрско-раннемеловыми флишоидными отложениями, отчасти баррем-раннесенонскими терригенными и позднемеловыми и палеогеновыми эфузивами, которые интрудированы гранитоидами бапинского и иолийского комплексов. Гипабиссальные массивы этих комплексов сопровождаются роговиковыми полями, в которых выделяются оклоинтрузивная биотит-кордиеритовая зона и внешняя зона слабо ороговикованных пород. Близповерхностные интрузивы контактовым метаморфизмом практически

вролиты, туфы, туффиты, порфиры, глинистые сланцы (ларгасинская свита); 6 — то же и кремнисто-глинистые породы (уктурская свита); 5 — а — алевролиты, песчаники и гравелиты, конгломераты (пиванская свита); 6 — алевролиты, глинистые сланцы, песчаники (пioneerская свита); 8 — песчаники, алевролиты, гравелиты, кремнисто-глинистые и глинистые сланцы, известняки (горюнская свита); 9 — нерасчлененные валанжинские отложения; 6 — песчаники и алевролиты, кремнистые, кремнисто-глинистые и глинистые сланцы, спилиты, диабазы, известняки; 7 — глинистые сланцы, песчаники, конгломераты, алевролиты (хунгариjsкая свита); 8 — кремнистые и глинистые сланцы, диабазы, спилиты, песчаники, известняки (джаурская свита); 9 — а — песчаники, алевролиты, кремнисто-глинистые и глинистые сланцы, известняки (кафанская свита); 6 — кремнистые, кремнисто-глинистые и глинистые сланцы, известняки (ходжемская свита); 10 — диабазовые порфиры, спилиты, кремнистые сланцы, филлиты, алевролиты (джокемийская свита); 11 — мусковитовые, серцитовые, слюдяно-кварцевые и слюдяно-альбитовые сланцы и филлиты; 12 — граниты, гранодиориты, гранодиорит-порфиры, кварцевые диориты, диориты и габбро-диориты; 13 — граниты и гранит-порфиры, гранодиориты и гранодиорит-порфиры, монцониты и кварцевые монцониты, диориты и габбро-диориты, кварцевые диориты, диоритовые порфиры; 14 — граниты высокоглиноzemистые, адамеллиты, гранит-порфиры, гранодиориты и гранодиорит-порфиры, кварцевые диориты и диориты, диоритовые порфиры; 15 — разломы: а — установленные, б — предполагаемые; 16 — рудопроявления (а) и места рождения (б): Мопау (1), Рудинское (2), Таусинское (3), Надежда (Сакай-Бапу) (4), Пионерское (5), Уджакинское (6), Яко-Яни (7), ключа Ольхового (8), высота 1176 (9).

не сопровождаются. Как отмечают А. В. Палагин и М. В. Мартынюк, продукты контактового метаморфизма гипабиссальных интрузивов одинаковы для всех комплексов. Различия заключаются лишь в биотитизации, которая наиболее характерна для молодых комплексов. При этом она почти не затрагивает гранитов; она сопровождает контактовые ореолы и вместе с ними, распространяясь на большие площади, предшествует постмагматической минерализации. Биотитизацией объясняются некоторые магнитные аномалии, совпадающие с надинтрузивными криптобатолитовыми ареалами, в связи с чем биотитизацию следует рассматривать в качестве прямого поискового признака.

Гидротермальные изменения пород сопровождают преимущественно малоглубинные интрузивные комплексы и особенно иолийский. Эти изменения представлены: 1) грейзенизацией, сопровождаемой высокотемпературной минерализацией олова, вольфрама и висмута; 2) турмалинизацией, хлоритизацией и актинолитизацией, проявляющимися в форме вкрапленности, кварц-турмалиновых, кварц-хлоритовых и актинолитовых прожилков, метасоматических зон окварцевания, турмалинизации и окварцевания в мощных зонах дробления. Последние всегда сопровождаются повышенным содержанием олова, вольфрама и других рудных элементов и представляют собой рудоносные зоны. А. В. Палагин и М. В. Мартынюк отмечают частую приуроченность оруденения к трещинам и трещинным зонам, радиально ориентированным по отношению к массивам гранитоидов. Сопоставляя характеризуемую рудную зону с Арму-Иманским рудным районом Южного Приморья, они дают высокую оценку ее перспектив.

Зона включает ценные по типовым особенностям рудопроявления и месторождения олова, выдевающие ее в разряд наиболее перспективных рудоносных структур. Среди известных месторождений и рудопроявлений, которых насчитывается около 30, грубо можно выделить три главных типа: грейзеновый, кассiterит-хлорит-турмалиновый и кассiterит-кварц-пирротин-арсенопиритовый, принадлежащие, соответственно, кассiterит-кварцевой, кассiterит-силикатной и кассiterит-сульфидной формациям.

Среди представителей кассiterит-кварцевой формации известны рудопроявления: Болойкинское, Судулюнэ, Сисинку, Муни и другие, однако они не заслуживают внимания. Эти рудопроявления располагаются либо в гранитах, либо в непосредственной близости от них и представлены сетью варцевых и кварц-полевошпатовых жил и прожилков в грейзенах и сетчатых прожилков в зонах дробления среди ороговикованных пород. Их состав: кварц, мусковит, реже топаз и флюорит, вольфрамит, шеелит и кассiterит, реже молибденит и висмутин, пирит, халькоцирит и др.

Проявления оловянного оруденения кассiterит-силикатной формации распространены значительно шире. Из относительно более крупных объектов отметим месторождение Сакай-Бапу (Надежда), относящееся к хлорит-турмалиновому типу. Проявления этого типа оруденения располагаются в ороговикованных осадочных породах,

реже в эффузивах, сравнительно близко от гранитных массивов в их криптоабатолитовых ареалах. Рудные тела представляют собой минерализованные зоны дробления, окварцевания, серicitизации, хлоритизации и турмалинизации, содержащие кварцевые жилы или участки прожилкового окварцевания; иногда они представляются как брекчи с кварц-хлорит-турмалиновым цементом. Их протяженность достигает 1—2 км, а мощность — нескольких метров.

Наиболее распространенным и достаточно перспективным представляется кварц-кассiterит-сульфидный тип оруденения, соответствующий арсенопирит-шарротиновому и галенит-сфалеритовому типам классификации Е. А. Радкевич (1956). Его проявления располагаются вне связи с интрузивными массивами иолийского комплекса и ареалов контактово-метаморфизованных пород, среди осадочных пород, реже эффузивов и гранитов бапинского комплекса, сопровождающихся лишь слабым оклорудным окварцеванием, серicitизацией и хлоритизацией.

Рудные тела представляют собой крупные минерализованные зоны дробления протяженностью до 3—6 км и мощностью от 5 до 30 м. В их строении принимают участие кварцевые и кварц-сульфидные жилы, несущие основную рудную минерализацию, а также кварц-серicitовые и кварц-хлоритовые метасоматиты. Рудоносные зоны сопровождаются дайками диоритового и диабазового состава. Представителями этого типа являются месторождения Таусинское, Пионерское, Уджакинское, Мопау и ряд рудопроявлений. Все они рассредоточены в северной и южной частях Мопауской зоны, условно именуемых нами узлами — Мопауским и Бюленейским.

Мопауский рудный узел представляет наибольший интерес. Площадь узла охватывает верховье бассейна р. Бута. Она сложена в основном флишиодными отложениями юрско-мелового формационного комплекса и совпадает с участком повышенной «проницаемости», обусловленной сочетанием близширотных разломов (Джегдаминского и Мопауского и др.) со структурами сихотэалинского направления. В связи с этим в пределах узла, наряду с доминирующей оловянной, проявляется также слабая золотая минерализация (рудопроявление «Золотой ключик»); имеются единичные слабо изученные проявления молибдена, вольфрама и сурьмы. Наиболее представительны Мопауское месторождение, Пионерское, Надежда и Таусинское.

Мопауское месторождение, по данным Н. И. Познякова (1954 г.), В. К. Финашина (1955 г.), Е. А. Балуева (1963 г.), А. В. Палагина (1963 г.), Н. С. Деревянко (1970 г.), располагается в верховьях одноименной реки (левый приток р. Бута), бассейн которой сложен терригенно-флишиодными образованиями пионерской свиты (ранний мел) и кислыми вулканитами верхнего мела, интрудированными позднемеловыми и палеогеновыми гранитами, дайками порфиритов, фельзитов, кварцевых порфиров и гранит-порфиров (см. рис. 25). Эффузивные образования сопровождаются жерловыми фациями.

Месторождение приурочено к структуре вулканического аппарата, локализуется среди эфузивов. Его площадь слагают: кварцевые порфиры, их ксенолавобрекции и лавобрекции фельзитов, прорванные экструзиями и дайками фельзитов, кварцевых порфиров и гранит-порфиров. Рудовмещающими являются зоны дробления, группирующиеся в три полосы длиной от 500 до 950 м и залегающие среди фельзитов, кварцевых порфиров и гранит-порфиров. Ширина зон варьирует от 70 до 200 м; простирание северо-восточное, падение крутое, морфология сложная, контакты нечеткие. Их сопровождают продукты окварцевания, хлоритизации, серицитизации, отчасти карбонатизации. Площадная гидротермальная переработка пород рудного поля очень слабая.

Рудные тела в зонах дробления имеют также нечеткие очертания. Они представляют собой линзовидные участки интенсивно гидротермально измененных пород и по существу являются кварц-сериицитовыми метасоматитами. Их сопровождает тонковкрапленная и наложенная тонкопрожилковая минерализация кассiterит-кварц-полевошпатового, кварц-кассiterит-сериицитового и флюоритового, кварц-кассiterит-хлоритового и кварц-кассiterит-арсенопирит-хлоритового состава. Мощность прожилков колеблется от волосовидных до 0,5 см (иногда до 5—10 см). Их густота достигает 7—10 на 1 м поперечного сечения рудного тела, но иногда они оказываются сближенными и образуют богатые по содержанию олова, но очень сложные по строению и форме рудные участки.

Протяженность рудных тел более 400 м, а мощность — десятки метров, при среднем содержании олова порядка 0,3%. Наряду с этим имеются и более крупные штокверковые участки мощностью до 100 м и с промышленным содержанием олова. Таким образом, в грубых чертах на месторождении выделяются две стадии (и два типа) оруднения: метасоматическая и прожилковая, разделенные послеграницевыми дайками диоритовых и диабазовых порфиритов. Для минерализованных зон и заключенных в них рудных тел как метасоматического, так и прожилково-штокверкового типа, характерна нечеткость их границ с вращающимися породами. Это затрудняет изучение месторождения. Имеющиеся предварительные материалы горнобуровых работ характеризуют это месторождение как очень интересный в геологическом плане, но сложный по геометрии объект, оценка которого потребует значительного объема работ.

Месторождение Надежда, по материалам А. В. Демина и В. А. Фальковского (1963 г.), Г. А. Тарасова и Р. Д. Печинского (1966 г.), А. В. Палагина (1968 г.), располагается на участке S-образного изгиба — синклинальной складки, сложенной преимущественно песчаниками и алевролитами раннего и низов позднего мела (уктурская и ларгасинская свиты). Породы интрудированы и метаморфизованы серией небольших гранитоидных штоков и разбиты разломами северо-восточного и близмеридионального направления. Последние контролируют размещение дайковых тел диабазовых и диоритовых порфиритов, а также рудоносные минерализованные

зоны окварцевания, серicitизации, аткниолитизации и хлоритизации.

На участках активного контактowego метаморфизма они сопровождаются тонкими прожилками топаз-мусковит-кварцевых грейзенов, иногда с игольчатой вкрапленностью кассiterита. Рудоносные зоны имеют изменчивую морфологию и значительную протяженность — от 100 до 2000 м, при мощности от 0,25 до 13 м. Им подчинены участки интенсивно гидротермально измененных пород, разбитых сетью кварцевых жил и прожилков, несущих основную рудную минерализацию. Эти участки представляют собой рудные тела. В их составе присутствуют: кварц, арсенопирит, кассiterит, вольфрамит, шеелит, пирит, пирротин, халькопирит, сфалерит, галенит и др. На месторождении выявлено около 8 рудных тел. Их протяженность колеблется от 40 до 500 м, средняя мощность от 0,5 до 1,5 м, а среднее содержание олова достигает 0,3—0,9%.

Проведенные здесь поисково-разведочные работы показали, что при удовлетворительном содержании олова в рудах месторождение обладает небольшими размерами.

Пионерское месторождение располагается по ключу Мутному, правому притоку р. Буты. По материалам Л. С. Штейнберга, А. К. Егорова, Н. Ф. Смирнова, О. С. Богатырева, А. В. Палагина и Ю. В. Рипинского, месторождение располагается в сводовой части антиклинальной складки северо-восточного простираия, сложенной переслаиванием алевролитов и песчаников пионерской свиты, а местами средне- и крупнозернистыми песчаниками, гравелитами и конгломератами уктурской свиты. Месторождение располагается вдали от интрузий; его породы не несут следов контактового метаморфизма; они разбиты широкой зоной разломов того же северо-восточного простираия — это главная рудоконтролирующая структура. В ней выявлено семь рудоносных минерализованных зон, протяженность их 3500 м, мощность до 30 м.

Морфология зон очень сложная. Наиболее протяженная из них — зона Пионерская, длина которой достигает 3650 м и мощность до 13 м. Остальные зоны (Вторая, Неожиданная, Промежуточная, Ближняя, Кулисная) кулисно располагаются в направлении, в общем параллельном Пионерской зоне, отличаются меньшей протяженностью, хотя мощность их на отдельных участках значительна.

Оруденение в зонах связано с прожилковым окварцеванием, которое является основным типом гидротермального изменения пород. Иногда в осевых частях зон наряду с прожилками располагаются кварцевые жилы и линзовидные тела брекчий, сцементированные кварцем. Интервалы зон и участки развития кварцевых жил, окварцованных брекчий и тонкопрожилковых образований в алевролитах представляют собой рудные тела. На месторождении выявлено более трех десятков таких рудных тел. Их протяженность колеблется от 40 до 300 м, мощность — от 0,6 до 3,7 м, а содержание олова — от 0,30 до 1,07%. В составе рудных тел присутствуют: кассiterит, арсенопирит, вольфрамит, пирротин, халькопирит,

галенит, сфалерит и др. Около 7% олова представлено сульфидной формой.

Таусинское месторождение располагается в 10 км севернее месторождения Надежда, по одноименному ключу в истоках р. Бута. Его площадь слагают терригенные, кремнистотерригенные и мергелистые породы уктурской свиты, перекрытые конгломератами, алевролитами и глинистыми сланцами ларгасинской свиты. Подобно Пионерскому месторождению вмещающие его породы никаких контактовых изменений не обнаруживают; отмечается лишь слабое окварцевание, серicitизация и хлоритизация вблизи рудоносных зон. Последние имеют близмеридиональное (север-северо-восточное) простирание и, вероятно, следуют вдоль нарушений, оперяющих разломы субмеридионального направления.

Строение рудоносных зон менее сложное, чем на Пионерском месторождении, хотя они также сопровождаются апофизами. На месторождении выявлено три зоны: Лимонитовая, Кварцевая и Таусинская. Лимонитовая самая крупная, ее длина составляет 2280 м, мощность от 0,4 до 9 м. Вмещающие породы в основном лишь окварцованны. Характерно, что прожилковое окварцевание развивается в основном лишь в алевролитах. В составе минерализованных зон: брекчии, спементированные кварцем, кварцевые метасоматиты и окварцованные песчаники, иногда лимонитизированные породы и измененные диабазовые порфиры. Все эти образования обрамлены «чехлом» брекчированных и рассланцованных пород, сопровождающихся сетью кварцевых и кварц-лимонитовых прожилков. Ввиду этого геологические границы рудоносных зон нечеткие.

Рудная минерализация приурочена главным образом к брекчиям. В рудоотложении намечается несколько стадий: кварц-арсенопирит-кассiterитовая, сульфидная, кварцевая и карбонатная. Самая продуктивная первая стадия; во вторую отлагались пирротин, сфалерит, халькопирит, галенит, пирит, марказит, станин. На месторождении выделено свыше 10 рудных интервалов (рудных тел), в том числе шесть в зоне Лимонитовой. Их длина колеблется от 27 до 350 м, средняя мощность от 0,9 до 2,11 м, а среднее содержание олова от —0,29 до 0,85 %. По данным фазового анализа, в рудах месторождения не менее 90% олова представлено окисной минеральной формой.

В 1 км севернее Таусинского располагается Рудниковское месторождение. По существу оно представляет собой продолжение Таусинского месторождения, и вмещающие их породы аналогичны. Они здесь также нарушены разломами близмеридионального и близширотного направлений, которые сопровождаются зонами дробления и минерализацией. Однако, в отличие от Таусинского месторождения, породы интрудированы небольшим штоком позднемеловых диоритов, обусловливающих ореол контактовых изменений в зоне до 300—500 м. На месторождении выявлены две рудоносные зоны: Верхняя и Хлоритовая. Морфология зон сложная; иногда они имеют форму «конского хвоста». Строение зон аналогично зонам

Таусинского месторождения. Протяженность зон до 2700 м, мощность до 28 м. Оловоносны в зоне все породы, однако наиболее оруденелыми оказываются брекчированные породы. В составе оруденелых участков зон присутствуют: кассiterит, пирротин, пирит, ильменит, галенит, арсенопирит, сфалерит, гематит, аргентит, магнетит, халькопирит, золото и вторичные минералы. Рудные интервалы характеризуемых зон (рудные тела) достигают 242 м в длину и до 2,3 м мощности, при среднем содержании в них олова 0,32—0,45%. По данным фазового анализа, 89,6% олова в рудах представлено окисной формой.

В южной части зоны Мопау — на площади Бюленейского рудного узла рудопроявления заключены в треугольный блок, ограниченный разломами север-северо-восточного, северо-западного и северо-восточного направлений. Площадь узла охватывает бассейн р. Бюленей (приток р. Коши) и р. Уджаки (правый приток р. Аниой) и сложена валанжинскими и баррем-альбскими терригенными осадками и позднемеловыми эфузивами, интрудированными небольшими телами позднемеловых и раннепалеогеновых гранитоидов. На этой площади особенно среди терригенных и вулканогенных пород имеются довольно многочисленные проявления минерализации кварц-хлоритового, хлорит- и турмалин-сульфидного типов, в форме минерализованных зон дробления, окварцевания, хлоритизации, турмалинизации и сульфидизации (рудопроявления Яко-Яни, Волочаевское, Ночное, ключей Кварцевого, Большого, Длинного, Ивановского и др.).

Характерным их представителем является Уджакинское месторождение. Месторождение выявлено работами А. К. Егорова (1964) и Н. Ф. Смирнова (1965 г.). По материалам В. П. Палагина (1967 г.), Г. А. Ткаченко (1970 г.) и других, площадь месторождения сложена позднемеловыми андезитами, андезито-дацитами и дацитами больбинской свиты, несогласно залегающими на позднеюрских и раннемеловых, преимущественно терригенных образованиях. Это сближает его с Мопауским месторождением, расположенным в северной части характеризуемой зоны. Породы разбиты разломами близмеридионального, северо-восточного и северо-западного направлений, контролирующими размещение дайковых тел андезитов, фельзитов, диоритовых и диабазовых порфирий.

В полосе нарушений северо-восточного простирания длиной до 1400 м выявлен ряд кулисно расположивающихся зон дробления и минерализации, сопровождаемых многочисленными апофизами. Главнейшие из них — Центральная, Северная, Трояна и др. Протяженность зон варьирует от 130 до 725 м, при средней мощности около 10 м. Зонам дробления подчинены рудоносные тела серicit-кварцевых метасоматитов, кварцевых жил и прожилков, несущих вкрашенное и прожилково-вкрашенное оруденение, представленное касситеритом, арсенопиритом, пиритом, халькопиритом, станинитом, иногда сфалеритом и богатыми охрами.

В составе рудоносных метасоматитов содержание кварца достигает 40—50%, а иногда и 80—90%. При этом кварцевые жилы располагаются в осевой части тел метасоматитов и облекаются чехлом серицит-кварцевых агрегатов. Образование оловоносных метасоматитов происходит на фоне площадной биотитизации и хлоритизации вмещающих пород; окорудные породы изменены очень слабо. Всего выявлено свыше 10 тел рудоносных метасоматитов. Морфология их сложная; протяженность тел колеблется от 40 до 480 м, а мощность достигает более 2 м (в среднем 1,5 м); содержание олова колеблется от 0,4 до 1,46%.

Месторождение изучено только с поверхности. Его благоприятные особенности позволяют рекомендовать постановку более детальных работ и прежде всего изучение месторождения на глубину.

Оригинальны структурные особенности рудопроявления Яко-Яни. По данным Л. Н. Серебрякова, оно локализуется среди валанжинских осадочных флишоидов, частично среди интрудирующих их гранитоидов иолийского комплекса. Последние окружены роговиковыми ареалами шириной до 2 км. Непосредственно у контакта располагаются биотитовые и кордиеритовые роговики шириной 450—800 м, которые с удалением от массива сменяются ороговикованными породами. Минерализованные рудоносные зоны дробления располагаются в эндо- и экзоконтакте массива гранитоидов. Причем максимальная степень гидротермальных изменений наблюдается в зонах дробления, располагающихся по радиальным трещинам, идущим от интрузива (зоны Центральная, Коппинская, Гранитная), т. е. они начинаются в интрузиве и проходят в роговики. При этом в интрузиве они сложены грейзенизованными и окварцованными гранитоидами, пересеченными кварцевыми и кварц-турмалиновыми прожилками; в зоне контакта — кварц-серицитовыми метасоматитами (вплоть до монокварцитов), разбитыми густой сетью тех же прожилков, а в экзоконтактовой зоне представлены кварц-серицит-хлоритовыми метасоматитами, с которыми связана сульфидная минерализация.

Зоны, удаленные от интрузива (Западная, Яко-Янинская, Конгломератовая), располагаются на границе роговиков и ороговикованных пород; они сложены кварц-серицитовыми метасоматитами, рассечеными кварцевыми прожилками. А зоны, еще более удаленные от интрузива и залегающие среди слабо ороговикованных пород (Малютка, Сульфидная), сложены тонкими кварцевыми прожилками, сопровождающимися интенсивной сульфидной минерализацией, кварцево-сульфидными жилами, а также обособлениями сплошных сульфидных руд, сложенных арсенопиритом, пирротином, пиритом, халькопиритом, сфалеритом и другими минералами.

Таким образом, состав и типовые особенности минерализованных зон характеризуемого рудопроявления, проявляя зависимость от степени удаленности от интрузива гранитоидов, приводят к зональному их расположению, при котором выделяются зоны: внутриинтрузивная кассiterит-грейзеновая, близинтрузивная кварц-серицит-

турмалиновая и внеинтрузивная касситерит-сульфидной минерализации. Последняя наиболее благоприятна. Простирание рудоносных зон северо-восточное; протяженность колеблется от 800 до 1000 м, мощность от 2 до 7 м (иногда более). Содержание олова неравномерное: от сотых долей процента в гранитоидах до 0,3 и более процента во внеинтрузивных зонах.

Коппинский район комплексной минерализации (38). Юго-восточнее Мопауской зоны, примыкая к Бюленейскому узлу по Катэн-Коппинскому разлому, располагается Коппинский рудоносный район (см. рис. 25). С юга и севера он ограничивается поперечными зонами разломов (Верхнекоппинской и Мопауской), а с востока — западной кромкой Прибрежного вулканогенного пояса. Площадь района охватывает среднее течение р. Коппи и составляет около 3000 км². По данным Н. Н. Пагольского (1953 г., 1958 г.), М. А. Ахметьевца (1962 г.), Л. Н. Серебрякова (1965 г.), М. В. Чеботарева, С. Ф. Усенко и др. (1965 г.), А. В. Палагина, М. В. Мартынюка и др. (1967 г.), она сложена баррем-раннесенонскими и сеноман-туронскими терригенными вулканогенно-терригенными и кремнистыми породами уктурской и ларгасинской свиты. Их перекрывают небольшие разрозненные поля позднемеловых и палеогеновых вулканитов среднего и кислого состава. И те и другие интрудированы гранитами иолийского комплекса.

В районе имеются проявления молибденовой, свинцово-цинковой и оловянной минерализации. Рудопроявления тяготеют к Бяпольинскому гранитному массиву и располагаются как непосредственно в гранитах, так и в экзоконтактовой зоне массива, вблизи мелких интрузивных выходов. Оловянная минерализация должным образом еще не изучена и ее проявления малочисленны, хотя И. А. Плотников (1953 г.) отмечает значительную роль оловоносности в этом районе; им высказано предположение о приуроченности оруденения к северо-восточному тектоническому нарушению, параллельному зоне Катэн-Коппинского разлома и проходящему через бассейны рек Коппи и Дю. Здесь среди поля палеоценовых гранит-порфиров бассейна р. Инды известны свалы кварцевых жил с грейзенизованными зальбандами и вкрапленностью касситерита, топаза и флюорита.

В южной части района, в приустьевой части р. Джасусы, среди терригенных пород известны зоны турмалинизации, хлоритизации и лимонитизации мощностью до 30 м, которые могут представлять интерес в отношении оловоносности. Судя по интенсивной лимонитизации, в составе минерализованных зон существенную роль играли сульфиды. Молибденовая минерализация подчинена северо-восточным и близмеридиональным сравнительно маломощным минерализованным зонам дробления и кварцево-грейзеновым прожилковым зонам и реже — молибденит-кварцевым прожилкам в гранитах и песчаниках экзоконтактовой зоны палеогеновых гранитов.

В минеральном составе этих образований, наряду с молибденитом, присутствуют арсенопирит, халькопирит, пирит, галенит,

сфалерит и флюорит, образующие гнездовую вкрапленность в породах, кварцевых жилах и прожилках. Оруденение сопровождается окварцеванием, серicitизацией и каолинизацией вмещающих пород. Этот тип оруденения представлен рудопроявлениями ключа Ольхового, высоты 1176,4 м и другими (А. А. Головнева, 1952 г.; И. А. Плотников, 1953 г.; Л. Г. Шпилькер, 1954 г.).

В районе имеются зоны рудоносных пропилитов того же направления, связанные со средними эффузивами, ассоциирующими с мелкими телами гранитоидов. Ширина зон достигает 6 м, а протяженность 400 м. В них обособляются кварц-эпидотовые линзы (размером 1×10 м), несущие халькопирит, галенит, сфалерит, пирит. Содержание свинца достигает 6,25%; присутствует молибден.

Коппинский район изучен очень слабо. Первоочередная задача — крупномасштабное геологическое картирование восточной его части в сопровождении комплекса поисковых работ.

Кукшинский оловоносный район (39). Специальному изучению также не подвергался. По данным Н. Н. Пагольского (1953 г.), В. Е. Проскурникова (1955 г.) и Б. Г. Матвеева (1964—1965 гг.), район охватывает бассейны Кукши и истоков Джаусы, располагается южнее Коппинского и граничит с ним по Верхнекоппинской зоне разломов. Будучи близким к нему по геологической обстановке, Кукшинский район, тем не менее, отличается своей рудоносностью. Как и Монаусская рудная зона, это существенно оловоносный район с силикатно-сульфидным типом оловянного оруденения. С запада район ограничивается зоной Катэн-Коппинского разлома, а с юга, востока и юго-востока — эффузивами Прибрежного вулканогена и второстепенными разломами.

Площадь района сложена терригенными и туфогенно-осадочными формациями уктурской и ларгасинской свит, дислоцированными в складки северо-восточного простирания и усложненными продольными и поперечными нарушениями. Выше залегают позднемеловые и раннепалеогеновые кислые и средние эффузивы, образующие второй структурный этаж. Их перекрывают небольшие поля практически недислоцированных неоген-раннеантропогеновых базальтов. Все добазальтовые образования интрузированы многочисленными штоками и дайками гранитоидов позднемелового (баппинского) и позднемелового-раннепалеогенового (иолийского) комплексов, сопровождающихся ороговикованием и гидротермальными изменениями; к ним тяготеют оловорудные проявления преимущественно турмалин-сульфидного типа, образующие узловые скопления. Последние располагаются как среди терригенных и вулканогенных, так и среди интрузивных пород и слабо еще изучены. Они располагаются в крупных зонах дробления и минерализации (турмалинизации, хлоритизации, пиритизации, окварцевания) в песчано-глинистых отложениях и эффузивных, отчасти интрузивных породах, на участках, изобилующих мелкими телами, пластовыми залежами и дайками разнообразных интрузивных пород — лейкократовых

гранитов, гранодиоритов, диоритов, диоритовых порфиритов и габбро-монцонитов.

Простирание зон северо-восточное и северо-западное, протяженность достигает 1000 м при ширине до 200 м. Степень дробления и минерализации в пределах зон неодинакова. Наиболее интенсивно гидротермальные изменения пород проявляются лишь на отдельных участках, достигающих 500 м в длину и 150 м в ширину. На таких участках различаются: а) кварцитовидные породы с вкрапленностью сульфидов; б) турмалинизованные и сульфидизированные осадочные и изверженные породы; в) кварц-арсенопиритовые прожилковые образования штокверкового типа; г) прожилково-вкрапленное сульфидное оруденение в дайках диорит-порфиров и др. В их составе присутствуют: кассiterит, вольфрамит, шеелит, арсенопирит, пирит, пирротин, висмутин и нередко обильные лимонитовые охры. Содержание олова в минерализованных породах достигает 0,37%, а на участках интенсивной лимонитизации до 3%, свинца и цинка до 1%, меди до 0,3%. В арсенопирите и пирротине почти повсеместно устанавливается присутствие золота.

Наиболее представительны два рудопроявления — Кукшинское и Великан (Н. Н. Пагольский, В. Е. Проскуриков, В. Г. Матвеев).

Кукшинское рудопроявление представляет собой значительный участок площади на водоразделе рек Бо-Джаусы и Кукши с проявлениями: кварц-арсенопиритовых жил и прожилковых зон, прожилково-вкрапленных зон в диоритовых порфиритах, зон турмалинизации и сульфидной минерализации и зон лимонитизированных брекчий среди кварцитов.

Рудопроявление располагается на западном крыле антиклинали, сложенной песчаниками и алевролитами уктурской свиты, интрудированных и ороговикованных многочисленными штоками, дайками и пластовыми телами гранит-порфиров и кварцевых порфиров, диоритовых порфиритов и кварцевых диоритовых порфиритов. Впоследствии в этих породах образовались зоны повышенной трещиноватости и брекчий, локализовавшие гидротермальные изменения (окварцевание, турмалинизацию, хлоритизацию, серицитизацию, эпидотизацию) и рудную минерализацию (вольфрамит, кассiterит, арсенопирит, пирит, халькопирит, галенит, сфалерит). Содержание олова, свинца и меди до 1% каждого; присутствует золото в количестве до 0,01 г/т.

Рудопроявление Великан располагается в экзоконтакте палеогеновых гранитов, интрудирующих эфузивы амутской и ольгинской свит. Последние ороговикованы, серицитизированы, рассечены густой сетью маломощных прожилков и жил кварцевого, кварц-турмалинового, кварц-хлоритового и хлоритового состава. Рудная минерализация представлена кассiterитом, арсенопиритом, пиритом и обильными охрами. Содержание олова достигает 0,1%, меди и цинка 0,03%, свинца 0,5%. Район представляется перспективным для поисков оловорудных месторождений благоприятного генетического типа и заслуживает постановки крупно-

масштабных поисково-съемочных работ, а также детального поисково-разведочного изучения участков с выявленным оруденением.

Верхнесукпайский район олово-вольфрамовой и молибденовой минерализации (40). Северной рамкой район непосредственно приымкает к Кукшинскому району и, вытягиваясь в юго-западном направлении, охватывает бассейн рек Сукпай и ее левого притока Тагему площадью около 6000 км². Его северо-западной границей служит зона Катэн-Коппинского разлома, южной — близширотная зона Гвасюгинского разлома; с северо-востока район окаймляется вулканитами Прибрежного вулканогена. Степень геологической изученности и опоискованности района низкая. По данным Б. Я. Абрамсона (1951 г.), Э. П. Изоха и др. (1954 г.), Г. В. Золотухина (1954 г., 1957 г.) и др., геологическая обстановка района близка Кукшинскому.

В строении района принимают участие два структурных комплекса: баррем-раннесенонский, терригенный и туфогенно-осадочный и позднемеловой-палеогеновый — вулканогенный. И тот и другой интрудированы небольшими телами и дайками позднемеловых-раннепалеогеновых гранитоидов иолийского комплекса. Однако, несмотря на близость к Кукшинскому району и схожесть геологической обстановки, сведения о рудоносности района очень скучны. Здесь известны большей частью шлиховые ореолы кассiterита и вольфрамита и несколько точек минерализации по рр. Дагды и Дугло. Последние представлены или обломками гидротермально измененных песчаников (в аллювии), пронизанных прожилками кварца с вкрапленностью кассiterита, или деллювиальными свалами гранитов с пленками молибденита вдоль тонких трещин. И только у южной кромки района, около близширотного Гвасюгинского разлома, на границе с Приморским краем, по данным Э. П. Изоха и других, имеются рудопроявления силикатно-сульфидного типа, аналогичные Верхнебикинскому рудному району Приморья.

Одно из них (рудопроявление Сихотэ) располагается в контактовой зоне небольшого массива гранитоидов, интрудирующих песчано-сланцевые породы, и представлено зонами грейзенизированных, турмалинизованных и хлоритизированных песчаников и алевролитов, содержащих шеелит, молибденит, кассiterит, висмутин, флюорит, топаз и вольфрамит.

Другое рудопроявление (Адинское) располагается в близкой геологической обстановке, но за пределами границ Хабаровского края. Оно локализуется в зонах дробления среди кислых эфузивов, интрудированных теми же гранитоидами, подвергшихся окварцеванию и грейзенизации, турмалинизации, хлоритизации и альбитизации. Простижение зон северо-западное. В их составе: кассiterит, деревянистое олово, шеелит, вольфрамит, молибденит, арсенопирит, пирит, пирротин, золото, висмутин, галенит, сфalerит. Содержание олова, вольфрама и висмута в зонах достигает 1%. Присутствуют также свинец, цинк и др.

Рудопроявления и шлиховые ореолы располагаются в восточной

части района, где наиболее интенсивно проявлены интрузии гранитоидов, тесно ассоциирующие с эфузивами.

Верхнекатэнский район олово-вольфрамовой и золотой минерализации (41). Примыкает к относительно более изученному Верхнебикинскому району, расположенному на территории Приморского края. Однако геологические особенности и известные проявления минерализации, сближающие его с Верхнебикинским районом, выдывают его в число районов, заслуживающих изучения. По данным Л. М. Саяпиной (1952 г.) и Т. О. Забокрицкого (1953 г.) и др., район сложен в основном туфогенно-осадочными и терригенными породами баррем-альбского и сеноман-туронского ярусов, кое-где перекрытыми позднемеловыми и палеоценовыми эфузивами, интрудированными сенон-датскими и палеоценовыми гранитоидами.

Северо-западная граница района — та же зона Катэн-Коппинского разлома. С востока район ограничивается западной кромкой базальтовых покровов Прибрежного вулканогена, а с севера — Гвасюгинской зоной повышенной трещиноватости. Южная, притом значительно большая часть района выходит за пределы Хабаровского края, в рамках последнего находится лишь небольшая площадь размером около 1200 км².

Район слабо изучен. На его площади известно несколько рудопроявлений, локализованных вне интрузивных массивов. Это зоны типа штокверков среди терригенных контактово- и гидротермально-метаморфизованных меловых образований (окварцованных, грейзенизованных, серicitизированных и хлоритизированных). По данным Э. П. Изюха и других, зоны прослеживаются в северо-западном (секущем по отношению к складчатым структурам) направлении до 1,2 км в длину при ширине до 0,5 км. Они нарушены послерудными продольными разломами, контролирующими размещение послерудных даек кислого и среднего состава. В штокверковых зонах обособляются «рудные тела» длиной до 130 м и мощностью 6 м, имеющие зональное строение. В осевой части тел располагаются преимущественно кварц-мусковитовые и кварц-редкометальные прожилки с вольфрамитом и кассiterитом, а в периферических частях — кварц-хлоритовые и сульфидно-флюоритовые. Из рудных минералов в прожилках присутствуют: молибденит, вольфрамит, кассiterит, шеелит, базовисмутин, арсенопирит, пирит и др.

В районе имеются также рудопроявления хлорит-сульфидного типа, представляющие собой минерализованные зоны дробления мощностью до 3 м. Они простираются в северо-западном направлении и секут вмещающие породы, прорванные дорудными дайками спессартитов и диоритовых порфиритов. Вмещающие породы окварцованны, серicitизованы, хлоритизованы. Из рудных минералов присутствуют: кассiterит, пирит, пирротин, шеелит, базовисмутит, гематит, сфалерит, иногда золото. Содержание олова в зонах, по данным единичных проб, достигает 0,3%.

Особенности геологического строения и рудоносности Верхнекатэнского района позволяют рекомендовать на его площади постановку

крупномасштабного геологического картирования и поисков, в первую очередь на участках известных рудопроявлений.

Рудные районы Коппинской металлогенической зоны заслуживают самого пристального внимания. Эта зона служит непосредственным продолжением Главной, наиболее продуктивной оловоносной металлогенической зоны Приморья. Она изучена очень неравномерно и в целом совершенно недостаточно.

Подавляющая часть оловянных месторождений и рудопроявлений зоны относится к кассiterит-сульфидной формации и пространственно тяготеет к сочленению валанжинских и баррем-альбских отложений (см. рис. 25). Однако, располагаясь в единой зоне меловой складчатости, в типовом отношении они неодинаковы. Последнее, как показывают фактические данные, зависит от того, в каком из ярусов зоны располагается то или иное месторождение или рудопроявление: в валанжинском — терригенно-флишоидном, баррем-раннесенонском — туфогенно-осадочном или позднесенон-палеоценовом — эфузивном. Каждому из этих ярусов присущ свой состав, характер и степень дислоцированности, сказавшиеся и на структурно-морфологических особенностях сформированных в них месторождений.

В связи с этим рудопроявления и месторождения северной части зоны, относительно более изученной, можно разделить на три группы: 1) месторождения типа Пионерского, располагающиеся в относительно более дислоцированных флишоидах валанжина (первый ярус); 2) месторождения типа Таусинского и Руднинского, залегающие среди баррем-раннесенонских терригенных и туфогенно-терригенных слабее дислоцированных и явно регressiveобразований позднегеосинклинальной стадии развития мезозоид (второй ярус), и 3) месторождения типа Мопау, представляющего специфическую группу месторождений, локализованных в субаэральных вулканитах третьего яруса.

Неодинаковое «стратиграфическое» положение месторождений, а следовательно, и фациально-структурная обстановка их формирования в заметной мере отразились на морфоструктурных особенностях и особенностях вещественного состава месторождений.

Месторождения первой группы располагаются в породах относительно небольшой дислоцированности и неоднородности разреза, которые благоприятствовали формированию протяженных и сложных по строению рудовмещающих зон, согласных с простираием вмещающих их складчатых образований; эти месторождения относятся к арсенопирит-пирротиновому типу кассiterит-сульфидной формации и во многом напоминают месторождения Арму-Иманского района в Приморье (Дальнетаежное, Ноябрьское и др.), расположенные в аналогичной геологической обстановке.

Месторождения второй группы располагаются в сравнительно однородных слабее дислоцированных, преимущественно песчанико-алевролитовых и аргиллитовидных породах. Эта литолого-структурная обстановка, по-видимому, не способствовала формированию много-

численных хорошо проработанных и сложных по строению рудолокализующих зон дробления. Рудные зоны этой группы месторождений имеют близкое к меридиональному простирание, т. е. под заметно большим углом секут складчатые структуры, их размеры меньше, а строение и общий структурный рисунок в плане значительно проще. По минеральному составу они тяготеют в основном к свинцово-цинковому типу кассiterит-сульфидной формации.

Месторождения третьей группы, залегающие среди практически недислоцированных вулканитов, обладают рядом специфических особенностей и, по-видимому, представляют особый класс месторождений. Они не выходят за пределы площади эфузивных образований. Их рудные поля сопровождаются всевозможными лавобрекчиями и обильным комплексом дайковых образований, обладают менее выраженными линейными рудолокализующими структурами, а иногда представляют явные вулканические аппараты, отличающиеся, по-видимому, значительной глубинностью.

Из приведенной краткой характеристики типов месторождений вытекает характерная тенденция в эволюции структурных особенностей рассмотренных месторождений: от крупных четко выраженных и сложно построенных линейных форм для месторождений, локализующихся в нижнем структурном ярусе, через сравнительно простые линейные структуры, характерные для среднего яруса, до более или менее изометричных структур центрального типа (среди которых возможны кольцевые и радиальные) в эфузивах верхнего структурного яруса. Таким образом, роль тектоники очень важна для понимания закономерностей размещения и прогнозирования оловорудных месторождений, а отсюда вытекают и основные задачи исследования месторождений. Это — изучение их структур, формирующихся на основе и в связи со структурами более крупных форм, присущих той или иной из структурно-фацальных зон, вмещающих месторождения.

б. Оловоносность Нижнеамурской золотоносной области

Нижнеамурская золотоносная область представляет собой северную часть Сихотэалинского пояса. В отличие от южной (Северо-Сихотэалинской) она сложена исключительно мезозойскими (юрско-раннемеловыми и позднемеловыми) складчатыми образованиями северо-восточного фланга Горинского синклиниория, интрудированными в основном сенонскими гранитоидами нижнеамурского комплекса, относящимися к гранодиоритовому типу формаций. Западной границей области служит Центрально-Сихотэалинский разлом, имеющий здесь близмеридиональное направление, восточная граница определяется западной кромкой Прибрежного вулканогена. С севера ее ограничивает Охотское море, береговая линия которого, видимо, также следует близширотному направлению разломов, а южная — это линия сочленения с Северо-Сихотэалинской оловоносной областью; она совпадает с близширотной зоной Тумнинского

разлома. Последний представляет собой очень важную структуру: а) за пределы этого разлома не распространяются позднепалеозойские складчатые образования, развитые в южной области пояса; б) по Тумнинскому разлому структуры Сихотэалинского пояса заметно уклоняются от северо-восточного (сихотэалинского) простирания, характерного для южной части пояса, к близмеридиональному (сахалинскому); в) Тумнинский разлом контролирует проявление интрузий гипербазитов, представляя, таким образом, глубинную структуру; г) Тумнинский разлом является контрастной границей, разделяющей области проявления разнородного магматизма ирудносности — гранодиоритового в Нижнеамурской золотоносной области и гранодиорит-гранитового в Северо-Сихотэалинской оловянной области.

В геологическом строении Нижнеамурской области принимают участие несколько структурно-стратиграфических комплексов (ярусов): позднетриасово-юрский терригенно-кремнисто-вулканогенный мощностью от 2000 до 5000 м; позднеюрско-раннемеловой терригенно-флишоидный мощностью около 7000 м; баррем-раннесенонский терригенный и туфогенно-терригенный мощностью до 5000 м и позднесенон-палеогеновый вулканогенный мощностью выше 600 м, развитый в основном на юге области. Интрудирующий эти образования нижнеамурский дикорит-гранодиоритовый комплекс, отчасти верхнеудоминский гранодиорит-гранитовый, сопровождаются широкими ореолами контактового метаморфизма, золотым, вольфрамовым, сурьмяным, отчасти ртутным и оловянным оруденением, а на участках развития эффузивов — развитием вторичных кварцитов и пропилитов с алунитовой и золото-серебряной минерализацией.

Рудопроявления размещены в области неравномерно. Выделяется до десятка в основном золотоносных районов и зон, объединяемых двумя близмеридиональными металлогеническими зонами — Лимури-Херпучинской и Холанской (М. В. Чеботарев, С. Ф. Усенко, А. Ф. Баранов и др., 1965 г.). Характерные типы минерализации: золото-арсенопиритовый и золото-кварцевый, кварц-карбонатно-сульфидный, кварц-антимонитовый, антимонит-киноварный и киноварный, тип алунитоносных вторичных кварцитов и золотоносных пропилитов.

Наряду с преобладающей золотоносностью в зоне имеются проявления редкометальной минерализации — высокотемпературные кварцевожильные, грейзеновые и штокверковые образования, локализованные в экзо- и эндоконтактовых ореолах интрузивных массивов нижнеамурского комплекса. Это молибденовые, молибден-вольфрамовые месторождения и рудопроявления (месторождение Большереченское, рудопроявления мыс. Александра, Мофета, Брангеля) и редкометально-вольфрамовые кассiterитсодержащие (месторождение Учаминское, рудопроявления рек Левая Джатка, Большие Битки, кл. Ивановского и др.).

Представителем существенно оловянной минерализации в Нижне-

амурской области является Бичинское олово-вольфрамовое месторождение, расположенное в нижнем течении р. Бичи. Месторождение располагается среди ранне- и позднемеловых терригенных и груботерригенных пород, сопровождаемых туфоконгломератами, туфами и порфиритами, образующими антиклинальную складку северо-восточного профиля. Породы контактово метаморфизованы и прорваны дайками гранит-порфиров, аплитов и спессартитов, контролируемых зонами дробления близмеридионального направления.

По данным Г. А. Петровой (1957 г.), месторождение представляет собой систему кварцевых жил и прожилков типа штокверка, выполняющих трещины отдельности в дайках гранит-порфиров и песчано-сланцевых отложениях. Площадь штокверка 0,2 км². Кварцевые жилы и прожилки сопровождаются грейзеновыми оторочками. Рудные минералы жил и прожилков: кассiterит, вольфрамит, редко молибденит, арсенопирит, пирит, пирротин, халькоширит, сфалерит и магнетит. Содержание олова в жилах колеблется от 0,0039 до 0,196%, вольфрама 0,082—0,155%, молибдена до 0,01%.

Близ Бичинского месторождения известны небольшие касситерит-вольфрамитовые аллювиально-делювиальные россыпи по ключам Рудному, Лагерному с содержанием касситерита 200—320 г/м³, вольфрамита 50—60 г/м³. В северной и северо-западной частях площади месторождения выявлены шлиховые ореолы касситерита и редкоземельных минералов, являющиеся частью крупных ореолов, уходящих за пределы площади месторождения.

3. ОСНОВНЫЕ ЗАКОНОМЕРНОСТИ РАЗМЕЩЕНИЯ ОЛОВЯННОГО ОРУДЕНЕНИЯ

a. Положение оловоносных областей в системе советского сектора Тихоокеанского подвижного пояса

Олово наряду с золотом — один из важнейших элементов эндогенной металлогении Приамурья. Вместе эти металлы профилируют и важнейшие отрасли экономики Хабаровского края. Олово, в отличие от золота, предпочтитающего большей частью фемическую или близкую к ней среду эвгеосинклинальных зон, связано преимущественно с кислым и умеренно кислым (коровым) магматизмом, развивающимся в областях с мощной сиалической корой. В этой обстановке олово образует преимущественно кислородные формы минеральных образований. Однако оно довольно широко представлено и сульфидными соединениями. В этом проявляется двойственность геохимической природы олова. Ассоциируя с лиофильными, халькофильными и сидерофильными элементами, олово обнаруживает многосторонние геохимические связи со многими другими элементами, особенно с рудными — вольфрамом, tantalом, ниобием, литием (в высокотемпературных формациях), а также железом, медью, свинцом,

цинком и др. (в более низкотемпературных формациях). Все это приводит к разнообразию формационных и минеральных типов олово-рудных проявлений, а также к сложному минеральному и химическому составу руд месторождений.

Главнейшие оловоносные площади Приамурья расположаются на продолжении приморских оловоносных площадей, вместе с которыми они образуют единую Сихотэалинскую оловоносную провинцию (рис. 26).

Исследования последних лет, проведенные Дальневосточным геологическим управлением и научно-исследовательскими учреждениями Министерства геологии и АН СССР (ВСЕГЕИ, ДВГИ, ДВИМС), показали, что главнейшие оловоносные структуры Приамурья расположаются в южных его районах, характеризующихся калиевым характером рудоносных гранитоидов. Установлена также важная особенность структурного развития Приамурья, заключающаяся в том, что формы проявления тектогенеза на ранних и поздних стадиях развития подвижных зон различны и пространственно разобщены. Ранние стадии характеризуются устойчивым прогибанием, слабой дифференциацией тектонических движений и преобладанием сиалического и сиало-фемического литогенеза, слабым магматизмом и эндогенной рудоносностью. На поздних стадиях резко возрастает контрастность тектонических движений, особенно вдоль разломов, происходит устойчивое воздымание, интенсивное разломообразование, формирование сводово-глыбовых структур и активный риолит-гранитоидный магматизм, несущий основной фонд эндогенного оруднения.

При этом зоны проявления начальных стадий тектогенеза занимают более восточное (фронтальное) положение, тогда как зоны проявления поздних стадий «отстают» и располагаются в краевых (западных) геоантклинальных поднятиях, охватывая при этом и краевые части срединных массивов. Такая тенденция развития приводит к образованию крупных блоково-глыбовых магматогенных структур, являющихся главнейшими рудоносными структурами. Последние тяготеют к срединным массивам и по существу представляют структуры их облекания. Эта закономерность характерна для всех оловоносных провинций и является следствием общности особенностей истории развития подвижных зон и формирования рудоносных структур.

Оловоносные структуры Приамурья, как и аналогичные структуры сопредельных областей (Приморья, Восточного Забайкалья и Северо-Востока) (табл. 9), слагающие внешнюю зону советского сектора Тихоокеанского рудного пояса, представляют собой продукты развития в основном послегерцинских (киммерийских и альпийских) подвижных систем. Интересно, что все они закладывались на участках повышенной мощности сиалической коры и консолидированных структурах фундамента. Последним являлись либо структуры подвижной платформы (Северо-Восток), либо складчатые зоны байкалид и каледонид (Сихотэ-Алинь и Забайкалье). Это

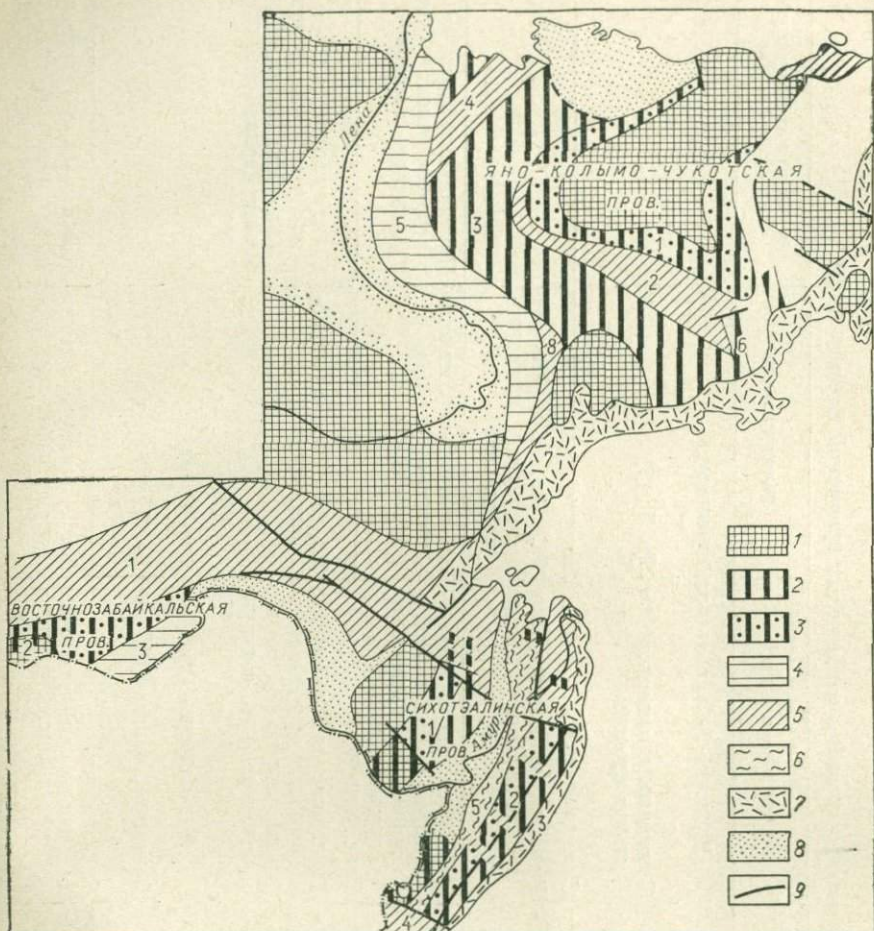


Рис. 26. Положение оловоносных площадей Приамурья в системе структур и оловоносных провинций советского сектора Тихоокеанского подвижного пояса

1 — Сибирская платформа и срединные массивы. Оловоносные пояса и зоны: 2 — в мезозоях с преобладанием касситерит-силикатного и касситерит-сульфидного оруденения; 3 — в герцинидах с преобладанием олово-вольфрам-редкометаллического (кварцевокильного, отчасти скарнового и метасоматического) оруденения; 4 — зоны полиметаллического оруденения; 5 — золотоносные зоны в складчатых структурах разного возраста; 6 — зоны ртутного и золото-рутутного оруденения в кайнозойских структурах; 7 — позднемезозойско-кайнозойские вулканические пояса; 8 — позднемезозойско-кайнозойские впадины; 9 — главнейшие зоны разломов.

Яно-Колымо-Чукотская оловоносная провинция. Оловоносные пояса (цифры на схеме): Приколымский (1), Яно-Колымский (3), Омсукчанская зона (6); золотоносные структуры: Яно-Индигиро-Колымский пояс (2), Куларская (4) и Аллах-Юньская (8) зоны; Западно-верхоянский полиметаллический пояс (5); Охотско-Чукотский вулканогенный золото-серебро-алунит-рутутоносный пояс (7). **Восточнозабайкальская оловоносная провинция.** Центрально-Забайкальский оловоносный пояс (2); Пришилкинский золотоносный пояс (1); Приаргунский полиметаллический пояс (3). **Сихотэалинская оловоносная провинция:** Хингано-Охотский (1) и Сихотэалинский (2) оловоносные пояса, Прибрежный вулканогенный золото-серебро-алунит-полиметаллический пояс (3), Южноимприморская золотоносная зона (4), Присихотэалинская ртутоносная зона (5).

Схема строения и развития оловоносных провинций Востока СССР

Стадии	Осадочные и эфузивные формации	Инtrузивные комплексы	Минерализация	Рудоносные структуры и их местоположение
Восточно-Забайкальская провинция				
S — C ₁	Терригенно-карбонатные и эфузивно-терригенные	Возможно, основные и ультраосновные	Fe, Ti (?)	
C ₂ — T ₂	Терригенные молассоидные	Складчатость Граниты, гранодиориты и лейкократовые граниты	Fe, Au, Sn, Mo, W скарновая и кварцево-вожильная	
T ₃ — J ₂	Преимущественно терригенные	Лейкократовые и ультраакислые граниты борщевочного, одунчелонского и других комплексов Складчатость	Sn, W пегматитовая, кварцево-вожильная, грейзеновая	Центральный пояс, на северо-восточном фланге Агинского массива
J ₃ — Cr ₁	Терригенные и грубо-терригенные молассоидные	Гранодиориты, кварцевые диориты, гранит-порфиры перчинско-заводского, шахтаминского, дарасунского и др. комплексов	Au, Mo, Pb, Zn кварцево-вожильная	Приаргунский (Pb—Zn) и Пришилкинский (Au—Mo) пояса в краевых зонах геосинклинали
Яно-Колымо-Чукотская провинция				
C — J ₂	Терригенные	Возможно, силлы габброидов Складчатость	Fe, Ti (?)	
J ₃ — Cr ₁	Терригенные и субаэрально-вулканогенные	1. Догранитовый комплекс малых интрузий среднего состава	Au преимущественно кварцевые жилы	Яно-Индигиро-Колымский пояс, совпадает с Иньали-Дебинским синклиноприем

		2. Лейкократовые и субщелочные граниты и гранодиориты колымского комплекса	Sn, W, As, Pb, Zn кварцевожильная и грейзеновая	Яно-Колымский и Приколымский оловоносные пояса, окаймляющие Колымский массив, Западно-верхоянский полиметаллический пояс
Cr ₂ —Pg	Континентальные терригенные, вулканогенно-терригенные и вулканогенные (алувиализированные, серицитизированные и диаспоризированные)	1. Диориты и гранодиориты охотского комплекса 2. Лейкократовые и альaskитовые граниты омсукчанского комплекса	Mo, Ag, Al, S скарны, кварцевые жилы, вторичные кварциты Sn, Fe, S кассiterит-сульфидная	Охотско-Чукотский вулканогенный пояс Омсукчанская зона на юго-восточной окраине Колымского массива

Сихотэалинская провинция

C ₂ —T ₂	Вулканогенно-кремнисто-терригенные и терригенные	Гранодиориты, граниты, лейкократовые и щелочные граниты тырмобуреинского, куканского, катэнского и других комплексов Складчатость	Sn, Mo, Ta, Nb слабая пегматитовая и кварцевожильная	
T ₃ —Cr ₁	Терригенно-флишоидные, реже кремнисто-терригенные	Габбро-диориты и гипербазиты хунгарийского и др. комплексов Складчатость	Cr, Ni	
Cr ₁ —Pg	Терригенные, туфогенно-осадочные и субэральные вулканогенные	Гранодиориты, граниты, гранит-порфиры хингано-оловойского, хунгарийского, мяочапо-баджальского, эзопско-дуссеалинского, бачелазского, верхнеудоминского и др. комплексов	Sn, W, Pb, Zn, Cu кассiterит-кварцевой, кассiterит-силикатной и кассiterит-сульфидной формаций	Хингано-Охотский и Сихотэалинский пояса в краевых геоантклинальных поднятиях и окраинах срединных массивов

обстоятельство предопределило и заметное подобие их развития, выражющееся в близости литолого-фациальных, структурных, магматических и металлогенических особенностей. Поэтому представляется вполне правомерным следующий вывод: оловоносные провинции Востока СССР, несмотря на индивидуальные особенности, обусловленные локальной неоднородностью фундамента и временем заложения и созревания рудоносных структур, в совокупности представляют собой единую Притихоокеанскую геотектоническую систему (Ициксон, 1964). На основе присущих им особенностей В. И. Смирнов (1962) относит их к системам типа «Д», соответствующим группе сиалических провинций по Е. А. Радкевич (1959, 1960) или поясам восточноазиатского материкового типа по М. И. Ициксону (1964, 1966).

Таким образом, структурная позиция оловоносных поясов во всех рудоносных провинциях Востока СССР одинакова. Все они представляют собой магматизированные блоково-глыбовые зоны окаймления срединных массивов (Буреинского, Ханкайского, Колымского, Агинского и др.), отчасти включающие и краевые зоны самих массивов (см. рис. 26). Для Северо-Востока это подчёркивал С. С. Смирнов (1938) и позднее указывал В. И. Смирнов (1963). Аналогичную позицию рудных районов отмечал Б. С. Батлер (1937) для рудоносных структур западных штатов США, М. И. Ициксон и др. (1960) — для Китая и Колорадо, Р. М. Константинов, С. Ф. Лутров и др. (1969) — для оловоносных районов Западной Европы и Юго-Восточной Азии. Варисские калиевые граниты, как и связанные с ними оловянные и оловянно-вольфрамовые месторождения Европы, располагаются по периферии Чешского, Армориканского и Иберийского массивов, а мезозойские оловоносные структуры Юго-Восточной Азии — Бирмано-Малайско-Индонезийская и Северо-Вьетнамская — с запада и востока огибают Индосинийский массив.

Из этого следует, что тектоническая позиция оловоносных структур не зависит от возраста и во всех случаях остается постоянной.

Близкие тектонические условия формирования оловоносных провинций и их зон обусловили, естественно, и формационное подобие осадочных и магматических образований, а также типовые особенности оруденения. Вмещающие руды породы — преимущественно терригенные, вулканогенно-терригенные и вулканогенные формации андезито- и дацито-липаритового типа. Интрудирующие их продуктивные формации представлены большей частью близкими к гранитам.

Наряду со структурно-геологическими значительные черты сходства намечаются и в металлогении характеризуемых областей, отличающихся широким набором минерализации олова, вольфрама, золота, молибдена, свинца, цинка, фтора и др. Причем этот комплекс минерализации (это отчасти ясно и из вышеизложенного) распадается на две, часто пространственно разобщенные, а иногда и разновозрастные минеральные ассоциации — «золотую» и «оловянную». По-

следние локализуются большей частью в различных структурно-фацальных условиях, хотя иногда более поздняя накладывается на предшествующую. Более ранней ассоциацией чаще всего оказывается «золотая» (Sn-W-Sb), за ней следует «оловянная» (Sn-W-Mo-Bi и др.). Однако имеются и исключения.

Сочетание в пределах оловоносных провинций и поясов Востока СССР двух минеральных ассоциаций, соответствующих иногда различным минералогическим эпохам, является закономерностью, повторяющейся и в других оловоносных провинциях мира. Так, в Боливийской провинции выделяются те же две ассоциации: раннетретичная «золотая» и позднетретичная «оловянная» (Ahlfeld, 1932, 1936, 1937). При этом отмечается антагонизм золота и олова. Районы проявления золотой минерализации располагаются на восточных, а оловянной — на западных склонах кордильеры Реаль (Turneaire a. Welker, 1947).

Это сходство в минерализации различных оловоносных провинций определяет преемственные их связи. Для Приамурья на это указывали М. И. Ициксон и др. (1960). При этом в качестве одного из важнейших элементов сходства и преемственности отмечался переход главнейших золотоносных структур из одной провинции в другую. Так, например, крупнейший Забайкало-Амурский золотоносный пояс, протягиваясь от Забайкалья до приусыевой части р. Амур, связывает оловоносные провинции Забайкалья и Сихотэ-Алиня.

Вместе с тем, как отмечали С. С. Смирнов и В. А. Цареградский (1957), а позднее и М. И. Ициксон и др. (1960), этот пояс проявляет большое сходство (в характере фундамента и типа развития) с Яно-Индигиро-Колымским золотоносным поясом, и не исключено, что через прибрежные районы Западного Приохотья (районы рек Охоты и Кухтуя) эти пояса соединяются и, следуя далее вдоль северного обрамления Колымского массива через Чукотку, уходят в золотоносные районы Аляски и Западной Канады (М. И. Ициксон и др., 1960).

Приамурским звеном Забайкало-Амурского (или Забайкало-Чукотского) золотоносного пояса распространение оловоносности Сихотэалинской области к северу резко ограничивается (см. рис. 26). Эта граница проходит по линии Сонахско-Тумнинского отрезка крупной трансрегиональной разрывной структуры — южного борта золотоносного пояса. К югу оловоносные структуры приамурской части Сихотэалинской области уходят на территорию Южного Приморья и на широте г. Уссурийска, как и на севере в Приамурье, снова обрезаются близширотной Южноприморской золотоносной зоной. Последняя уходит к западу на соединение с золотоносными районами Китая и во многом аналогична Забайкало-Амурскому золотоносному поясу. И здесь, как и в Приамурье, в зоне ограничения оловоносности и смены ее золотоносными районами устанавливается крупный Южноприморский разлом, который является, по-видимому, восточным флангом Янцзинской зоны разломов, вдоль

которой, возможно, происходит и сочленение Сихотэалинской складчатой области с Сино-Корейской платформой.

Таким образом, близмеридиональные оловоносные структуры Сихотэалинской оловоносной провинции с севера и юга ограничиваются близширотными золотоносными трансструктурами, выходящими далеко за ее рамки. Единство Сихотэалинской оловоносной провинции подчеркивается и тем, что известные в Приамурье и Приморье оловоносные структуры, с учетом всех их геологических особенностей, можно объединить в три региональные оловоносные зоны:

1) Западную или Буреино-Ханкайскую, характеризующуюся преимущественно палеозойской минерализацией с наложенной мезозойской (Sn, W, Au, As, F, Pb, Zn); зона протягивается от Буреинского массива в Приамурье до Ханкайского массива в Приморье;

2) Центральную зону, отличающуюся преимущественно мезозойской минерализацией (Sn, W, Au, Mo, Cu, Pb, Zn); на территории Приморья она охватывает Даубихинскую и Улахинскую оловоносные зоны, а в Приамурье — западную часть Хингано-Охотского пояса и Хорско-Анюйскую зону Сихотэ-Алиня;

3) Восточную, или собственно Сихотэалинскую зону позднемезозойской и третичной минерализации, охватывающую позднемезозойские складчатые структуры.

Правомерность этой схемы оловоносных структур Сихотэалинской складчатой области основывается прежде всего на аналогии их составных частей — оловоносных зон Приамурья и Приморья по отношению к Буреинскому и Ханкайскому массивам. В Приамурье, как и в Приморье, оловянное оруденение в типовом и возрастном отношении последовательно изменяется в направлении с запада на восток. В западной части Приамурья преобладающая там палеозойская оловянная минерализация представлена в основном высокотемпературными типами и располагается в пределах Буреинского массива. Восточнее, в причлененной к этому массиву зоне палеозойской складчатости, проявления мезозойской минерализации, наряду с высокотемпературными типами оруденения, представлены также среднетемпературными, преимущественно кассiterит-силикатными. Еще далее к востоку, в зоне мезозойд позднемеловое и палеогеновое оруденение характеризуется кассiterит-силикатным и кассiterит-сульфидным типами минерализации. Аналогичная же зональность в самых общих чертах имеет место и в Приморье.

При этом следует принять во внимание, что зона палеозойской складчатости Сихотэалинского хребта на юге области так же причленяется к Ханкайскому массиву, как и аналогичная ей зона в Приамурье, которая наращивает Буреинский массив с востока. Обе эти зоны сочленяются с Ханкайским и Буреинским массивами через передовые прогибы — Даубихинский и Урмийский. Отсюда вполне очевидна аналогия между Приамурьем и Приморьем и в истории его геологического развития, в строении и рудоносности. Иными

словами, оловоносные структуры Приамурья представляют собой продолжение оловоносных структур Приморья. Их цельность нарушена Уссуро-Охотской зоной кайнозойских дислокаций, и соплечение следует, по-видимому, искать под рыхлыми осадками Среднеамурской депрессии.

б. Оловорудные формации и геологические условия их размещения

В классификации оловорудных месторождений Е. А. Радкевич (1956), являющейся усовершенствованным вариантом классификации С. С. Смирнова, О. Д. Левицкого и Е. А. Радкевич и др. (1947), выделено шесть типов оловорудных формаций, объединяемых в две минералого-геохимические группы — силикатно-кварцевую и силикатно-сульфидную. Она успешно выдержала более чем десятилетнее испытание, и только в последние годы практика изучения и освоения месторождений потребовала уточнения отдельных ее положений.

Первая такая попытка (Материков, 1964) приводит к выделению, в дополнение к силикатно-кварцевой и силикатно-сульфидной, третьей — силикатно-карбонатной группы формаций, куда включаются оловоносные скарны. Этим трем классификационным группам М. П. Материкова в известной мере соответствуют три геохимические группы оловорудных формаций М. И. Ициксона (1967) — калиево-кремниевая, железистая и кальциевая; они же вписываются отчасти в более общую схему «рядов главнейших постмагматическихрудных формаций» — кремне-щелочной и железо-магнезиальной, намечаемых Е. А. Радкевич (1966). В классификации М. П. Материкова геологически более обосновано положение риолитовой формации в силикатно-сульфидной группе.

В соответствии с классификациями Е. А. Радкевич (1956) и М. П. Материкова (1964) среди оловорудных месторождений Приамурья имеются представители всех формаций, объединяемых в три генетические группы или три типа формаций: 1) силикатно-кварцевую, 2) силикатно-карбонатную и 3) силикатно-сульфидную (табл. 10).

Месторождения силикатно-кварцевой группы формаций. Формация оловоносных пегматитов связана в основном с палеозойскими глубоко эродированными гранитами Буреинского массива и проявлена сравнительно слабо. Небольшие месторождения этого типа располагаются главным образом вдоль восточной окраины Буреинского массива, в бассейнах Ниман (р. Агдони и кл. Обещающий), Тырмы, Миронихи и Самары. Единичные находки известны на Сихотэ-Алине (р. Сукпай) в связи с мезозойскими гранитами. Во всех случаях это мелкие тела, преимущественно линзы и жилы, залегающие в эндо- и экзоконтактовых зонах гранитов. В большинстве они относятся к кварц-микроклиновому типу. В зальбандах жил и линз наблюдаются аплитовидные оторочки с биотитом, светлыми слюдами и кассiterитом, иногда и с флюоритом, ильменитом,

Оловорудные формации Приамурья

Группы	Формации	Минеральные типы	Распространность и значение	Месторождения
Силикатно-кварцевая	1. Пегматитовая	Преимущественно кварц-микроклиновый	Слабая, значения не имеет	Агдони (Буреинский массив)
	2. Кассiterит-кварцевая	1. Полевошпат-кварцевый 2. Грейзеновый 3. Топаз-кварцевый 4. Кварцевожильный 5. Кассiterит-кварц-сульфидный	Значительная, перспективы небольшие	Ишата-Мерекского гр-на, отчасти хребтов Баджал-Эзопского и др.
Силикатно-карбонатная	1. Скариовая	Преимущественно сульфидный	Слабо развитая, неперспективная	Канхойское (Малый Хинган), Олгинское, ключа Оленевого (Эзоп), Болторо (хр. Баджал)
	2. Кассiterит-карбонатно-сульфидная	Преимущественно сульфидный	Слабо развитая, неперспективная	Верхнебиджанское (Малый Хинган)
Силикатно-сульфидная	1. Кассiterит-силикатная	1. Кварц-турмалиновый 2. Хлоритовый	Широко развитая, наиболее перспективная	Хингано-Олонойского и Комсомольского гр-нов
	2. Кассiterит-сульфидная	1. Пирротин-арсеноциритовый 2. Галенит-сфалеритовый	Значительно развитая, перспективная	Эзопской зоны и районов Северного Сихотэ-Алиня
	3. Риолитовая		Редкая, неперспективная	Джалиндинское (Малый Хинган)

цирконом, эпидотом, топазом и сульфидами. Кассiterит крупно-кристаллический темно-бурого, почти черного цвета с повышенным содержанием tantala и ниобия. По простирианию пегматитовые жилы нередко переходят в кварц-полевошпатовые, а затем и в кварцевые, сопровождающиеся грейзеновыми оторочками. В бассейне нижнего течения р. Ниман за счет этой формации образованы небольшие россыпи.

Кассiterит-кварцевая формация проявлена значительно шире и связана преимущественно с мезозойскими гранитоидами. Ее месторождения представлены кассiterит-кварцевыми, реже полевошпат- и топаз-кварцевыми жилами и грейзенами, залегающими в эндо- и экзоконтактовых частях интрузивов. Районы преимущественного развития этой формации располагаются восточнее площадей проявления пегматитовой формации, вдоль восточной и северо-восточной кромок Буреинского массива, переработанной мезозойскими тектоно-магматическими процессами (бассейн верховьев Буреи и Нимана), а также в зонах позднегерцинского складчатого обрамления массива — Баджалльском и Центрально-Сихотэалинском антиклиниориях (месторождения: Средне- и Верхне-Ипатицкое, Усманское, Мерекское, Совиное и др.). Иногда за счет месторождений этой формации образуются небольшие россыпи (Талыминское, Серегектинское и др. месторождения). Присущий этой формации тип полевошпат-кварцевых жил развит слабо; в основном он сопутствует пегматитовым и реже кварцевым жилам и связан как с палеозойскими, так и позднемеловыми гранитоидами. Качественный минеральный состав жил подобен составу пегматитовых жил. Его рудная часть представлена вольфрамитом, кассiterитом, молибденитом, реже арсенопиритом, халькопиритом, сфalerитом и пиритом.

Районы развития грейзенового типа оруденения совпадают с районами развития кварцевожильного типа. Оловорудные тела этого типа локализуются в апикальных частях куполовидных выступов интрузивов и их экзоконтактовых зонах и часто сопровождают кварцевые жилы, образуя оторочки в их зальбандах, нередко намного превышающих мощность кварцевых жил. Имеются и более или менее самостоятельные грейзеновые тела жильного типа обычно с кварцевым выполнением осевой части, а также гнездовые и пологозалегающие плащеобразные тела (Олгаканская месторождение на хр. Эзоп), образующиеся как за счет гранитов, так и за счет перекрывающих их эфузивов. Преобладает кварц-мусковитовый тип грейзенов. Их минеральный состав однообразен и представлен преимущественно кварцем и светлой слюдой, с резко подчиненными кассiterитом, вольфрамитом, флюоритом, шеелитом, арсенопиритом, халькопиритом, пиритом, молибденитом и самородным висмутом.

Тип топаз-кварцевых жил более редок. Как и грейзеновый, он тесно связан с кварцевожильным. К нему относятся некоторые проявления Эзопского (Талыминское месторождение), Софийского (рудопроявление Бурейка) и Баджалльского (кл. Аленушкин) районов.

Наиболее распространен кассiterит-кварцевый тип оруденения. Его месторождения в основном развиты в бассейне верхнего течения Буреи, отчасти на Сихотэ-Алине и в других районах. Жилы залегают в эндо-, реже в экзоконтактах интрузивов. Это небольшие крутопадающие жилы, прожилковые и сетчато-прожилковые зоны, сложенные кварцем, светлой слюдой, флюоритом, в меньшей мере турмалином, топазом, полевым шпатом и рудными минералами — кассiterитом, вольфрамитом, арсенопиритом, висмутином, пирротином; иногда присутствуют сфалерит и галенит.

Для жил этого типа характерна постоянная ассоциация кассiterита и вольфрамита, содержание которых иногда достигает промышленных значений. В зависимости от преобладания того или другого рудопроявления оказывается или вольфрам-оловянным или оловянно-вольфрамовым. Оруденение неравномерное, вкрашенное и гнездовое. Сопровождающие жилы грейзеновые оторочки (иногда очень мощные) несут мелкую и хотя неравномерную, но нередко обильную вкрашенность вольфрамита и кассiterита. Состав рудной минерализации на разных глубинах месторождений неодинаков. На глубоких горизонтах преобладает вольфрамит, на средних — кассiterит, а в верхних — возрастает роль сульфидов и прежде всего арсенопирита. Например, на месторождениях Серегетинском и Усманском (Иппата-Мерекский район) эти границы смены характера минерализации соответствуют абсолютным отметкам 600—700 и 1000—1100 м. Перспективы месторождений кассiterит-кварцевого типа, несмотря на их относительно значительную распространенность, в Приамурье невелики. Вместе с тем имеются мнения о возможности открытия более значительных месторождений этого типа в областях активизации древних структур, в частности на Алданском щите (М. И. Ициксон, 1967). То же, по-видимому, относится и к Буреинскому массиву.

Проявления кассiterит-кварц-сульфидного типа характеризуемой формации имеют меньшее распространение. Пространственно они тесно связаны с проявлениями кассiterит-кварцевого типа и представляются как переходные звенья к более низкотемпературным образованиям — кассiterит-силикатной и кассiterит-карбонатно-сульфидной формациям. При той же роли кварца и жильной морфологии рудных тел для месторождений этого типа характерно увеличение роли сульфидов в составе руд (арсенопирит, пирит, халькопирит, реже сфалерит и галенит). К этому типу относятся рудопроявления, месторождения, а также отдельные рудные тела некоторых месторождений. Софийского (Эбканское, Имганах и др.), Эзопского (Талыминское) и других районов.

Месторождения силикатно-карбонатной группы формаций. Месторождения немногочисленны и не имеют пока практического значения. Они образуются в основном в связи с карбонатными породами и известны преимущественно в районах развития домезозойских складчатых образований — в Баджальском и Малохинганском районах (Болторо, Канхойское, Верхнебиджанское месторождения),

в Эзопском (рудопроявления Олгинское и кл. Оленьего) и Анюйском районах (Джаурское, Таунгинское месторождения). Эта группа объединяет две формации: 1) скарновую, которая по условиям образования стоит, по-видимому, ближе к предыдущей группе, и 2) касситерит-карбонатно-сульфидную, относительно более низкотемпературную, тяготеющую к гидротермальным месторождениям силикатно-сульфидной группы формаций; ее представляет единственное пока Верхнебиджанское месторождение. Таким образом, группа в целом занимает промежуточное положение между силикатно-кварцевой и силикатно-сульфидной группами формаций.

Месторождения силикатно-сульфидной группы формаций. Эта группа включает гидротермальный класс наиболее важных в промышленном отношении месторождений олова, принадлежащих к касситерит-силикатной и касситерит-сульфидной формациям. К этой же группе М. П. Материков (1964) относит и формацию деревянистого олова (риолитовую).

Касситерит-силикатная формация представляется наиболее важной. Ее отличительная черта — тесная парагенетическая связь касситерита с железо-магнезиальными алюмосиликатами, при переменной роли сульфидов. Формация является как бы промежуточным звеном между касситерит-кварцевой и касситерит-сульфидной, оставаясь ближе к последней, с которой она, из-за наличия сульфидов, связана переходными типами. Вместе эти формации представляют группу месторождений, образующихся на небольших глубинах, среди терригенных и вулканогенных пород, в криптобатолитовых зонах интрузивов или вдали от них, в форме протяженных рудоносных зон дробления и смятия. Формация представлена минеральными типами: турмалиновым и хлоритовым, с большей или меньшей ролью сульфидов. Генетически они близки и часто, по мере удаления от интрузивов, турмалиновый переходит в хлоритовый, с последовательным увеличением роли сульфидов. Распространены довольно широко; первый тип более характерен для Хингано-Баджальской, а второй — для Северо-Сихотэалинской оловоносных областей.

Турмалиновый (кварц-турмалиновый, турмалин-сульфидный) тип наиболее характеризует оруденение Баджальского, Дукинского, Верхнекурсского и особенно Комсомольского оловорудных районов, в Хингано-Олонойском районе преобладает хлоритовый тип оловянного оруденения.

Хлоритовый (кварц-хлоритовый и хлорит-сульфидный) тип оруденения в отличие от турмалинового не имеет столь четко очерченных «максимумов» своего развития; его проявления имеются и в Северо-Сихотэалинской и в Хингано-Баджальской области, хотя преобладает он все же в первой. Структурная позиция его проявлений и морфологические особенности в целом близки турмалиновому типу. Отличия заключаются лишь в ведущей роли железистого хлорита и относительно большем значении сульфидов, среди которых значительное место занимает арсенопирит. В Хингано-Баджальской

области проявления хлоритового типа характеризует Хингано-Олонойский, отчасти Баджальский, Эзопский и другие районы. В Северо-Сихотэалинской области хлорит-сульфидный тип оловянного оруденения почти целиком характеризует всю Восточно-Сихотэалинскую металлогеническую зону.

Кассiterит-сульфидная формация отличается, естественно, большей ролью сульфидов в составе руд. Незначительная часть олова в рудах, наряду с преобладающей окисной, образует сульфидные формы соединений. Месторождения этой формации локализуются также среди эфузивных и терригенных образований в форме минерализованных зон дробления и брекчий на значительном удалении, а нередко и вне видимой связи с интрузивами. Преобладая в Восточно-Сихотэалинской металлогенической зоне, они занимают в ней крайнее восточное положение, ближе к зоне Прибрежного вулканогена (Пионерское, Таусинское месторождения). Вместе с тем представители этой формации имеются и в Хингано-Баджальской области — в Эзопском и Софийском районах, где они представлены пирротин-арсенопиритовым или арсенопиритовым типами (Алкачинское, «18 августа», Эзопское), а также близкими к галенит-сфалеритовому типу (месторождение ключа Широтного). В Комсомольском районе к кассiterит-сульфидным относятся месторождения Озерное, Снежное, отчасти Перевальное.

Риолитовая формация в Приамурье представлена небольшим и единственным Джалиндинским месторождением, связанным с субинтрузивной фацией меловых липаритов. Месторождение представлено кварцевыми метасоматитами, обогащенными «деревянистым» кассiterитом, и располагается в пределах Хингано-Олонойского оловоносного района, связанного с одноименной меловой вулканогенной структурой, сформированной на восточной окраине Буреинского массива.

Пространственное размещение оловорудных формаций. Пространственное размещение главнейших оловорудных формаций Приамурья подчиняется общей геологической закономерности структурного развития территории, в соответствии с которой в направлении с запада на восток от структур более древних к более молодым высокотемпературные (глубинные) рудные формации сменяются менее высокотемпературными.

Так, пегматитовые и кварц-полевошпатовые рудные образования, связанные преимущественно с палеозойскими гранитами, располагаются на восточной окраине Буреинского массива. Восточнее и юго-восточнее, в зоне мезозойской тектономагматической переработки Буреинского массива и прилегающей к нему зоне поздних герцинид (Хингано-Охотский рудоносный пояс), широко развит кассiterит-кварцевый тип месторождений, связанный с меловыми, относительно также глубоко эродированными интрузиями. К югу, северу и востоку в зоне мезозоид, прилегающих к позднегерцинскому окаймлению Буреинского массива, т. е. в районах со слабо эродированными меловыми гранитоидами, в составе оруденения возра-

стает роль железисто-магнезиальных алюмосиликатов и сульфидов, появляются фации меньшей глубинности, по составу приближающиеся к кассiterит-силикатной и кассiterит-сульфидной формациям (Эзопская и Баджальская группы рудопроявлений, месторождения Хингано-Олонойского и Комсомольского районов).

Подобная смена рудных формаций наблюдается и на оловоносных площадях Сихотэалинского рудоносного пояса. Преимущественно кварц-кассiterитовый тип минерализации, сравнительно слабо проявляющийся в Центрально-Сихотэалинской зоне и связанный с относительно глубоко эродированными поздне- и раннемеловыми границами, к востоку в зоне прилегающих мезозоид сменяется месторождениями кварц-хлоритового и хлорит-сульфидного типов. Последние связаны с позднемеловыми и палеогеновыми слабо эродированными гранитоидами, тесно ассоциирующими с эффузивами. Еще восточнее, в зоне господства палеогенового эффузивно-интрузивного магматизма, проявляется в основном кассiterит-сульфидная минерализация.

Таким образом, в региональном плане размещение оловоносности Приамурья, как и Сихотэалинской области в целом, проявляет отчетливо выраженную зональность, увязывающуюся с зональным расположением разновозрастных складчатых зон и магматических комплексов. Характерно, что аналогичный характер зональности в размещении различных типов оловянного оруденения отмечается и для Северо-Востока (Зильберминц, Лабутин, Павлов, 1967). Пегматитовый тип оруденения там также представляет собой наиболее глубинную фацию, которая размещается в породах основания разреза верхоянского комплекса; кассiterит-силикатная и кассiterит-кварцевая формации тяготеют к нижним и средним горизонтам комплекса, а кассiterит-сульфидная и риолитовая располагаются среди еще более молодых его образований.

Зональное размещение оруденения, лишь в меньшем масштабе, нередко наблюдается и в пределах отдельных оловорудных районов и даже месторождений обеих оловоносных областей (Иппата-Мерекский, Эзопский, Комсомольский районы, зона Мопау и др.). В качестве примера соплемемся на месторождение Яко-Яни (зона Мопау), где, по данным М. В. Мартынюка и А. В. Палагина (1967 г.), в размещении типов минерализации вокруг интрузива намечается четкая зональность в последовательности от оловоносных грейзенов (интрузивная зона) через минерализацию кварц-серicitового и турмалинового типа (близинтрузивная зона) до кассiterит-сульфидной минерализации (внешинтрузивная зона). Каждая из формаций — кассiterит-кварцевая, кассiterит-силикатная и кассiterит-сульфидная — занимает определенное структурное и пространственное положение по отношению к рудоносному интрузиву, отражая последовательную смену структурных и фациальных условий рудоотложения, по мере удаления от рудоносного очага.

В апикальных частях интрузивов или в непосредственной близости от них локализуются проявления кассiterит-кварцевой формации (кварцевые, кварцево-грейзеновые жилы и грейзены). По мере

удаления от интрузивов проявления кассiterит-кварцевой формации сменяются минерализацией кассiterит-силикатной, а еще далее — кассiterит-сульфидной формации, т. е. происходит последовательная смена высокотемпературных формаций и типов оруденения менее высокотемпературными и менее глубинными.

В этом же направлении усложняется минеральный состав рудных образований. В них все более возрастает роль сульфидов, а рудоотложение осуществляется уже не в трещинах отдельности и разрыва, расположенных вблизи или непосредственно в интрузивах, а в значительно более крупных структурах типа зон смятия и дробления. Последние располагаются на значительном удалении от материнских интрузивов и вмещают оруденение кассiterит-силикатной, кассiterит-сульфидной и сульфидной формаций. Параллельно с этим изменяются морфологические особенности рудных тел и их размеры в сторону значительного их усложнения.

Достаточно отчетливо бывает выражена и вертикальная зональность оруденения, особенно в районах с интенсивно расчлененным рельефом (Комсомольском, Эзопском, Верхне-Буреинском). Причины и формы рудной зональности сложны и многообразны. Они являются следствием комплекса тектонических, структурно-литологических и физико-химических условий рудообразования, в значительной мере определяемых расстоянием от рудоносного очага (Павловский, 1966). К числу главнейших причин Е. А. Радкевич (1959) относит физико-химические факторы и прежде всего температурный, определяемый, по-видимому, опять-таки расстоянием от магматического очага. Роль последнего особенно наглядна на примере рудных районов и узлов и менее сказывается в более крупных структурах, где чаще проявляется роль структурно-фациальных обстановок (Радкевич, 1959; Константинов, 1965). Из этого следует, что тот или иной тип месторождения в значительной мере определяется степенью его удаленности от интрузива и уровнем эрозии.

Многочисленные примеры зонального размещения свидетельствуют о тесной связи оруденения с интрузивами гранитоидов, которые, независимо от того, являются ли они потенциально рудоносными или только экстрагентами рудного вещества из окружающей среды, имеют большое рудогенетическое значение. На это указывал и В. С. Домарев (1967), отмечая, что большая роль метаморфизма в рудообразовании не снижает практического значения структурных и магматических факторов. В связи с этим несомненно важное значение приобретает изучение величины эрозионного среза в том или ином рудном районе: а) как одного из факторов, объясняющих природу разнообразия типов оловорудных формаций в пределах одной и той же структурно-фациальной зоны или блока и б) как еще более важный фактор оценки перспектив месторождений и оловорудных районов в целом.

в. Факторы, контролирующие оловянное оруденение

Главнейшими факторами, определяющими локализацию оруденения в пределах рудоносных областей, являются магматические, структурные, литологические, геохимические и геофизические. Они тесно взаимосвязаны, и говорить о решающей роли какого-либо одного из них не всегда возможно.

Магматический фактор рудоконтроля проявляется в тесной пространственной и структурной связи оловянного оруденения с интрузиями калиевых гранитоидов и в зональном размещении оруденения относительно интрузивов. При этом расположение формационных и минеральных типов оловянного оруденения относительно рудоносных интрузивов соответствует окружающим их геоизотермическим зонам. Последние имеют, однако, не только концентрические формы, соответствующие более или менее изометрическим участкам проявления рудоносного магматизма или отдельным массивам, но и протяженные линейные, совпадающие с магмоконтролирующими зонами разломов. Последнее свидетельствует о том, что локализация магматизма, как одного из важнейших факторов рудогенеза, определяется структурным фактором и прежде всего системами разломов.

Вместе с тем, как это отмечалось выше, химизм и металлогеническая специализация интрузивных образований во многом зависят от состава и геохимических особенностей среды, в которой они формируются, т. е. от литологического фактора. Об этом, в частности, говорит и тот факт, что калиевый тип оловоносных гранитоидов образуется лишь на участках сиалического фундамента повышенной мощности. Налицо, таким образом, тесная взаимосвязь главнейших факторов рудообразования. Однако такую взаимозависимость магматизма и литологии можно допускать, по-видимому, только в нижних структурных ярусах, на уровнях формирования магматических очагов.

В верхних горизонтах коры, на уровнях становления интрузивов и рудоотложения, литологический фактор играет в основном роль среды, в большей или меньшей мере способствующей проникновению растворов и рудоотложению. Е. А. Радкевич (1958) отмечала, что наиболее благоприятными для оловянного рудоотложения являются глинистые сланцы и флишиоиды и, в меньшей мере, песчаники. В настоящее время это подтверждается многочисленными материалами по Комсомольскому району и Северному Сихотэ-Алиню. Как отмечают и другие исследователи, для рудоотложения имеет, по-видимому, значение пористость и химизм пород, их сорбционные свойства, а для некоторых элементов и наличие органических остатков (Орлова, 1965). Влияние всех этих факторов на состав магматических образований и оруденения почти не оказывается. Имеющиеся данные химических анализов гранитоидов и вмещающих пород, как и геологические условия их проявления, не подтверждают сколько-нибудь заметной роли ассимиляционных процессов в

верхних структурных этажах (П. И. Кошман, 1962 г.; Э. П. Изох, 1962 г.).

Большинство разнотипных оловорудных месторождений залегает среди терригенных образований, кислых и средних эфузивов или среди гранитов, т. е. главным образом среди алюмосиликатных образований. Среди основных пород их нет, а в карбонатных известно всего лишь несколько рудопроявлений типа оловоносных скарнов (Канхойское и Эзопское в Хингано-Баджальской области, отчасти Таунгинское и Джаурское в Северо-Сихотэалинской) и единственное пока Биджанское месторождение, расположеннное в Самаро-Биринской зоне (Буреинский массив), которое относится к сульфидно-карбонатной (Радкевич, 1956) или кассiterит-карбонатно-сульфидной (Материков, 1964) формации. Примерно аналогичное положение имеет место и в других оловоносных провинциях. Так, на Северо-Востоке около 60% оловорудных месторождений располагаются среди терригенных пород, 30% — среди кислых интрузивных, 8% — в карбонатных породах и 1% — в эфузивах (Зильберминц и др., 1967).

Литологический фактор оказывается прежде всего на интенсивности трещинообразования, обеспечивающего ту или иную степень проницаемости пород, образование рудовмещающих полостей, а следовательно, и влияющего на морфологию рудных тел.

Роль структурного фактора в локализации оруднения едва ли не наиболее существенна. Особенно это относится к разрывным формам дислокаций. Выше отмечалось, что систематизация этого рода структур (Чеботарев, Усенко, 1967) позволила выделить в пределах оловоносных областей где главные системы разломов: более молодую четко выраженную северо-восточную — Сихотэалинскую и слабее проявленную поперечную ей (близширотную) — Монголо-Охотскую, которые представляют собой отражение расколов фундамента, выраженных в мезозойских структурах как зоны повышенной трещиноватости.

Сихотэалинская система разломов, т. е. кардинальные ее северо-восточные направления и оперяющие их и сопряженные с ними менее крупные разрывы — это оловоносная система. За редкими исключениями (Малый Хинган, Эзоп) она контролирует весь позднемезозойский магматизм и большинство оловоносных зон и районов Приамурья. При этом главные ее направления являются большей частью магмоконтролирующими, тогда как структуры оперения оказываются непосредственно рудолокализующими.

Поперечные (близширотные) зоны повышенной трещиноватости по аналогии с Монголо-Охотской складчатой областью имеют золотую специализацию и в Сихотэалинской области. Для оловянного оруднения они являются рудограницющими и в подавляющем большинстве случаев оказываются границами оловоносных площадей. Еще раньше в Южном Приморье на эти структуры указывали Е. А. Радкевич и И. Н. Томсон (1956 г.), И. И. Берсенев (1959 г.), Н. А. Беляевский и Ю. Я. Громов (1960 г.), а для северной части

Сихотэ-Алиня — Г. П. Воларович (1959 г.), Э. П. Изох (1962 г.) и ряд других исследователей. Было замечено, что эти структуры обусловливают ступенчато-блоковое (поперечно-зональное) строение Сихотэ-Алиня с последовательно возрастающим погружением блоков в северо-восточном направлении. В ортогональном и кососекущем сочетании с разломами Сихотэалинской системы они обусловили расчленение сихотэалинских структур на блоки и сыграли решающую роль в размещении мезозойского и кайнозойского эндогенного оруденения. Несмотря на несколько расплывчатый и не всегда четкий характер проявления, «поперечные» разломы в большей или меньшей мере проявляют золотоносность (Радкевич, Усенко, Чеботарев, 1965). Таких слабо «просвечивающих» золотом поперечных зон трещиноватости между Нижнеамурской и Южноприморской золотоносными областями в Сихотэалинской оловоносной провинции насчитывается несколько. В Приамурье золото установлено в трех таких зонах: 1) в зоне Малмыж — Мопау — бассейн р. Чипали (располагается между Джегдаминской и Мопауской зонами разломов); 2) в зоне Халхили — р. Кадади — истоки р. Коппи (между Верхнекоппинской и Ботчинской зонами разломов) и 3) в зоне Вяземская — верховья Бикина (совпадает с Нахтахинской зоной разломов). Последняя, самая южная и наиболее крупная из них, располагается на юго-восточном продолжении Сутарского золотоносного района.

Геохимический и геофизический факторы, контролирующие оловянное рудообразование, тесно связаны с охарактеризованными. Оловоносные площади располагаются на участках гравитационных и магнитных минимумов, соответствующих площадям, сложенным сиалическим типом геологических формаций и отличающихся пониженной плотностной характеристикой. Развивающиеся в их пределах разломы или участки разломов имеют калиевую геохимическую специализацию, которая обуславливает калиевый тип гранитоидов и их золотоносность.

г. Особенности проявления оруденения в оловоносных областях

Характерные особенности строения и рудоносности двух главнейших оловоносных областей Приамурья представляют собой те основные типические черты, которыми отличаются или должны отличаться их оловорудные районы. Поэтому они являются в то же время и наиболее общими геологическими критериями оценки их перспектив.

Все известные оловорудные районы Приамурья располагаются в Хингано-Баджальской и Северо-Сихотэалинской оловоносных областях, представляющих собой южные звенья более крупных позднемезозойско-кайнозойских орогенических структур — Хингано-Охотского и Сихотэалинского поясов. Эти области характеризуются повышенной мощностью разуплотненной коры, наличием отрицательных аномалий гравитационного поля и пониженной магнитной

восприимчивостью пород (Волхонин и Лишневский, 1960; Лишневский и др., 1965). Их формирование завершилось в течение позднего мела и палеогена и связано с завершающим этапом орогенного развития мезозойских складчатых зон.

Изученность этих областей неравнозначна и далеко еще недостаточна. Относительно лучше изучены оловоносные районы Хингано-Баджальской области и в меньшей мере — Северо-Сихотэалинской. Во всяком случае в пределах последней пока что не выявлено достаточно крупных месторождений. Вместе с тем общие геологические предпосылки позволяют рассматривать Северо-Сихотэалинскую область, наряду с Хингано-Баджальской, как одну из наиболее перспективных для поисков оловорудных месторождений.

Несмотря на принципиальную общность тектонической позиции областей, как орогенических структур, они отличаются временем и местом формирования, структурно-фациальными условиями проявления магматизма и типовыми особенностями связанного с ним оруденения. Хингано-Баджальская оловоносная область занимает крайнее западное положение и охватывает восточную окраину Буреинского массива (байкалиды) и окаймляющую зону герцинид, отчасти ранних мезозоид, где мощность коры на отдельных участках достигает 40 км (Лишневский, 1965). Магматизм и рудоносность области сформированы в интервале от верхов раннего до позднего мела включительно. Следовательно, между временем формирования рудоносной области и возрастом ее субстрата был значительный промежуток времени; меловой рудоносный магматизм наложен на разнородные структуры, претерпевшие значительную подчас консолидацию и метаморфизм пород. Иными словами, характеризуемая оловоносная область относится к типу дейтероорогенных структур (Боголепов, 1968).

Ее рудоносный липарито-гранитоидный магматизм, образующий эфузивно-интрузивные ассоциации, геологически контрастно проявляется среди значительно более древних вмещающих его складчатых образований; в составе его эфузивных фаций значительная роль принадлежит игнимбритам. Пространственно тесно связанные с ним оловорудные месторождения и рудопроявления отличаются значительной линейной протяженностью рудоносных зон (до 7–15 км) и в типовом отношении представлены в основном проявлениями кассiterит-кварцевой и кассiterит-силикатной формаций, с заметной ролью летучих — бора и фтора. Среди представителей последней доминирующее значение имеют месторождения кварц-турмалинового и хлоритового типов, при небольшой сравнительно роли сульфидов. В этой области имеются также проявления риолитовой формации, что вместе с существенной ролью игнимбритов свидетельствует о своеобразных условиях проявления магматических процессов и ассоциированного с ними оруденения.

Характерной особенностью большинства оловорудных месторождений Хингано-Баджальской области является также тесная пространственная связь с меловыми эфузивно-интрузивными обра-

зованиями. Исключение представляют лишь месторождения касситерит-кварцевой формации, которые почти целиком располагаются среди древних пород фундамента, однако также в непосредственной близости от массивов сравнительно глубоко эродированных меловых гранитов. Месторождения же касситерит-силикатной формации размещаются или непосредственно в эфузивах (Малый Хинган, Баджали, Эзоп), или же в эфузивах и подстилающих их складчатых образованиях (Комсомольский район). Но и в последнем случае «подэфузивные» рудные залежи все же тяготеют к эфузивам и располагаются большей частью близ поверхности несогласия между эфузивным покровом и их складчатым субстратом. При этом оруденение среди эфузивов часто затухает, в чем сказывается, по-видимому, экранирующее влияние их покровов.

Северо-Сихотэалинская оловоносная область в отличие от Хингано-Баджальской занимает восточное положение в Сихотэалинской складчатой области, где мощность коры достигает 32,5 км (Лишневский, 1965 г.). Она сформирована в позднемеловое-палеогеновое время, т. е. позднее Хингано-Баджальской, охватывает Центрально-Сихотэалинский антиклиниорий и Восточно-Сихотэалинский синклиниорий, сложенные палеозойскими, триасово-юрскими и меловыми складчатыми образованиями. Причем наиболее перспективная Коппинская металлогеническая зона располагается в зоне позднемеловой складчатости. Таким образом, возраст рудоносного магматизма и оруденения области близки вмещающим их складчатым образованиям.

Следовательно, область заметно отличается по месту и времени своего образования, возрасту вмещающих пород и мощности коры. Для нее характерно прежде всего отсутствие той возрастной «которванности» от своего субстрата, которая характерна для Хингано-Баджальской области. Ее продуктивные магматические комплексы располагаются среди ранне- и позднемеловых морских вулканогенно-терригенных и терригенных молассовых образований, из которых «вырастают» и их субаэральные эфузивные фации. Последние надо понимать в том смысле, что в составе баррем-раннесенонских моласс, на которых сформирована наиболее продуктивная по олову часть области, в направлении к конечной стадии их формирования последовательно возрастает роль вулканогенного материала. К позднему сезону в связи с наступлением континентального режима баррем-раннесенонская терригенно-вулканогенная молassa сменяется субаэральными вулканогенными покровами, которые в связи с этим оказываются тесно связанными с вулканитами своего основания.

Таким образом, позднемеловые и палеогеновые продуктивные магматические комплексы Северо-Сихотэалинской области органически связаны с образованиями, на котором они сформированы, и, следовательно, лишены той геологической (возрастной и литологической) контрастности, которая характерна для Хингано-Баджальской области. Они слабо эродированы, а их монzonitoидный характер вскрывает черты гибридизма и в целом заметно повышенную основность, что, может быть, объясняется также составом коры в зоне,

близкой к океану. Все эти особенности позволяют характеризуемую область относить к типуprotoорогенных структур (Боголепов, 1968 г.).

Отличается эта область и типом минерализации. Ее оловянное оруденение, в отличие от Хингано-Баджальской, в типовом отношении представлено менее высокотемпературными формациями, характеризующимися более сложными по составу рудами. Среди месторождений и рудопроявлений преобладают представители кассiterит-силикатной и особенно кассiterит-сульфидной формаций. Причем, кассiterит-силикатная формация представлена проявлениями в основном хлорит-сульфидного типа, т. е. более близкими к кассiterит-сульфидной формации. Все это обусловливает более сложный — «мезократовый» по М. И. Ициксону — минеральный состав руд Северо-Сихотэалинской области, который соответствует повышенной мезократовости магматических комплексов, с которыми это оруденение пространственно ассоциирует.

Месторождения Северо-Сихотэалинской области проявляют также заметно меньшее пространственное тяготение к магматическим образованиям. Правда, здесь также имеются месторождения, залегающие среди эфузивов (Мопауское, Уджакинское). Однако более многочисленны случаи расположения их и в осадочных породах на значительном удалении, а то и вне видимой связи с эфузивными образованиями субаэральных покровов, подобно тому, что имеет место и в Южном Приморье. Вместе с тем для месторождений этой области и ее рудных полей более характерно, чем для Хингано-Баджальской, развитие разнообразных и разновременных дайковых образований. Рудные зоны отличаются меньшей линейной выраженностью и протяженностью, которая, например, для Пионерского месторождения достигает максимум 4 км.

Различия геологических условий проявления оловянного оруденения в двух главнейших оловоносных областях Приамурья важны для перспективной оценки рудных районов и месторождений. Их учет, думается, будет особенно полезным при оценке оруденения в оловоносных районах Северо-Сихотэалинской области, где рудопроявления по ряду существенных признаков и прежде всего по форме и строению, размерам и составу рудных тел должны отличаться от таковых Хингано-Буреинской области. Вместе с тем преобладание оруденения кассiterит-сульфидной формации и приуроченность оловоносных районов к зоне проявления относительно слабо эродированных рудоносных гранитоидов, располагающихся среди слабо консолидированных мезозойских структур, возраст которых близок возрасту оруденения, обуславливает, по-видимому, не только состав руд, формы проявления оруденения и параметры рудных тел на выходах; представляется, что оруденение в Северо-Сихотэалинской области должно отличаться также и распространением на глубину.

В настоящее время степень изученности оловорудных месторождений различных генетических типов и группы в пределах районов их размещения, в том числе и в Северо-Сихотэалинской области,

позволяет рассматривать их как фации, фиксирующие разнообразие геологических условий протекания рудного процесса, определяемые прежде всего степенью удаленности от рудоносных интрузивов. Отсюда следует вывод о большой важности для оценки месторождений изучения эрозионного среза. Последнее с исчерпывающей убедительностью аргументируется также материалами изучения месторождений Северо-Сихотэалинской области, из которых следует, что тип оловянного оруденения, а следовательно, и перспективная оценка того или иного месторождения определяются двумя важнейшими факторами: удаленностью месторождения от интрузива и уровнем его эрозии.

На основе изложенных материалов представляется, что в рудных районах Северо-Сихотэалинской области оруденение должно отличаться меньшими параметрами на выходах и в то же время большей площадной рассредоточенностью рудопроявлений, чем в Хингано-Баджальской. В результате проявление оруденения на поверхности выражается недостаточно компактно или слабо. Иначе говоря, при более слабой разработанности магмо- и рудоконтролирующих разломов, связанный, по-видимому, с недостаточной консолидацией молодых складчатых образований области и обилием оперяющих их разрывов, наконец, при меньшем значении экранирующих структур и небольшом эрозионном срезе рудоносных площадей, оценка рудопроявлений на выходах в рудных районах Северо-Сихотэалинской области представляется более трудоемкой, чем в районах Хингано-Баджальской области.

Имеющиеся геологические предпосылки позволяют надеяться на значительную глубинность оруденения на месторождениях Сихотэалинского пояса и наличие более перспективных типов руд на глубоких горизонтах, подобно тому, как это установлено изучением аналогичных месторождений в Южном Приморье (Е. П. Сапрыкин, 1966 г.; Т. В. Забарина, 1964 г.). Оценка месторождений Сихотэалинского пояса требует, по-видимому, большого внимания к изучению их глубинных горизонтов, а следовательно, и реализации больших объемов горных и буровых работ.

4. ОЦЕНКА ПЕРСПЕКТИВ И НАПРАВЛЕНИЯ ДАЛЬНЕЙШИХ ИССЛЕДОВАНИЙ

Оловоносные структуры Приамурья характеризуются несомненно большими потенциальными возможностями открытия новых оловоносных районов и месторождений. Для их поисков имеется много еще перспективных площадей и в Хингано-Баджальской и в Северо-Сихотэалинской областях. Нужен лишь более широкий фронт работ, основанных на рациональном комплексе методических приемов поисков. Представляется, что поиски должны осуществляться по двум главным направлениям: 1) по линии более углубленного изучения известных оловорудных районов, на основе разработки и применения более совершенных методов поисков скрытых рудных тел

и месторождений, и 2) постановкой исследований в новых или слабо изученных районах, отличающихся наличием благоприятных геологических обстановок и признаков.

Первое направление соответствует первоочередным задачам научно-производственного характера, которые в той или иной мере уже решаются усилиями Дальневосточного геологического управления и другими геологическими организациями (ДВГИ, ГЕОХИ, ДВИМС и др.). Это направление должно реализоваться в основном в известных уже и относительно лучше изученных оловорудных районах, таких как Хингано-Олонойский, Комсомольский, отчасти Баджальский и Буту-Коппинский, т. е. в тех районах, поверхность которых более или менее изучена.

Другое направление не менее важно и актуально. Оно связано с необходимостью расширения фронта поисковых исследований за пределы известных уже рудных районов. В настоящее время большие производственные задания и объемы по поискам и разведочным работам выполняются большей частью в давно и надежно зарекомендовавших себя оловорудных районах — Хингано-Олонойском, Комсомольском, отчасти в Буту-Коппинском. Однако такую привязанность к районам традиционной оловоносности, по-видимому, нельзя считать правильной, тем более в условиях, когда большая часть приповерхностных месторождений в них уже открыта, а рядом имеются значительные перспективные площади слабо или вовсе еще не изученные.

Эти площади имеются как в Хингано-Баджальской, так и в Северо-Сихотэалинской областях. В последней они характеризуются небольшим эрозионным срезом и преобладанием малоглубинных фаций оруденения на выходах. В этой области, являющейся северо-восточным продолжением оловоносных структур Приморья, наряду с рудной зоной Мопауской (Буту-Коппинский район), очень важен с позиций открытия новых месторождений целый ряд районов слабо еще опрошниканных (с юга на север: Верхнекатэнский, Верхнесукпайский или Тагему-Сукпайский, Кукшинский, Коппинский и Верхнеудоминский). Почти все они укладываются в Коппинскую металлогеническую зону, являющуюся продолжением Главной зоны Приморья, и не охвачены еще в должной мере поисково-съемочными работами масштаба 1 : 50 000 и связанным с ними комплексом других, применяемых в настоящее время методов поисков. А между тем есть множество благоприятных геологических признаков и рудо-проявлений, сближающих их с известными уже оловорудными районами.

На площади Хингано-Баджальской области к таким слабо изученным, но перспективным относятся районы юга Приохотской области — Нимеленский и Тугурский, а также прилегающая к ним с юга Эзопская оловоносная зона. Последняя характеризуется наличием крупных близширотных зон касситерит-сульфидной минерализации, степень изученности которых совершенно не соответствует их роли в строении близширотной структуры хр. Эзоп.

С точки зрения оловоносности важными представляются также районы, расположенные западнее Хингано-Баджальской области, и прежде всего площадь Буреинского массива, как потенциальный источник не только рудного, но и россыпного олова. Можно указать на наличие рудопроявлений олова и россыпей кассiterита в бассейнах рек Архары и Гари.

Таким образом, следует признать необходимость выхода за пределы зарекомендовавших себя оловоносных районов и широкого развития поисков перспективных месторождений на новых площадях.

Изложенные выводы и рекомендации представляются в достаточной мере обоснованными. Их реализация может обернуться значительной эффективностью, однако при одном очень важном условии — традиционные методы поисков и оценок должны быть дополнены новыми, более эффективными.

В настоящее время все оловоносные площади Приамурья покрыты среднемасштабными съемками, а наиболее известные оловорудные районы закартированы в более крупных масштабах и в значительной мере опрошованы с применением металлометрии и различных методов геофизики. Они охвачены соответствующими обобщениями, тектоническими и прогнозно-металлогеническими (мелко-, отчасти среднемасштабными) картами. Эти карты позволили выявить главнейшие региональные закономерности в размещении оловянного оруденения и оконтурить основные оловоносные структуры — области и рудные районы — и сделали возможной постановку более детальных исследований. Однако попытки более углубленного изучения известных оловорудных районов с целью поисков новых месторождений оказываются мало эффективными. Постановка работ по средне- и особенно крупномасштабному прогнозированию оловянных месторождений, как правило, не приводит к желаемым результатам. Последнее объясняется тем, что большая часть месторождений, выходящих в той или иной мере на поверхность, уже открыта; остались месторождения, слабо проявляющие себя с поверхности или же залегающие на глубине. Иными словами, существующий арсенал геологических методов поисков и оценок, основанных прежде всего на визуальных аналогиях и учете в основном лишь качественной стороны явлений, не обеспечивает крупномасштабного прогнозирования.

Для этого нужны другие приемы, учитывающие не только качественную, но и количественную сторону наблюдаемых явлений и фактов; нужны новые теоретические основы поисков и оценок. Попытки количественного прогнозирования не имеют еще достаточной научной основы, хотя разработка соответствующих методик несомненно имеет важное значение. С точки зрения прогнозирования и оценки оловорудных месторождений, особенно закрытых, по-видимому, перспективны исследования методом термометрии (Е. А. Радкевич, А. Н. Кокорин), а также геохимические методы, основанные на изучении поведения некоторых элементов — спутников оруденения (ниобия, скандия, индия, бора, фтора и др.).

Предварительные исследования по этой проблеме показали положительные результаты; концентрация присутствующих в касситерите примесей ниобия и скандия с глубиной закономерно возрастают, а индия убывает (Никулин, 1966, 1967). Методика геохимической оценки глубинных месторождений по фтору разрабатывается В. Л. Барсуковым. Кроме того, представляется реальным определение размаха оруденения по бору и отношению бора к фтору (Н. Н. Никулин, Ю. И. Бакулин), а также поиски месторождений путем изучения литогеохимических ореолов. В этой связи возникает перспектива создания методик, с помощью которых на основе установленных закономерностей распределения элементов можно было бы прогнозировать глубину распространения оруденения, «слепые» рудные тела и месторождения, определять уровень эрозионного среза, а вместе с тем и перспективную оценку месторождений и районов в целом.

Таким образом, назрела серьезная задача, заключающаяся в выработке новых приемов и методик прогнозов, поисков и предварительных оценок оловорудных месторождений, отвечающих современному состоянию изученности территории и задачам практики. Несомненно, это большая многоплановая задача, посильная только большим научным и научно-производственным коллективам.

Многолетний опыт изучения оловорудных и других эндогенных рудных месторождений приводит к представлениям, в соответствии с которыми оловорудное, как и другое жильное месторождение или рудное поле, представляет собой объемную геологическую систему, сформированную в определенных условиях глубинности и структурно-литологической обстановки. Главнейшие элементы этой системы: структура вмещающей среды, магматизм и оруденение, сопровождаемое различными видами зональности — рудной, оклорудной метасоматической и геохимической. При этом представляется, что структура является главнейшим элементом системы, контролирующим формы и особенности проявления остальных элементов, в том числе магматических образований, их состава и форм связи с оруденением. Несомненно, все эти элементы находятся в определенной функциональной зависимости, и их совместное изучение как системы, по-видимому, должно являться главным условием и методологической основой для разработки научных основ крупномасштабного прогнозирования рудных полей и месторождений, в том числе не выходящих на поверхность.

Исходя из этого, намечаются три главнейших направления исследований:

а) изучение структур рудных полей и месторождений и их связи с элементами более крупных структур региона, с целью структурно-морфологической классификации месторождений;

б) изучение вещественного состава, минералого-геохимических и формационных особенностей месторождений и их связи с особенностями структуры, состава слагающих пород и магматизма;

в) изучение особенностей проявления магматизма, присущего тому или иному типу рудного поля иformationному типу оруденения, форм его проявлений и связей с оруденением.

Сбор и обобщение материалов по этим направлениям, с учетом геологических особенностей каждого из районов, их рудных полей и месторождений, в конечном итоге предполагают геологическую типизацию оловорудных районов и классификацию месторождений на основе структурно-формационных признаков.

Актуальность такого рода исследований очевидна. Имеющиеся материалы позволяют с достаточной уверенностью говорить о роли крупных структурных форм, определяющих специфику структурных особенностей того или иного месторождения или рудного поля, его рудно-формационные свойства, формы проявления магматизма и связи с ним оруденения. Иначе говоря, главнейшие особенности рудных районов и месторождений тесно связаны с особенностями крупных структур, в которых они образуются.

Ценные данные приносят и геохимические исследования. Материалы исследований В. Л. Барсукова и Н. Н. Никулина, проведенных в различных районах (в том числе и Комсомольском), свидетельствуют о больших возможностях геохимических методов прогнозирования, при их относительной простоте, дешевизне и значительном количестве возможных модификаций. Несомненно, еще большего можно ожидать при сочетании геохимических методов с изучением структур рудных полей и месторождений.

Количественное изучение распределения химических элементов, а также минеральных парагенезисов в трехмерном пространстве рудного поля позволит систематизировать оловорудные месторождения по их геохимическим особенностям и решить ряд не только теоретических вопросов, связанных с уяснением закономерностей рудогенеза, но и выявить минералого-геохимические критерии оценки оловоносных зон и месторождений. С другой стороны, лито-структурный аспект исследований рудных полей позволил бы в значительной мере повысить процент достоверности интерпретации геохимических аномалий и прогнозирования, а при учете геофизических и поисковых данных — и перспективную оценку месторождений на различных стадиях их изучения.

Важным представляется изучение магматизма на рудных полях и месторождениях, его структурно-петрологических особенностей, форм проявления и связей с особенностями структуры и литологии, типом оруденения, характером рудной и геохимической зональности.

ЗАКЛЮЧЕНИЕ

Обширный многосторонний материал по геологии Приамурья позволяет подчеркнуть ряд положений, отражающих закономерности развития региона, особенности его магматизма и рудоносности.

1. Геологическое развитие Приамурья (Сихотэалинской подвижной области) носило полициклический характер и продолжалось в течение байкальского, герцинского и мезо-кайнозойского тектономагматических циклов. Полициклическое развитие обусловило перемежаемость и наложение разновозрастных седиментогенных и магматогенных комплексов различного формационного типа и связанных с ними рудных образований. В развитии каждого цикла различаются периоды или этапы геосинклинального и геоантиклинального (орогенного) режимов развития, с характерными для каждого из них тектоническими процессами и магматизмом. Геосинклинальные периоды (ранний протерозой — кембрий восточной половины складчатой системы Буреинского массива, силур — карбон и триас — юра Монголо-Охотской складчатой системы, карбон — пермь и триас — поздний мел Сихотэалинской складчатой области) отличались тенденцией к прогибанию земной коры и осадконакоплению с базальтоидным магматизмом в зонах эвгеосинклинального развития, а также складкообразованием; в эти периоды происходило наращивание мощности земной коры за счет накопления осадочных толщ.

Геоантиклинальные периоды (ордовик — поздний мезозой восточной половины Буреинского массива, поздний мезозой Монголо-Охотской складчатой системы, ранний мел — кайнозой западной половины и поздний мел — кайнозой восточной половины Сихотэалинской области) характеризовались преимущественно сводово-глыбовыми поднятиями складчатых структур и интенсивным эфузивно-интрузивным магматизмом гранитоидного ряда; осадконакопление в геоантиклинальный период имело локальный характер главным образом в межсводовых опусканиях. В эти периоды преобладали преимущественно гранитогенные процессы. Таким образом, в геосинклинальные периоды возникали седиментогенно-складчатые структурные формы, а в геоантиклинальные периоды формировались сводово-глыбовые и глыбовые структуры, а также вулкано-плутонические пояса, т. е. преимущественно магматогенно-глыбовые.

структурные формы. Между сводово-глыбовыми поднятиями формировались впадины.

Последовательное сокращение в ходе развития геосинклинальных седиментационно-складчатых форм тектогенеза к позднему мезозою привело к господству геоантиклинальных, магматогенно-глыбовых форм тектогенеза на всей территории характеризуемой области.

Различные по времени формирования складчатые системы (Буреинская, Монголо-Охотская) в последующие этапы не были преобразованы в платформы, а сохранились как подвижные структуры с геоантиклинальным режимом развития, обусловленным развитием сопредельной мезозойской геосинклинальной системы, вместе с которой они составляли единую подвижную область. Связь и взаимообусловленность развития геосинклинальных и геоантиклинальных структур в единой подвижной области отражена в процессах литогенеза, тектогенеза, магматизма и рудообразования.

Формирование гранитоидов в основном относится к послескладчатым, геоантиклинальным периодам развития подвижных зон; оно происходило на фоне сводово-глыбовых поднятий и по времени нередко совпадало со складчатыми процессами в смежных геосинклиналях. При этом имеет место постоянная пространственная разобщенность зон складчатости и синхронного ей гранитоидного магматизма. Формирование гранитоидов в геоантиклинальных сводово-глыбовых поднятиях нередко протекало синхронно базальтоидному магматизму соседних геосинклиналей. В этом случае намечается своеобразный литоральный магматический ряд, представленный липаритами и гранитами в геоантиклинальных зонах и спилитами и диабазами в соседних с ними геосинклиналях. Гранитообразование ограничено лишь структурами с достаточно мощной корой, т. е. послегеосинклинальными зонами завершенной складчатости, испытывающими сводово-глыбовые поднятия. Именно поэтому наиболее древняя в Приамурье складчатая система Буреинского массива, длительно развивавшаяся как геоантиклинальная структура, оказалась ареной мощного палеозойского и мезозойского гранитообразования и в результате превратилась в структуру поликлинического гранитоидного магматизма и связанного с ним рудообразования.

Характерную особенность геологического развития региона представляет проявившаяся в мезозое миграция активных зон тектогенеза по направлению к Тихому океану, что обусловило асимметрию его тектонического плана и омоложение структур в указанном направлении.

2. Сихотэалинская складчатая область с ее особенностями осадконакопления и складчатости, магматизма и рудоносности является продуктом мезо-кайнозойского тектоно-магматического цикла. Анализ геологических формаций, отражающих основные геологические события этого цикла, позволяет наметить характерные тенденции развития осадконакопления, магматизма и рудоносности. В геосинклинальный этап развития цикла осадконакопление, как и присущие

этому этапу магматизм и рудоносность, подчинены сравнительно узким и глубоким трогообразным прогибам и по составу тяготеют к сиало-фемическим образованиям. На орогенном (геантиклинальном) этапе развития в связи со сводовым воздыманием осадконакопление имеет локальный характер, хотя происходит на более обширных площадях сводовых воздыманий; состав отложений преимущественно сиалический — терригенный и вулканогенно-терригенный, а интрузивные образования представлены гранитоидами, которые вместе с субаэральными вулканитами образуют вулкано-плутонические комплексы. Последние локализуются на обширных пространствах, однако, как правило, к западу от изохронных геосинклинальных прогибов, претерпевших инверсию. Такая тенденция в поэтапном развитии подвижных зон характерна не только для мезозоя; несовпадение зон проявления орогенного магматизма и геосинклинальных прогибов имеет место и в герцинидах и байкалидах. Таким образом, почти во всех случаях геосинклинальные прогибы в ходе развития подвижных областей занимают фронтальное (восточное) положение, в то время как связанный с их замыканием магматизм «отстает» и локализуется в обрамляющих их (западных) геантиклинальных структурах предыдущего этапа складчатости.

Благодаря этому складчатые зоны каждого тектономагматического цикла, наращиваясь, все далее «оттесняют» последующие прогибы. В результате в условиях Приамурья с его односторонней (в сторону океана) миграцией геосинклинальных систем устанавливается последовательное смещение зон проявления активных геологических процессов, в том числе и магматизма, к востоку; вероятно, это связано с особенностями инверсии геотектонических условий, реализующихся через краевые (западные) поднятия. В восточном же направлении последовательно эволюционируют и формационные особенности орогенного магматизма и связанной с ним рудоносности. В результате разновременные зоны складчатости, магматизма и эндогенного оруденения в Приамурье проявляют последовательное (эшелонированное, или каскадное, по Х. М. Абдуллаеву, 1960) расположение и омоложение в направлении от Буреинского массива к Тихоокеанской впадине.

Увеличение площади эпицентров тектономагматических процессов, наблюдаемое в ходе развития цикла от начальных к конечным его этапам, увязывается со столь же последовательным перемещением гипоцентров тектогенеза из примантийских сфер в область верхних горизонтов коры, т. е. в постепенном уменьшении глубинности процессов. В результате, как отмечает и Ю. М. Шейнманн (1968), наиболее зрелая стадия развития гранитоидного магматизма характеризуется наименьшей глубинностью.

К конечным стадиям развития мезозойского цикла возрастает и становится преобладающим сиалический тип геологических формаций. Как показывает анализ домезозойских формаций (Плотников, Усенко, 1967), это является преемственной формой выражения более общей закономерности развития позднепротерозойско-мезозойского

мегаикла, в котором от байкалид до мезозоид в составе слагающих их формаций последовательно возрастает роль сиалия; в этом же направлении снижается продуктивность геосинклинальных формаций (Fe, Mn, P, Au) и последовательно возрастает роль эндогенной минерализации, вплоть до позднего мезозоя, где она проявилась особенно ярко в связи с максимальной активизацией гранитоидного магматизма на заключительных стадиях полициклического развития мезозойского цикла.

3. В соответствии с эволюцией состава магматических проявлений от геосинклинального этапа развития к геантиклинальному изменяется и характер эндогенной минерализации. С основным и ультраосновным магматизмом геосинклинального этапа в Приамурье связаны слабые проявления кобальта, никеля, марганца, отчасти хрома, возможно железа и меди, т. е. концентрации в основном сидерофильных элементов. Интрузивные породы периода инверсии сопровождаются контактово-метасоматическими концентрациями золота, свинца, цинка, отчасти гидротермальными — олова, вольфрама, молибдена и некоторых других элементов. Орогенному гранитоидному магматизму особенно позднегеоантиклинальному этапа развития соответствует наиболее перспективная гидротермальная и гидротермально-метасоматическая преимущественно минерализация (Sn, Mo, W, Au, Cu, Pb, Zn, Ag, Hg, Sb и др.). С ней связаны главнейшие черты эндогенной рудоносности Приамурья.

Для оловоносной части этой территории характерно последовательное снижение роли высоко- и среднетемпературных рудных образований в направлении с запада на восток, в соответствии с омоложением складчатых зон. При этом происходит увеличение роли сульфидов и усложнение состава минерализации, которая все более приближается к «мезократовому» типу, свойственному внутренним зонам подвижных систем (М. И. Ициксон, 1964). Все это увязывается со столь же последовательным омоложением магматизма в направлении к востоку, усложнением его состава, строения интрузивных массивов и возрастанием мезократовости, щелочности и гибридизма (М. И. Ициксон и др., 1960).

4. Важной представляется проблема рудоносной специализации орогенных гранитоидов. Ее решению в настоящее время посвящено много исследований, и большинство ученых разделяют представления о решительной роли среды, в которой (и за счет которой) формируются рудоносные коровые магматические очаги. Некоторые подчеркивают, что для формирования оловорудных месторождений непременным условием является наличие мощной сиалической коры с повышенной оловоносностью, в которой формируются оловоносные интрузивные комплексы и происходит сепарация олова из глубинных систем коровых разломов с калиевой геохимической специализацией (М. И. Ициксон, 1967).

В этом отношении достаточно характерным примером служит Приамурье. Неодинаковые структурно-фациальные условия развития северной и южной частей региона в течение байкальского

и герцинского циклов обусловили различный тип фундамента и особенности развития мезозоид (М. И. Ициксон, Музылев, 1963). Южная часть мезозоид Приамурья характеризуется относительно мощной сиалической корой пониженной плотности, преимущественным развитием гранитоидов калиевого типа и ведущей ролью оловянной минерализации. Мезозоиды же северной части (Приохотья и Нижнего Приамурья) сформировались на фундаменте, сложенном эвгесинклинальными формациями, характеризуются преобладанием гранитоидов натрового типа и развитием преимущественно золотого оруденения.

Столь четко выраженная пространственная связь золото- и оловянности с областями различного типа развития и магматизма представляется закономерной; она соответствует установленным геохимическим связям щелочных металлов с главными элементами рудного процесса. Как показал В. В. Щербина (1963), среди щелочных металлов наибольшую геохимическую близость к олову проявляет калий, так же как к золоту — натрий. С этим выводом согласуются расчетные данные М. И. Ициксона (1967), в соответствии с которыми коэффициент концентрации олова для кислых пород в два раза больше, чем для основных, и достигает трех.

5. Все более очевидно решающее значение разломов в истории геологического развития территории. Разломы явились главными факторами глыбовых движений и локализации зон рудоносного магматизма. Они же оказали прямое влияние и на зоны седиментации и складкообразования. Подчеркивая значение разломов, А. В. Пейве еще в 1945 г. указывал, что земная кора, в целом, оказывается гораздо более хрупкой, чем это принято думать, и разломы, а не складки играют ведущую роль в структуре Земли.

Все больше подтверждений находит положение о том, что складкообразование — процесс длительный. Формирование складчатых зон происходит на протяжении всей истории развития геосинклинальной области от начальных движений блоков коры и заложения геосинклинали до посторогенного этапа развития складчатых зон и охватывает лишь верхние структурные этажи (Пейве, 1945; Херасков, 1963; Чебаненко, 1963). Разломы же как форма дислокаций — явление более глубинное и более значительное, чем складчатость. Особенна велика роль разломов в геантскинклинальный период развития подвижных областей, когда оформлялись преимущественно секущие по отношению к складчатым структурам межблоковые разломы различного масштаба и глубины заложения. Они контролировали размещение магматических, постмагматических образований и предопределили формирование важнейших рудно-магматических поясов и зон.

Очень велико рудолокализующее значение разломов, особенно внутриблоковых, представляющих собой систему оперения межблоковых и более крупных разрывов. Рудолокализующие разломы как структуры малых форм закономерно связаны с элементами более крупных структур. Отсюда вытекает важное значение изучения

структурь месторождений (и не вообще, а в конкретной геологической обстановке) и ее связи со структурами крупных форм. Изучение тектоники месторождений тем более важно, если учесть слабую еще разработанность тектонической стороны генезиса месторождений. Как отмечал Н. П. Херасков (1967), известно много конкретных примеров тесной связи месторождений с тектоникой. Однако не везде одна и та же тектоническая форма, будь то складчатая или разрывная, рудоносна; всякого рода безрудных структур гораздо больше, и наука пока еще не в состоянии их распознавать.

Следовательно, существующая классификация структур пока еще несовершена для прикладных целей, как несовершена, по-видимому, и классификация связанных с ними месторождений, которая по справедливому замечанию Н. П. Хераскова должна строиться на тектонической основе. С этими недостатками связаны и основные трудности прогнозирования месторождений. Правомерным поэтому представляется следующий вывод: до тех пор пока изучение структур оловорудных месторождений не станет методологической основой исследований рудных районов и необходимой формой тектонического осмысления процессов рудогенеза, попытки установления однозначных закономерностей размещения оруденения, как и основанные на них прогнозные построения, не обеспечат должной геологической эффективности поисковых работ.

СПИСОК ЛИТЕРАТУРЫ

- Абдуллаев Х. М. О петрометаллогенических рядах магматических пород и эндогенных месторождений. — «Советская геология», 1960, № 5.
- Барсуков В. Л. К геохимии олова. — «Геохимия», 1957, № 1.
- Барсуков В. Л., Генетические связи сульфидно-касситеритовых месторождений с интрузиями. — В кн.: Проблемы геохимии. М., «Наука», 1965.
- Батлер Б. С. Связь рудных месторождений в Западных штатах со стратиграфией, структурой и изверженными породами. — В кн.: Геология рудных месторождений Западных штатов США. ОНТИ, 1937.
- Беляевский Н. А., Громов Ю. А., Л. А. Баскакова. Основные черты тектонического развития Сихотэ-Алиня. — В кн.: Геология и металлогения советского сектора Тихоокеанского рудного пояса. М., Изд-во АН СССР, 1963.
- Берсенев И. И. О тектоническом районировании Приморья. Владивосток, 1959. (Сообщение ДВФ СО АН СССР, вып. 10.)
- Билибин Ю. А. Металлогенические провинции и металлогенические эпохи. М., Госгеолтехиздат, 1955.
- Билибин Ю. А. Общие принципы регионального металлогенического анализа. Избр. тр., т. 3. М., Изд-во АН СССР, 1961.
- Власов Г. М., Ициксон М. И. и др. Геологические предпосылки локализации полезных ископаемых на территории Востока СССР. — «Советская геология», 1963, № 12.
- Воларович Г. П. Сочленение тихоокеанских и монголо-охотских структур и особенности размещения золотоносных районов в пределах южной части Дальнего Востока. — В кн.: Геология и металлогения советского сектора Тихоокеанского рудного пояса. М., Изд-во АН СССР, 1963.
- Генкин А. Д., Муравьева И. В. Индит и джалиндит — новые минералы штифия. Зап. Всес. минер. об-ва, вып. 4, 1963.
- Говоров И. Н., Моисеенко В. Г. и др. Роль литогенеза, магманизма и метаморфизма в формировании рудных полей Дальнего Востока. Владивосток, 1966. (Материалы симпозиума, посвящ. акад. С. С. Смирнову.)
- Горжеvский Д. И., Козеренко В. Н. Классификация типов металлогенических зон земной коры. — Изв. вузов, «Геология и разведка», № 1, 1965.
- Горжеvский Д. И., Козеренко В. Н. Связь эндогенного рудообразования с магматизмом и метаморфизмом. М., «Недра», 1965.
- Довгаль В. Н., Кузнецов Ю. А., Поляков Г. В. О принципах выделения и расчленения природных ассоциаций изверженных горных пород. — «Геология и геофизика», 1964, № 10.
- Долгов Ю. А. Об адиабатической мобилизации рудообразующих растворов. — «Геология и геофизика», 1965, № 8.
- Домарев В. С. О метаморфогенном рудообразовании. — «Советская геология», 1967, № 4.
- Зимин С. С. Особенности состава интрузивных комплексов гипербазитов и зональность верхней мантии в главном спилклиниории Сихотэ-Алиня. — Докл. АН СССР, т. 177, № 1, 1967.

Зильберминиц А. В., Лабутин А. Н., Павлов Г. Ф. Оловянные месторождения Северо-Востока СССР. — В кн.: Проблемы металлогенеза советского Дальнего Востока. М., «Наука», 1967.

Иванов Ю. Г. Основные черты металлогенеза Ханкайского рудного района. — Сообщение ДВФ СО АН СССР, вып. 10. Владивосток, 1959.

Изюх Э. П. О роли разломов глубокого заложения и пространственном размещении интрузий (на примере некоторых районов ДВ). — «Советская геология», 1961, № 4.

Изюх Э. П., Кунаев И. В., Руссов В. В. Редкометальное и золотое оруденение Северного Сихотэ-Алиня и сопредельных районов Приамурья. — В кн.: Геология и металлогенез советского сектора Тихоокеанского рудного пояса. М., Изд-во АН СССР, 1963.

Изюх Э. П., Руссов В. В. и др. Интрузивные серии Северного Сихотэ-Алиня и Нижнего Приамурья, их рудоносность и происхождение. М., «Наука», 1967.

Ициксон Г. В., Рунквист Д. В. и др. Оловорудные месторождения Малого Хингана. М., Госгеолтехиздат, 1959.

Ициксон Г. В., Чеботарев М. В. Распределение интрузивных комплексов и сопутствующей им минерализации. — Тр. ВСЕГЕИ, т. 55, 1961.

Ициксон М. И. Распределение оловорудных месторождений в складчатых областях. — «Советская геология», 1958, № 1.

Ициксон М. И., Кормилицин В. С. и др. Основные черты металлогенеза северо-западной части Тихоокеанского рудного пояса. — «Геология рудных месторождений», 1960, № 1.

Ициксон М. И., Музылев С. А. Основные черты тектоники Дальнего Востока в рифеях (Опыт палеотектонической реконструкции). Мат. по общей и региональной тектонике. Тр. ВСЕГЕИ, нов. сер., т. 85, 1963.

Ициксон М. И. Связь металлогенеза с глубинными разломами в северо-западной части Тихоокеанского рудного пояса. — «Геология рудных месторождений», 1963, № 2.

Ициксон М. И. Геохимические и металлогенические особенности подвижных поясов Тихоокеанской окраины СССР. — «Советская геология», 1964, № 11.

Ициксон М. И. Типы подвижных поясов Тихоокеанской окраины СССР. — «Советская геология», 1964, № 1.

Ициксон М. И. Новые аспекты металлогенеза подвижных поясов восточноазиатского типа в связи с особенностями глубинного строения Тихоокеанской окраины СССР. — «Советская геология», 1966, № 1.

Ициксон М. И., Ициксон Г. В., Матвеенко В. Т. Металлогенические ассоциации в вулканических поясах Тихоокеанского кольца. — В кн.: Эндогенные рудные формации Сибири и Дальнего Востока. М., «Наука», 1966.

Ициксон М. И., Тихомиров Н. И., Шаталов Е. Т. Основные черты магматизма и связь с ними минерализации северо-западной части Тихоокеанского подвижного пояса. — В кн.: Закономерности размещения полезных ископаемых, т. VIII. М., «Наука», 1966.

Ициксон М. И. Геологические и геохимические типы оловорудных формаций подвижных поясов и областей тектономагматической активизации. — «Советская геология», 1967, № 11.

Ициксон Г. В. Кристаллохимическое фракционирование калия и циркония в метаморфических процессах и его металлогеническое значение. — В кн.: Региональный метаморфизм и метаморфогенное рудообразование. Л., «Наука», 1970.

Карпова Е. Д. Сводово-глыбовые области и их металлогенез. Материалы металлогенической конференции. Фрунзе, 1968.

Князев Г. И. О систематике замкнутых рудных поясов. — «Геотектоника», 1967, № 2.

Козеренко В. Н. Значение структурно-фацальных зон для металлогенного анализа на примере Восточного Забайкалья. — В кн.: Закономерности размещения ископаемых, т. III. М., Изд-во АН СССР, 1960.

Комарова Г. Н. Вещественный состав и особенности формирования Джалиндинского месторождения на Малом Хингане. ИГЕМ, 1960.

Константинов Р. М., Лугов С. Ф. и др. Геология месторождений олова зарубежных стран. М., «Недра», 1969.

Константинов Р. М. Некоторые вопросы изучения рудных формаций при металлогенических исследованиях. М., «Недра», 1965. (Докл. сов. геол. на XXII сессии МГК).

Константинов Р. М., Жариков В. А. и др. Изучение закономерностей размещения минерализации при металлогенических исследованиях рудных районов. М., «Недра», 1965.

Косыгин Ю. А. Тектоника. М., «Недра», 1969.

Кропоткин П. Н., Шахвартова К. А., Салун С. А. Тектоника и некоторые вопросы металлогенеза южной части Дальнего Востока. — В кн.: Материалы по геологии, магматизму и рудным месторождениям Дальнего Востока и Забайкалья, т. 2. М., Изд-во АН СССР, 1953.

Кропоткин П. Н. Концентрическая и температурная зональность и генетическая связь оруденения с интрузиями. — «Советская геология», 1957, № 5.

Красный Л. И. Основные вопросы тектоники Хабаровского края и Амурской области. Тр. ВСЕГЕИ, нов. сер., вып. 37, 1960.

Красный Л. И. Юрские и меловые гранитоиды в хребтах Становом, Джугджуре, Прибрежном и вопросы магматизма внескладчатых областей. — Изв. вузов, «Геология и разведка», № 3, 1960.

Красный Л. И. Подвижные области и вопросы их номенклатуры. — «Советская геология», 1961, № 10.

Красный Л. И. (отв. редактор). Геологическое строение северо-западной части Тихоокеанского подвижного пояса. М., «Недра», 1966.

Красный Л. И. Тектоника. — В кн.: Геология СССР, т. XIX, ч. 1. М., изд-во «Недра», 1966.

Кузнецov Ю. А. Основные закономерности тектонического размещения и классификация магматических формаций. — В кн.: Магматизм и связь с ним полезных ископаемых. М., изд-во АН СССР, 1960.

Кузнецов В. А. Генетические группы и формации эндогенных рудных месторождений и их значение для металлогенического анализа. — В кн.: Эндогенные рудные формации Сибири и Дальнего Востока. М., «Наука», 1966.

Кузнецов Ю. А. Главные типы магматических формаций. М., «Наука», 1965.

Кушев В. Б., Селезнев П. Н. Некоторые структурные особенности оловянных рудопроявлений среди меловых эффузивов Комсомольского района. Владивосток, 1966. (Материалы симпозиума, посвящ. акад. С. С. Смирнову.)

Масайтис В. И., Страцикий Ю. Г. Об особом типе структур Восточной Азии (третий основной структурный элемент континентальной земной коры — дива). Тр. ВСЕГЕИ, нов. сер., т. 85, 1963.

Матвеенко В. Т., Шаталов Е. Т. Разрывные нарушения, магматизм и оруденение Северо-Востока СССР. — В кн.: Закономерности размещения полезных ископаемых, т. 1. М., Изд-во АН СССР, 1958.

Матвеенко В. Т. Очерк эндогенной металлогенеза Северо-Востока СССР. Магадан, 1960.

Материкин М. П. Структурно-металлогенические зоны и некоторые геологические особенности оловорудных месторождений Приморья. — «Минеральное сырье», вып. 1, 1960.

Материкин М. П. Особенности месторождений олова в районах развития карбонатных пород. — «Советская геология», 1961, № 9.

Материкин М. П. Генетические группы и формации оловорудных месторождений. — «Советская геология», 1964, № 11.

Материкин М. П. Группировка месторождений по промышленным типам. — «Советская геология», 1966, № 8.

Музильев С. А., Ициксон Г. В. и др. Геологическое строение и вопросы металлогенеза Малого Хингана. — В кн.: Геология и металлогенез советского сектора Тихоокеанского рудного пояса. М., Изд-во АН СССР, 1963.

- Нагибина М. С. Тектоника и магматизм Монголо-Охотского пояса. М., Изд-во АН СССР, 1963.
- Нагибина М. С., Потапова Ю. И. Тектоника Тугуро-Нимеленского прогиба. Тр. ГИН АН СССР, вып. 139, 1965.
- Никитин В. Д. К дискуссии о влиянии вмещающих горных пород на типы минерализации эндогенных месторождений. Зап. Всес. минер. об-ва, ч. 88, № 5, 1959.
- Никольский А. П. О генезисе оловорудной магмы. — «Советская геология», 1941, № 4.
- Никулин Н. Н. К вопросу об определении глубины формирования оловорудных тел по концентрации индия в кассiterитах. Владивосток, 1966. (Материалы симпозиума, посвящен. акад. С. С. Смирнову.)
- Никулин Н. Н. Распределение индия, ниобия и скандия в кассiterитах Хинганского месторождения. — Вестник ЛГУ, № 6, 1967.
- Орлов А. В. Литологический контроль оруденения и его металлогеническое значение. Докл. сов. геол. на XXII сессии МГК. М., изд-во «Недра», 1965.
- Павлов Е. С. Глубинные разломы и размещение эндогенного оруденения на территории Приморья. — «Советская геология», 1964, № 2.
- Паталаха Е. И. Магматическая проницаемость и энергетическая сущность «подвижности» зон глубинных разломов. — «Советская геология», 1967, № 11.
- Онихимовский В. В. Геотектоническое районирование южной части Хабаровского края, Амурской и Сахалинской областей. Тр. ДВФ АН СССР, сер. геол. т. IV. М., Изд-во АН СССР, 1960.
- Пейве А. В. Планетарные разломы и геосинклинальные прогибы. — Изв. АН СССР, серия геол., 1945, № 5.
- Пейве А. В. Связь осадконакопления, складчатости, магматизма и минеральных месторождений с глубинными разломами. — Изв. АН СССР, серия геол., 1953, № 3.
- Пейве А. В. Общая характеристика, классификация и пространственное расположение глубинных разломов. — Изв. АН СССР, серия геол., 1956, № 1.
- Плотников И. А., Усенко С. Ф. Магматизм в истории развития складчатых систем Приамурья. — «Геология и геофизика», 1969, № 12.
- Плотников И. А., Усенко С. Ф. Цикличность и стадийность геотектонического развития на примере Приамурья. Тектоника Восточной Сибири и Дальнего Востока СССР. Новосибирск, 1967. (Тезисы докладов V сессии Научного совета по тектонике Сибири и Дальнего Востока.)
- Плотников И. А., Усенко С. Ф. К истории формирования Восточно- и Западно-Сихотэалинского вулканогенных поясов. — В кн.: Магматические и метаморфические комплексы Дальнего Востока СССР. Хабаровск, 1967. (Материалы I петрограф. совещания.)
- Плотников И. А., Усенко С. Ф. и др. Петрохимические особенности мезозойско-кайнозойских орогенных интрузивных комплексов Сихотэалинской подвижной системы. Ленинград, 1969. (Тезисы доклада к петрохимическому совещанию.)
- Плотников И. А., Усенко С. Ф. Вулканогенные зоны Приамурской части Сихотэалинской складчатой системы. — В кн.: Проблема геологии и металлогенеза вулканогенных поясов. Владивосток, 1968.
- Радкевич Е. А., Томсон И. Н., Горлов Н. В. О региональных поясах и зонах повышенной трещиноватости. — «Советская геология», 1956, № 53.
- Радкевич Е. А. К вопросу о классификации оловорудных месторождений. — Изв. АН СССР, серия геол., № 6, 1956.
- Радкевич Е. А. Кассiterит-сульфидные месторождения. М., Изд-во АН СССР, 1953.
- Радкевич Е. А. Металлогенез рудных районов как новое направление исследований. — В кн.: Закономерности размещения полезных ископаемых, т. 1. М., Изд-во АН СССР, 1958.

Радкевич Е. А. Металлогенез Южного Приморья. М., Изд-во АН СССР, 1958.

Радкевич Е. А. К вопросу о типах металлогенических провинций и рудных районов. — В кн.: Закономерности размещения полезных ископаемых, т. 2. М., Изд-во АН СССР, 1959.

Радкевич Е. А. О типах вертикальной и горизонтальной зональности. — «Советская геология», 1959, № 9.

Радкевич Е. А. К вопросу о типах рудоносных территорий. М., Изд-во АН СССР, 1960. («Прикладная геология». Вопросы металлогенеза. Докл. сов. геологов на XXI сессии МГК.)

Радкевич Е. А., Томсон И. Н., Лобанова Г. М. Геология и металлогенез типовых рудных районов Приморья. М., Изд-во АН СССР, 1962.

Радкевич Е. А. Особенности минерагении Приморья. — В кн.: Геология и металлогенез советского сектора Тихоокеанского рудного пояса. М., Изд-во АН СССР, 1963.

Радкевич Е. А., Усенко С. Ф., Чеботарев М. В. Об отношении оловянной и золотой минерализации к главнейшим структурам юга Дальнего Востока. — «Геология и геофизика», 1965, № 3.

Радкевич Е. А. К вопросу о классификации постмагматических месторождений и принципах выделения рудных формаций. — В кн.: Эндогенные рудные формации Сибири и Дальнего Востока. М., «Наука», 1966.

Радкевич Е. А., Чеботарев М. В., Усенко С. Ф. О месте и времени гранитоидного магматизма в геосинклинальном развитии юга Дальнего Востока. — «Советская геология», 1966, № 3.

Радкевич Е. А., Баранов А. Ф. и др. Общие закономерности распределения золотоносности на Дальнем Востоке. — В кн.: Вопросы геологии и рудоносности Дальнего Востока. Владивосток, 1965.

Радкевич Е. А., Коростелев П. Г. и др. Минерализованные зоны Комсомольского района. М., «Наука», 1967.

Радкевич Е. А. Металлогенез Востока СССР. — В кн.: Проблемы металлогенеза советского Дальнего Востока. М., «Наука», 1967.

Руб М. Г., Опихимовский В. В. и др. Гранитоиды Мяочанского района и связанные с ними постмагматические образования. М., Изд-во АН СССР, 1962.

Руб М. Г., Макеев Б. В., Васильева Г. Л. Металлогенические особенности гранитоидов Мяочанского интрузивного комплекса (Хабаровский край). — В кн.: Металлогеническая специализация магматических комплексов. М., «Недра», 1964.

Русс В. В. Петрографическая характеристика Нижнеамурского золотоносного интрузивного комплекса (Северный Сихотэ-Алинь и Нижнее Приамурье). Тр. ВСЕГЕИ, нов. серия, т. 107, 1964.

Семенов А. И., Старицкий Ю. Г., Шаталов Е. Т. Главные типы металлогенических провинций и структурно-металлогенических зон территории СССР. — В кн.: Закономерности размещения полезных ископаемых, т. VIII. М., «Наука», 1967.

Смирнов А. М. Сочленение Китайской платформы с Тихоокеанским складчатым поясом. М., Изд-во АН СССР, 1963.

Смирнов В. И. Металлогенез геосинклиналей. — В кн.: Закономерности размещения полезных ископаемых, т. V. М., Изд-во АН СССР, 1962.

Смирнов В. И. Очерки металлогенеза. М., Госгеолтехиздат, 1963.

Смирнов С. С. Некоторые замечания о сульфидно-кассiterитовых месторождениях. — Изв. АН СССР, серия геол., № 5, 1937.

Смирнов С. С. Некоторые новые данные относительно оловоносности Северо-Востока Азии. — Изв. АН СССР, серия геол., 1938, № 5, 6.

Смирнов С. С. Тихоокеанский рудный пояс в пределах СССР. — «Природа», 1946, № 2.

Смирнов С. С., Левицкий О. Д. и др. Геология олова. М., Изд-во АН СССР, 1947.

Смирнов С. С., Цареградский В. А. Северо-Восток Азии, его металлогенез и оловоносность. — Изв. АН СССР, серия геол., 1957, № 5.

Смирнов С. С. Металлогения и рудные месторождения Охотско-Колымского края. — В кн.: Рудные месторождения и металлогения восточных районов СССР. М., Изд-во АН СССР, 1962.

Страхов М. П. Исторические типы осадконакопления. — Изв. АН СССР, серия геол., 1946, № 2.

Сухов В. И. Геологическая позиция, строение и металлогения позднемеловых и кайнозойских экструзивно-эффузивных комплексов Нижнего Приамурья. — «Советская геология», 1967, № 4.

Томсон И. Н. Особенности строения ослабленных зон над скрытыми разломами фундамента в складчатых областях Дальнего Востока. — В кн.: Скрытое рудоконтролирующее глубинные разломы. М., Изд-во АН СССР, 1962.

Томсон И. Н., Полякова О. П., Коциева Н. Т. Структурное положение рудных районов Юго-Восточного Забайкалья. — «Советская геология», 1970, № 10.

Томсон И. Н. Глубинные разломы и оруденение в складчатых областях. М., «Недра», 1965. (Докл. Сов. геол. на XXII сессии МГК, 1965).

Тугаринов А. И. О причинах формирования рудных провинций. — В кн.: Геохимия земной коры, т. 1. М., Изд-во АН СССР, 1963.

Усенко С. Ф. Оловорудные формации Приамурья. — В кн.: Эндогенные рудные формации Сибири и Дальнего Востока. Новосибирск, 1964.

Усенко С. Ф., Чеботарев М. В. Структурные особенности локализации оловоносных площадей Приамурья. — «Советская геология», 1965, № 11.

Усенко С. Ф. Оловоносность Хабаровского края и закономерности локализации ее площадей и месторождений. Владивосток, 1966. (Материалы симпозиума, посвящ. акад. С. С. Смирнову.)

Усенко С. Ф., Плотников И. А. Основные этапы магматической деятельности в истории развития складчатых систем Приамурья. Хабаровск, 1967. (Материалы I петрограф. совещания ДВ СССР.)

Усенко С. Ф. Геологические особенности и типы оловянного оруденения в Приамурье. Новосибирск. Тр. ЦНИИолово, № 3, 1967.

Устиеев Е. К. Охотский тектономагматический пояс и некоторые связанные с ним проблемы. — «Советская геология», 1959, № 3.

Фаворская М. А., Томсон И. Н. и др. Связь магматизма и эндогенной минерализации с блоковой тектоникой. М., «Недра», 1969.

Фаворская М. А. Новые данные об особенностях взаимоотношения магматизма и оруденения. М., «Недра», 1965. (Докл. сов. геол. на XXII сессии МГК.)

Федчин Ф. Г. О рудоконтролирующих структурах Хингано-Олонойской структурной зоны. — В кн.: Геология и металлогения советского сектора Тихоокеанского рудного пояса. М., Изд-во АН СССР, 1963.

Федчин Ф. Г. Особенности структуры магматизма и оловоносности Хингано-Олонойского прогиба. М., «Наука», 1964.

Хайн В. Е. Глубинные разломы: основные признаки, принципы классификации и значение в развитии земной коры. — Изв. вузов «Геология и разведка», № 3, 1963.

Хайн В. Е. Общая геотектоника. М., «Недра», 1964.

Хайн В. Е. Возрожденные (эшиплатформенные) орогенические пояса и их тектоническая природа. — «Советская геология», 1965, № 7.

Херасков Н. П. Тектоника и формации. М., «Наука», 1967.

Чебаненко И. И. Основные закономерности разломной тектоники земной коры. Киев, Изд-во АН СССР, 1963.

Чайковский В. К. Геология оловоносных месторождений Северо-Востока СССР. М., Госгеолтехиздат, 1960.

Чеботарев М. В., Усенко С. Ф., Плотников И. А. Магматические комплексы Приамурья и их положение в геологических

- структур. — В кн.: Магматические и метаморфические комплексы Дальнего Востока СССР. Хабаровск, 1967. (Материалы I петрогр. совещания.)
- Чеботарев М. В., Усенко С. Ф. Разломы Приамурья и западного Приохотья. — «Советская геология», 1967, № 7.
- Шаталов Е. Т. Металлогенитическое изучение рудных районов. — Вестник АН СССР, серия. № 9, 1958.
- Шанцын К. А. Особенности аномальных физических полей и некоторые черты глубинного строения. «Геология СССР», т. XIX. М., «Недра», 1966.
- Шаталов Е. Т., Концев-Дворников В. С. и др. Критерии связи оруденения с магматизмом применительно к изучению рудных районов. М., «Недра», 1965.
- Шаталов Е. Т. О металлогении рудных районов. — Изв. АН СССР, серия геол., 1958, № 9.
- Шаталов Е. Т. и др. Обзор геологических понятий и терминов в применении к металлогении. М., Изд-во АН СССР, 1963.
- Шахов Ф. Н. О происхождении гранитных магм и рудных месторождений. — В кн.: Магматизм и связь с ним полезных ископаемых. М., Изд-во АН СССР, 1960
- Шейнманн Ю. М. Области интрузий в пределах рам складчатости и их значение. — «Советская геология», 1958, № 1.
- Шейнманн Ю. М. Некоторые черты эволюции магматизма складчатых поясов. — В кн.: Магматизм и связь с ним полезных ископаемых. М., Изд-во АН СССР, 1960.
- Шейнманн Ю. М. Магмы и геосинклинальный процесс. Типы земной коры и магмы. — В кн.: Тектоника, магматизм и закономерности размещения рудных месторождений. М., «Наука», 1964.
- Шейнманн Ю. М. О связях между типами магм и тектоникой. — «Советская геология», 1964, № 2.
- Шейнманн Ю. М. Некоторые черты связей магмы и тектоники. — «Геотектоника», 1967, № 5.
- Шейнманн Ю. М. Очерки глубинной геологии (о связи тектоники с возникновением магм). М., «Недра», 1968.
- Штилле Г. «Субсеквентный» магматизм. Избр. тр. М., «Мир», 1964.
- Шутлив Ф. А. Геология и металлогения Восточного Забайкалья. М., Изд-во АН СССР, 1962.
- Щербина В. В. Различия геохимических процессов, протекающих с участием калия и натрия. — «Геохимия», 1963, № 3.
- Щеглов А. Д. Основные черты металлогении зон автономной активизации. — В кн.: Закономерности размещения полезных ископаемых, т. VIII., М., «Наука», 1967.
- Щеглов А. Д. Металлогенез срединных массивов. Л., «Недра», 1971.
- Яншин А. Л. Проблема срединных массивов. Бюлл. МОИП, отд. геология, т. XV (5), 1964.
- Ярмолюк В. А. Основные черты геологии и металлогении Приамурья. В кн.: Геология и металлогенез северо-западного сектора Тихоокеанского рудного пояса. М., Изд-во АН СССР, 1963.
- Ahlfeld F. Die Erzlagerstatten der tertiären Magmaprovinz der bolivianischen Zentralanden. Min. Beil., vol. 65, 1932.
- Ahlfeld F. The Bolivian Tin Belt. — Econ. Geol., N 1, 1936.
- Ahlfeld F. Tipen Boliviannischer Goldladerstätten. Zentralbl. f. min., geol. U. pal., Aht. A., N 7, 1937.
- Turneau F. S. a. Welker K. K. The Ore Deposits of the Eastern Andes of Bolivia. The Cordillera Real. — Econ. Geol., N 7, 1947.

ОГЛАВЛЕНИЕ

	Стр.
Предисловие	3
Введение	5
Глава I. Общие сведения о геологических структурах Приамурья	7
Глава II. История изучения оловоносности	11
Глава III. Стратиграфия	18
1. Протерозой и ранний палеозой	18
2. Палеозой и мезо-кайнозой	21
Глава IV. Магматизм	34
1. Этапы тектоно-магматического развития и магматические комплексы	34
2. Петрохимические особенности интрузивных комплексов	44
3. Некоторые закономерности размещения магматических комплексов	54
Глава V. Тектоника	60
1. Особенности тектонического развития	60
2. Геосинклинальные структуры	65
3. Орогенные структуры	69
а. Хингано-Охотский сводово-глыбовый пояс	77
б. Сихотэалинский сводово-глыбовый пояс	80
в. Прибрежный вулканогенный пояс	83
г. Уссури-Охотский пояс кайнозойских депрессий и базальтоидного магматизма	85
4. Буреинский срединный массив	88
Глава VI. Металлогения	91
1. Металлогеническое районирование	91
2. Характеристика оловоносных площадей	100
А. Хингано-Охотский металлогенический пояс	100
а. Хингано-Баджальская оловоносная область	100
б. Оловоносность Приохотской золотоносной области	161
Б. Сихотэалинский металлогенический пояс	167
а. Северо-Сихотэалинская оловоносная область	167
б. Оловоносность Нижнеамурской золотоносной области	193
3. Основные закономерности размещения оловянного оруденения	195
	235

	Стр.
a. Положение оловоносных областей в системе советского сектора Тихоокеанского подвижного пояса	195
б. Оловорудные формации и геологические условия их размещения	203
в. Факторы, контролирующие оловянное оруденение	211
г. Особенности проявления оруденения в оловоносных областях	213
4. Оценка перспектив и направления дальнейших исследований	217
Заключение	222
Список литературы	228

Сергей Фокич Усенко, Михаил Васильевич Чеботарев
ГЕОЛОГИЯ И ОЛОВОНОСНОСТЬ ПРИАМУРЬЯ

Редактор издательства З. Д. Соломатина. Технический редактор А. Г. Иванова
 Корректор Т. Ю. Шульц

Сдано в набор 17/VII 1972 г. Подписано в печать 24/X 1972 г. Т-17140.
 Формат 60 × 90^{1/16}. Бумага № 2. Печ. л. 14,75. Уч.-изд. л. 17,17. Тираж 1000 экз.
 Заказ 1870/11356—4. Цена 1 р. 83 к.

Издательство «Недра», 103633, Москва, К-12, Третьяковский проезд, д. 1/19.
 Ленинградская типография № 6 Главполиграфпрома Государственного Комитета
 Совета Министров СССР по делам издательств, полиграфии и книжной торговли,
 Московский пр., 91.

1 р. 83 к.

586

2

НЕДРА · 1973